

# Statistická fyzika a termodynamika

Michal Lenc ó podzim 2014

## Obsah

Statistická fyzika a termodynamika .....	1
1. Úvodní kapitola .....	6
1.1 Mikrokanonické, kanonické, a velké kanonické rozd lení .....	6
1.2 P íklad spojení dvou soustav .....	7
1.3 Statistická suma pro soustavu s kanonickým rozd lením .....	7
1.4 Termodynamické veli iny .....	9
1.5 Hellman v ó Feynman v teorém .....	10
1.6 Entropie .....	11
2. Hustota stav .....	12
2.1 Základní pojmy .....	12
2.2 P íklad: harmonický oscilátor .....	16
2.3 P íklad: ástice v jám .....	16
3. Lineární harmonický oscilátor .....	17
3.1 Kvantování .....	17
3.2 Statistika .....	20
4. Zá ení erného t lesa .....	21
4.1 Vlastní kmity pole (módy) .....	21
4.2 Planck v vyza ovací zákon .....	22
5. Termodynamické zákony .....	24
5.1 Nultá v ta .....	25
5.2 První v ta .....	25
5.3 Druhá v ta .....	25
5.4 T etí v ta .....	26
6. Gibbsovo rozd lení .....	27
6.1 Entropie .....	27
6.2 Souvislost klasického a kvantového popisu .....	28
6.3 Gibbsovo rozd lení .....	29
6.4 Maxwellovo rozd lení .....	30
6.5 Rozd lení pro lineární harmonický oscilátor .....	31

7.	Termodynamický potenciál.....	33
7.1	Gibbsovo rozd lení s prom nným po tem ástic.....	33
7.2	Neinteragující kvantový plyn.....	34
7.3	Vztahy mezi termodynamickými veli inami .....	35
7.4	Klasická limita.....	36
7.5	Fermiho a Boseho plyny elementárních ástic.....	37
7.6	Poissonova adiabata, stavová rovnice .....	40
8.	Ufite né integrály .....	42
8.1	Gama funkce .....	42
8.2	Fermi ó Diracovo a Bose ó Einsteinovo rozd lení pro degenerovaný plyn.....	43
8.3	P echod Fermi ó Diracova a Bose ó Einsteinova rozd lení na Boltzmannovo	44
8.4	Eulerova ó Maclaurinova suma ní formule .....	45
9.	Ideální (nerelativistický) Boseho ó Einstein v plyn .....	46
9.1	Termodynamický potenciál, hustota a vnit ní energie .....	46
9.2	Boseho ó Einsteinova kondensace .....	48
9.3	Fázový p echod pára ó kondensát .....	51
10.	Elektronový plyn .....	52
10.1	Úpln degenerovaný elektronový plyn .....	52
10.2	Stavová rovnice nerelativistického plynu .....	54
10.2.1	Nížká hustota, vysoká teplota.....	55
10.2.2	Vysoká hustota, nízká teplota.....	55
10.3	Richardson v zákon .....	56
10.4	Magnetické vlastnosti elektronového plynu.....	58
10.4.1	Elektron v homogenním magnetickém poli .....	58
10.4.2	Termodynamický potenciál.....	59
10.4.3	Pauliho paramagnetismus.....	60
11.	Relativistický pln degenerovaný elektronový plyn .....	61
12.	Operátor matice hustoty .....	62
12.1	Popis soustavy v interakci s okolím .....	62
12.2	Dal-í vlastnosti matice hustoty.....	64
12.3	Matice hustoty v sou adnicové a impulsové representaci.....	64
12.4	Matice hustoty ve statistické fyzice .....	65
12.5	Lineární harmonický oscilátor .....	67
12.6	Wignerova rozd lovací funkce.....	70

12.7	Polariza ní matice .....	71
13.	Viriálový teorém .....	72
13.1	Eulerova v ta o homogenních funkcích .....	72
13.2	Viriálová v ta .....	72
14.	Poruchová teorie.....	73
14.1	Poruchová teorie pro matici hustoty.....	73
14.2	Feynman v operátorový po et .....	74
14.2.1	Základní pojmy .....	74
14.2.2	T i p íklady pro $g(a,b)=a.b$ .....	76
14.2.3	V ta o uspo ádání operátor .....	76
14.2.4	Rozpletení exponenciální funkce sou tu dvou operátor .....	78
14.3	Nerovnost pro volnou energii (1) .....	79
14.4	Nerovnost pro volnou energii (2) .....	81
15.	P íklady poufití poruchové teorie .....	84
15.1	Klasická aproximace .....	84
15.2	Anharmonický oscilátor .....	85
15.3	Pohyb v ohrani ené oblasti (jednorozm rný problém) .....	86
15.4	Viriálový teorém po druhé .....	87
15.5	Invariance volné energie .....	88
16.	Nerovnováfný ideální plyn .....	88
16.1	Základní pojmy .....	88
16.2	Klasický plyn.....	89
16.3	Fermiho plyn .....	90
16.4	Boseho plyn.....	91
17.	Fluktuace .....	93
17.1	Gaussovo rozd lení .....	93
17.2	Gaussovo rozd lení pro n kolik prom nných.....	94
17.3	Fluktuace termodynamických veli in .....	96
17.4	Fluktuace po tu ástic .....	100
17.5	Poisson v vzorec.....	103
18.	Soustava s kone ným po tem energiových hladin.....	104
18.1	Stavová suma a odvozené veli iny pro dv hladiny.....	104
18.2	Obecný p ípad kone ného po tu hladin .....	105
18.3	Záporné absolutní teploty .....	107

19.	Kinetická teorie plyn .....	108
19.1	Liouvillova v ta.....	108
19.2	Boltzmannova kinetická rovnice.....	110
19.2.1	Jedno částicový problém .....	110
19.2.2	Boltzmann v srážkový len .....	111
19.2.3	Princip detailní rovnováhy .....	113
19.2.4	Rovnovážná rozdělovací funkce .....	114
19.3	Hóteľ teoreťm.....	115
19.4	Pechod k makroskopickým rovnicím.....	117
19.4.1	Základní rovnice.....	117
19.4.2	Aproximace lokální termodynamické rovnováhy .....	119
19.4.3	Překlady řešení rovnic nulové aproximace .....	121
19.5	Srážkový len pro kvantovou statistiku .....	123
20.	Elementární popis transportních jev .....	124
20.1	Základní pojmy .....	124
20.1.1	Účinný přez.....	124
20.1.2	Střední hodnoty v Maxwellově rozdělení .....	125
20.2	Transportní jevy .....	127
20.2.1	Přenos hybnosti a viskozita.....	128
20.2.2	Přenos energie a tepelná vodivost.....	129
20.2.3	Přenos částic a difuze .....	130
20.2.4	Porovnání s experimentálními hodnotami.....	130
21.	Kinetická rovnice pro mírně nehomogenní plyn.....	130
21.1	Základní pojmy .....	130
21.2	Charakter periodického řešení .....	131
21.3	Nahrazení časových derivací.....	133
21.4	Kinetické koeficienty .....	134
21.4.1	Tepelná vodivost .....	134
21.4.2	Viskozita.....	135
22.	Symetrie kinetických koeficient .....	138
22.1	Teorie fluktuací .....	138
22.2	časová korelace fluktuací .....	139
22.3	Onsagerův princip .....	140
22.4	Symetrie kinetických koeficient .....	141

23.	Vodivost elektronového plynu .....	145
23.1	Onsager v princip .....	145
23.2	Boltzmannova rovnice.....	147
23.2.1	Aproximace srážkového $\lambda$ a $p$ i bližné $\epsilon$ -ení.....	147
23.2.2	Boltzmannova statistika .....	148
23.2.3	Fermiho a Diracova statistika .....	149
24.	Bílý trpaslík .....	153
24.1	Elementární odhad Chandrasekharovy meze .....	153
24.2	Stavová rovnice .....	154
24.3	Newtonova gravitace.....	156
24.4	Statické sféricky symetrické $\epsilon$ -ení Einsteinových rovnic.....	158
25.	Literatura .....	163

Z  $\epsilon$ asových  $d$  vod nebylo možné v novat pozornost n kterým  $d$  ležitým oblastem. Zmíním jen p íklad fázových  $p$  echod nebo chemických reakcí. Hlavní  $d$  raz jsem se snažil klást na vzájemné propojení termodynamického popisu s popisem statistické fyziky. Bylo t eba také brát ohled na minimální znalosti poslucha z kvantové mechaniky.

# 1. Úvodní kapitola

## 1.1 Mikrokanonické, kanonické, a velké kanonické rozdělení

V názvu vyjmenovaná statistická rozdělení odpovídají soustav izolované, soustav vyměňující si energii s okolím a soustav, které kromě výměny energie měly s okolím mít i částice. Nejvíce pozornosti budeme v novat soustavám, popsaným kanonickým rozdělením. Mikrokanonické rozdělení pro izolovanou soustavu je jednoduché: pravděpodobnost nalezení stavu se zadanou energií (uvaflujeme diskrétní energiové hladiny) je

$$p(E) = \frac{1}{\Omega(E)} \quad , \quad (1.1)$$

kde  $\Omega(E)$  je počet stavů s danou energií. Každý stav s energií  $E$  je stejně pravděpodobný s pravděpodobností danou (1.1), pravděpodobnost stavů s energií různou od  $E$  je nulová. Entropie soustav je definována jako

$$S(E) = k_B \ln \Omega(E) \quad . \quad (1.2)$$

Entropie dvou neinteragujících soustav je součtem jednotlivých entropií

$$\Omega(E_1, E_2) = \Omega_1(E_1)\Omega_2(E_2) \Rightarrow S(E_1, E_2) = S_1(E_1) + S_2(E_2) \quad . \quad (1.3)$$

Jestliže si po spojení mohou soustavy vyměňovat energii (ale jejich spojení nezmení význam rozložení energiových hladin) a celková energie je  $E_{\text{tot}} = E_1 + E_2$ , dostáváme

$$\begin{aligned} \Omega(E_{\text{tot}}) &= \sum_{\{E_i\}} \Omega_1(E_i)\Omega_2(E_{\text{tot}} - E_i) = \\ &= \sum_{\{E_i\}} \exp\left[\frac{S_1(E_i)}{k_B} + \frac{S_2(E_{\text{tot}} - E_i)}{k_B}\right] \quad . \end{aligned} \quad (1.4)$$

Pro určitou hodnotu  $E_i = E_*$  má exponenciální funkce ostré maximum, hodnotu  $E_*$  získáme z

$$\left[ \frac{\partial S_1(E)}{\partial E} - \frac{\partial S_2(E_{\text{tot}} - E)}{\partial(E_{\text{tot}} - E)} \right]_{E=E_*} = 0 \quad . \quad (1.5)$$

Takto dostáváme nejjednodušší formu druhé termodynamické vztahy (ve formě entropie neklesá)

$$S(E_{\text{tot}}) \approx S_1(E_*) + S_2(E_{\text{tot}} - E_*) \geq S_1(E_1) + S_2(E_2) \quad . \quad (1.6)$$

Můžeme definovat teplotu jako

$$\frac{1}{T} = \frac{\partial S}{\partial E} \quad . \quad (1.7)$$

Podle (1.4) může docházet ke v-ěm možným přerozdelením energie. Jak ale ukážeme na příkladu, pouze rozdělení s rovnovážnou hodnotou  $E_*$  má významnou odchylkou pravděpodobnost.

## 1.2 Příklad spojení dvou soustav

Teplota soustavy A před spojením je  $T_A$ , teplota soustavy B  $T_B$ . Při spojení dojde k výměně energie  $\delta E_{A \rightarrow B}$ . Po této dosažitelných stavů před spojením je

$$\Omega_A \Omega_B = \Gamma(E_A) \Gamma(E_B) \delta E_A \delta E_B, \quad (1.8)$$

po výměně energie máme

$$\Omega'_A \Omega'_B = \Gamma(E_A - \delta E_{A \rightarrow B}) \Gamma(E_B + \delta E_{A \rightarrow B}) \delta E_A \delta E_B. \quad (1.9)$$

Po zlogaritmování dostáváme

$$\begin{aligned} \ln(\Omega'_A \Omega'_B) &= \ln(\Gamma_A(E_A - \delta E_{A \rightarrow B}) \delta E_A) + \ln(\Gamma_B(E_B + \delta E_{A \rightarrow B}) \delta E_B) \approx \\ \ln(\Omega_A \Omega_B) &+ \frac{1}{k_B} \left( \frac{1}{T_B} - \frac{1}{T_A} \right) \delta E_{A \rightarrow B}. \end{aligned} \quad (1.10)$$

Poměr počtu dosažitelných stavů před a po výměně energie  $\delta E_{A \rightarrow B}$  je

$$\frac{\Omega'_A \Omega'_B}{\Omega_A \Omega_B} \approx \exp \left[ \left( \frac{1}{T_B} - \frac{1}{T_A} \right) \frac{\delta E_{A \rightarrow B}}{k_B} \right]. \quad (1.11)$$

Pro  $T_A = 300\text{K}$ ,  $T_B = 299,9\text{K}$  a  $\delta E_{A \rightarrow B} = 10^{-14}\text{J}$  činí tento poměr  $10^{351}$ , tedy pro přechod této energie od chladnější k teplejší soustavě, tj. pro  $\delta E_{A \rightarrow B} = -10^{-14}\text{J}$  dostáváme zanedbatelně malou hodnotu  $10^{-351}$ .

## 1.3 Statistická suma pro soustavu s kanonickým rozdělením

Nachází-li se rovnovážná soustava v jednom z  $N$  možných stavů, je pravděpodobnost nalezení soustavy ve stavu s energií  $E_n$

$$w_n = \frac{1}{Z} \exp \left[ -\frac{E_n}{k_B T} \right], \quad (1.12)$$

kde  $k_B$  je Boltzmannova konstanta,  $T$  je termodynamická teplota a  $Z$  je statistická suma

$$Z = \sum_{i=1}^N \exp \left[ -\frac{E_i}{k_B T} \right]. \quad (1.13)$$

Je-li  $|n\rangle$  stav soustavy popsán hamiltoniánem  $\hat{H}$  daným v-ěním stacionární Schrödingerovy rovnice

$$\hat{H}|n\rangle = E_n|n\rangle \quad (1.14)$$

a  $\hat{A}$  kvantová mechanický operátor nějaké fyzikální veličiny, spočteme očekávanou hodnotu této veličiny jako

$$\langle \hat{A} \rangle = \frac{1}{Z} \sum_{|n\rangle} \langle n | \hat{A} | n \rangle \exp\left[-\frac{E_n}{k_B T}\right]. \quad (1.15)$$

Statistická suma se objevuje ve výrazu pro pravděpodobnost zprůvození pořádku normování. Jak ale vzniká Boltzmann v výraz? Uvažujme o soustavě  $S$  v rovnováze s velkým tepelným rezervoárem  $H$  o dané teplotě  $T$  (uvažovky proto, že je-t pojem teplota nemáme definován). Rovnováhou máme na mysli, že soustava a rezervoár jsou vázány slabě, ale po velmi dlouhou dobu, že všechny rychlé procesy interakce ufl proběhly a případně špomalě je-t nenastaly. Energie tepelného rezervoáru  $H_m$  jsou mnohem větší než energie soustavy  $E_n$  pro všechna  $m, n$  a vzhledem k velikosti rezervoáru jsou energie  $H_m$  rozloženy téměř spojitě. Součet energie soustavy a energie rezervoáru nebude přesně znám (rezervoár není izolován od okolí), ale neurčitost  $\Delta$  bude relativně velmi malá.

Uvažujme dva různé stavy soustavy, které mají stejnou energii  $E_r = E_s$ . Libovolně malý vliv může přivést soustavu ze stavu  $r$  do stavu  $s$ , ale také naopak ze stavu  $s$  do stavu  $r$ . Předpokládáme velmi dlouhou dobu interakce soustavy a rezervoáru, takže se všechny tyto přechody uskutečnily. Musí potom být pravděpodobnost nalezení soustavy v různých stavech se stejnou energií stejná. Označme  $\rho(H_n)$  hustotu počtu stavů (počet stavů na jednotkový interval energie) tepelného rezervoáru  $H$  v okolí energie  $H_n \pm \Delta$ .

A celková energie soustavy a rezervoáru je  $E \pm \Delta$ . Pravděpodobnost  $w(E_n)$ , že soustava  $S$  se nalézá ve stavu s energií  $E_n$  je úměrná počtu stavů rezervoáru, které vedou k uvažované celkové energii. Máme tak

$$\frac{w(E_n)}{w(E_{n'})} = \frac{\rho(E - E_n)}{\rho(E - E_{n'})} = \exp\left[\ln \rho(E - E_n) - \ln \rho(E - E_{n'})\right]. \quad (1.16)$$

Protože  $E_n \ll E$ , můžeme v Taylorov rozvoji ponechat jen první dva členy

$$\ln \rho(E - E_n) = \ln \rho(E) + \beta(E)(E - E_n), \quad \beta(E) = \frac{d}{dE} \ln \rho(E) \quad (1.17)$$

a máme



$$\frac{w(E_n)}{w(E_{n'})} = \exp[-\beta(E_n - E_{n'})] \Rightarrow w(E_n) \propto \exp[-\beta E_n] \quad (1.18)$$

Předpokládáme, že  $\beta(E) = \beta = \text{konst.}$  To je důsledkem toho, že tepelný rezervoár, který určuje pravděpodobnosti má téměř spojitě spektrum a fluktuace charakteristickou energií  $\epsilon$  nesmí tedy výsledky záviset na aditivní konstantě

$$\frac{f(\epsilon_1)}{f(\epsilon_2)} = \frac{f(\epsilon_1 + \epsilon)}{f(\epsilon_2 + \epsilon)} \Rightarrow f(\epsilon) = \exp[a\epsilon + b] \quad (1.19)$$

Standardní zavedení termodynamické teploty  $T$  dostáváme ze vztahu

$$\beta = \frac{1}{k_B T} \quad (1.20)$$

Uvažujme tedy dvě soustavy  $S_A$  a  $S_B$  v tepelné rovnováze, s energiemi  $A_i$  a  $B_j$ . Ukážeme, že soustavy mají stejnou teplotu. Pro spojenou soustavu je pravděpodobnost stavu s energií  $A_i + B_j$

$$w_{A+B}(A_i + B_j) = \frac{\exp[-\beta(A_i + B_j)]}{\sum_{m,n} \exp[-\beta(A_m + B_n)]} = \frac{\exp[-\beta A_i]}{\sum_m \exp[-\beta A_m]} \frac{\exp[-\beta B_j]}{\sum_n \exp[-\beta B_n]} \quad (1.21)$$

Počítáme tedy pravděpodobnost toho, že soustava  $S_A$  má energii  $A_i$  a pravděpodobnost toho, že soustava  $S_B$  má energii  $B_j$

$$w_{A+B}(A_i) = \frac{\exp[-\beta A_i]}{\sum_m \exp[-\beta A_m]} = \frac{\exp[-\beta A_i]}{\sum_m \exp[-\beta A_m]} \left\{ \sum_j \frac{\exp[-\beta B_j]}{\sum_n \exp[-\beta B_n]} \right\} = w_A(A_i) \quad (1.22)$$

$$w_{A+B}(B_j) = \left\{ \sum_i \frac{\exp[-\beta A_i]}{\sum_m \exp[-\beta A_m]} \right\} \frac{\exp[-\beta B_j]}{\sum_n \exp[-\beta B_n]} = \frac{\exp[-\beta B_j]}{\sum_n \exp[-\beta B_n]} = w_B(B_j)$$

#### 1.4 Termodynamické veličiny

Výraz pro volnou energii  $F$  dostáváme ze zápisu Gibbsova rozdílů

$$w_n = \frac{1}{Z} \exp\left[\frac{-E_n}{k_B T}\right] = \exp\left[\frac{F - E_n}{k_B T}\right] \quad (1.23)$$

takže z normovací podmínky

$$\sum_n w_n = \exp\left[\frac{F}{k_B T}\right] \sum_n \exp\left[\frac{-E_n}{k_B T}\right] = \exp\left[\frac{F}{k_B T}\right] Z = 1 \quad (1.24)$$

plyne po zlogaritmování

$$F = -k_B T \ln Z \quad . \quad (1.25)$$

Entropie je definována jako

$$S = -k_B \sum_n w_n \ln w_n \quad . \quad (1.26)$$

Dosadíme-li do tohoto výrazu za  $w_n$ , dostáváme

$$S = k_B \ln Z + \frac{k_B}{Z} \sum_n \frac{E_n}{k_B T} \exp\left[-\frac{E_n}{k_B T}\right] \quad . \quad (1.27)$$

To ale je totéž, jako záporná vzatá derivace volné energie podle teploty, takže máme

$$S = -\left. \frac{\partial F}{\partial T} \right|_V \quad . \quad (1.28)$$

Vnitřní energie je

$$U = \frac{1}{Z} \sum_n E_n \exp\left[-\frac{E_n}{k_B T}\right] \quad . \quad (1.29)$$

S pomocí vztahu (1.25) dostáváme výraz (1.29) pro vnitřní energii jako

$$U = -T^2 \left. \frac{\partial}{\partial T} \left( \frac{F}{T} \right) \right|_V = F - T \left. \frac{\partial F}{\partial T} \right|_V = \left. \frac{\partial}{\partial \left( \frac{1}{T} \right)} \left( \frac{F}{T} \right) \right|_V \quad . \quad (1.30)$$

Srovnání (1.28) a (1.30) dává

$$F = U - T S \quad . \quad (1.31)$$

Pro specifické teplo při konstantním objemu máme

$$C_V = \left. \frac{\partial U}{\partial T} \right|_V = \left. \frac{\partial}{\partial T} \left( F - T \left. \frac{\partial F}{\partial T} \right|_V \right) \right|_V = -T \left. \frac{\partial^2 F}{\partial T^2} \right|_V \quad . \quad (1.32)$$

Výraz pro tlak je

$$P = -\sum_n w_n \frac{\partial E_n}{\partial V} \quad . \quad (1.33)$$

Tento výraz získáme derivováním (1.25)

$$P = -\left. \frac{\partial F}{\partial V} \right|_T \quad . \quad (1.34)$$

## 1.5 Hellmanův a Feynmanův teorém

Tlak můžeme definovat pomocí kvantového mechanického operátoru jako

$$P = \sum_n w_n \langle n | -\frac{\partial \hat{H}}{\partial V} | n \rangle . \quad (1.35)$$

Tato definice bude v souladu s předchozí, pokud platí

$$\langle n | \frac{\partial \hat{H}}{\partial V} | n \rangle = \frac{\partial E_n}{\partial V} . \quad (1.36)$$

Dokážeme obecnější tvrzení. Hamiltonián nechť závisí na nějakém parametru  $\alpha$ . Ze Schrödingerovy rovnice máme soubor vlastních vektorů  $|n, \alpha\rangle$  a vlastních hodnot

$$\hat{H}(\alpha) |n, \alpha\rangle = E_n(\alpha) |n, \alpha\rangle . \quad (1.37)$$

Vektory jsou normované, takže

$$E_n(\alpha) = \langle n, \alpha | \hat{H}(\alpha) | n, \alpha \rangle , \quad \langle n, \alpha | n, \alpha \rangle = 1 . \quad (1.38)$$

Derivováním tohoto vztahu dostáváme

$$\begin{aligned} \frac{\partial E_n}{\partial \alpha} &= \frac{\partial}{\partial \alpha} (\langle n | \hat{H} | n \rangle) + \langle n | \frac{\partial \hat{H}}{\partial \alpha} | n \rangle + (\langle n | \hat{H}) \frac{\partial}{\partial \alpha} (| n \rangle) = \\ &= \langle n | \frac{\partial \hat{H}}{\partial \alpha} | n \rangle + E_n \frac{\partial}{\partial \alpha} (\langle n | n \rangle) = \langle n | \frac{\partial \hat{H}}{\partial \alpha} | n \rangle . \end{aligned} \quad (1.39)$$

Tím jsme dokázali Hellmanův a Feynmanův teorém

$$\frac{\partial E_n(\alpha)}{\partial \alpha} = \langle n, \alpha | \frac{\partial \hat{H}(\alpha)}{\partial \alpha} | n, \alpha \rangle . \quad (1.40)$$

Ve statistické fyzice nám tento teorém umožní ujet po útate zobecněnou sílu sdruženou s parametrem

$$f_\alpha = \sum_n w_n \langle n | -\frac{\partial \hat{H}}{\partial \alpha} | n \rangle = -\frac{1}{Z} \sum_n \frac{\partial E_n}{\partial \alpha} \exp \left[ -\frac{E_n}{k_B T} \right] . \quad (1.41)$$

## 1.6 Entropie

Vztah pro entropii (1.28)

$$S = -\frac{\partial F}{\partial T} \Big|_V \quad (1.42)$$

platí pro soustavu v termodynamické rovnováze. Vývoj nerovnovážné soustavy se dle vlivy tak, jak se entropie roste. Označme  $V_{nm}$  amplitudu pravděpodobnosti toho, jak se za jednotku času přejde soustava ze stavu  $n$  do stavu  $m$ . Můžeme tedy psát

$$\frac{dw_m}{dt} = \sum_n |V_{nm}|^2 w_n - \sum_n |V_{mn}|^2 w_m . \quad (1.43)$$

Pro pravd podobnosti p echod platí  $|V_{nm}|^2 = |V_{mn}|^2$ . Proto je

$$\sum_m \frac{dw_m}{dt} = 0 \quad . \quad (1.44)$$

Po ítejme te zm nu entropie

$$\frac{dS}{dt} = -k_B \sum_m \ln w_m \frac{dw_m}{dt} - k_B \sum_m \frac{dw_m}{dt} = -k_B \sum_m \ln w_m \frac{dw_m}{dt} \quad . \quad (1.45)$$

Dosazením z (1.43) dostáváme

$$\frac{dS}{dt} = k_B \sum_{m,n} |V_{nm}|^2 (w_m - w_n) \ln w_m = \frac{k_B}{2} \sum_{m,n} |V_{nm}|^2 (w_m - w_n) (\ln w_m - \ln w_n) \quad . \quad (1.46)$$

Protože logaritmus je monotónn rostoucí funkce, dostáváme známý výsledek pro asovou zm nu entropie

$$\frac{dS}{dt} \geq 0 \quad . \quad (1.47)$$

Vnit ní energie  $U$ , volná energie  $F$  i entropie  $S$  soustavy složené z více nezávislých podsoustav jsou veli iny aditivní. Sta í ukázat to pro dv podsoustavy  $A$  a  $B$ . Pro vnit ní energii plyne aditivita z nezávislosti podsoustav

$$U^{A+B} = U^A + U^B \quad . \quad (1.48)$$

Pro volnou energii máme

$$\begin{aligned} F^{A+B} &= -k_B T \ln \sum_{i,j} \exp[-\beta(E_i^A + E_j^B)] = \\ &= -k_B T \left( \ln \sum_i \exp[-\beta E_i^A] + \ln \sum_j \exp[-\beta E_j^B] \right) = F^A + F^B \quad . \end{aligned} \quad (1.49)$$

Pro entropii pak

$$\begin{aligned} S^{A+B} &= -k_B \sum_{i,j} w_i^A w_j^B \ln(w_i^A w_j^B) = \\ &= -k_B \underbrace{\sum_j w_j^B}_{=1} \sum_i w_i^A \ln w_i^A - k_B \sum_i \underbrace{w_i^A}_{=1} \sum_j w_j^B \ln w_j^B = S^A + S^B \quad . \end{aligned} \quad (1.50)$$

## 2. Hustota stav

### 2.1 Základní pojmy

V uzav ené dutin ( erné t lesu) existuje nekone n mnoho mód kmit elektromagnetického vln ní, charakterizovaných frekvencí a polarizací. Každý mód se v-ak

chová jako nezávislý kvantový lineární harmonický oscilátor. Einstein předjímal závry kvantové mechaniky, když i každé hmotné částici přidělil de Broglieho vlnu.

Elektromagnetické vlnění nebo de Broglieho vlny jsou uzavřeny v kvádru o hranách délky (ve třech rozměrech)  $L_1, L_2, L_3$  (objem  $V=L_1 L_2 L_3$ ). Obecný vlnový vektor můžeme zapsat jako

$$\vec{k} = \frac{2\pi}{\lambda} \sum_i \cos\alpha_i \vec{e}_i, \quad (2.1)$$

kde  $\cos\alpha_i$  jsou směrové kosiny vektoru  $\vec{k}$ ,  $\sum_i \cos^2\alpha_i = 1$ . Pokud předpokládáme periodické okrajové podmínky, musí být délky hran  $L_i$  celočíselnými násobky průměrné vlnové délky do příslušného směru  $\vec{e}_i$

$$L_i = n_i \lambda_i = n_i \frac{\lambda}{\cos\alpha_i}, \quad n_i \in \mathbb{Z}, \quad (2.2)$$

nebo zapsáno pomocí složek vlnového vektoru

$$k_i = \frac{2\pi}{\lambda} \cos\alpha_i = \frac{2\pi}{\lambda_i} = 2\pi \frac{n_i}{L_i}. \quad (2.3)$$

(Pokud bychom uvažovali podmínky takové, že vlna musí mít uzly na stěnách, platilo by místo (2.3)  $k_i = \pi n_i / L_i$ ,  $n_i \in \mathbb{N}$ . Při integraci přes úhlové proměnné bychom ale museli integrovat jen  $1/2^d$  část prostorového úhlu (o třech rozměrech tedy jeden oktant. Výsledek by byl pochopitelně stejný.) Zopakujme ještě jednou tuto úvahu. Při periodických okrajových podmínkách máme

$$\psi(x) = A \exp[i k x], \quad \psi(0) = \psi(L) \Rightarrow k = n \frac{2\pi}{L}, \quad (2.4)$$

přičemž  $n$  jsou jak kladná, tak záporná celá čísla, protože  $A \exp[i k x]$  a  $A \exp[-i k x]$  odpovídají dvěma různým stavům. Při řešení v nekonečně vysoké potenciálové krabici máme

$$\psi(x) = A \sin(k x) + B \cos(k x), \quad \psi(0) = \psi(L) = 0 \Rightarrow B = 0, \quad k = n \frac{\pi}{L}, \quad (2.5)$$

přičemž  $n$  jsou kladná celá čísla, protože  $A \sin(k x)$  a  $A \sin(-k x)$  odpovídají stejnému stavu.

Hrana kvádru připadajícího na jeden stav v prostoru vlnových vektorů je tedy

$$\Delta k_i = 2\pi \frac{n_i + 1}{L_i} - 2\pi \frac{n_i}{L_i} = \frac{2\pi}{L_i} \quad (2.6)$$

a objem kvádrů v  $d$ -rozměrech je (pro určitou hodnotu vlnového vektoru máme mít  $g$  nezávislých stavů, u elektromagnetického záření nebo elektronů  $g=2$  – dva polarizační stavy nebo dva spinové stavy)

$$\Delta^d \vec{k} \Big|_{\text{na jeden stav}} = \frac{(2\pi)^d}{gV} . \quad (2.7)$$

Počet stavů v elementu  $d^d \vec{k}$  dostaneme pak podělením tohoto elementu výrazem (2.7), tj.

$$dn = \frac{gV}{(2\pi)^d} d^d \vec{k} . \quad (2.8)$$

Přejdeme k hypersférickým souřadnicím, kdy

$$d^d \vec{k} = k^{d-1} dk d^{d-1} \Omega_{\vec{k}} . \quad (2.9)$$

Budeme dále předpokládat izotropní závislost energie na hybnosti (vlnovém vektoru), tj.

$E(\vec{k}) = E(k)$ . Potom máme (2.8) integrovat přes úhlové proměnné a dostaneme výraz pro hustotu stavů v závislosti na energii

$$dn = \rho_d(E) dE , \quad \rho_d(E) = g \frac{V}{(2\pi)^d} S_{d-1} \frac{[k(E)]^{d-1}}{\left| \frac{dE}{dk}(E) \right|} . \quad (2.10)$$

V tomto vztahu je  $S_{d-1}$  povrch  $d-1$  rozměrné koule jednotkového poloměru (odvození na konci kapitoly)

$$S_{d-1} = \frac{2\pi^{d/2}}{\Gamma(d/2)} . \quad (2.11)$$

Pro případ záření černého tělesa se výsledek výrazně zjednoduší. Především  $S_2 = 4\pi$  a  $g=2$ .

Dále  $E = \hbar\omega = \hbar ck$ , takže

$$dn = \frac{V}{\pi^2} \frac{E^2}{(\hbar c)^3} dE . \quad (2.12)$$

V zápisu pomocí frekvence nebo vlnové délky pak máme

$$dn = 8\pi V \frac{\nu^2}{c^3} d\nu , \quad dn = 8\pi V \frac{d\lambda}{\lambda^4} . \quad (2.13)$$

Pro neinteragující volné nerelativistické částice hmotnosti  $m$  v nekonečně vysoké potenciálové jámě je závislost hustoty stavů na energii pro různé dimenze velmi zajímavá.

Platí  $E = p^2/(2m) = \hbar^2 k^2/(2m)$ . Označíme pro  $d=1$  délku úsečky  $L$ , velikost plochy pro  $d=2$   $A$  a pro  $d=3$  objem  $V$ . Jednoduchým výpočtem dostáváme

$$\begin{aligned}
d & \rho_d(E) \\
1 & \frac{(2mL)^{1/2}}{2\pi\hbar} \frac{1}{\sqrt{E}} \\
2 & \frac{2\pi mA}{(2\pi\hbar)^2} \\
3 & \frac{2\pi(2m)^{3/2}V}{(2\pi\hbar)^3} \sqrt{E}
\end{aligned} \quad . \quad (2.14)$$

Objem  $d$  ó rozm rné koule polom ru  $r$  bude  $V_d = C_d r^d$ , kde  $C_d$  je konstanta úm rnosti. Kouli si m feme p edstavit slofenou z elementárních slupek  $dV_d = S_d dr$ , kde  $S_d$  je plocha slupky. Spojením obou vztah dostáváme

$$S_d = \frac{dV_d}{dr} = d C_d r^{d-1} \quad . \quad (2.15)$$

Spo teme integrál z funkce  $\exp(-r^2)$  p es celý prostor nejprve v kartézských a potom sférických sou adnicích, tedy

$$\int \exp(-r^2) dV_d = \int_{-\infty}^{\infty} \dots \int_{-\infty}^{\infty} \exp(-x_1^2 \dots - x_d^2) dx_1 \dots dx_d = \left[ \int_{-\infty}^{\infty} \exp(-x^2) dx \right]^d = \pi^{d/2} \quad (2.16)$$

a

$$\begin{aligned}
\int \exp(-r^2) dV_d &= \int_0^{\infty} \exp(-r^2) S_d dr = \\
d C_d \int_0^{\infty} \exp(-r^2) r^{d-1} dr &= \frac{d C_d}{2} \int_0^{\infty} \exp(-t) t^{d/2-1} dt = \frac{1}{2} d C_d \Gamma\left(\frac{d}{2}\right) \quad .
\end{aligned} \quad (2.17)$$

Porovnáním (2.16) a (2.17) dostáváme s využitím vztahu  $\Gamma(x+1) = x\Gamma(x)$  výraz pro konstantu  $C_d$

$$C_d = \frac{\pi^{d/2}}{\Gamma\left(\frac{d}{2}+1\right)} \quad (2.18)$$

a tedy vyjád ení objemu a povrchu  $d$  ó rozm rné koule

$$V_d = \frac{\pi^{d/2}}{\Gamma\left(\frac{d}{2}+1\right)} r^d \quad , \quad S_d = d \frac{\pi^{d/2}}{\Gamma\left(\frac{d}{2}+1\right)} r^{d-1} \quad . \quad (2.19)$$

Výraz pro konstantu  $C_d$  m feme upravit na

$$C_d = \begin{cases} 2^{d+1} \pi^{(d-1)/2} \frac{\left(\frac{d+1}{2}\right)!}{(d+1)!} & d \text{ liché} \\ \frac{\pi^{d/2}}{\left(\frac{d}{2}\right)!} & d \text{ sudé} \end{cases} . \quad (2.20)$$

## 2.2 Příklad: harmonický oscilátor

Hamiltonián jednorozměrného harmonického oscilátoru je

$$H = \frac{p^2}{2m} + \frac{m\omega^2 q^2}{2} . \quad (2.21)$$

Stavy s energií  $E$  se nacházejí na elipse s osami  $\sqrt{2E/(m\omega^2)}$  v souřadnici  $q$  a  $\sqrt{2mE}$  v hybnosti  $p$ . Mikrokanonický soubor s energií  $E$  je zobrazen jako množina bodů na této elipse. Počet stavů  $\Sigma(E)$  s energiemi  $E' \leq E$  je úměrný ploše elipsy. Přijmeme tedy

$$\Sigma = \frac{1}{\Sigma_0} \pi \sqrt{\frac{2E}{m\omega^2}} \sqrt{2mE} = 2\pi \frac{E}{\omega \Sigma_0} , \quad (2.22)$$

kde  $\Sigma_0$  je plocha elementární buňky ve fázovém prostoru. Klasická fyzika nám neposkytuje takovou hodnotu, protože (alespoň v principu) je možné určit okamžité hodnoty souřadnice a hybnosti s libovolnou přesností, takže by se zdálo, že musíme počítat s limitní hodnotou  $\Sigma_0 \rightarrow 0$ . V takovém případě by se entropie stávala nekonečně velikou, v souladu s nekonečným počtem možností pro daný soubor. Kvantování energie ale vede k existenci minimálního objemu fázového prostoru kolem daného stavu s určitou energií. Pokud máme pouze jediný stav s nejnižší kvantovanou hodnotou energie, dostaneme

$$\left. \begin{array}{l} E = \hbar\omega \\ \Sigma = 1 \end{array} \right\} \Rightarrow \Sigma_0 = 2\pi\hbar . \quad (2.23)$$

Velikost elementární buňky je tedy přesně rovna Planckově konstantě  $h$ .

## 2.3 Příklad: částice v jámce

Krychle objemu  $V = L^3$  obsahuje  $N$  neinteragujících částic hmotnosti  $m$ . Jednočásticové vlnové funkce jsou

$$\psi(x, y, z) \propto \sin(k_x x) \sin(k_y y) \sin(k_z z) , \quad (2.24)$$

kde požadavek vymizení  $\psi$  na stěnách krychle vede ke kvantové podmínce



$$k_i = \frac{n_i \pi}{L}, \quad i = x, y, z \quad (2.25)$$

kde  $n_i$  jsou celá čísla. Vzdálenost mezi sousedními vlnovými čísly je  $\pi/L$ , takže každý kvantový stav zaujímá v  $k$  o prostoru objem  $(\pi/L)^3$ . Předpokládáme-li nerelativistické částice, jedno částicové energie jsou

$$\varepsilon_k = \frac{p^2}{2m} = \frac{\hbar^2 k^2}{2m} = n^2 \varepsilon, \quad \varepsilon = \frac{\pi^2 \hbar^2}{2mL^2} \quad (2.26)$$

kde  $n^2 = n_x^2 + n_y^2 + n_z^2$ . Stavy dosahitelné částic v krychli jsou reprezentovány body t řozm ěrné m ěřky v prostoru  $\{k_x, k_y, k_z\}$ . V ěchny rozdílné stavy jsou reprezentovány body v oktantu, ve kterém v ěchna  $n_i \geq 0$ ; záporná celá čísla pouze m ění znaménko vlnové funkce. Celkový počet stav ů v kulové slupce s poloměrem mezi  $k$  a  $k+dk$  je potom objemem jednoho oktantu kulové slupky d ěleným objemem elementární bu ky, takže

$$d\Gamma = \frac{1}{8} \frac{4\pi k^2 dk}{(\pi/L)^3} = \frac{V}{2\pi^2} k^2 dk = \frac{V 4\pi p^2 dp}{(2\pi\hbar)^3}. \quad (2.27)$$

I kdyby odvození bylo provedeno pro krychlovou jámu, p ě dostate n ě velkém objemu  $V$  výsledek na tvaru oblasti nezávisí. Je proto možné zapsat výsledek pro počet stav ů  $d\Gamma$  v obecn ěm tvaru

$$d\Gamma = \frac{d^3 \vec{r} d^3 \vec{p}}{(2\pi\hbar)^3}. \quad (2.28)$$

Op ět tedy dostáváme pro objem  $\delta$  elementární bu ky ve fázovém prostoru jako Planckovu konstantu  $h=2\pi\hbar$ . Tento výsledek je z ěejm ě dán Heisenbergovou relací neur ěitosti.

### 3. Lineární harmonický oscilátor

#### 3.1 Kvantování

Hamiltonián lineárního harmonického oscilátoru je

$$H = \frac{1}{2m} p^2 + \frac{m\omega^2}{2} x^2. \quad (3.1)$$

Hamiltonovy rovnice jsou

$$\frac{dx}{dt} = \frac{\partial H}{\partial p} = \frac{p}{m}, \quad \frac{dp}{dt} = -\frac{\partial H}{\partial x} = -m\omega^2 x. \quad (3.2)$$

Zavedeme bezrozměrnou proměnnou

$$a = \left( \frac{m\omega}{2\hbar} \right)^{1/2} x + i \left( \frac{1}{2m\hbar\omega} \right)^{1/2} p . \quad (3.3)$$

Pro tuto proměnnou dostáváme snadno řešitelnou rovnici

$$\frac{da}{dt} + i\omega a = 0 \Rightarrow a = \alpha \exp[-i\omega t] , \quad (3.4)$$

kde  $\alpha$  je libovolná komplexní konstanta. Vyjádříme-li souřadnici a hybnost pomocí  $a$  a  $a^*$ , dostáváme

$$x = \left( \frac{\hbar}{2m\omega} \right)^{1/2} (a + a^*) , \quad p = \frac{1}{i} \left( \frac{m\hbar\omega}{2} \right)^{1/2} (a - a^*) . \quad (3.5)$$

Po dosazení do (3.1) dostáváme

$$H = \frac{1}{2} (a a^* + a^* a) \hbar \omega . \quad (3.6)$$

Záměrně dbáme na podobu, protože tak můžeme hned napsat kvantově mechanický vztah pro komplexně sdružená veličina odpovídá hermiteovsky sdruženému operátoru. Můžeme tedy vztahy (3.5) a (3.6) přepsat na

$$\hat{x} = \left( \frac{\hbar}{2m\omega} \right)^{1/2} (\hat{a} + \hat{a}^\dagger) , \quad \hat{p} = \frac{1}{i} \left( \frac{m\hbar\omega}{2} \right)^{1/2} (\hat{a} - \hat{a}^\dagger) \quad (3.7)$$

a

$$\hat{H} = \frac{1}{2} (\hat{a}\hat{a}^\dagger + \hat{a}^\dagger\hat{a}) \hbar \omega . \quad (3.8)$$

Operátory  $\hat{a}$  a  $\hat{a}^\dagger$  jsou hermiteovsky sdružené, operátory fyzikálních veličin  $\hat{x}$ ,  $\hat{p}$  a  $\hat{H}$  jsou hermiteovské. Z komutační relace pro operátory  $\hat{x}$  a  $\hat{p}$

$$[\hat{x}, \hat{p}] = i\hbar \hat{1} \quad (3.9)$$

dostaneme po dosazení z (3.7) komutační relaci pro operátory  $\hat{a}$  a  $\hat{a}^\dagger$

$$[\hat{a}, \hat{a}^\dagger] = \hat{1} . \quad (3.10)$$

Dosazením za  $\hat{a}\hat{a}^\dagger$  ze (3.10) do (3.8) dostáváme pro Hamiltonův operátor lineárního harmonického oscilátoru výraz

$$\hat{H} = \left( \hat{N} + \frac{1}{2} \hat{1} \right) \hbar \omega , \quad \hat{N} = \hat{a}^\dagger \hat{a} . \quad (3.11)$$

Operátor  $\hat{N}$  má jako vlastní hodnoty nezáporná celá čísla. Důkaz není obtížný. Vezme  
 $n$  jaký normovaný vlastní vektor  $|n\rangle$  s vlastní hodnotou  $n$ . Máme tedy

$$\hat{N}|n\rangle = n|n\rangle \quad \stackrel{|n\rangle}{\Rightarrow} \quad n = \langle n|\hat{N}|n\rangle = (\langle n|\hat{a}^\dagger)(a|n\rangle) = |(a|n\rangle)|^2 \geq 0 \quad . \quad (3.12)$$

Dále z komutačních relací

$$\begin{aligned} [\hat{N}, \hat{a}^\dagger] &= \hat{a}^\dagger \quad \stackrel{|n\rangle}{\Rightarrow} \quad \hat{N}(\hat{a}^\dagger|n\rangle) = (n+1)(\hat{a}^\dagger|n\rangle) \quad , \\ [\hat{N}, \hat{a}] &= -\hat{a} \quad \stackrel{|n\rangle}{\Rightarrow} \quad \hat{N}(\hat{a}|n\rangle) = (n-1)(\hat{a}|n\rangle) \quad . \end{aligned} \quad (3.13)$$

Je tedy  $\hat{a}^\dagger|n\rangle$  vlastním vektorem operátoru  $\hat{N}$  s vlastní hodnotou  $n+1$  a  $\hat{a}|n\rangle$  vlastním  
vektorem operátoru  $\hat{N}$  s vlastní hodnotou  $n-1$ , tedy

$$\hat{a}^\dagger|n\rangle = \lambda_n|n+1\rangle \quad , \quad \hat{a}|n\rangle = \mu_n|n-1\rangle \quad . \quad (3.14)$$

Konstanty  $\lambda_n$  a  $\mu_n$  získáme z

$$\begin{aligned} |\lambda_n|^2 &= |(\hat{a}^\dagger|n\rangle)|^2 = (\langle n|\hat{a})(\hat{a}^\dagger|n\rangle) = \langle n|\hat{a}\hat{a}^\dagger|n\rangle = \langle n|\hat{N}+\hat{1}|n\rangle = n+1 \quad , \\ |\mu_n|^2 &= |(\hat{a}|n\rangle)|^2 = (\langle n|\hat{a}^\dagger)(\hat{a}|n\rangle) = \langle n|\hat{a}^\dagger\hat{a}|n\rangle = \langle n|\hat{N}|n\rangle = n \quad . \end{aligned} \quad (3.15)$$

Konstanty zvolíme jako reálná čísla a dostáváme tak konečné vyjádření působení kreací  
 $\hat{a}^\dagger$ ) a anihilace (  $\hat{a}$ ) operátoru na vlastní vektory operátoru  $\hat{N}$

$$\hat{a}^\dagger|n\rangle = (n+1)^{1/2}|n+1\rangle \quad , \quad \hat{a}|n\rangle = n^{1/2}|n-1\rangle \quad . \quad (3.16)$$

Přirozen

$$\hat{N}|n\rangle = \hat{a}^\dagger\hat{a}|n\rangle = \hat{a}^\dagger(\hat{a}|n\rangle) = n^{1/2}\hat{a}^\dagger|n-1\rangle = n|n\rangle \quad . \quad (3.17)$$

Pro Hamiltonův operátor lineárního harmonického oscilátoru máme pak

$$\hat{H}|n\rangle = E_n|n\rangle \quad , \quad E_n = \left(n + \frac{1}{2}\right)\hbar\omega \quad . \quad (3.18)$$

Vektor popisující základní stav s  $n=0$  splňuje

$$\hat{a}|0\rangle = 0 \quad . \quad (3.19)$$

Zapíšeme-li tento vztah s operátory v souřadnicové reprezentaci, dostáváme rovnici

$$\frac{dh_0(x)}{dx} + \frac{m\omega x}{\hbar}h_0(x) = 0 \quad , \quad (3.20)$$

její normované řešení je

$$h_0(x) = \left( \frac{m\omega}{\pi\hbar} \right)^{1/4} \exp \left[ -\frac{m\omega}{2\hbar} x^2 \right] . \quad (3.21)$$

Funkce, odpovídající vy—ím energiovým hladinám dostaneme podle (3.16) jako

$$h_n(x) = \left( \frac{m\omega}{2\hbar n} \right)^{1/2} \left( x h_{n-1}(x) - \frac{\hbar}{m\omega} \frac{dh_{n-1}(x)}{dx} \right) . \quad (3.22)$$

### 3.2 Statistika

Pro energiové hladiny jsme odvodili vztah (3.18)

$$E_n = \left( n + \frac{1}{2} \right) \hbar \omega . \quad (3.23)$$

Statistická suma je tedy

$$Z = \sum_{n=0}^{\infty} \exp \left[ -\frac{E_n}{k_B T} \right] = \exp \left[ -\frac{\hbar \omega}{2k_B T} \right] \sum_{n=0}^{\infty} \exp \left[ -n \frac{\hbar \omega}{k_B T} \right] = \frac{\exp \left[ -\frac{\hbar \omega}{2k_B T} \right]}{1 - \exp \left[ -\frac{\hbar \omega}{k_B T} \right]} . \quad (3.24)$$

Pro volnou energii máme

$$F = -k_B T \ln Z = \frac{\hbar \omega}{2} + k_B T \ln \left( 1 - \exp \left[ -\frac{\hbar \omega}{k_B T} \right] \right) \quad (3.25)$$

a pro vnit ní energii

$$U = \frac{1}{Z} \sum_{n=0}^{\infty} E_n \exp \left[ -\frac{E_n}{k_B T} \right] = \frac{\partial}{\partial \frac{1}{T}} \left( \frac{F}{T} \right) = \frac{\hbar \omega}{2} + \frac{\hbar \omega}{\exp \left[ \frac{\hbar \omega}{k_B T} \right] - 1} . \quad (3.26)$$

Zavedeme-li obsazovací íslo

$$\langle n \rangle = \frac{1}{\exp \left[ \frac{\hbar \omega}{k_B T} \right] - 1} , \quad (3.27)$$

dostáváme pro vnit ní energii obvyklý zápis

$$U = \left( \langle n \rangle + \frac{1}{2} \right) \hbar \omega . \quad (3.28)$$

Pro vysoké i nízké teploty dostáváme očekávané limitní případy

$$\begin{aligned} \hbar \omega \ll k_B T &\Rightarrow U \approx k_B T , \\ \hbar \omega \gg k_B T &\Rightarrow U \approx \frac{\hbar \omega}{2} . \end{aligned} \quad (3.29)$$

## 4. Zá ení erného t lesa

### 4.1 Vlastní kmity pole (módy)

V uzav ené dutin ( erné t lesa) existuje nekone n mnoho mód kmit elektromagnetického vln ní, charakterizovaných frekvencí a polarizací. Každý mód se v-ak chová jako nezávislý kvantový lineární harmonický oscilátor.

Zá ení je uzav eno v kvádru o hranách délky  $A, B, C$  (objem  $V=ABC$ ). Kalibraci zvolíme coulombovskou, tj. ve vakuu  $\phi=0, \vec{\nabla} \cdot \vec{A}=0$ . Potenciál (reálná funkce) rozložíme do Fourierových sloflek

$$\vec{A} = \sum_{\vec{k}} \vec{A}_{\vec{k}} \exp(i\vec{k} \cdot \vec{r}) \quad , \quad \vec{k} \cdot \vec{A}_{\vec{k}} = 0 \quad , \quad \vec{A}_{-\vec{k}} = \vec{A}_{\vec{k}}^* \quad , \quad (4.1)$$

p ítom

$$k_x = \frac{2\pi n_x}{A} \quad , \quad k_y = \frac{2\pi n_y}{B} \quad , \quad k_z = \frac{2\pi n_z}{C} \quad , \quad (4.2)$$

kde  $n_x, n_y, n_z$  jsou celá ísla. Fourierovy slofky vyhovují rovnici

$$\frac{d^2 \vec{A}_{\vec{k}}}{dt^2} + \omega^2 \vec{A}_{\vec{k}} = 0 \quad . \quad (4.3)$$

Jsou-li rozm ry  $A, B, C$  zvoleného objemu dostate n velké, jsou sousední hodnoty  $k_x, k_y, k_z$  velmi blízké a m ůžeme uvařovat o po tu mofných stav v intervalu hodnot vlnového vektoru

$$\Delta n_x = \frac{A}{2\pi} \Delta k_x \quad , \quad \Delta n_y = \frac{B}{2\pi} \Delta k_y \quad , \quad \Delta n_z = \frac{C}{2\pi} \Delta k_z \quad , \quad (4.4)$$

celkov pak

$$\Delta n = \Delta n_x \Delta n_y \Delta n_z = V \frac{\Delta k_x \Delta k_y \Delta k_z}{(2\pi)^3} \quad . \quad (4.5)$$

Pro pole dostaneme s potenciálem (4.1)

$$\begin{aligned} \vec{E} &= -\frac{\partial \vec{A}}{\partial t} = -\sum_{\vec{k}} \frac{d \vec{A}_{\vec{k}}}{dt} \exp(i\vec{k} \cdot \vec{r}) \quad , \\ \vec{B} &= \vec{\nabla} \times \vec{A} = i \sum_{\vec{k}} \vec{k} \times \vec{A}_{\vec{k}} \exp(i\vec{k} \cdot \vec{r}) \quad . \end{aligned} \quad (4.6)$$

Celková energie pole je

$$\mathcal{E} = \frac{1}{2} \int \left( \epsilon_0 \vec{E}^2 + \frac{1}{\mu_0} \vec{B}^2 \right) dV = \frac{V}{2} \sum_{\vec{k}} \left( \epsilon_0 \frac{d \vec{A}_{\vec{k}}}{dt} \cdot \frac{d \vec{A}_{\vec{k}}^*}{dt} + \frac{1}{\mu_0} (\vec{k} \times \vec{A}_{\vec{k}}) \cdot (\vec{k} \times \vec{A}_{\vec{k}}^*) \right) \quad . \quad (4.7)$$

Jednoduchou úpravou (vyuřítí kalibra ní podmínky) p epí-eme výraz (4.7) na

$$\mathfrak{E} = \frac{V \varepsilon_0}{2} \sum_{\vec{k}} \left( \frac{d \vec{A}_{\vec{k}}}{dt} \cdot \frac{d \vec{A}_{\vec{k}}^*}{dt} + \omega_k^2 \vec{A}_{\vec{k}} \cdot \vec{A}_{\vec{k}}^* \right), \quad \omega_k = c |\vec{k}|. \quad (4.8)$$

Rozklad potenciálu (4.1) obsahuje jak stojaté, tak postupné vlny. Vhodn j-í pro interpretaci je rozklad potenciálu, který obsahuje jen postupné vlny

$$\vec{A} = \sum_{\vec{k}} \left[ \vec{a}_{\vec{k}} \exp(i(\vec{k} \cdot \vec{r} - \omega_k t)) + \vec{a}_{\vec{k}}^* \exp(-i(\vec{k} \cdot \vec{r} - \omega_k t)) \right]. \quad (4.9)$$

Porovnáním (4.9) a (4.1) dostáváme

$$\vec{A}_{\vec{k}} = \vec{a}_{\vec{k}} \exp(-i \omega_k t) + \vec{a}_{-\vec{k}}^* \exp(i \omega_k t). \quad (4.10)$$

Dosazení (4.10) do (4.8) umožní uje te napsat energii pole jako

$$\mathfrak{E} = \sum_{\vec{k}} \mathfrak{E}_{\vec{k}}, \quad \mathfrak{E}_{\vec{k}} = 2V \varepsilon_0 \omega_k^2 \vec{a}_{\vec{k}} \cdot \vec{a}_{\vec{k}}^*. \quad (4.11)$$

Obdobn dostaneme pro impuls

$$\vec{\mathfrak{P}} = \frac{1}{\mu_0} \int (\vec{E} \times \vec{B}) dV = \sum_{\vec{k}} \frac{\vec{k}}{k} \frac{\mathfrak{E}_{\vec{k}}}{c}. \quad (4.12)$$

Nakonec zavedeme kanonické prom nné

$$\begin{aligned} \vec{Q}_{\vec{k}} &= \sqrt{\varepsilon_0 V} (\vec{a}_{\vec{k}} \exp(-i \omega_k t) + \vec{a}_{\vec{k}}^* \exp(i \omega_k t)), \\ \vec{P}_{\vec{k}} &= -i \omega_k \sqrt{\varepsilon_0 V} (\vec{a}_{\vec{k}} \exp(-i \omega_k t) - \vec{a}_{\vec{k}}^* \exp(i \omega_k t)) = \frac{d \vec{Q}_{\vec{k}}}{dt}. \end{aligned} \quad (4.13)$$

V t chto prom nných máme energii vyjád enu jako energii souboru nezávislých harmonických oscilátor

$$\mathfrak{E} = \sum_{\vec{k}} \mathfrak{E}_{\vec{k}}, \quad \mathfrak{E}_{\vec{k}} = \frac{1}{2} (\vec{P}_{\vec{k}}^2 + \omega_k^2 \vec{Q}_{\vec{k}}^2). \quad (4.14)$$

## 4.2 Planck v vyza ovací zákon

Nahradíme se ítání pes mofné módy integrací (faktor 2 odpovídá dv ma r zným polariza ním stav m)

$$2 \sum_{n_x, n_y, n_z} \rightarrow 2V \int \frac{dk_x dk_y dk_z}{(2\pi)^3} = 2V \int_0^\infty \frac{4\pi k^2 dk}{(2\pi)^3}. \quad (4.15)$$

Pro volnou energii máme tak (nekone nou energii nulových kmit neuvflujeme)

$$F = \frac{k_B T}{\pi^2} V \int_0^\infty \ln \left( 1 - \exp \left[ -\frac{\hbar c k}{k_B T} \right] \right) k^2 dk. \quad (4.16)$$

Po substituci

$$x = \frac{\hbar c}{k_B T} k \quad (4.17)$$

dostáváme

$$F = \frac{1}{\pi^2} \frac{(k_B T)^4}{(\hbar c)^3} V \int_0^\infty \ln(1 - \exp[-x]) x^2 dx \quad (4.18)$$

Po integraci per partes

$$F = -\frac{1}{3\pi^2} \frac{(k_B T)^4}{(\hbar c)^3} V \int_0^\infty \frac{\exp[-x]}{1 - \exp[-x]} x^3 dx \quad (4.19)$$

Pozd ji uvidíme, že hodnota integrálu je

$$\int_0^\infty \frac{\exp[-x]}{1 - \exp[-x]} x^3 dx = \frac{\pi^4}{15} \quad (4.20)$$

takže konečné vyjádření volné energie záření černého tělesa je

$$F = -\frac{\pi^2}{45} \frac{(k_B T)^4}{(\hbar c)^3} V = -\frac{4}{3c} \sigma T^4 V \quad (4.21)$$

kde  $\sigma$  je Stefanova-Boltzmannova konstanta

$$\sigma = \frac{\pi^2}{60} \frac{k_B^4}{\hbar^3 c^2} \left( \frac{k_B}{\hbar c} \right)^4 = 5,670400(40) \cdot 10^{-8} \text{ W m}^{-2} \text{ K}^{-4} \quad (4.22)$$

Entropie je

$$S = -\left. \frac{\partial F}{\partial T} \right|_V = \frac{16}{3c} \sigma T^3 V \quad (4.23)$$

a vnitřní energie

$$U = F + TS = \frac{4}{c} \sigma T^4 V \quad (4.24)$$

Specifické teplo je

$$C_V = \left. \frac{\partial U}{\partial T} \right|_V = \frac{16}{c} \sigma T^3 V \quad (4.25)$$

Konečně pro tlak dostáváme

$$P = -\left. \frac{\partial F}{\partial V} \right|_T = \frac{4}{3c} \sigma T^4 \quad (4.26)$$

takže

$$PV = \frac{E}{3} . \quad (4.27)$$

Po et mód leffících v intervalu vlnového vektoru  $(k, k+dk)$  ó vztah (4.15) ó p epo teme na interval frekvencí  $(\nu, \nu+d\nu)$

$$k = \frac{2\pi}{\lambda} = \frac{2\pi\nu}{c} \Rightarrow \frac{k^2 dk}{\pi^2} = \frac{8\pi\nu^2 d\nu}{c^3} . \quad (4.28)$$

Podle (3.26) je st ední energie oscilátoru s frekvencí  $\nu$

$$\frac{h\nu}{\exp\left[\frac{h\nu}{k_B T}\right] - 1} , \quad (4.29)$$

takfle energie zá ení jednotkového objemu v intervalu mezi  $\nu$  a  $\nu+d\nu$  je

$$U_\nu d\nu = \frac{8\pi\nu^2}{c^3} \frac{h\nu d\nu}{\exp\left[\frac{h\nu}{k_B T}\right] - 1} . \quad (4.30)$$

Integrací (4.30) p es celé spektrum dostáváme p írozen (4.24) pod lené objemem  $V$ . Výraz (4.30) nazýváme podle objevitele Planckovým vyza ovacím zákonem. Pro p ípad nízkých frekvencí a vysokých teplot  $h\nu \ll k_B T$  dostáváme z Planckova zákona Rayleigh v ó Jeans v zákon

$$U_\nu d\nu = \frac{8\pi\nu^2}{c^3} k_B T d\nu , \quad (4.31)$$

pro opa nou situaci, kdy  $h\nu \gg k_B T$  Wien v zákon

$$U_\nu d\nu = \frac{8\pi h\nu^3}{c^3} \exp\left[-\frac{h\nu}{k_B T}\right] d\nu . \quad (4.32)$$

## 5. Termodynamické zákony

V termodynamice je vhodné uvařovat o soustavách izolovaných (fládná vým na s okolím), uzav ených (uzáv rnou st nou m fle docházet k vým n tepla s okolím ) a otev ených (uzáv rnou st nou m fle docházet jak k vým n tepla, tak hmotných ástic s okolím). Termodynamické zákony se týkají soustav uzav ených, n kdy v roz-í ení i soustav otev ených.



## 5.1 Nultá vta

Dvě soustavy, které jsou každá v termodynamické rovnováze se soustavou třetí, jsou také ve vzájemné termodynamické rovnováze.

## 5.2 První vta

Energie se zachovává. Množství energie uložené v soustavě (její vnitřní energie) se může změnit o teplo dodané soustavě nebo změnit o práci, kterou soustava vykoná na okolí. Experimentálně je ověřeno, že pro libovolný uzavřený cyklus platí

$$\oint (Q - W) = 0 \quad (5.1)$$

Odsud pak plyne existence stavové funkce vnitřní energie

$$dU = Q - W \quad (5.2)$$

Ve statistické fyzice jsme definovali zobecněnou sílu sdruženou s parametrem  $\alpha$  jako (1.41), takže s ní spojenou práci zapíšeme jako

$$W = \int f_\alpha d\alpha \quad (5.3)$$

Někdy pak předkládá tento zápis

$$W = P dV - \sigma dA - \vec{E} \cdot d\vec{P} - \vec{H} \cdot d\vec{M} - \phi de - \mu dN \quad (5.4)$$

Ve (5.4) vystupují jako zobecněné síly  $P$  tlak,  $\sigma$  povrchové napětí,  $\vec{E}$  intenzita elektrického pole,  $\vec{H}$  intenzita magnetického pole,  $\phi$  elektrostatický potenciál a  $\mu$  chemický potenciál. Jako sdružené parametry pak  $V$  objem,  $A$  plocha povrchu,  $\vec{P}$  polarizace,  $\vec{M}$  magnetizace,  $e$  elektrický náboj a  $N$  počet částic.

## 5.3 Druhá vta

Teplo proudí samovolně od míst s vyšší teplotou k místům s nižší teplotou. Tato podmínka zjednodušená formulace má několik esenciálních verzí:

- (1) Není možné sestavit stroj, který by při cyklickém provozu neměl jiný účinek než vykonávání práce na úkor odvodu tepla z rezervoáru (Kelvin).
- (2) Není možné sestavit stroj, který by při cyklickém provozu neměl jiný účinek než převod tepla od chladnějšího k teplejšímu tělesu (Clausius).
- (3) Změna entropie soustavy a jejího okolí (nebo změna entropie izolované soustavy) je vždy nezáporná a nulové hodnoty dosahuje jen pro vratné děje.

Nebudeme zde opakovat termodynamické úvahy o Carnotově cyklu, zmíníme jen důsledek

$$\oint_{\text{rev}} \frac{Q}{T} = 0 \quad (5.5)$$

odkud plyne pro vratné děje

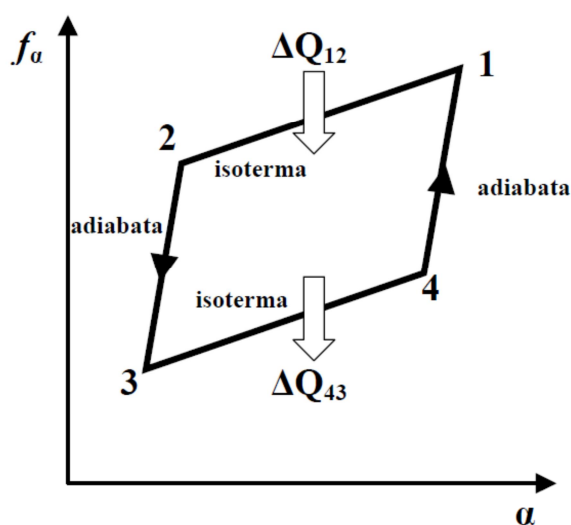
$$dS = \frac{Q}{T} \quad (5.6)$$

Pro nevratné d je je

$$\oint_{\text{irrev}} \frac{Q}{T} < \oint_{\text{rev}} dS = 0 \Rightarrow \int_1^2 \frac{Q}{T} < \int_1^2 dS = \Delta S \quad (5.7)$$

tedy obecn pro zm nu entropie p i p echodu z jednoho do druhého stavu

$$\Delta S \geq 0 \quad (5.8)$$



#### 5.4 T etí v ta

Rozdíl v entropii mezi stavy spojenými vratným d jem jde k nule v limit  $T \rightarrow 0K$ . Jiná formulace: Je nemožné dosáhnout absolutní nuly kone ným po tem krok vratného d je. D sledkem t etí v ty je také to, že n které derivace entropie se limitn blíží nule pro  $T \rightarrow 0K$ .

Ve statistické fyzice je entropie definována vztahem (1.26), který znovu napí-eme:

$$S = -k_B \sum_n w_n \ln w_n \quad (5.9)$$

Je-li nejnižší hladina systému (energie základního stavu)  $E_0$ , napí-eme pravd podobnost obsazení  $k$  ó tého stavu jako

$$w_k = \frac{\exp\left[-\frac{E_k - E_0}{k_B T}\right]}{\sum_n \exp\left[-\frac{E_n - E_0}{k_B T}\right]} \quad (5.10)$$

Pro  $T \rightarrow 0K$  dostáváme

$$w_k(T=0\text{K}) = \begin{cases} \frac{1}{g} & E_k = E_0 \\ 0 & E_k > E_0 \end{cases}, \quad (5.11)$$

kde  $g$  je degenerace základního stavu. Dosazení (5.11) do (5.9) dává

$$S(T=0\text{K}) = k_B \ln g. \quad (5.12)$$

## 6. Gibbsovo rozdělení

### 6.1 Entropie

Rozdělme soustavu na podsoustavy a uvažujme jednu z nich. Pravděpodobnost výskytu energie  $E_n$  označme  $w_n = w(E_n)$ . Předpokládáme-li kvazikontinuální spektrum, můžeme uvažovat spojitou proměnnou energii  $E$  a tedy hustotu pravděpodobnosti jejího výskytu  $w(E)$ . Označme dále  $\Gamma(E)$  počet kvantových stavů s energií menší než  $E$ . Potom počet stavů s energií v intervalu  $(E, E+dE)$  je

$$\frac{d\Gamma(E)}{dE} dE. \quad (6.1)$$

Pravděpodobnost nalezení podsoustavy s energií v intervalu  $(E, E+dE)$  pak je

$$W(E)dE = \frac{d\Gamma(E)}{dE} w(E)dE. \quad (6.2)$$

Normovací podmínka je

$$\int W(E)dE = 1. \quad (6.3)$$

Funkce  $W(E)$  je jen na velmi malém intervalu v okolí  $E = \bar{E}$  významně odlišná od nuly, můžeme proto zavést energiovou šířku  $\Delta E$  rozdělení vztahem

$$W(\bar{E})\Delta E = 1. \quad (6.4)$$

S uvažováním (6.2) pak

$$w(\bar{E})\Delta\Gamma = 1, \quad (6.5)$$

kde  $\Delta\Gamma$  je statistická váha makroskopického stavu námi uvažované podsoustavy

$$\Delta\Gamma = \left. \frac{d\Gamma(E)}{dE} \right|_{E=\bar{E}} \Delta E. \quad (6.6)$$

Entropie je definována jako logaritmus statistické váhy (tj. počet mikrostavů v makrostavu zadaném hodnotami  $\bar{E}$  a  $\Delta E$ ) násobený Boltzmannovou konstantou

$$S = k_B \ln \Delta \Gamma \quad . \quad (6.7)$$

Podle (6.5) můžeme psát

$$S = -k_B \ln w(\bar{E}) \quad . \quad (6.8)$$

Vrátíme se teď k diskrétnímu značení. Máme

$$\ln w(E_n) = \alpha + \beta E_n \quad (6.9)$$

Proveďte odvození

$$\begin{aligned} \sum_n w_n \ln w_n &= \sum_n w(E_n) \ln w(E_n) = \alpha \underbrace{\sum_n w(E_n)}_{=1} + \beta \underbrace{\sum_n w(E_n) E_n}_{=\bar{E}} = \\ & \alpha + \beta \bar{E} = \ln w(\bar{E}) \quad . \end{aligned} \quad (6.10)$$

Dosažením ze (6.10) do (6.8) dostáváme definici entropie vztahem (1.15)

$$S = -k_B \sum_n w_n \ln w_n \quad . \quad (6.11)$$

## 6.2 Souvislost klasického a kvantového popisu

Pro klasický popis máme místo vztahu (6.5), který definuje statistickou váhu makrostavu, výraz

$$\rho(\bar{E}) \Delta p \Delta q = 1 \quad , \quad (6.12)$$

který pro rozdělovací funkci  $\rho(E)$  definuje objem fázového prostoru  $\Delta p \Delta q$  zaplněný makrostavem. Pro jednorozměrný případ částice v potenciálové jámě zjistíme počet mikrostavů z Bohrových podmínek kvantování

$$\frac{1}{2\pi\hbar} \oint p_x dx = n + \gamma \quad , \quad (6.13)$$

$n$  je celé číslo a  $\gamma$  zlomek v intervalu  $[0, 1/2]$ . Integrál je plocha uzavřená klasickými trajektoriemi ve fázovém prostoru a  $n$  je počet kvantových stavů s energiemi, nepřevyšujícími energii dané fázové trajektorie, tedy hledaný počet mikrostavů. Plochu zapíšeme jako  $\Delta p_x \Delta x$ , pro soustavu, která má  $s$  stupňů volnosti a když značíme objem fázového prostoru jako  $\Delta p \Delta q$  dostáváme statistickou váhu makrostavu a entropii

$$\Delta \Gamma = \frac{\Delta p \Delta q}{(2\pi\hbar)^s} \quad , \quad S = k_B \ln \frac{\Delta p \Delta q}{(2\pi\hbar)^s} \quad . \quad (6.14)$$

### 6.3 Gibbsovo rozd lení

Uvařujeme o soustavě  $S$  s energií  $E$  v rovnováze s rezervoárem  $S'$  s energií  $E'$  jako jednomu celku se zadanou energií  $E^{(0)}$ . Potom pro  $n$  platí mikrokanonické rozd lení

$$dw = \text{konst} \delta(E + E' - E^{(0)}) d\Gamma d\Gamma' . \quad (6.15)$$

Zajímá nás pravd podobnost toho, ře celek se nachází v takovém stavu, ře soustava  $S$  je v ur itém kvantovém stavu (mikrostav) s energií  $E_n$ , ale rezervoár je v makrostavu se statistickou váhou  $\Delta\Gamma'$ , která odpovídá neur itosti energie  $\Delta E'$ . Bude tak

$$d\Gamma = \delta(E - E_n) dE , \quad d\Gamma' = \frac{d\Gamma'(E')}{dE'} dE' = \frac{1}{\Delta E'} \exp\left[\frac{1}{k_B} S'(E')\right] dE' . \quad (6.16)$$

Dostáváme

$$w_n = \text{konst} \iint \frac{1}{\Delta E'} \exp\left[\frac{1}{k_B} S'(E')\right] \delta(E - E_n) \delta(E + E' - E^{(0)}) dE dE' = \\ \text{konst} \left( \frac{1}{\Delta E'} \exp\left[\frac{1}{k_B} S'(E')\right] \right) \Big|_{E' = E^{(0)} - E_n} . \quad (6.17)$$

Vzhledem k velkému nepoměru energií  $E^{(0)}$  a  $E_n$  můžeme v Taylorov rozvoji entropie ponechat jen nejniří řeny

$$S'(E^{(0)} - E_n) \approx S'(E^{(0)}) - \left. \frac{dS'(E')}{dE'} \right|_{E' = E^{(0)}} E_n . \quad (6.18)$$

Protoře

$$\left. \frac{dS'(E')}{dE'} \right|_{E' = E^{(0)}} = \frac{1}{T} , \quad (6.19)$$

dostáváme pro pravd podobnost  $w_n$

$$w_n = \frac{1}{Z} \exp\left[-\frac{E_n}{k_B T}\right] , \quad Z = \sum_n \exp\left[-\frac{E_n}{k_B T}\right] , \quad (6.20)$$

kde konstanta je ur ena z podmínky, aby sou řet pravd podobností byl roven jedné. Tento výsledek poprvé odvodil J.W.Gibbs (1901). Rozd lení (6.20) se nazývá Gibbsovo nebo také kanonické.

V kvantové teorii jsou pravd podobnosti  $w_n$  vlastními hodnotami p říslnými vlastním vektor m  $|n\rangle$  statistického operátoru  $\hat{w}$  ( řast ji nazývaného matice hustoty)

$$\hat{w} = \sum_n |n\rangle w_n \langle n| \quad . \quad (6.21)$$

Střední hodnotu operátoru  $\hat{F}$  považujeme jako

$$\langle \hat{F} \rangle = \text{Tr} \{ \hat{F} \hat{w} \} = \sum_n w_n \langle n | \hat{F} | n \rangle \quad . \quad (6.22)$$

V klasické statistice s rozdělovací funkcí

$$\rho(p, q) = \frac{1}{Z} \exp \left[ -\frac{E(p, q)}{k_B T} \right] \quad , \quad (6.23)$$

$$Z = \int' \exp \left[ -\frac{E(p, q)}{k_B T} \right] d\Gamma \quad , \quad d\Gamma = \frac{dp dq}{(2\pi\hbar)^s}$$

je střední hodnota fyzikální veličiny  $F$  dána vztahem

$$\langle F \rangle = \int' \rho(p, q) F(p, q) d\Gamma \quad . \quad (6.24)$$

Čárka u značky statistického integrálu vyznačuje, že musíme integrovat jen po té oblasti fázového prostoru, která popisuje fyzikálně odlišné stavy. V případě statistické sumy tento problém nemohl nastat, seřadilo se právě jen přes různé stavy. Při výpočtu statistického integrálu je možné rozšířit oblast integrace na celý fázový prostor zavedením nějakého opravného faktoru. Například pro soustavu tvořenou  $N$  stejnými atomy musíme integrovat přes celý fázový prostor, podélíme-li integrál po tem možných permutací, tj.

$$\int' \dots d\Gamma = \frac{1}{N!} \int \dots d\Gamma \quad . \quad (6.25)$$

#### 6.4 Maxwellovo rozdělení

Pokud je možné pro klasickou soustavu vzájemně neinteragujících částic zapsat energii jako součet kinetické energie, která je funkcí pouze hybností a potenciální energie, která je funkcí pouze souřadnic

$$E(\vec{p}, \vec{q}) = T(\vec{p}) + U(\vec{q}) \quad , \quad (6.26)$$

musíme nezávisle sledovat rozdělení v obou veličinách

$$dw_{\vec{p}} = \frac{1}{Z} \exp \left[ -\frac{T(\vec{p})}{k_B T} \right] d^3 \vec{p} \quad , \quad Z = \int \exp \left[ -\frac{T(\vec{p})}{k_B T} \right] d^3 \vec{p} \quad (6.27)$$

a

$$dw_{\vec{q}} = \frac{1}{Z} \exp \left[ -\frac{U(\vec{q})}{k_B T} \right] d^3 \vec{q} \quad , \quad Z = \int \exp \left[ -\frac{U(\vec{q})}{k_B T} \right] d^3 \vec{q} \quad . \quad (6.28)$$

Maxwellovo rozdělení popisuje rozdělení rychlostí v nerelativistickém případě, kdy je možné kinetickou energii zapsat jako

$$T(\vec{p}) = \frac{\vec{p}^2}{2m} = \frac{1}{2}m(v_x^2 + v_y^2 + v_z^2) = \frac{1}{2}mv^2 \quad . \quad (6.29)$$

Pro výpočet normovací konstanty docházíme k integrálu (předpokládáme  $\alpha > 0$ )

$$I_n = \int_0^\infty x^n \exp[-\alpha x^2] dx = \frac{1}{2\alpha^{\frac{n+1}{2}}} \Gamma\left(\frac{n+1}{2}\right) \quad . \quad (6.30)$$

Pro rozdělení kartézských složek rychlostí dostáváme tak

$$dw_{\vec{v}} = \left(\frac{m}{2\pi k_B T}\right)^{3/2} \exp\left[-\frac{m(v_x^2 + v_y^2 + v_z^2)}{2k_B T}\right] dv_x dv_y dv_z \quad , \quad (6.31)$$

pro rozdělení velikosti rychlostí

$$dw_v = 4\pi \left(\frac{m}{2\pi k_B T}\right)^{3/2} \exp\left[-\frac{mv^2}{2k_B T}\right] v^2 dv \quad . \quad (6.32)$$

## 6.5 Rozdělení pro lineární harmonický oscilátor

Energie lineárního harmonického oscilátoru je

$$E(p, q) = \frac{p^2}{2m} + \frac{m\omega^2 q^2}{2} \quad . \quad (6.33)$$

V klasickém případě dostaneme tedy pro hustotu Maxwellovo rozdělení

$$dw_p = \rho(p) dp \quad , \quad \rho(p) = \frac{1}{(2\pi m k_B T)} \exp\left[-\frac{p^2}{2m k_B T}\right] \quad (6.34)$$

a pro souadnicí obdobný tvar

$$dw_q = \rho(q) dq \quad , \quad \rho(q) = \omega \left(\frac{m}{2\pi k_B T}\right)^{1/2} \exp\left[-\frac{m\omega^2 q^2}{2k_B T}\right] \quad . \quad (6.35)$$

V kvantovém případě musíme počítat se statistickým operátorem

$$\hat{\rho} = \left(1 - \exp\left[-\frac{\hbar\omega}{k_B T}\right]\right) \sum_{n=0}^{\infty} |n\rangle \exp\left[-n \frac{\hbar\omega}{k_B T}\right] \langle n| \quad (6.36)$$

v souadnicové nebo impulsové reprezentaci. Spolu s nimi v souadnicové reprezentaci  $dw_q$ , dostaneme vzhledem k symetrii hamiltoniánu rozdělení  $dw_p$  záměnou  $q \rightarrow p/(m\omega)$ . Máme tedy

$$\begin{aligned} \rho(q) = \langle q | \hat{\rho} | q \rangle &= \left(1 - \exp\left[-\frac{\hbar\omega}{k_B T}\right]\right) \sum_{n=0}^{\infty} \langle q | n \rangle \exp\left[-n \frac{\hbar\omega}{k_B T}\right] \langle n | q \rangle = \\ &= \left(1 - \exp\left[-\frac{\hbar\omega}{k_B T}\right]\right) \sum_{n=0}^{\infty} \exp\left[-n \frac{\hbar\omega}{k_B T}\right] h_n(q) h_n^*(q) \quad . \end{aligned} \quad (6.37)$$

Vlnové funkce harmonického oscilátoru jsou reálné, v (6.37) m fleme sumu psát jako

$$f = \sum_{n=0}^{\infty} \exp\left[-n \frac{\hbar\omega}{k_B T}\right] h_n^2(q) \quad . \quad (6.38)$$

Pro výpo et (6.38) existují r zné metody, zde vyuffijeme vyjád ení operátor sou adnice a hybnosti pomocí krea ního a anihila ního operátoru. V sou adnicové representaci máme

$$\begin{aligned} q h_n(q) &= \left(\frac{\hbar}{2m\omega}\right)^{1/2} \left\{ n^{1/2} h_{n-1}(q) + (n+1)^{1/2} h_{n+1}(q) \right\} \quad , \\ \frac{d h_n(q)}{dq} &= \left(\frac{m\omega}{2\hbar}\right)^{1/2} \left\{ n^{1/2} h_{n-1}(q) - (n+1)^{1/2} h_{n+1}(q) \right\} \quad . \end{aligned} \quad (6.39)$$

Nyní spo teme výraz

$$\begin{aligned} \left(\frac{\hbar}{2m\omega}\right)^{1/2} \frac{df}{dq} &= \\ \sum_{n=1}^{\infty} \exp\left[-n \frac{\hbar\omega}{k_B T}\right] n^{1/2} h_{n-1}(q) h_n(q) &- \sum_{n=0}^{\infty} \exp\left[-n \frac{\hbar\omega}{k_B T}\right] (n+1)^{1/2} h_{n+1}(q) h_n(q) \quad . \end{aligned} \quad (6.40)$$

Zám na s ítačího indexu v prvním lenu  $n \rightarrow n+1$  vede k

$$\left(\frac{\hbar}{2m\omega}\right)^{1/2} \frac{df}{dq} = \left\{ \exp\left[-\frac{\hbar\omega}{k_B T}\right] - 1 \right\} \sum_{n=0}^{\infty} \exp\left[-n \frac{\hbar\omega}{k_B T}\right] (n+1)^{1/2} h_{n+1}(q) h_n(q) \quad . \quad (6.41)$$

Obdobn spo teme

$$\left(\frac{2m\omega}{\hbar}\right)^{1/2} q f = \left\{ \exp\left[-\frac{\hbar\omega}{k_B T}\right] + 1 \right\} \sum_{n=0}^{\infty} \exp\left[-n \frac{\hbar\omega}{k_B T}\right] (n+1)^{1/2} h_{n+1}(q) h_n(q) \quad . \quad (6.42)$$

Porovnání stejných sum v (6.41) a (6.42) dává rovnici

$$\frac{df}{dq} + \frac{2m\omega}{\hbar} \tanh\left(\frac{\hbar\omega}{2k_B T}\right) q f = 0 \quad . \quad (6.43)$$

e-ením rovnice (6.43) je

$$f = \text{konst} \cdot \exp\left[-\frac{m\omega}{\hbar} \tanh\left(\frac{\hbar\omega}{2k_B T}\right) q^2\right] \quad . \quad (6.44)$$

Konstantu volíme tak, aby výsledné rozd lení bylo normováno na jedni ku. Dostáváme tak

$$d w_q = \left\{ \frac{m\omega}{\pi\hbar} \tanh\left(\frac{\hbar\omega}{2k_B T}\right) \right\}^{1/2} \exp\left[-\frac{m\omega}{\hbar} \tanh\left(\frac{\hbar\omega}{2k_B T}\right) q^2\right] dq \quad . \quad (6.45)$$

Pro rozd lení hybností máme pak



$$dw_p = \left\{ \frac{1}{\pi m \hbar \omega} \tanh\left(\frac{\hbar \omega}{2k_B T}\right) \right\}^{1/2} \exp\left[-\frac{1}{m \hbar \omega} \tanh\left(\frac{\hbar \omega}{2k_B T}\right) p^2\right] dp \quad . \quad (6.46)$$

V limitním p ípad nízkých frekvencí a vysokých teplot

$$\hbar \omega \ll k_B T \Rightarrow \tanh\left(\frac{\hbar \omega}{2k_B T}\right) \rightarrow \frac{\hbar \omega}{2k_B T} \quad (6.47)$$

dostáváme klasický výraz (6.35)

$$dw_q = \omega \left(\frac{m}{2\pi k_B T}\right)^{1/2} \exp\left[-\frac{m \omega^2 q^2}{2k_B T}\right] dq \quad . \quad (6.48)$$

V opa ném p ípad vysokých frekvencí a nízkých teplot

$$\hbar \omega \gg k_B T \Rightarrow \tanh\left(\frac{\hbar \omega}{2k_B T}\right) \rightarrow 1 \quad (6.49)$$

dostáváme rozložení, dané kvadrátem vlnové funkce kvantov ě mechanického základního stavu

$$dw_q = \left(\frac{m \omega}{\pi \hbar}\right)^{1/2} \exp\left[-\frac{m \omega}{\hbar} q^2\right] dq = h_0^2(q) dq \quad . \quad (6.50)$$

## 7. Termodynamický potenciál

### 7.1 Gibbsovo rozdělení s proměnným počtem částic

Uvažujme o soustavě  $S$  s energií  $E$  a  $N$  částicemi v rovnováze s reservoárem  $S'$  s energií  $E'$  a počtem částic  $N'$  jako jedním celkem se zadanou energií  $E^{(0)}$  a počtem částic  $N^{(0)}$ . Potom pro ně platí mikrokanoické rozdělení

$$dw = \text{konst} \delta(E + E' - E^{(0)}) d\Gamma d\Gamma' \quad . \quad (7.1)$$

Zajímá nás pravděpodobnost toho, že celek se nachází v takovém stavu, že soustava  $S$  je v určitém kvantovém stavu (mikrostav) s energií  $E_{nN}$ , ale reservoár je v makrostavu se statistickou váhou  $\Delta\Gamma'$ , která odpovídá neurčitosti energie  $\Delta E'$ . Bude tak

$$d\Gamma = \delta(E - E_{nN}) dE \quad ,$$

$$d\Gamma' = \frac{d\Gamma'(E', N^{(0)} - N)}{dE'} dE' = \frac{1}{\Delta E'} \exp\left[\frac{1}{k_B} S'(E', N^{(0)} - N)\right] dE' \quad . \quad (7.2)$$

Dostáváme (neurčitost energie  $\Delta E'$  teď zahrneme do konstanty)

$$w_{nN} = \text{konst} \iint \exp\left[\frac{1}{k_B} S'(E', N^{(0)} - N)\right] \delta(E - E_{nN}) \delta(E + E' - E^{(0)}) dE dE' =$$

$$\text{konst} \exp\left[\frac{1}{k_B} S'(E^{(0)} - E_{nN}, N^{(0)} - N)\right]. \quad (7.3)$$

Vzhledem k velkému nepoměru energií  $E^{(0)}$  a  $E_{nN}$  a počet částic  $N^{(0)}$  a  $N$  můžeme v Taylorově rozvoji entropie ponechat jen nejnižší členy

$$S'(E^{(0)} - E_{nN}, N^{(0)} - N) \approx$$

$$S'(E^{(0)}, N^{(0)}) - \left. \frac{\partial S'(E', N')}{\partial E'} \right|_{E'=E^{(0)}, N'=N^{(0)}} E_{nN} - \left. \frac{\partial S'(E', N')}{\partial N'} \right|_{E'=E^{(0)}, N'=N^{(0)}} (N - N^{(0)}). \quad (7.4)$$

Protože

$$dS = \frac{dE}{T} + \frac{PdV}{T} - \frac{\mu dN}{T}, \quad (7.5)$$

dostáváme pro pravděpodobnost  $w_{nN}$

$$w_{nN} = \exp\left[\frac{\Omega + \mu N - E_{nN}}{k_B T}\right], \quad (7.6)$$

kde jsme zavedli termodynamický potenciál  $\Omega$  tak, aby součet pravděpodobností byl roven jedné

$$\sum_N \sum_n w_{nN} = 1 \Rightarrow \Omega = -k_B T \ln \sum_N \left( \exp\left[\frac{\mu N}{k_B T}\right] \sum_n \exp\left[-\frac{E_{nN}}{k_B T}\right] \right). \quad (7.7)$$

## 7.2 Neinteragující kvantový plyn

Termodynamický potenciál je

$$\exp\left[-\frac{\Omega}{k_B T}\right] = \sum_r \exp\left[-\frac{E_r - \mu N_r}{k_B T}\right]. \quad (7.8)$$

Pro neinteragující plyn můžeme seřadit jednočásticové hodnoty, tedy

$$E_r = n_1 \varepsilon_1 + n_2 \varepsilon_2 + \dots, \quad N_r = n_1 + n_2 + \dots \quad (7.9)$$

Stav je určen souborem

$$\{n_1, n_2, \dots\}. \quad (7.10)$$

Je tak

$$\exp\left[-\frac{\Omega}{k_B T}\right] = \sum_{\{n_1, n_2, \dots\}} \exp\left[-\frac{n_1 \varepsilon_1 + n_2 \varepsilon_2 + \dots - \mu(n_1 + n_2 + \dots)}{k_B T}\right]. \quad (7.11)$$

Pro bosony

$$\exp\left[-\frac{\Omega}{k_B T}\right] = \sum_{n_1=0}^{\infty} \exp\left[-\frac{n_1(\varepsilon_1 - \mu)}{k_B T}\right] \sum_{n_2=0}^{\infty} \exp\left[-\frac{n_2(\varepsilon_2 - \mu)}{k_B T}\right] \dots = \frac{1}{1 - \exp\left[-\frac{(\varepsilon_1 - \mu)}{k_B T}\right]} \frac{1}{1 - \exp\left[-\frac{(\varepsilon_2 - \mu)}{k_B T}\right]} \dots \quad (7.12)$$

a pro fermiony

$$\exp\left[-\frac{\Omega}{k_B T}\right] = \sum_{n_1=0}^1 \exp\left[-\frac{n_1(\varepsilon_1 - \mu)}{k_B T}\right] \sum_{n_2=0}^1 \exp\left[-\frac{n_2(\varepsilon_2 - \mu)}{k_B T}\right] \dots = \left(1 + \exp\left[-\frac{(\varepsilon_1 - \mu)}{k_B T}\right]\right) \left(1 + \exp\left[-\frac{(\varepsilon_2 - \mu)}{k_B T}\right]\right) \dots \quad (7.13)$$

Pro chemický potenciál boson je vždy  $\mu < 0$ , musí totiž konvergovat i řada s nejnižší energií  $\varepsilon_1 = 0$ . Chemický potenciál fermion může mít obě znaménka, chemický potenciál klasických částic s Boltzmannovou statistikou má vždy (velkou) zápornou hodnotu.

Logaritmujeme (7.12) a (7.13) a dostaneme pro termodynamický potenciál bosonového a fermionového plynu

$$\frac{\Omega_b}{k_B T} = \sum_{a=1}^{\infty} \ln\left(1 - \exp\left[-\frac{\varepsilon_a - \mu}{k_B T}\right]\right), \quad \frac{\Omega_f}{k_B T} = - \sum_{a=1}^{\infty} \ln\left(1 + \exp\left[-\frac{\varepsilon_a - \mu}{k_B T}\right]\right), \quad (7.14)$$

kde se sítá p es jedno ásticové energetické hladiny.

### 7.3 Vztahy mezi termodynamickými veličinami

Uvažujme vnitřní energii  $U$ , (Helmholtzovu) volnou energii  $F$  a (Gibbsovu) volnou energii  $\Phi$ . S přihlednutím k aditivitě veličin máme

$$U = N f_U\left(\frac{S}{N}, \frac{V}{N}\right), \quad F = N f_F\left(\frac{V}{N}, T\right), \quad \Phi = N f_{\Phi}(P, T). \quad (7.15)$$

Pro diferenciály platí

$$\begin{aligned} dU &= T dS - P dV + \mu dN, \\ dF &= -S dT - P dV + \mu dN, \\ d\Phi &= -S dT + V dP + \mu dN. \end{aligned} \quad (7.16)$$

Ze (7.16) a (7.15) plyne, že nejjednodušší vyjádření chemického potenciálu máme z Gibbsovy volné energie

$$\mu = \left. \frac{\partial \Phi}{\partial N} \right|_{P, T} = \frac{\Phi}{N}. \quad (7.17)$$

Termodynamický potenciál souvisí s volnou energií  $F$  vztahem

$$\begin{aligned}\Omega &= F - \mu N = F - \Phi = -PV \quad , \\ d\Omega &= -S dT - P dV - N d\mu \quad ,\end{aligned}\tag{7.18}$$

takže

$$N = -\left.\frac{\partial\Omega}{\partial\mu}\right|_{T,V} = V \left.\frac{\partial P}{\partial\mu}\right|_{T,V} .\tag{7.19}$$

Vrátíme-li se ke vztahům (7.14), dostáváme

$$N_b = \sum_a \frac{1}{\exp\left[\frac{\varepsilon_a - \mu}{k_B T}\right] - 1} \quad , \quad N_f = \sum_a \frac{1}{\exp\left[\frac{\varepsilon_a - \mu}{k_B T}\right] + 1} .\tag{7.20}$$

#### 7.4 Klasická limita

Přibližně ke klasické limitě předpokládáme, že

$$\exp\left[-\frac{\varepsilon_a - \mu}{k_B T}\right] \ll 1 .\tag{7.21}$$

Potom mizí rozdíl mezi Fermiho a Diracovým a Boseho a Einsteinovým rozdělením. Můžeme psát

$$\Omega \approx -k_B T \exp\left[\frac{\mu}{k_B T}\right] \sum_a \exp\left[-\frac{\varepsilon_a}{k_B T}\right] \quad , \quad N \approx \exp\left[\frac{\mu}{k_B T}\right] \sum_a \exp\left[-\frac{\varepsilon_a}{k_B T}\right] .\tag{7.22}$$

Je tedy

$$\mu = -k_B T \ln\left(\frac{1}{N} \sum_a \exp\left[-\frac{\varepsilon_a}{k_B T}\right]\right) \quad , \quad \Omega = -k_B T N .\tag{7.23}$$

Volná energie je

$$F = \Omega + \mu N = -k_B T N \ln\left(\frac{e}{N} \sum_a \exp\left[-\frac{\varepsilon_a}{k_B T}\right]\right) .\tag{7.24}$$

S aproximací

$$\ln N! \approx N \ln \frac{N}{e}\tag{7.25}$$

můžeme výraz pro volnou energii (7.24) zapsat jako

$$F = -k_B T \ln \frac{\left(\sum_a \exp\left[-\frac{\varepsilon_a}{k_B T}\right]\right)^N}{N!} .\tag{7.26}$$

To je právě výraz, který vznikl při bližším odstraněním násobného započtení stavů, lišících se pouze permutací částic.

## 7.5 Fermiho a Boseho plyny elementárních ástic

Jsou-li energiové hladiny blízko sebe, můžeme od součtu přejít k integraci

$$\sum_a f(\varepsilon_a) \frac{(a+1) - a}{\varepsilon_{a+1} - \varepsilon_a} (\varepsilon_{a+1} - \varepsilon_a) = \sum_a f(\varepsilon_a) \rho(\varepsilon_a) \Delta\varepsilon_a \rightarrow \int f(\varepsilon) \rho(\varepsilon) d\varepsilon . \quad (7.27)$$

K dalším výpočtům potřebujeme znát hustotu stavů  $\rho(\varepsilon)$ . Vlnová funkce volné částice uzavřené v krychli o hraně  $L$  (tj. má nulovou hodnotu na stěnách) je

$$\psi \sim \sin(k_x x) \sin(k_y y) \sin(k_z z) , \quad (7.28)$$

$$k_x = \frac{n_x \pi}{L} , \quad k_y = \frac{n_y \pi}{L} , \quad k_z = \frac{n_z \pi}{L} ,$$

přičemž uvažujeme jen přirozená čísla  $n_x, n_y, n_z \in \mathbb{N}$  (nesmíme počítat fázi se ličící stavy vícekrát). Pro velmi velké  $L$  můžeme přejít ke spojitým proměnným, počet stavů v elementu  $d^3 \vec{k}$  je

$$\rho(\vec{k}) d^3 \vec{k} = \left( \frac{L}{\pi} \right)^3 d^3 \vec{k} . \quad (7.29)$$

S označením  $L^3 = V$  pro objem přejdeme konečně k vyjádření početní hustoty stavů v závislosti na energii

$$\frac{V}{\pi^3} \int d^3 \vec{k} = \frac{V}{\pi^3} \int_0^{\pi/2} d\varphi \int_0^{\pi/2} d\theta \sin\theta \int dk k^2 = \int dE \frac{V}{(2\pi)^3} 4\pi k^2 \frac{dk}{dE} . \quad (7.30)$$

Pro vyjádření hustoty stavů ( $g = 2s + 1$  je spinová degenerace)

$$\rho(E) = \frac{gV}{(2\pi)^3} 4\pi k^2 \frac{dk}{dE} , \quad (7.31)$$

potřebujeme tedy dispersní relaci  $k = k(E)$ . Pamatujme na to, že následně výpočet budeme provádět pro třírozměrný prostor. Postup i jiných dimenzích je ovšem stejný.

Můžeme tedy napsat integrál pro termodynamický potenciál (horní znaménko pro bosony, dolní pro fermiony)

$$\frac{\Omega}{k_B T} = \pm \int dE \rho(E) \ln \left( 1 \mp \exp \left[ -\frac{E - \mu}{k_B T} \right] \right) . \quad (7.32)$$

Při výpočtu jako první krok provedeme integraci per partes, takže

$$\frac{\Omega}{k_B T} = -\frac{1}{k_B T} \int dE \left( \int_{E_0}^E \rho(\varepsilon) d\varepsilon \right) \frac{1}{\exp\left[\frac{E-\mu}{k_B T}\right] \mp 1} . \quad (7.33)$$

Nerelativistický vztah mezi energií a vlnovým vektorem

$$E = \frac{\hbar^2 k^2}{2m} , \quad k = \frac{(2mE)^{1/2}}{\hbar} , \quad \frac{dk}{dE} = \frac{1}{\hbar} \left( \frac{m}{2E} \right)^{1/2} \quad (7.34)$$

dává hustotu stav

$$\rho(E) = \frac{4\pi g V}{(2\pi\hbar)^3} (2m^3 E)^{1/2} , \quad \int_0^E \rho(\varepsilon) d\varepsilon = \frac{2}{3} \frac{4\pi g V}{(2\pi\hbar)^3} (2m^3 E^3)^{1/2} . \quad (7.35)$$

Relativistický vztah pak

$$E = (m^2 c^4 + \hbar^2 k^2 c^2)^{1/2} , \quad k = \frac{(E^2 - m^2 c^4)^{1/2}}{\hbar c} , \quad \frac{dk}{dE} = \frac{1}{\hbar c} \frac{E}{(E^2 - m^2 c^4)^{1/2}} \quad (7.36)$$

dává hustotu stav

$$\rho(E) = \frac{4\pi g V}{(2\pi\hbar)^3} \frac{E(E^2 - m^2 c^4)^{1/2}}{c^3} , \quad \int_{mc^2}^E \rho(\varepsilon) d\varepsilon = \frac{1}{3} \frac{4\pi g V}{(2\pi\hbar)^3} \frac{(E^2 - m^2 c^4)^{3/2}}{c^3} . \quad (7.37)$$

Nakonec je-t extrémně relativistický vztah

$$E = \hbar k c , \quad k = \frac{E}{\hbar c} , \quad \frac{dk}{dE} = \frac{1}{\hbar c} \quad (7.38)$$

vede k hustotě stav

$$\rho(E) = \frac{4\pi g V}{(2\pi\hbar)^3} \frac{E^2}{c^3} , \quad \int_0^E \rho(\varepsilon) d\varepsilon = \frac{1}{3} \frac{4\pi g V}{(2\pi\hbar)^3} \frac{E^3}{c^3} . \quad (7.39)$$

Pro nerelativistický případ máme

$$\frac{\Omega}{k_B T} = -\frac{4\pi g V}{(2\pi\hbar)^3} \frac{(2mk_B T)^{3/2}}{3} \int_0^\infty dx \frac{x^{3/2}}{\exp\left[x - \frac{\mu}{k_B T}\right] \mp 1} \quad (7.40)$$

a pro extrémně relativistický případ

$$\frac{\Omega}{k_B T} = -\frac{4\pi g V}{(2\pi\hbar)^3} \frac{(k_B T)^3}{3c^3} \int_0^\infty dx \frac{x^3}{\exp\left[x - \frac{\mu}{k_B T}\right] \mp 1} . \quad (7.41)$$

Definujeme funkce

$$B_n(y) = \frac{1}{\Gamma(n)} \int_0^\infty dx \frac{x^{n-1}}{e^{x-y} - 1} \quad , \quad F_n(y) = \frac{1}{\Gamma(n)} \int_0^\infty dx \frac{x^{n-1}}{e^{x-y} + 1} \quad . \quad (7.42)$$

S jejich pomocí můžeme napsat pro bosony a fermiony v nerelativistickém případě

$$\frac{\Omega_b}{k_B T} = -\frac{gV}{(2\pi\hbar)^3} (2\pi m k_B T)^{3/2} B_{\frac{5}{2}}\left(\frac{\mu}{k_B T}\right) \quad , \quad (7.43)$$

$$\frac{\Omega_f}{k_B T} = -\frac{gV}{(2\pi\hbar)^3} (2\pi m k_B T)^{3/2} F_{\frac{5}{2}}\left(\frac{\mu}{k_B T}\right)$$

a v extrémně relativistickém případě

$$\frac{\Omega_b}{k_B T} = -\frac{8\pi gV}{(2\pi\hbar)^3} \frac{(k_B T)^3}{c^3} B_4\left(\frac{\mu}{k_B T}\right) \quad , \quad \frac{\Omega_f}{k_B T} = -\frac{8\pi gV}{(2\pi\hbar)^3} \frac{(k_B T)^3}{c^3} F_4\left(\frac{\mu}{k_B T}\right) \quad . \quad (7.44)$$

Pro rozdělení podle energií máme pro bosony a fermiony

$$dN_E = \frac{\rho(E)dE}{\exp\left[\frac{E-\mu}{k_B T}\right] \mp 1} \quad , \quad (7.45)$$

takže pro nerelativistický a extrémně relativistický případ

$$dN_E = \frac{4\pi gV}{(2\pi\hbar)^3} \frac{(2m^3 E)^{1/2} dE}{\exp\left[\frac{E-\mu}{k_B T}\right] \pm 1} \quad , \quad dN_E = \frac{4\pi gV}{(2\pi\hbar)^3} \frac{1}{c^3} \frac{E^2 dE}{\exp\left[\frac{E-\mu}{k_B T}\right] \pm 1} \quad . \quad (7.46)$$

Celkový počet částic v plynu dostaneme integrací (7.46). Pro nerelativistický případ máme

$$N_b = \frac{gV}{(2\pi\hbar)^3} (2\pi m k_B T)^{3/2} B_{\frac{3}{2}}\left(\frac{\mu}{k_B T}\right) \quad , \quad (7.47)$$

$$N_f = \frac{gV}{(2\pi\hbar)^3} (2\pi m k_B T)^{3/2} F_{\frac{3}{2}}\left(\frac{\mu}{k_B T}\right)$$

a pro extrémně relativistický případ

$$N_b = \frac{8\pi gV}{(2\pi\hbar)^3} \frac{(k_B T)^3}{c^3} B_3\left(\frac{\mu}{k_B T}\right) \quad , \quad N_f = \frac{8\pi gV}{(2\pi\hbar)^3} \frac{(k_B T)^3}{c^3} F_3\left(\frac{\mu}{k_B T}\right) \quad . \quad (7.48)$$

Vnitřní energii pak dostaneme jako

$$U = \int_0^\infty E dN_E \quad . \quad (7.49)$$

Pro bosony a fermiony v nerelativistickém případě dostáváme

$$\begin{aligned}\frac{U_b}{k_B T} &= \frac{3}{2} \frac{gV}{(2\pi\hbar)^3} (2\pi m k_B T)^{3/2} B_{\frac{5}{2}}\left(\frac{\mu}{k_B T}\right), \\ \frac{U_f}{k_B T} &= \frac{3}{2} \frac{gV}{(2\pi\hbar)^3} (2\pi m k_B T)^{3/2} F_{\frac{5}{2}}\left(\frac{\mu}{k_B T}\right)\end{aligned}\quad (7.50)$$

a v extrémně relativistickém případě

$$\frac{U_b}{k_B T} = \frac{24\pi gV}{(2\pi\hbar)^3} \frac{(k_B T)^3}{c^3} B_4\left(\frac{\mu}{k_B T}\right), \quad \frac{U_f}{k_B T} = \frac{24\pi gV}{(2\pi\hbar)^3} \frac{(k_B T)^3}{c^3} F_4\left(\frac{\mu}{k_B T}\right). \quad (7.51)$$

Porovnáním vztahů pro termodynamický potenciál a vnitřní energii vidíme, že jak pro bosony, tak pro fermiony platí v nerelativistickém případě

$$pV = \frac{2}{3}U \quad (7.52)$$

a v relativistickém případě

$$pV = \frac{1}{3}U. \quad (7.53)$$

## 7.6 Poissonova adiabata, stavová rovnice

Pro klasický ideální plyn s konstantním specifickým teplem lze odvodit tzv. Poissonovu adiabatu. Ukážeme, jak pro nerelativistický kvantový plyn odvodíme stejné vztahy bez předpokladu konstantního specifického tepla, pouze z vlastností termodynamického potenciálu. Ten je možno zapsat jako

$$\frac{\Omega}{V} = -P = T^{5/2} f_{\Omega}\left(\frac{\mu}{T}\right). \quad (7.54)$$

Je tedy  $\Omega/V$  homogenní funkcí teploty a chemického potenciálu řádu  $5/2$ . Obdobně o entropii vztažené na jednotkový objem  $S/V$  a o hustotu částic  $N/V$  platí, že jsou to homogenní funkce teploty a chemického potenciálu řádu  $3/2$ , nebo

$$\begin{aligned}\frac{S}{V} &= -\frac{1}{V} \left. \frac{\partial \Omega}{\partial T} \right|_{\mu, V} = -\frac{5}{2} T^{3/2} f_{\Omega}\left(\frac{\mu}{T}\right) + T^{3/2} \frac{\mu}{T} f'_{\Omega}\left(\frac{\mu}{T}\right) = T^{3/2} f_S\left(\frac{\mu}{T}\right), \\ \frac{N}{V} &= -\frac{1}{V} \left. \frac{\partial \Omega}{\partial \mu} \right|_{T, V} = -T^{3/2} f'_{\Omega}\left(\frac{\mu}{T}\right) = T^{3/2} f_N\left(\frac{\mu}{T}\right).\end{aligned}\quad (7.55)$$

Podíl  $S/N$  je homogenní funkce teploty a chemického potenciálu řádu 0

$$\frac{S}{N} = f_{S/N}\left(\frac{\mu}{T}\right), \quad (7.56)$$



takže p i adiabatickém procesu ( $S = \text{konst}$ ,  $N = \text{konst}$ ) musí být i podíl  $\mu/T$  (a tedy i každá jeho funkce) konstantní. Takže ze (7.55) a (7.54) plyne pro adiabatický děj

$$VT^{3/2} = \text{konst} \quad , \quad PV^{5/3} = \text{konst} \quad . \quad (7.57)$$

Rovnice (7.43) po dosazení  $\Omega = -PV$

$$P_b = \frac{g}{4\pi} \frac{(2\pi m)^{3/2} (k_B T)^{5/2}}{(2\pi\hbar)^3} B_{\frac{5}{2}}\left(\frac{\mu}{k_B T}\right) \quad , \quad (7.58)$$

$$P_f = \frac{g}{(2\pi\hbar)^3} (2\pi m)^{3/2} (k_B T)^{5/2} F_{\frac{5}{2}}\left(\frac{\mu}{k_B T}\right)$$

a rovnice (7.47)

$$N_b = \frac{gV}{(2\pi\hbar)^3} (2\pi m k_B T)^{3/2} B_{\frac{3}{2}}\left(\frac{\mu}{k_B T}\right) \quad , \quad (7.59)$$

$$N_f = \frac{gV}{(2\pi\hbar)^3} (2\pi m k_B T)^{3/2} F_{\frac{3}{2}}\left(\frac{\mu}{k_B T}\right)$$

dávají stavové rovnice bosonového a fermionového plynu v parametrickém tvaru (parametrem je chemický potenciál  $\mu$ ). Za předpokladu  $\exp[\mu/(k_B T)] \ll 1$  můžeme tyto funkce  $B_n(y)$  a  $F_n(y)$  analyticky aproximovat. Pro bosony dostáváme v prvním příblížení

$$\frac{P_b}{k_B T} = \frac{g}{\lambda_{dB}^3} \exp\left[\frac{\mu}{k_B T}\right] \left(1 + \frac{1}{2^{5/2}} \exp\left[\frac{\mu}{k_B T}\right]\right) \quad , \quad (7.60)$$

$$\frac{N_b}{V} = \frac{g}{\lambda_{dB}^3} \exp\left[\frac{\mu}{k_B T}\right] \left(1 + \frac{1}{2^{3/2}} \exp\left[\frac{\mu}{k_B T}\right]\right) \quad ,$$

kde jsme označili de Broglieho vlnovou délku tepelného pohybu

$$\lambda_{dB} = \left(\frac{2\pi\hbar^2}{mk_B T}\right)^{1/2} \quad . \quad (7.61)$$

Pro fermiony máme podobně

$$\frac{P_f}{k_B T} = \frac{g}{\lambda_{dB}^3} \exp\left[\frac{\mu}{k_B T}\right] \left(1 - \frac{1}{2^{5/2}} \exp\left[\frac{\mu}{k_B T}\right]\right) \quad , \quad (7.62)$$

$$\frac{N_f}{V} = \frac{g}{\lambda_{dB}^3} \exp\left[\frac{\mu}{k_B T}\right] \left(1 - \frac{1}{2^{3/2}} \exp\left[\frac{\mu}{k_B T}\right]\right) \quad .$$

Vyloučíme-li ze (7.60) resp. (7.62) parametr, tj. chemický potenciál, dostáváme stavové rovnice. Pro bosony

$$P_b V = N_b k_B T \left( 1 - \frac{1}{2^{5/2}} \frac{N_b \lambda_{dB}^3}{g V} \right) \quad (7.63)$$

a pro fermiony

$$P_f V = N_f k_B T \left( 1 + \frac{1}{2^{5/2}} \frac{N_f \lambda_{dB}^3}{g V} \right) . \quad (7.64)$$

Kvantová oprava vede k tomu, že tlak u fermionů je o něco vyšší, u bosonů o něco nižší než u klasického ideálního plynu.

## 8. Užití ně integrály

### 8.1 Gama funkce

Gama funkce je definována integrálem

$$\Gamma(z) \equiv \int_0^{\infty} e^{-t} t^{z-1} dt \quad , \quad \Re(z) > 0 \quad . \quad (8.1)$$

Prostá integrace per partes dává vztah

$$\Gamma(z+1) = z \Gamma(z) \quad . \quad (8.2)$$

Substituce  $t \rightarrow t^2$  vede k integrálu

$$\Gamma(z) = 2 \int_0^{\infty} e^{-t^2} t^{2z-1} dt \quad . \quad (8.3)$$

Dosazení  $z=1$  do (8.1) a  $z=1/2$  do (8.3) vede na známé integrály

$$\Gamma(1) = \int_0^{\infty} e^{-t} dt = 1 \quad , \quad \Gamma\left(\frac{1}{2}\right) = 2 \int_0^{\infty} e^{-t^2} dt = \sqrt{\pi} \quad . \quad (8.4)$$

Pomocí vztahu (8.2) můžeme získat hodnoty gama funkce pro další kladné celočíselné a poločíselné hodnoty  $n$  resp.  $n+1/2$ . Faktoriál je tedy vyjádřen pomocí gama funkce jako

$$n! = \Gamma(n+1) \quad . \quad (8.5)$$

Pro velké hodnoty  $n$  je  $\ln n!$  vyjádřen Stirlingovým vzorcem. Máme

$$\begin{aligned} n! &= \int_0^{\infty} \exp[n \ln t - t] dt = \int_{-n}^{\infty} \exp[n \ln(n+x) - n - x] dx \approx \\ &\exp[n \ln n - n] \int_{-\infty}^{\infty} \exp\left[-\frac{1}{2n} x^2\right] dx = (2n\pi)^{1/2} \exp[n \ln n - n] \quad . \end{aligned} \quad (8.6)$$

Po zlogaritmování dostáváme

$$\ln(n!) \approx n \ln \frac{n}{e} + \frac{1}{2} \ln(2n\pi) \quad . \quad (8.7)$$

Obvykle se v aproximaci zanedbává druhý člen na pravé straně (8.7). Jak dobrá je aproximace Stirlingovým vztahem ukazuje následující tabulka.

$n$	$\ln(n!)$	(8.7)	$n \ln(n/e)$
10	15,104	15,096	13,026
100	363,739	363,739	360,517
1000	5912,128	5912,128	5907,755

## 8.2 Fermi ó Diracovo a Bose ó Einsteinovo rozdělení pro degenerovaný plyn

Při výpočtech charakteristik degenerovaného plynu fermionů se vyskytují integrály typu

$$I_f(m) = \int_0^{\infty} dx \frac{x^{m-1}}{e^x + 1} \quad . \quad (8.8)$$

Rozvojem zlomku v integrandu dostáváme

$$\begin{aligned} \int_0^{\infty} dx \frac{x^{m-1}}{e^x + 1} &= \sum_{k=0}^{\infty} \int_0^{\infty} dx x^{m-1} e^{-x} (-1)^k e^{-kx} = \sum_{k=1}^{\infty} \int_0^{\infty} dx x^{m-1} (-1)^{k-1} e^{-kx} = \\ &= \sum_{k=1}^{\infty} \frac{(-1)^{k-1}}{k^m} \int_0^{\infty} dx x^{m-1} e^{-x} = (1 - 2^{1-m}) \zeta(m) \Gamma(m) \quad . \end{aligned} \quad (8.9)$$

Při požití jsme využili úpravu

$$\sum_{k=1}^{\infty} \frac{(-1)^{k-1}}{k^m} = \sum_{l=1}^{\infty} \frac{1}{(2l-1)^m} - \sum_{l=1}^{\infty} \frac{1}{(2l)^m} = \sum_{k=1}^{\infty} \frac{1}{k^m} - 2 \sum_{l=1}^{\infty} \frac{1}{(2l)^m} = (1 - 2^{1-m}) \sum_{k=1}^{\infty} \frac{1}{k^m} \quad . \quad (8.10)$$

Podobně při výpočtech charakteristik degenerovaného plynu bosonů se vyskytují integrály typu

$$I_b(m) = \int_0^{\infty} dx \frac{x^{m-1}}{e^x - 1} \quad . \quad (8.11)$$

Také zde rozvojem zlomku v integrandu dostáváme

$$\begin{aligned} \int_0^{\infty} dx \frac{x^{m-1}}{e^x - 1} &= \sum_{k=0}^{\infty} \int_0^{\infty} dx x^{m-1} e^{-x} e^{-kx} = \sum_{k=1}^{\infty} \int_0^{\infty} dx x^{m-1} e^{-kx} = \\ &= \sum_{k=1}^{\infty} \frac{1}{k^m} \int_0^{\infty} dx x^{m-1} e^{-x} = \zeta(m) \Gamma(m) \end{aligned} \quad (8.12)$$

Máme tedy

$$I_f(m) = \int_0^{\infty} dx \frac{x^{m-1}}{e^x + 1} = (1 - 2^{1-m}) \zeta(m) \Gamma(m) \quad , \quad (8.13)$$

$$I_b(m) = \int_0^{\infty} dx \frac{x^{m-1}}{e^x - 1} = \zeta(m) \Gamma(m) \quad ,$$

kde  $\Gamma(m)$  je gama funkce a  $\zeta(m)$  Riemannova funkce

$$\Gamma(m) = \int_0^{\infty} e^{-t} t^{m-1} dt \quad , \quad \zeta(m) = \sum_{k=1}^{\infty} \frac{1}{k^m} \quad . \quad (8.14)$$

Riemannova funkce vyžaduje  $m > 1$ , integrál (8.8) pro  $m=1$  je

$$I_f(1) = \int_0^{\infty} \frac{dx}{e^x + 1} = \int_1^{\infty} \frac{dt}{t(t+1)} = \ln 2 \quad . \quad (8.15)$$

Integrál (8.11) pro  $m=1$  diverguje.

### 8.3 Pechod Fermi ó Diracova a Bose ó Einsteinova rozdělení na Boltzmannovo

Předpokládáme, že  $\mu$  má velkou zápornou hodnotu, že  $\exp[\mu/(k_B T)] \ll 1$ . Potom můžeme upravit funkce zavedené v (7.42) na

$$B_n(x) = \frac{1}{\Gamma(n)} \int_0^{\infty} dt \frac{t^{n-1}}{e^{t-x} - 1} = \frac{1}{\Gamma(n)} \int_0^{\infty} dt t^{n-1} \frac{e^{x-t}}{1 - e^{x-t}} = \sum_{k=1}^{\infty} \exp[kx] \frac{1}{\Gamma(n)} \int_0^{\infty} dt t^{n-1} \exp[-kt] = \sum_{k=1}^{\infty} \frac{\exp[kx]}{k^n} \quad . \quad (8.16)$$

a obdobně

$$F_n(x) = \frac{1}{\Gamma(n)} \int_0^{\infty} dt \frac{t^{n-1}}{e^{t-x} + 1} = \frac{1}{\Gamma(n)} \int_0^{\infty} dt t^{n-1} \frac{e^{x-t}}{1 + e^{x-t}} = \sum_{k=1}^{\infty} (-1)^{k-1} \exp[kx] \frac{1}{\Gamma(n)} \int_0^{\infty} dt t^{n-1} \exp[-kt] = \sum_{k=1}^{\infty} \frac{(-1)^{k-1} \exp[kx]}{k^n} \quad . \quad (8.17)$$

První člen řady odpovídá Boltzmannovu rozdělení, oprava v druhém členu má určitou znaménka pro bosony a fermiony. Snadno ověříme, že

$$\begin{aligned} \frac{dB_{n+1}(x)}{dx} &= \frac{1}{\Gamma(n+1)} \int_0^\infty t^n \frac{d}{dx} \left( \frac{1}{e^{t-x}-1} \right) dt = -\frac{1}{n\Gamma(n)} \int_0^\infty t^n \frac{d}{dt} \left( \frac{1}{e^{t-x}-1} \right) dt = \\ &= -\frac{1}{n\Gamma(n)} \frac{t^n}{e^{t-x}-1} \Big|_{t=0}^{t=\infty} + \frac{1}{\Gamma(n)} \int_0^\infty dt \frac{t^{n-1}}{e^{t-x}-1} = B_n(x) \quad , \end{aligned} \quad (8.18)$$

obdobn pro fermionový integrál. Máme tak vztahy

$$\frac{dB_{n+1}(x)}{dx} = B_n(x) \quad , \quad \frac{dF_{n+1}(x)}{dx} = F_n(x) \quad . \quad (8.19)$$

#### 8.4 Eulerova ó Maclaurinova suma ní formule

Eulerova ó Maclaurinova suma ní formule v obecném tvaru je

$$\frac{1}{2} f(0) + \frac{1}{2} f(N) + \sum_{n=1}^{N-1} f(n) = \int_0^N f(x) dx + \sum_{i=1}^k \frac{B_{2i}}{(2i)!} \left( f^{(2i-1)}(N) - f^{(2i-1)}(0) \right) + R_k \quad . \quad (8.20)$$

V tomto vztahu  $R_k$  je zbytek

$$R_k = \int_0^N B_{2k+1}(x) f^{(2k+1)}(x) dx \quad (8.21)$$

a  $B_k$  jsou Bernoulliova ísla a  $B_k(x)$  jsou periodické Bernoulliovy funkce s periodou jedna.

Na intervalu  $[0,1]$  m ůžeme Bernoulliovy funkce zapsat jako polynomy v symbolickém tvaru

$$B_k(x) = \frac{1}{k!} (x+B)^k \quad , \quad B^i \stackrel{\text{def}}{=} B_i \quad (8.22)$$

a Bernoulliova ísla jsou koeficienty Taylorova rozvoje

$$\frac{x}{e^x-1} = \sum_{k=0}^{\infty} \frac{B_k}{k!} x^k \quad \Rightarrow \quad B_n = \frac{d^n}{dx^n} \left( \frac{x}{e^x-1} \right) \Big|_{x=0} \quad . \quad (8.23)$$

Máme  $B_0=1, B_1=-1/2, B_2=1/6, B_4=-1/30\dots$  Pro liché indexy je  $B_{2n+1}=0$  pro  $n \geq 1$ .

Podstatnou vlastností Bernoulliových funkcí je

$$B_k(x) = \frac{dB_{k+1}(x)}{dx} \equiv B'_{k+1}(x) \quad (8.24)$$

a Bernoulliových polynom

$$\begin{aligned} B_{2k}(0) = B_{2k}(1) = \frac{B_{2k}}{(2k)!} \quad , \quad B_{2k+1}(0) = B_{2k+1}(1) = 0 \quad , \quad k = 0, 1, 2, \dots \\ B_1(0) = -\frac{1}{2} \quad , \quad B_1(1) = \frac{1}{2} \quad . \end{aligned} \quad (8.25)$$

Po ítejme na intervalu  $[0,1]$  (v dal-ích intervalech se postupuje stejn )

$$\begin{aligned}
\int_0^1 f(x) dx &= \int_0^1 f(x) B_0(x) dx = \\
\int_0^1 f(x) B_1'(x) dx &= f(x) B_1(x) \Big|_0^1 - \int_0^1 f'(x) B_1(x) dx = \\
&= [f(0) + f(1)] - \int_0^1 f'(x) B_2'(x) dx \quad , \\
\int_0^1 f'(x) B_2'(x) dx &= f'(x) B_2(x) \Big|_0^1 - \int_0^1 f''(x) B_2(x) dx = \\
&= \frac{1}{12} [f'(1) - f'(0)] - \int_0^1 f''(x) B_3'(x) dx \quad , \\
&\dots\dots\dots
\end{aligned}
\tag{8.26}$$

Pro nekonečnou řadu a první aproximaci dostáváme za samozřejmého předpokladu  $f(x \rightarrow \infty) \rightarrow 0$  dostatečně rychle přibližně vztah

$$\frac{1}{2} f(0) + \sum_{n=1}^{\infty} f(n) \doteq \int_0^{\infty} f(x) dx - \frac{1}{12} f'(0) \quad .
\tag{8.27}$$

## 9. Ideální (nerelativistický) Boseho a Einsteinův plyn

### 9.1 Termodynamický potenciál, hustota a vnitřní energie

Odvodili jsme následující vztahy, jejichž zápis se velmi zjednoduší zavedením vlnové délky de Broglieho vlny tepelného pohybu

$$\lambda_T = \left( \frac{2\pi\hbar^2}{m k_B T} \right)^{1/2} \quad .
\tag{9.1}$$

Máme tak

$$\begin{aligned}
\frac{\Omega}{k_B T} &= - \frac{gV}{\lambda_T^3} B_{\frac{5}{2}} \left( \frac{\mu}{k_B T} \right) \quad , \\
\rho &= \frac{N}{V} = \frac{g}{\lambda_T^3} B_{\frac{3}{2}} \left( \frac{\mu}{k_B T} \right) \quad , \\
U &= \frac{3}{2} \frac{gV}{\lambda_T^3} k_B T B_{\frac{5}{2}} \left( \frac{\mu}{k_B T} \right) \quad .
\end{aligned}
\tag{9.2}$$

Pro  $x < 0$  můžeme funkci  $B_n(x)$  napsat jako řadu

$$B_n(x) = \sum_{k=1}^{\infty} \frac{\exp[kx]}{k^n} \quad .
\tag{9.3}$$

Chemický potenciál m fléme v principu získat z výrazu

$$B_{\frac{3}{2}}\left(\frac{\mu}{k_B T}\right) = \frac{1}{g} \lambda_T^3 \rho \quad (9.4)$$

Energie na jednu částici je

$$u = \frac{U}{N} = \frac{3}{2} k_B T \frac{B_{\frac{5}{2}}\left(\frac{\mu}{k_B T}\right)}{B_{\frac{3}{2}}\left(\frac{\mu}{k_B T}\right)} \quad (9.5)$$

Je-li výraz na pravé straně rovnice (9.4) mnohem menší než jedna, je možné vzít pouze první člen řady (9.3), takže

$$B_n\left(\frac{\mu}{k_B T}\right) \approx \exp\left[\frac{\mu}{k_B T}\right] \quad (9.6)$$

a tedy

$$\frac{\mu}{k_B T} \approx \ln\left(\frac{\lambda_T^3 \rho}{g}\right) \quad (9.7)$$

Energie na jednu částici má pak klasickou hodnotu

$$u \approx \frac{3}{2} k_B T \quad (9.8)$$

Vezme za příklad ideální klasický plyn za standardních podmínek pro uranitost  $N_2$ . Do vztahu (9.7) dosadíme

$$g = 1, \quad \rho^{2/3} = \left(\frac{N_A}{V_m}\right)^{2/3} = \left(\frac{6,02 \cdot 10^{23} \text{ mol}^{-1}}{2,24 \cdot 10^{-2} \text{ m}^3 \text{ mol}^{-1}}\right)^{2/3} = 8,97 \cdot 10^{16} \text{ m}^{-2}, \quad (9.9)$$

$$k_B T = (1,38 \cdot 10^{-23} \text{ J K}^{-1})(273,16 \text{ K}) = 3,77 \cdot 10^{-21} \text{ J}, \quad m = 4,68 \cdot 10^{-26} \text{ kg}$$

a  $\hbar = 1,05 \cdot 10^{-34} \text{ J s}$  a dostáváme tak

$$\lambda_T = 19,81 \text{ pm}, \quad \frac{\mu}{k_B T} = -15,38 \Rightarrow \mu = -0,36 \text{ eV} \quad (9.10)$$

Opakovaný extrém vidíme při parametrech pokusu s parami sodíku, kdy bylo

$$g = 1, \quad \rho = 2,5 \cdot 10^{18} \text{ m}^{-3}, \quad T = 10^{-7} \text{ K}, \quad m = 3,82 \cdot 10^{-26} \text{ kg} \quad (9.11)$$

V tomto případě je  $\lambda_T = 1,14 \text{ m}$  a pravá strana rovnice (9.4) je pak přibližně 3,77, zatímco levá strana může dosáhnout maximální hodnoty pro chemický potenciál rovný nule, tedy

$$B_{\frac{3}{2}}(0) = \zeta\left(\frac{3}{2}\right) = 1 + \frac{1}{2^{3/2}} + \frac{1}{3^{3/2}} + \dots \doteq 2,612375349 \quad (9.12)$$

Kde vznikla p i odvozování výraz chyba? Zjevn existuje kritická hodnota teploty, kdy p i dané hustot po tu ástic chemický potenciál dosáhne své maximální, tj. nulové hodnoty. Tuto kritickou teplotu získáme pro danou hustotu ástic dosazením  $\mu=0$  do rovnice (9.4)

$$T_c = \frac{2\pi}{[\zeta(3/2)]^{2/3}} \frac{\hbar^2}{k_B m} \left( \frac{N}{gV} \right)^{2/3} \doteq 3,3125 \frac{\hbar^2}{k_B m} \left( \frac{N}{gV} \right)^{2/3} \quad (9.13)$$

neboli

$$N \left( \frac{T}{T_c} \right)^{3/2} = \zeta \left( \frac{3}{2} \right) \frac{gV}{\lambda_T^3} \quad (9.14)$$

Naopak p i dané teplot existuje kritická hustota

$$\rho_c = \frac{g \zeta \left( \frac{3}{2} \right)}{\lambda_T^3} \quad (9.15)$$

## 9.2 Boseho ó Einsteinova kondensace

Pro teploty níž-í není kritická, tj. pro  $T < T_c$  nem fle být p i nulovém chemickém potenciálu v intervalu energií  $0 < \varepsilon < \infty$  v-ech  $N$  ástic soustavy, ale jen

$$N(\varepsilon > 0) = \frac{gV}{(2\pi\hbar)^3} (2\pi m k_B T)^{3/2} \zeta \left( \frac{3}{2} \right) = \left( \frac{T}{T_c} \right)^{3/2} N \quad (9.16)$$

Zbývající ástice musí být nahromad ny ó kondensovány ó na hladin  $\varepsilon=0$

$$N(\varepsilon=0) = N - N(\varepsilon > 0) = N \left[ 1 - \left( \frac{T}{T_c} \right)^{3/2} \right] \quad (9.17)$$

Chyba byla ve vztahu (7.27)

$$\sum_a f(\varepsilon_a) \frac{(a+1) - a}{\varepsilon_{a+1} - \varepsilon_a} (\varepsilon_{a+1} - \varepsilon_a) = \sum_a f(\varepsilon_a) \rho(\varepsilon_a) \Delta\varepsilon_a \rightarrow \int f(\varepsilon) \rho(\varepsilon) d\varepsilon \quad (9.18)$$

kde jsme p edpokládali, fle pro velmi husté spektrum energií je mofno p ejít od sumace k integraci. To implicitn p edpokládá, fle se vzr stajícím po tem energiových hladin úm rn tomu klesá jejich obsazení. V p ípad Boseho ó Einsteinovy kondensace se to v-ak netýká základního stavu (jehožl energiovou hladinu jsme zvolili jako nulovou). Vra me se tedy k diskrétnímu zápisu vztahu (7.20)



$$N = \sum_{a=1}^{\infty} n_a \quad , \quad n_a = \frac{1}{\exp\left[\frac{\varepsilon_a - \mu}{k_B T}\right] - 1} \quad . \quad (9.19)$$

Tady vyjmeme ze sumy základní stav s  $\varepsilon_1=0$  , takže

$$N = N(\varepsilon=0) + N(\varepsilon>0) \quad , \quad \frac{1}{\exp\left[-\frac{\mu}{k_B T}\right] - 1} \rightarrow N(\varepsilon=0) \quad , \quad (9.20)$$

$$N(\varepsilon>0) = \sum_{a=2}^{\infty} n_a \quad \rightarrow \quad N(\varepsilon>0) = \frac{gV}{\lambda_T^3} B_{\frac{3}{2}}\left(\frac{\mu}{k_B T}\right) \quad .$$

Zapi-me te pohromad vztahy pro teploty  $T < T_c$  a  $T > T_c$ . Výraz pro tlak (tedy stavová rovnice) vychází ze vztahu  $\Omega = -PV$  , výraz pro entropii a specifické teplo ze vztah

$$S = -\left.\frac{\partial \Omega}{\partial T}\right|_{\mu, V} \quad , \quad C_V = T \left.\frac{\partial S}{\partial T}\right|_{N, V} \quad (9.21)$$

a výraz pro volnou energii z  $F = U - TS = \Omega + \mu N$  . Bereme v úvahu, že

$$(9.22) \quad \frac{dB_{n+1}(x)}{dx} = B_n(x)$$

a

$$\left.\frac{\partial S}{\partial T}\right|_N = \frac{\partial(S, N)}{\partial(T, N)} = \frac{\frac{\partial(S, N)}{\partial(T, \mu)}}{\frac{\partial(T, N)}{\partial(T, \mu)}} = \left.\frac{\partial S}{\partial T}\right|_{\mu} - \frac{\left(\left.\frac{\partial N}{\partial T}\right|_{\mu}\right)^2}{\left.\frac{\partial N}{\partial \mu}\right|_T} \quad . \quad (9.23)$$

Máme pak pro potenciály výrazy

	$T \geq T_c$	$T < T_c$	
$\mu$	$N = g \frac{V}{\lambda_T^3} B_{\frac{3}{2}}\left(\frac{\mu}{k_B T}\right)$	$\mu = 0$	
$\Omega$	$-g \frac{k_B TV}{\lambda_T^3} B_{\frac{5}{2}}\left(\frac{\mu}{k_B T}\right)$	$-g \frac{k_B TV}{\lambda_T^3} \zeta\left(\frac{5}{2}\right)$	
$U$	$\frac{3}{2} g k_B T \frac{V}{\lambda_T^3} B_{\frac{5}{2}}\left(\frac{\mu}{k_B T}\right)$	$\frac{3}{2} g k_B T \frac{V}{\lambda_T^3} \zeta\left(\frac{5}{2}\right)$	. (9.24)
$S$	$\frac{5}{2} g k_B \frac{V}{\lambda_T^3} B_{\frac{5}{2}}\left(\frac{\mu}{k_B T}\right) - g \frac{V \mu}{\lambda_T^3 T} B_{\frac{3}{2}}\left(\frac{\mu}{k_B T}\right)$	$\frac{5}{2} g k_B \frac{V}{\lambda_T^3} \zeta\left(\frac{5}{2}\right)$	
$F$	$-g \frac{k_B TV}{\lambda_T^3} B_{\frac{5}{2}}\left(\frac{\mu}{k_B T}\right) + g \mu \frac{V}{\lambda_T^3} B_{\frac{3}{2}}\left(\frac{\mu}{k_B T}\right)$	$-g \frac{k_B TV}{\lambda_T^3} \zeta\left(\frac{5}{2}\right)$	

a pro specifické teplo

$$C_V = \begin{cases} \frac{15}{4} g k_B \frac{V}{\lambda_T^3} B_{\frac{5}{2}} \left( \frac{\mu}{k_B T} \right) - \frac{9}{4} g k_B N \frac{B_{\frac{3}{2}} \left( \frac{\mu}{k_B T} \right)}{B_{\frac{1}{2}} \left( \frac{\mu}{k_B T} \right)} & T \geq T_c \\ \frac{15}{4} g k_B \frac{V}{\lambda_T^3} \zeta \left( \frac{5}{2} \right) & T < T_c \end{cases} \quad (9.25)$$

V-echny potenciály, jakofl i specifické teplo jsou spojité p i  $T=T_c$ . Výrazy pro  $T < T_c$  snadno p epí-eme pomocí vztahu (9.14) na tvar explicitn zvyraz ující charakter teplotní závislosti. Pro  $T \geq T_c$  se spokojíme s aproximací pro  $|\mu| \rightarrow 0$ , aproximací pro velké hodnoty  $|\mu|$  jsme již vid li ve vztazích (9.6) a (9.7). Porovnáním vztah (9.4) a (9.14) máme

$$B_{\frac{3}{2}} \left( \frac{\mu}{k_B T} \right) = \zeta \left( \frac{3}{2} \right) \left( \frac{T_c}{T} \right)^{3/2} . \quad (9.26)$$

S ozna ením  $x = |\mu| / (k_B T)$  získáme chemický potenciál výpo tem limity  $x \rightarrow 0$  výrazu

$$\begin{aligned} \lim_{x \rightarrow 0} \frac{B_{\frac{3}{2}}(-x) - \zeta \left( \frac{3}{2} \right)}{x^{1/2}} &= \lim_{x \rightarrow 0} \left\{ \frac{1}{\Gamma \left( \frac{3}{2} \right) x^{1/2}} \int_0^{\infty} t^{1/2} \left[ \frac{1}{e^{t+x} - 1} - \frac{1}{e^t - 1} \right] dt \right\} = \\ \lim_{x \rightarrow 0} \left\{ \frac{2x}{\pi^{1/2}} \int_0^{\infty} t^{1/2} \left[ \frac{1}{e^{x(t+1)} - 1} - \frac{1}{e^{xt} - 1} \right] dt \right\} &= \frac{2}{\pi^{1/2}} \int_0^{\infty} t^{1/2} \left[ \frac{1}{t+1} - \frac{1}{t} \right] dt = -2\pi^{1/2} . \end{aligned} \quad (9.27)$$

Dosazením (9.27) do (9.26) pak

$$\frac{\mu}{k_B T} = - \frac{\left[ \zeta \left( \frac{3}{2} \right) \right]^2}{4\pi} \left[ 1 - \left( \frac{T_c}{T} \right)^{3/2} \right]^2 . \quad (9.28)$$

P epí-eme te tabulku (9.24) na

$$\begin{aligned}
\Omega &= N k_B T \left( \frac{T}{T_c} \right)^{3/2} \left\{ -\alpha + \beta \Theta(T - T_c) \left[ 1 - \left( \frac{T_c}{T} \right)^{3/2} \right]^2 \right\} , \\
U &= N k_B T \left( \frac{T}{T_c} \right)^{3/2} \left\{ \frac{3}{2} \alpha - \frac{3}{2} \beta \Theta(T - T_c) \left[ 1 - \left( \frac{T_c}{T} \right)^{3/2} \right]^2 \right\} , \\
S &= N k_B \left( \frac{T}{T_c} \right)^{3/2} \left\{ \frac{5}{2} \alpha - \frac{3}{2} \beta \Theta(T - T_c) \left[ 1 - \left( \frac{T_c}{T} \right)^{3/2} \right]^2 \right\} , \\
F &= -\alpha N k_B \left( \frac{T}{T_c} \right)^{3/2} , \quad \alpha = \frac{\zeta\left(\frac{5}{2}\right)}{\zeta\left(\frac{3}{2}\right)} , \quad \beta = \frac{\left[ \zeta\left(\frac{3}{2}\right) \right]^2}{4\pi} ,
\end{aligned} \tag{9.29}$$

kde  $\Theta(T - T_c)$  je Heavisideova funkce

$$\Theta(T - T_c) = \begin{cases} 1 & T > T_c \\ \frac{1}{2} & T = T_c \\ 0 & T < T_c \end{cases} . \tag{9.30}$$

Konstanty  $\alpha$  a  $\beta$  jsou přibližně rovny jedné polovině ( $\alpha \doteq 0,514$ ,  $\beta \doteq 0,543$ ). Specifické teplo po níže uvedené jako

$$C_V = T \left. \frac{\partial S}{\partial T} \right|_{N, T_c} \tag{9.31}$$

a dostáváme

$$C_V = N k_B \left( \frac{T}{T_c} \right)^{3/2} \left\{ \frac{15}{4} \alpha - \frac{9}{4} \beta \Theta(T - T_c) \left[ 1 - \left( \frac{T_c}{T} \right)^3 \right] \right\} . \tag{9.32}$$

Pro teplotní závislost specifického tepla dostáváme pak

$$\left. \frac{\partial C_V}{\partial T} \right|_{N, T_c} = \frac{N k_B}{T} \left( \frac{T}{T_c} \right)^{3/2} \left\{ \frac{45}{8} \alpha - \frac{27}{8} \beta \Theta(T - T_c) \left[ 1 + \left( \frac{T_c}{T} \right)^3 \right] \right\} . \tag{9.33}$$

Tato veličina u ní má nespojitost v  $T = T_c$

$$\left. \frac{\partial C_V}{\partial T} \right|_{N, T_c} (T \rightarrow T_c + 0) - \left. \frac{\partial C_V}{\partial T} \right|_{N, T_c} (T \rightarrow T_c - 0) \doteq -3,67 \frac{N k_B}{T_c} . \tag{9.34}$$

### 9.3 Fázový přechod páry a kondensát

Začneme se vztahem pro chemický potenciál vyjádřený jako funkce teploty a tlaku

$$d\mu = -s dT + v dP \quad , \quad s = \frac{S}{N} \quad , \quad v = \frac{V}{N} \quad , \quad (9.35)$$

odkud pro specifickou entropii a specifický objem plyne

$$s = -\left. \frac{\partial \mu}{\partial T} \right|_P \quad , \quad v = \left. \frac{\partial \mu}{\partial P} \right|_T \quad . \quad (9.36)$$

P i rovnováze dvou fází musí se rovnat jejich chemické potenciály, tedy

$$\mu_1(P, T) = \mu_2(P, T) \quad . \quad (9.37)$$

Tato rovnice ur uje tlak jako funkci teploty, takže p i derivaci (9.37) podle teploty máme

$$\frac{d\mu_1(T, P)}{dT} = \frac{d\mu_2(T, P)}{dT} \Rightarrow \left. \frac{\partial \mu_1}{\partial T} \right|_P + \left. \frac{\partial \mu_1}{\partial P} \right|_T \frac{dP}{dT} = \left. \frac{\partial \mu_2}{\partial T} \right|_P + \left. \frac{\partial \mu_2}{\partial P} \right|_T \frac{dP}{dT} \quad . \quad (9.38)$$

S využitím (9.35) pak dostáváme Clapeyronovu ó Clausiovu rovnici

$$\frac{dP}{dT} = \frac{q}{T(v_2 - v_1)} \quad , \quad q = T(s_2 - s_1) \quad . \quad (9.39)$$

V rovnici (9.39)  $q$  je latentní teplo p echodu z fáze 1 do fáze 2. I za obvyklých podmínek bývá specifický objem páry podstatn v t-í neř kapaliny, v na-ém p ípad je rozdíl extrémní.

P i teplot  $T < T_c$  je počet ástic v plynné fázi dán vztahem (9.16), tj.  $N_2 = N(T/T_c)^{3/2}$ . Ze vztah (9.29) je vid t, že pouze ástice v plynné fázi mají nenulové specifické hodnoty

$$v_2 = \frac{V}{N_2} = \frac{V}{N \left( \frac{T}{T_c} \right)^{3/2}} = \frac{1}{\rho_c} \quad , \quad s_2 = \frac{S}{N_2} = \frac{S}{N \left( \frac{T}{T_c} \right)^{3/2}} = \frac{5}{2} \alpha k_B \quad , \quad (9.40)$$

takže pravá strana rovnice (9.39) je  $(5/2) \alpha k_B \rho_c$ . Op t podle (9.29) (p ípome me  $P = -\Omega/V$ ) máme

$$P = \alpha k_B T \rho_c = \alpha k_B T \frac{g \zeta \left( \frac{3}{2} \right)}{\lambda_{dB}^3} \Rightarrow \frac{dP}{dT} = \frac{5}{2} \alpha k_B \rho_c \quad , \quad (9.41)$$

což je levá strana (9.39). Je tedy Clapeyronova ó Clausiova rovnice opravdu spln na.

## 10. Elektronový plyn

### 10.1 Úpln degenerovaný elektronový plyn

Spin elektron je  $s=1/2$  a pokud neuvažujeme roz-t pení energiových hladin zp sobené rozdílnou orientací spinu, klademe  $g=2s+1=2$ . Nejprve si v-ímneme vlastností úpln degenerovaného (nerelativistického) elektronového plynu. Rozumíme tím stav

s nejmenší možnou energií, tedy stav, kdy jsou postupně od nejnižší zaplněné energetické hladiny dvojicemi elektrony s opačně orientovanými spiny ať do vyerpání všech částic. Počet kvantových stavů elektronů, které se pohybují v objemu  $V$ , v intervalu velikosti hybností  $(p, p+dp)$  je

$$n(p)dp = 2 \frac{4\pi p^2 dp V}{(2\pi\hbar)^3} = V \frac{p^2 dp}{\pi^2 \hbar^3} . \quad (10.1)$$

Zaplňeny jsou všechny hladiny ať po hodnotu  $p_F$ , danou vztahem

$$N = \int_0^{p_F} n(p)dp = \frac{V}{\pi^2 \hbar^3} \int_0^{p_F} p^2 dp = \frac{V p_F^3}{3\pi^2 \hbar^3} , \quad (10.2)$$

odkud máme pro Fermiho hybnost  $p_F$  a Fermiho energii  $\varepsilon_F$

$$p_F = \frac{2\pi}{\lambda_F} = (3\pi^2)^{1/3} \left(\frac{N}{V}\right)^{1/3} \hbar , \quad \varepsilon_F = \frac{p_F^2}{2m} = (3\pi^2)^{2/3} \frac{\hbar^2}{2m} \left(\frac{N}{V}\right)^{2/3} . \quad (10.3)$$

Fermiho energie hraje v tomto případě roli chemického potenciálu. Vezmeme-li Fermiho a Diracovo rozdíl v limitě  $T \rightarrow 0 K$  s chemickým potenciálem  $\mu > 0$ , dostáváme

$$\lim_{T \rightarrow 0K} \frac{1}{\exp\left[\frac{\varepsilon - \mu}{k_B T}\right] + 1} = \begin{cases} 1 & \varepsilon < \mu \\ \frac{1}{2} & \varepsilon = \mu = \Theta(\mu - \varepsilon) \\ 0 & \varepsilon > \mu \end{cases} , \quad (10.4)$$

tedy právě uvažované plné obsazení hladin do hodnoty  $\mu$ . Je proto při nulové teplotě

$$\mu(T)|_{T=0K} = \varepsilon_F . \quad (10.5)$$

Celkovou energii soustavy získáme jako

$$U = \int_0^{p_F} \frac{p^2}{2m} n(p)dp = \frac{V}{2m\pi^2 \hbar^3} \int_0^{p_F} p^4 dp = \frac{V p_F^5}{10m\pi^2 \hbar^3} \quad (10.6)$$

a po dosazení z (10.3)

$$U = \frac{3(3\pi^2)^{2/3}}{10} \frac{\hbar^2}{m} \left(\frac{N}{V}\right)^{2/3} N = \frac{3}{5} N \varepsilon_F . \quad (10.7)$$

Stavovou rovnici dostaneme z obecného vztahu

$$PV = \frac{2}{3}U \Rightarrow P = \frac{(3\pi^2)^{2/3}}{5} \frac{\hbar^2}{m} \left(\frac{N}{V}\right)^{5/3} = \frac{2}{5} \frac{N}{V} \varepsilon_F . \quad (10.8)$$

	Atomová koncentrace	Valence	Elektronová hustota	Fermiho energie
--	---------------------	---------	---------------------	-----------------

	$a [10^{28} \text{ m}^3]$	$z$	$N/V = z \cdot a [10^{28} \text{ m}^3]$	$F [\text{eV}]$
Cu	8,45	1	8,45	7,00
Ag	5,85	1	5,85	5,48
Be	12,1	2	24,2	14,14
Al	6,02	3	18,06	11,63

## 10.2 Stavová rovnice nerelativistického plynu

Obdobně jako u bosonů popíšeme základní vztahy zavedením vlnové délky de Broglieho vlny tepelného pohybu

$$\begin{aligned} \frac{\Omega}{k_B T} &= -\frac{gV}{\lambda_T^3} F_{\frac{5}{2}}\left(\frac{\mu}{k_B T}\right), \\ \rho &= \frac{N}{V} = \frac{g}{\lambda_T^3} F_{\frac{3}{2}}\left(\frac{\mu}{k_B T}\right), \\ U &= \frac{3}{2} \frac{gV}{\lambda_T^3} k_B T F_{\frac{5}{2}}\left(\frac{\mu}{k_B T}\right). \end{aligned} \quad (10.9)$$

Chemický potenciál je dán implicitně druhou rovnicí z (10.9) a stavová rovnice pak dosazením tohoto potenciálu do první z rovnic. Věnujme si chování funkcí

$$F_{\frac{3}{2}}(x) = \frac{2}{\pi^{1/2}} \int_0^{\infty} \frac{t^{1/2} dt}{e^{t-x} + 1}, \quad F_{\frac{5}{2}}(x) = \frac{4}{3\pi^{1/2}} \int_0^{\infty} \frac{t^{3/2} dt}{e^{t-x} + 1}. \quad (10.10)$$

Ze vztahu (8.9) máme pro libovolné vyjádření pro velké záporné hodnoty argumentu

$$F_n(x) \doteq \exp[x] - \frac{1}{2^n} \exp[2x]. \quad (10.11)$$

Pro  $x=0$  máme podle (8.9)

$$F_n(0) = \left(1 - \frac{1}{2^{n-1}}\right) \zeta(n). \quad (10.12)$$

Nejprve je nalezení libovolného vyjádření pro velké kladné hodnoty  $x$ . Nejprve provedeme substituci  $t \rightarrow t+x$  a pak integraci per partes

$$F_n(x) = \frac{1}{\Gamma(n)} \int_{-x}^{\infty} \frac{(t+x)^{n-1}}{e^t + 1} dt = \frac{1}{\Gamma(n+1)} \int_{-x}^{\infty} \frac{e^t}{(e^t + 1)^2} (t+x)^n dt. \quad (10.13)$$

První součet v integrandu je sudá funkce, která má maximum v  $t=0$  a pro velké hodnoty  $|t|$  exponenciálně klesá. Můžeme tedy jednoduše rozšířit integrační obor na interval  $(-\infty, \infty)$  s chybou  $O(e^{-x})$  a také v druhém součiniteli vzít jen první členy se sudou mocninou pomocí Taylorova rozvoje kolem  $t=0$

$$F_n(x) \doteq \frac{x^n}{\Gamma(n+1)} \int_{-\infty}^{\infty} \frac{e^t}{(e^t+1)^2} dt + \frac{1}{2} \frac{x^{n-2}}{\Gamma(n-1)} \int_{-\infty}^{\infty} \frac{t^2 e^t}{(e^t+1)^2} dt, \quad (10.14)$$

tedy

$$F_n(x) = \frac{x^n}{\Gamma(n+1)} + \frac{\pi^2}{6} \frac{x^{n-2}}{\Gamma(n-1)}. \quad (10.15)$$

### 10.2.1 Nízká hustota, vysoká teplota

V tomto případě použijeme rozvoj (10.11). Pro chemický potenciál dostáváme výraz

$$\mu = k_B T \left\{ \ln \frac{N \lambda_T^3}{gV} + \frac{1}{2^{3/2}} \frac{N \lambda_T^3}{gV} \right\} \quad (10.16)$$

a pro energii

$$U = \frac{3}{2} N k_B T \left\{ 1 + \frac{1}{2^{5/2}} \frac{N \lambda_T^3}{gV} \right\}. \quad (10.17)$$

Stavovou rovnici dostaneme z obecného vztahu  $PV = 2U/3$ , tedy

$$PV = N k_B T \left\{ 1 + B(T) \frac{N}{V} \right\}, \quad B(T) = \frac{\lambda_T^3}{2^{5/2} g}, \quad (10.18)$$

$B(T)$  je druhý viriálový koeficient, v našem případě daný korekcí na vzájemnou interakci částic, ale korekcí na kvantové jevy.

### 10.2.2 Vysoká hustota, nízká teplota

Použijeme rozvoj (10.15), tedy

$$F_{\frac{3}{2}}(x) = \frac{4x^{3/2}}{3\pi^{1/2}} \left( 1 + \frac{\pi^2}{8x^2} \right), \quad F_{\frac{5}{2}}(x) = \frac{8x^{5/2}}{15\pi^{1/2}} \left( 1 + \frac{5\pi^2}{8x^2} \right). \quad (10.19)$$

Chemický potenciál určíme tedy ze vztahu

$$N = \frac{4}{3\pi^{1/2}} \frac{gV}{\lambda_T^3} \left( \frac{\mu}{k_B T} \right)^{3/2} \left\{ 1 + \frac{\pi^2}{8} \left( \frac{k_B T}{\mu} \right)^2 \right\}. \quad (10.20)$$

Pomocí vztah (10.20) pomocí Fermiho energie a Fermiho teploty  $\varepsilon_F = k_B T_F$  na (pamatujme na  $g=2$ )

$$\varepsilon_F = \mu \left[ 1 + \frac{\pi^2}{8} \left( \frac{k_B T}{\mu} \right)^2 \right]^{2/3} \Rightarrow \mu \doteq k_B T_F \left[ 1 - \frac{\pi^2}{12} \left( \frac{T}{T_F} \right)^2 \right]. \quad (10.21)$$

Pro energii pak máme

$$U = \frac{3}{5} N k_B T_F \left[ 1 + \frac{5\pi^2}{12} \left( \frac{T}{T_F} \right)^2 \right]. \quad (10.22)$$

Stejnou opravu máme i ve stavové rovnici

$$PV = \frac{2}{5} N k_B T_F \left[ 1 + \frac{5\pi^2}{12} \left( \frac{T}{T_F} \right)^2 \right]. \quad (10.23)$$

Z obecného vztahu

$$S = \frac{1}{T} [U - \Omega - \mu N] = \frac{1}{T} \left[ \frac{5}{3} U - \mu N \right] \quad (10.24)$$

dostaneme dosazením z (10.21) a (10.22) pro entropii

$$S = \frac{\pi^2}{2} k_B N \frac{T}{T_F}. \quad (10.25)$$

Je tedy splněna podmínka termodynamiky o entropie jde k nule pro teplotu jdoucí k absolutní nule.

Výsledky získané v odstavci 10.1 pro  $T=0\text{K}$  budou tedy s dobrým přiblížením platit i při konečných teplotách, podmínkou pro platnost aproximace je

$$T \ll T_F \sim \frac{\hbar^2}{k_B m} \left( \frac{N}{V} \right)^{2/3} \quad (10.26)$$

nebo také

$$\lambda_T \gg \lambda_F = 2 \left( \frac{\pi V}{3 N} \right)^{1/3}. \quad (10.27)$$

Pozoruhodnou vlastností degenerovaného elektronového plynu je, že se vzrůstající hustotou se více blíží ideálnímu plynu.

### 10.3 Richardson v zákon

Porovnáme výsledky, které pro hustotu termoemisioního proudu z kovového vzorku dostaneme při užití Maxwellova a Fermiho-Diracova rozdílů. K experimentálnímu potvrzení závislosti získané z Fermiho-Diracova rozdílů dospěl Richardson (Nobelova cena 1928). Emitující element povrchu vzorku  $dS$  leží v rovině  $x$  a  $y$ , elektrony jsou



emitovány tehdy, jestliže pro složku hybnosti kolmou k povrchu platí  $p_z > (2mW)^{1/2}$ . Podle Maxwellova rozdělení máme (u hybností využíváme válcových souřadnic)

$$dN = \frac{N}{V(2\pi m k_B T)^{3/2}} \exp\left[-\frac{p_\rho^2 + p_z^2}{2m k_B T}\right] 2\pi p_\rho dp_\rho dp_z dS dz, \quad (10.28)$$

odkud pro rozdělení proudové hustoty dostaneme

$$dJ = e \frac{dN}{dS dt} = \frac{2\pi N e}{V m (2\pi m k_B T)^{3/2}} p_\rho p_z \exp\left[-\frac{p_\rho^2 + p_z^2}{2m k_B T}\right] dp_\rho dp_z. \quad (10.29)$$

Po integraci dostáváme pro proudovou hustotu výraz

$$J = e \frac{N}{V} \left(\frac{k_B T}{2\pi m}\right)^{1/2} \exp\left[-\frac{W}{k_B T}\right]. \quad (10.30)$$

Podle Fermiho a Diracova rozdělení máme

$$dJ = \frac{e}{m} \frac{2}{(2\pi\hbar)^3} \frac{2\pi p_\rho dp_\rho p_z dp_z}{\exp\left[\frac{p_\rho^2 + p_z^2}{2m k_B T} - \frac{\varepsilon_F}{k_B T}\right] + 1}, \quad (10.31)$$

kde jsme aproximovali chemický potenciál Fermiho energií. Po substituci

$$p_\rho = (2m k_B T)^{1/2} s^{1/2}, \quad p_z = (2m k_B T)^{1/2} \left(s + \frac{W}{k_B T}\right)^{1/2} \quad (10.32)$$

dostáváme pro proudovou hustotu výraz

$$J = \frac{\pi e}{m(2\pi\hbar)^3} (2m k_B T)^2 \int_0^\infty \int_0^\infty \frac{ds dt}{\exp\left[\frac{W - \varepsilon_F}{k_B T} + s + t\right] + 1}. \quad (10.33)$$

Pro  $(W - \varepsilon_F)/(k_B T) \gg 1$  dostáváme s dobrým přiblížením

$$J = \frac{\pi e}{m(2\pi\hbar)^3} (2m k_B T)^2 \exp\left[-\frac{W - \varepsilon_F}{k_B T}\right]. \quad (10.34)$$

Analýza rozdílů vztahů (10.30) a (10.34) ukazuje, že není možné klasickou (Drudeho) elektronovou teorií kov opravit zavedením efektivního počtu volných elektronů.

## 10.4 Magnetické vlastnosti elektronového plynu

### 10.4.1 Elektron v homogenním magnetickém poli

Uvažujme o homogenním magnetickém poli, osu  $z$  volíme podél směru pole  $\vec{B} = B\vec{e}_z$ ,  $B > 0$  a za vektorový potenciál vezmeme  $\vec{A} = -By\vec{e}_x$ . Potom hamiltonián v Pauliho rovnici je

$$\hat{H} = \left[ \frac{(\hat{p}_x + eBy)^2}{2m} + \frac{\hat{p}_y^2}{2m} + \frac{\hat{p}_z^2}{2m} \right] \begin{pmatrix} 1 & 0 \\ 0 & 1 \end{pmatrix} - \frac{e\hbar}{2m} B \begin{pmatrix} 1 & 0 \\ 0 & -1 \end{pmatrix} . \quad (10.35)$$

Komutační relace v rovině  $x$  o  $y$  jsou

$$\begin{aligned} [\hat{x}, \hat{y}] &= [\hat{p}_x, \hat{p}_y] = 0, \quad [\hat{x}, \hat{p}_x] = [\hat{y}, \hat{p}_y] = i\hbar \Rightarrow \\ [\hat{v}_x, \hat{v}_y] &= \frac{1}{m^2} \{ (\hat{p}_x + eBy)\hat{p}_y - \hat{p}_y(\hat{p}_x + eBy) \} = -i\hbar \frac{|e|B}{m^2} . \end{aligned} \quad (10.36)$$

Zavedeme-li nové proměnné

$$\omega = \frac{|e|B\hbar}{m}, \quad \hat{P} = \sqrt{m}\hat{v}_x, \quad \hat{Q} = -\frac{\sqrt{m}}{\omega}\hat{v}_y, \quad (10.37)$$

dostaneme komutační relaci

$$[\hat{Q}, \hat{P}] = i\hbar \quad (10.38)$$

a hamiltonián

$$\hat{H} = \left[ \frac{1}{2}(\hat{P}^2 + \omega^2\hat{Q}^2) + \frac{1}{2m}\hat{p}_z^2 \right] \begin{pmatrix} 1 & 0 \\ 0 & 1 \end{pmatrix} + \frac{1}{2}\omega \begin{pmatrix} 1 & 0 \\ 0 & -1 \end{pmatrix} . \quad (10.39)$$

Máme tak dva stupně volnosti pro lineární harmonický oscilátor a jeden stupeň volnosti pro lineární pohyb volné částice a dvě mofné hodnoty  $\sigma = \pm 1/2$  projekce spinu do osy  $z$ . Energetické hladiny jsou (mluvíme o Landauových hladinách)

$$E_{n,\sigma}(p_z) = \left( n + \frac{1}{2} + \sigma \right) \frac{|e|\hbar}{m} B + \frac{p_z^2}{2m} . \quad (10.40)$$

Schrödingerova rovnice pro spinové komponenty v souřadnicové reprezentaci je

$$\left\{ \frac{1}{2m} \left[ \left( \frac{\hbar}{i} \frac{\partial}{\partial x} - |e|By \right)^2 + \left( \frac{\hbar}{i} \frac{\partial}{\partial y} \right)^2 + \left( \frac{\hbar}{i} \frac{\partial}{\partial z} \right)^2 \right] \right\} \psi_{n,\sigma} = E_{n,\sigma}(p_z) \psi_{n,\sigma} . \quad (10.41)$$

Normované řešení (v  $x$  a  $z$  na obě funkce, v  $y$  na jedničku) je

$$\psi_{n,\sigma} = \frac{\exp\left[\frac{i}{\hbar}(p_x x + p_z z)\right] \exp\left[-\frac{(y-\eta)^2}{2\rho^2}\right]}{2\pi\hbar} \frac{1}{\pi^{1/4} (2^n n! \rho)} H_n\left(\frac{y-\eta}{\rho}\right) \begin{pmatrix} \delta_{\sigma,1/2} \\ \delta_{\sigma,-1/2} \end{pmatrix} , \quad (10.42)$$

kde

$$\rho = \left( \frac{\hbar}{|e|B} \right)^{1/2}, \quad \eta = \frac{p_x}{|e|B}. \quad (10.43)$$

Pro výpočet počet stavů uvažujeme krychli velkého objemu  $V = L_x L_y L_z$ . Máme tedy spojité spektrum v  $p_x$  a  $p_z$ . Počet stavů s danou hodnotou  $n$ , a  $p_x$  v intervalu  $\Delta p_z$  je  $\Delta \Gamma_z = L_z \Delta p_z / (2\pi\hbar)$ , obdobně počet stavů s danou hodnotou  $n$ , a  $p_z$  v intervalu  $\Delta p_x$  je  $\Delta \Gamma_x = L_x \Delta p_x / (2\pi\hbar)$ . Interval  $\Delta p_x$  nemůže být libovolně velký, nebo hodnota  $\eta$ , která je y-ová souřadnicí středů kružnic klasické trajektorie musí ležet v dané krychli, tj.  $0 < \eta < L_y$ , odkud pak  $\Delta p_x = |e|B L_y$ . Máme tak pro objem fázového prostoru (faktor 2 pro dvě spinové orientace)

$$\Delta \Gamma = 2 \Delta \Gamma_x \Delta \Gamma_z = 2 \frac{|e|B}{(2\pi\hbar)^2} V \Delta p_z. \quad (10.44)$$

#### 10.4.2 Termodynamický potenciál

Energiové hladiny vhodně poskládáme, takže bude

$$E_n = 2n\mu_B B + p_z^2 / (2m), \quad (10.45)$$

kde

$$\mu_B = \frac{|e|\hbar}{2m} \quad (10.46)$$

je Bohrův magneton. Nulové hladiny bude odpovídat jeden stav s p-ovodním značením  $n=0$  a  $\sigma=-1/2$ , ostatní hladiny budou dvakrát spinově degenerované, s p-ovodním značením  $[(n-1)+1/2]+1/2$  a  $[n+1/2]-1/2$ . S objemem fázového prostoru (10.44) bude termodynamický potenciál dán vztahem

$$\Omega = 2\mu_B B \left\{ \frac{1}{2} f(\mu) + \sum_{n=1}^{\infty} f(\mu - 2n\mu_B B) \right\}, \quad (10.47)$$

kde

$$f(x) = -\frac{mk_B T V}{2\pi^2 \hbar^3} \int_{-\infty}^{\infty} \ln \left( 1 + \exp \left[ \frac{x}{k_B T} - \frac{p_z^2}{2mk_B T} \right] \right) dp_z \quad (10.48)$$

Podle Eulerovy a Maclaurinovy formule platí přibližně

$$\frac{1}{2}f(\mu) + \sum_{n=1}^{\infty} f(\mu - 2n\mu_B B) = \int_0^{\infty} f(\mu - 2\mu_B Bx) dx - \frac{1}{12} \frac{\partial f(\mu - 2\mu_B Bx)}{\partial x} \Big|_{x=0}, \quad (10.49)$$

takže termodynamický potenciál je

$$\Omega = \int_{-\infty}^{\mu} f(x) dx + \frac{1}{3} \mu_B^2 B^2 \frac{\partial f(\mu)}{\partial \mu}. \quad (10.50)$$

První člen nezávisí na hodnotě pole  $\phi$  je to tedy termodynamický potenciál při nulovém poli  $\Omega_0$ . Můžeme tak (10.50) upravit na

$$\Omega = \Omega_0(\mu) + \frac{1}{3} \mu_B^2 B^2 \frac{\partial^2 \Omega_0(\mu)}{\partial \mu^2} = \Omega_0(\mu) - \frac{1}{3} \mu_B^2 B^2 \frac{\partial N(\mu)}{\partial \mu}. \quad (10.51)$$

Magnetizace je

$$M = -\frac{\partial \Omega}{\partial B} = \frac{2}{3} \mu_B^2 B \frac{\partial N(\mu)}{\partial \mu} \quad (10.52)$$

a magnetická susceptibilita pak

$$\chi_m = \frac{\mu_0}{V} \frac{\partial M}{\partial B} = \frac{2}{3} \frac{\mu_0 \mu_B^2}{V} \frac{\partial N}{\partial \mu}. \quad (10.53)$$

Protože  $\partial N / \partial \mu > 0$ , je magnetická susceptibilita elektronového plynu kladná, tedy jedná se o paramagnetickou soustavu. Jak uvidíme, je to způsobeno spinovou částí celkového momentu hybnosti, šorbitální pohybů na Landauových hladinách (jinak diamagnetický (slabší příspěvek)).

### 10.4.3 Pauliho paramagnetismus

Dvoutopánové orientace spinu způsobují rozštěpení energetické hladiny volné částice na dvě  $E \rightarrow E(\pm) = p^2 / (2m) \pm \mu_B B$ . Protože se energie vyskytuje v rozdělovací funkci v kombinaci  $E - \mu$ , můžeme spinové rozštěpení zahrnout do chemického potenciálu  $\mu \rightarrow \mu \mp \mu_B B$ . Protože předpokládáme  $\mu_B B \ll \mu$ , bude na obou hladinách přibližně stejný elektron a tedy

$$\Omega = \frac{1}{2} \Omega_0(\mu + \mu_B B) + \frac{1}{2} \Omega_0(\mu - \mu_B B), \quad (10.54)$$

kde  $\Omega_0$  je chemický potenciál při nulovém magnetickém poli. Ponecháním prvních členů Taylorova rozvoje dostaneme z (10.54)

$$\Omega = \Omega_0(\mu) + \frac{1}{2} \mu_B^2 B^2 \frac{\partial^2 \Omega_0(\mu)}{\partial \mu^2} = \Omega_0(\mu) - \frac{1}{2} \mu_B^2 B^2 \frac{\partial N(\mu)}{\partial \mu}. \quad (10.55)$$

Pro magnetickou susceptibilitu pak

$$\chi_m|_{\text{spin}} = \frac{\mu_0}{V} \frac{\partial^2 \Omega}{\partial B^2} = \frac{\mu_0 \mu_B^2}{V} \frac{\partial N}{\partial \mu} . \quad (10.56)$$

Porovnání s (10.53) dává

$$\chi_m|_{\text{orbit}} = \chi_m - \chi_m|_{\text{spin}} = -\frac{1}{3} \frac{\mu_0 \mu_B^2}{V} \frac{\partial N}{\partial \mu} , \quad (10.57)$$

tedy diamagnetické chování.

## 11. Relativistický plyn degenerovaný elektronový plyn

Fermiho hybnost je stejná jako v nerelativistickém případě, protože je určena pouze počtem stavů. Můžeme tedy psát podle (10.2)

$$p_F = (3\pi^2)^{1/3} \left( \frac{N}{V} \right)^{1/3} \hbar , \quad \varepsilon_F = c(p_F^2 + m^2 c^2)^{1/2} . \quad (11.1)$$

Například-li rozdělíme funkci pro energii, dostáváme

$$dN_\varepsilon = \frac{V}{\pi^2 (\hbar c)^3} \varepsilon (\varepsilon^2 - (m c^2)^2)^{1/2} d\varepsilon \xrightarrow{\varepsilon = m c^2 t} dN_t = \frac{V (m c^2)^3}{\pi^2 (\hbar c)^3} t (t^2 - 1)^{1/2} dt . \quad (11.2)$$

Pro výpočet Fermiho energie  $\varepsilon_F$ , termodynamického potenciálu  $\Omega$  a energie  $U$  (se započtením klidové energie  $N m c^2$ ) máme pak

$$\begin{aligned} N &= \frac{V}{\pi^2 \lambda_C^3} \int_1^{\varepsilon_F/(m c^2)} t (t^2 - 1)^{1/2} dt , \\ \Omega &= -\frac{V m c^2}{3 \pi^2 \lambda_C^3} \int_1^{\varepsilon_F/(m c^2)} (t^2 - 1)^{3/2} dt , \\ U &= \frac{V m c^2}{\pi^2 \lambda_C^3} \int_1^{\varepsilon_F/(m c^2)} t^2 (t^2 - 1)^{1/2} dt . \end{aligned} \quad (11.3)$$

Označme-li jsme Comptonovu vlnovou délku

$$\lambda_C = \frac{\hbar}{m c} . \quad (11.4)$$

Integrály v (11.3) je možné vyjádřit analyticky, takže dostáváme pro Fermiho energii

$$N = \frac{V}{3 \pi^2 \lambda_C^3} \frac{(\varepsilon_F^2 - (m c^2)^2)^{3/2}}{(m c^2)^3} , \quad (11.5)$$

pro termodynamický potenciál (připomeňme, že platí  $\Omega = -PV$ )

$$\Omega = -\frac{V m c^2}{8 \pi^2 \lambda_C^3} \left\{ \frac{\varepsilon_F \left( \varepsilon_F^2 - (m c^2)^2 \right)^{1/2}}{(m c^2)^2} \left[ \frac{2 \varepsilon_F^2 - (m c^2)^2}{3 (m c^2)^2} - 1 \right] + \ln \frac{\varepsilon_F + \left( \varepsilon_F^2 - (m c^2)^2 \right)^{1/2}}{m c^2} \right\} \quad (11.6)$$

a pro celkovou energii (v etn klidové  $N m c^2$ )

$$U = \frac{V m c^2}{8 \pi^2 \lambda_C^3} \left\{ \frac{\varepsilon_F \left( \varepsilon_F^2 - (m c^2)^2 \right)^{1/2}}{(m c^2)^2} \left[ 2 \frac{\varepsilon_F^2 - (m c^2)^2}{(m c^2)^2} + 1 \right] - \ln \frac{\varepsilon_F + \left( \varepsilon_F^2 - (m c^2)^2 \right)^{1/2}}{m c^2} \right\} . \quad (11.7)$$

Snadno vidíme, že

$$U - \Omega = U + PV = N \varepsilon_F . \quad (11.8)$$

Je to vyjádření obecní platného vztahu

$$U + PV - TS = \Phi = \mu N \quad (11.9)$$

pro teplotu  $T=0\text{K}$ . Pro extrémně relativistickou limitu  $\varepsilon_F \gg m c^2$  dostáváme

$$N = \frac{V}{3 \pi^2 \lambda_C^3} \left( \frac{\varepsilon_F}{m c^2} \right)^3 , \quad \Omega = -\frac{V m c^2}{12 \pi^2 \lambda_C^3} \left( \frac{\varepsilon_F}{m c^2} \right)^4 , \quad U = \frac{V m c^2}{4 \pi^2 \lambda_C^3} \left( \frac{\varepsilon_F}{m c^2} \right)^4 . \quad (11.10)$$

Platí tedy v tomto případě obecní vztah

$$PV = \frac{1}{3} U . \quad (11.11)$$

## 12. Operátor matice hustoty

### 12.1 Popis soustavy v interakci s okolím

Popisujeme-li soustavu  $A$ , která není izolovaná, ale je částí nějaké v t-í uzavřené soustavy  $A+B$ , nemůžeme stanovit její stavový vektor (vlnovou funkci), nebo obecně pro soustavu samotnou neexistuje. Pro v t-í uzavřenou soustavu  $A+B$  však stavový vektor  $|\Psi\rangle$  existuje a můžeme jej rozložit podle úplného souboru stavových vektorů izolované podsoustavy  $A$   $|\phi_i\rangle$

$$|\Psi\rangle = \sum_{i,k} C_{ik} |\phi_i\rangle |\theta_k\rangle , \quad \sum_{i,k} C_{ik} C_{ik}^* = 1, \quad (12.1)$$

kde  $|\theta_k\rangle$  jsou stavové vektory odpovídající izolovanému zbytku soustavy  $B$ . Operátor  $\hat{O}_{A+B}$ , který odpovídá fyzikální veličině určené pouze vlastnostmi podsoustavy  $A$  můžeme zapsat ve tvaru

$$\check{O}_{A+B} = \check{O}_A \cdot \check{I}_B = \sum_{ijk} O_{ij} |\phi_i\rangle \langle \theta_k| \langle \theta_k| \langle \phi_j| \quad . \quad (12.2)$$

Pro st ední hodnotu operátoru  $\check{O}_{A+B}$  ve stavu  $|\Psi\rangle$  máme

$$\begin{aligned} \langle \Psi | \check{O}_{A+B} | \Psi \rangle &= \sum_{\substack{ik \\ jl}} C_{ik}^* C_{jl} \langle \theta_k | \langle \phi_i | \check{O}_A | \phi_j \rangle \check{I}_B | \theta_l \rangle = \sum_{ijk} C_{ik}^* C_{jk} \langle \phi_i | \check{O}_A | \phi_j \rangle = \\ &= \sum_{ij} \langle \phi_i | \check{O}_A | \phi_j \rangle \langle \phi_j | \check{\rho} | \phi_i \rangle = \sum_i \langle \phi_i | \check{O}_A \check{\rho} | \phi_i \rangle = \text{Tr} \{ \check{O}_A \check{\rho} \} \quad , \\ &\check{\rho} = \sum_{ijk} C_{ik}^* C_{jk} |\phi_j\rangle \langle \phi_i| \quad . \end{aligned} \quad (12.3)$$

Z definice je z ejmé, že  $\check{\rho}$  je hermiteovský operátor, p sobící v soustav  $A$ . Lze jej tedy psát pomocí vlastních vektorů a reálných vlastních hodnot jako

$$\check{\rho} = \sum_i w_i |\rho_i\rangle \langle \rho_i| \quad . \quad (12.4)$$

Volíme-li za operátor  $\check{O}$  (index  $A$  ufl budeme vynechávat) postupn jednotkový operátor a operátor  $|\rho_i\rangle \langle \rho_i|$ , dostáváme porovnáním výraz  $\text{Tr} \{ \check{O} \check{\rho} \} = \langle \Psi | \check{O} | \Psi \rangle$

$$\begin{aligned} \check{O} = \check{I} \Rightarrow \text{Tr} \{ \check{\rho} \} &= \sum_i w_i = \langle \Psi | \Psi \rangle = 1 \quad , \quad \check{O} = |\rho_j\rangle \langle \rho_j| \Rightarrow \\ \text{Tr} \{ |\rho_j\rangle \langle \rho_j| \check{\rho} \} &= w_j = \langle \Psi | \rho_j \rangle \langle \rho_j | \Psi \rangle = |\langle \rho_j | \Psi \rangle|^2 \geq 0 \quad . \end{aligned} \quad (12.5)$$

Mžeme proto interpretovat  $w_i$  jako pravd podobnost nalezení soustavy ve stavu  $|\rho_i\rangle$ . Pro maticové elementy máme

$$\langle \phi_i | \check{\rho} | \phi_j \rangle = \sum_k w_k \langle \phi_i | \rho_k \rangle \langle \rho_k | \phi_j \rangle \quad . \quad (12.6)$$

Je-li pro  $n$  které  $i$   $w_i = 1$ , musí být pro  $k \neq i$   $w_k = 0$  a podsoustavu  $A$  lze popsat vlnovou funkcí, mluvíme o istém stavu. Snadno se ukáže, že pro istý stav platí rovnost  $\check{\rho}^2 = \check{\rho}$ , nebo

$$\check{\rho}^2 = |\rho_i\rangle \langle \rho_i| |\rho_i\rangle \langle \rho_i| = |\rho_i\rangle \langle \rho_i| = \check{\rho} \quad . \quad (12.7)$$

St ední hodnota fyzikální veli iny, které odpovídá operátor  $\check{F}$  je vyjád ena bu jako

$$\langle \check{F} \rangle = \text{Tr} \{ \check{F} \check{\rho} \} = \sum_{ij} \langle f_i | \check{F} | f_j \rangle \langle f_j | \check{\rho} | f_i \rangle = \sum_i f_i \langle f_i | \check{\rho} | f_i \rangle \quad (12.8)$$

nebo

$$\langle \check{F} \rangle = \text{Tr} \{ \check{F} \check{\rho} \} = \sum_{ij} \langle \rho_i | \check{F} | \rho_j \rangle \langle \rho_j | \check{\rho} | \rho_i \rangle = \sum_i \rho_i \langle \rho_i | \check{F} | \rho_i \rangle \quad . \quad (12.9)$$

## 12.2 Další vlastnosti matice hustoty

Pro odvození časové závislosti operátoru matice hustoty vyjdeme z rozkladu

$$\ddot{\rho} = \sum_{ijk} C_{ik}^* C_{jk} |\phi_j\rangle\langle\phi_i|, \quad \dot{H} \sum_j C_{jk} |\phi_j\rangle = i\hbar \frac{\partial}{\partial t} \sum_j C_{jk} |\phi_j\rangle \quad (12.10)$$

a dostaneme

$$i\hbar \frac{\partial}{\partial t} \ddot{\rho} = [\dot{H}, \ddot{\rho}] \quad (12.11)$$

Můžeme tedy psát

$$\ddot{\rho}(t) = \sum_n w_n \exp\left[-\frac{i}{\hbar} \dot{H} t\right] |\rho_n(0)\rangle\langle\rho_n(0)| \exp\left[\frac{i}{\hbar} \dot{H} t\right] \quad (12.12)$$

neboli

$$\ddot{\rho}(t) = \exp\left[-\frac{i}{\hbar} \dot{H} t\right] \ddot{\rho}(0) \exp\left[\frac{i}{\hbar} \dot{H} t\right] \quad (12.13)$$

Rovnice připomíná rovnici pro časový vývoj operátoru v Heisenbergově reprezentaci, ať na znaménko ovšem, nebo jsme ve Schrödingerově reprezentaci! Pro operátor v Heisenbergově reprezentaci dostáváme standardním způsobem

$$\begin{aligned} \langle\Psi_S(t)|\dot{O}_S|\Psi_S(t)\rangle &= \langle\Psi_S(0)|\exp\left[\frac{i}{\hbar} \dot{H} t\right] \dot{O}_S \exp\left[-\frac{i}{\hbar} \dot{H} t\right] |\Psi_S(0)\rangle = \\ \langle\Psi_H|\dot{O}_H|\Psi_H\rangle &\Rightarrow \dot{O}_H = \exp\left[\frac{i}{\hbar} \dot{H} t\right] \dot{O}_S \exp\left[-\frac{i}{\hbar} \dot{H} t\right] \end{aligned} \quad (12.14)$$

Stopa matice hustoty jakož i stopa šrozměně funkce této matice je na časě nezávislá. Máme

$$\text{Tr}\{f(\ddot{\rho}(t))\} = \sum_{i,j} \underbrace{\langle\rho_i(t)|\langle\rho_j(t)\rangle}_{\delta_{ij}} f(w_j) \underbrace{\langle\rho_j(t)|\langle\rho_i(t)\rangle}_{\delta_{ij}} = \sum_i f(w_i) \quad (12.15)$$

Je možné definovat kvazientropii (na rozdíl od obyčejné entropie je na časě nezávislá)

$$S = -\sum_n w_n \ln w_n \quad (12.16)$$

Tato entropie je pro určitý stav rovna nule, pro smíšené stavy může nabývat velkých kladných hodnot.

## 12.3 Matice hustoty v souřadnicové a impulsové reprezentaci

V souřadnicové reprezentaci máme

$$\rho(x, x') = \langle x | \left[ \sum_{n=1}^{\infty} |n\rangle w_n \langle n| \right] | x' \rangle = \sum_{n=1}^{\infty} w_n \psi_n(x) \psi_n^*(x') \quad (12.17)$$

Pro střední hodnotu operátoru

$$\langle \dot{A} \rangle = \text{Tr}\{\ddot{\rho} \dot{A}\} = \int dx \int dx' \rho(x, x') A(x', x) \quad (12.18)$$



Operátory sou adnice a hybnosti jsou ve svých reprezentacích

$$\begin{aligned} X(x', x) &= \langle x' | \hat{x} | x \rangle = x \langle x' | x \rangle = x \delta(x' - x) \quad , \\ P(p', p) &= \langle p' | \hat{p} | p \rangle = p \langle p' | p \rangle = p \delta(p' - p) \quad . \end{aligned} \quad (12.19)$$

Střední hodnoty operátorů sou adnice a hybnosti jsou tedy

$$\begin{aligned} \langle \hat{x} \rangle &= \iint \rho(x, x') x \delta(x' - x) dx' dx = \int x \rho(x, x) dx \quad , \\ \langle \hat{p} \rangle &= \iint \rho(p, p') p \delta(p' - p) dp' dp = \int p \rho(p, p) dp \quad . \end{aligned} \quad (12.20)$$

Pechod mezi reprezentacemi je dán vztahy

$$|x\rangle = \int \frac{dq}{\sqrt{2\pi\hbar}} \exp\left[-\frac{i}{\hbar} q x\right] |q\rangle \quad , \quad |p\rangle = \int \frac{dy}{\sqrt{2\pi\hbar}} \exp\left[\frac{i}{\hbar} y p\right] |y\rangle \quad . \quad (12.21)$$

Pro matici hustoty tedy máme

$$\begin{aligned} \rho(x, x') &= \iint \rho(p, p') \exp\left[\frac{i}{\hbar}(p x - p' x')\right] \frac{dp dp'}{2\pi\hbar} \quad , \\ \rho(p, p') &= \iint \rho(x, x') \exp\left[-\frac{i}{\hbar}(p x - p' x')\right] \frac{dx dx'}{2\pi\hbar} \quad . \end{aligned} \quad (12.22)$$

Operátor hybnosti v souadnicové reprezentaci získáme z

$$\langle x | \hat{p} | \psi \rangle = \frac{\hbar}{i} \frac{\partial}{\partial x} \langle x | \psi \rangle \quad \Rightarrow \quad \langle x | \hat{p} | x' \rangle = \frac{\hbar}{i} \frac{\partial}{\partial x} \delta(x - x') \quad . \quad (12.23)$$

Je tedy

$$\langle \hat{p} \rangle = \iint \rho(x, x') \frac{\hbar}{i} \frac{\partial}{\partial x} \delta(x - x') dx' dx = -\frac{\hbar}{i} \int dx \frac{\partial}{\partial x} \rho(x, x') \Big|_{x'=x} \quad . \quad (12.24)$$

## 12.4 Matice hustoty ve statistické fyzice

Za pravděpodobnosti volíme

$$w_n = \frac{1}{Z} \exp\{-\beta E_n\} \quad , \quad Z = \exp[-\beta F] = \sum_n \exp[-\beta E_n] \quad , \quad \beta = \frac{1}{k_B T} \quad . \quad (12.25)$$

Z vyjádření operátoru matice hustoty a hamiltoniánu

$$\hat{\rho} = \frac{1}{Z} \sum_n |n\rangle \exp[-\beta E_n] \langle n| \quad , \quad \hat{H} = \sum_n |n\rangle E_n \langle n| \quad (12.26)$$

a

$$\hat{H} \hat{\rho} = \sum_n |n\rangle E_n \langle n| \underbrace{\sum_k |k\rangle \frac{\exp[-\beta E_k]}{Z} \langle k|}_{\delta_{nk}} = \frac{1}{Z} \sum_n |n\rangle E_n \exp[-\beta E_n] \langle n| \quad (12.27)$$

vidíme, že operátor matice hustoty splňuje rovnici

$$-\frac{\partial}{\partial \beta} \check{\rho} = (\check{H} - U) \check{\rho} \quad , \quad U = \frac{\sum_n E_n \exp[-\beta E_n]}{\sum_n \exp[-\beta E_n]} \quad . \quad (12.28)$$

Obecný zápis operátoru matice hustoty je

$$\check{\rho} = \frac{\exp[-\beta \check{H}]}{\text{Tr}\{\exp[-\beta \check{H}]\}} \quad . \quad (12.29)$$

Pro vnitřní energii  $U$  a volnou energii  $F$  máme

$$U = \text{Tr}\{\check{H} \check{\rho}\} = \frac{\text{Tr}\{\check{H} \exp[-\beta \check{H}]\}}{\text{Tr}\{\exp[-\beta \check{H}]\}} \quad , \quad \exp[-\beta F] = \text{Tr}\{\exp[-\beta \check{H}]\} \quad . \quad (12.30)$$

Při praktických výpočtech postačí e-rovnicí pro nenormovanou matici hustoty  $\check{\rho}_U = \exp[-\beta \check{H}]$  a po výpočtu spočítat stopu pro normování. Pro nenormovanou matici hustoty máme rovnici

$$-\frac{\partial \check{\rho}_U}{\partial \beta} = \check{H} \check{\rho}_U \quad , \quad \check{\rho}_U(0) = \check{1} \quad . \quad (12.31)$$

Pro jednorozměrný pohyb volné částice máme v souřadnicové reprezentaci rovnici

$$-\frac{\partial \rho_U(x, x', \beta)}{\partial \beta} = -\frac{\hbar^2}{2m} \frac{\partial^2 \rho_U(x, x', \beta)}{\partial x^2} \quad , \quad \rho_U(x, x', 0) = \delta(x - x') \quad . \quad (12.32)$$

e-rovnice (12.32) je

$$\rho_U(x, x', \beta) = \frac{1}{\lambda_T} \exp\left[-\pi \frac{(x - x')^2}{\lambda_T^2}\right] \quad , \quad \lambda_T = \left(\frac{2\pi\hbar^2}{m k_B T}\right)^{1/2} \quad . \quad (12.33)$$

e-rovnici ukážeme ještě jinak, pro zmenu ve třech rozměrech. Máme

$$\rho_U(x, x', \beta) = \sum_n \exp[-\beta E_n] \psi_n^*(x) \psi_n(x) \quad . \quad (12.34)$$

Pro částici uzavřenou ve velkém objemu  $V$  nahradíme sumaci integrací

$$\sum_n \rightarrow \frac{V}{(2\pi\hbar)^3} \int d^3 \vec{p} \quad , \quad \psi_n(\vec{x}) \rightarrow \psi_{\vec{p}}(\vec{x}) = \frac{1}{V^{1/2}} \exp\left[\frac{i}{\hbar} \vec{p} \cdot \vec{x}\right] \quad , \quad (12.35)$$

takže dostáváme

$$\rho_U(\vec{x}, \vec{x}', \beta) = \int \frac{d^3 \vec{p}}{(2\pi\hbar)^3} \exp\left[-\beta \frac{\vec{p}^2}{2m} + \frac{i}{\hbar} \vec{p} \cdot (\vec{x} - \vec{x}')\right] = \frac{1}{\lambda_T^3} \exp\left[-\pi \frac{(\vec{x} - \vec{x}')^2}{\lambda_T^2}\right] \quad . \quad (12.36)$$

Všimněme si, že pro volnou částici musíme stopu spočítat jen ve vymezeném objemu, takže

$$\text{Tr} \rho_U = \int d^3 \bar{x} \rho_U(\bar{x}, \bar{x}, \beta) = \frac{1}{\lambda_T^3} \int d^3 \bar{x} = \frac{V}{\lambda_T^3} . \quad (12.37)$$

## 12.5 Lineární harmonický oscilátor

Hamiltonián je

$$\hat{H} = \frac{1}{2m} \hat{p}^2 + \frac{m\omega^2}{2} \hat{x}^2 . \quad (12.38)$$

V souadnicové reprezentaci tedy dostáváme rovnici

$$-\frac{\partial \rho_U}{\partial \beta} = -\frac{\hbar^2}{2m} \frac{\partial^2 \rho_U}{\partial x^2} + \frac{m\omega^2}{2} x^2 \rho_U , \quad \rho_U(x, x', 0) = \delta(x - x') . \quad (12.39)$$

Zavedením bezrozměrných proměnných

$$\xi = \left( \frac{m\omega}{\hbar} \right)^{1/2} x , \quad \eta = \frac{\hbar\omega}{2} \beta = \frac{\hbar\omega}{2k_B T} \quad (12.40)$$

přejde rovnice (12.39) na

$$-\frac{\partial \rho_U}{\partial \eta} = -\frac{\partial^2 \rho_U}{\partial \xi^2} + \xi^2 \rho_U , \quad \rho_U(\xi, \xi', 0) = \left( \frac{m\omega}{\hbar} \right)^{1/2} \delta(\xi - \xi') . \quad (12.41)$$

Pro velmi vysoké teploty, tj. pro  $\eta \rightarrow 0$  se bude matice hustoty blížit matici hustoty volné částice, tedy

$$\rho_U(\xi, \xi', \eta \rightarrow 0) \rightarrow \left( \frac{m\omega}{4\pi\hbar\eta} \right)^{1/2} \exp \left[ -\frac{(\xi - \xi')^2}{4\eta} \right] . \quad (12.42)$$

Budeme proto hledat řešení ve tvaru

$$\rho_U = \exp \left[ -a(\eta) \xi^2 - b(\eta) \xi - c(\eta) \right] . \quad (12.43)$$

Dosazení (12.43) do (12.41) vede na

$$\frac{da}{d\eta} \xi^2 + \frac{db}{d\eta} \xi + \frac{dc}{d\eta} = (1 - 4a^2) \xi^2 - 4ab\xi + 2a - b^2 . \quad (12.44)$$

Postupně dostáváme řešení rovnic pro funkce  $a(\eta)$ ,  $b(\eta)$ ,  $c(\eta)$ . Ukážeme jen řešení první z nich:

$$\frac{da}{1-4a^2} = d\eta \xrightarrow{a=y/2} \frac{dy}{1-y^2} = 2d\eta \rightarrow a = \frac{1}{2} \coth 2(\eta - \eta_0) . \quad (12.45)$$

Konstantu  $\eta_0$  musíme položit rovnu nule, abychom pro  $\eta \rightarrow 0$  dostali  $a(\eta) \rightarrow 1/(4\eta)$ .

Podobně snadno integrujeme zbývající dvě rovnice, při čemž konstanty určíme podle chování pro vysoké teploty. Druhá rovnice je

$$\frac{db}{b} = -2 \coth(2\eta) d\eta \rightarrow \ln b = -\ln[\sinh(2\eta)] + \ln A \rightarrow$$

$$b = \frac{A}{\sinh(2\eta)} . \quad (12.46)$$

Konečně této rovnici integrujeme přímo

$$c = \frac{1}{2} \ln[\sinh(2\eta)] + \frac{A^2}{2} \coth(2\eta) - \ln B , \quad (12.47)$$

takže

$$\rho_U = \frac{B}{(\sinh 2\eta)^{1/2}} \exp \left[ - \left( \frac{\xi^2}{2} \coth 2\eta + \frac{A\xi}{\sinh 2\eta} + \frac{A^2}{2} \coth 2\eta \right) \right] . \quad (12.48)$$

Pro  $\eta \rightarrow 0$  máme

$$\rho_U(\eta \rightarrow 0) \rightarrow \frac{B}{(2\eta)^{1/2}} \exp \left[ - \frac{\xi^2 + 2A\xi + A^2}{4\eta} \right] , \quad (12.49)$$

odkud srovnáním s (12.42)

$$A = \xi' , \quad B = \left( \frac{m\omega}{2\pi\hbar} \right)^{1/2} . \quad (12.50)$$

Matice hustoty pro harmonický oscilátor je tedy

$$\rho_U(x, x', \beta) = \left( \frac{m\omega}{2\pi\hbar \sinh \beta\hbar\omega} \right)^{1/2}$$

$$\exp \left\{ - \frac{m\omega}{2\hbar \sinh \beta\hbar\omega} \left[ (x^2 + x'^2) \cosh \beta\hbar\omega - 2xx' \right] \right\} . \quad (12.51)$$

Pro  $x' = x$  je

$$\rho_U(x, x, \beta) = \left( \frac{m\omega}{2\pi\hbar \sinh \beta\hbar\omega} \right)^{1/2} \exp \left[ - \frac{m\omega}{\hbar} x^2 \tanh \frac{\beta\hbar\omega}{2} \right] . \quad (12.52)$$

Můžeme ji také rozložit podle vlastních funkcí hamiltoniánu

$$\rho_U(x, x', \beta) = \left( \frac{m\omega}{\pi\hbar} \right)^{1/2} \exp \left\{ - \frac{m\omega}{2\hbar} (x^2 + x'^2) \right\}$$

$$\sum_{n=0}^{\infty} \frac{1}{2^n n!} \exp \left\{ -\beta\hbar\omega \left( n + \frac{1}{2} \right) \right\} H_n \left( \left( \frac{m\omega}{\hbar} \right)^{1/2} x \right) H_n \left( \left( \frac{m\omega}{\hbar} \right)^{1/2} x' \right) \quad (12.53)$$

a pro  $x' = x$

$$\rho_U(x, x, \beta) = \left( \frac{m\omega}{\pi\hbar} \right)^{1/2} \exp\left\{ -\frac{m\omega}{\hbar} x^2 \right\} \sum_{n=0}^{\infty} \frac{1}{2^n n!} \exp\left\{ -\beta\hbar\omega\left(n + \frac{1}{2}\right) \right\} \left[ H_n \left( \left( \frac{m\omega}{\hbar} \right)^{1/2} x \right) \right]^2 . \quad (12.54)$$

P irozen máme stejný výsledek pro volnou energii jak podle (12.54), tak podle (12.52)

$$\exp[-\beta F] = \int_{-\infty}^{\infty} \rho_U(x, x, \beta) dx = \frac{1}{2 \sinh\left(\beta \frac{\hbar\omega}{2}\right)} , \quad (12.55)$$

takže

$$F = \frac{1}{\beta} \ln \left( \exp\left[\beta \frac{\hbar\omega}{2}\right] - \exp\left[-\beta \frac{\hbar\omega}{2}\right] \right) = \frac{\hbar\omega}{2} + k_B T \ln \left( 1 - \exp\left[-\frac{\hbar\omega}{k_B T}\right] \right) . \quad (12.56)$$

Pro normovanou matici hustoty dostáváme z (12.51) a (12.55) výraz

$$\rho(x, x', T) = \left( \frac{m\omega}{\pi\hbar} \tanh \frac{\hbar\omega}{2k_B T} \right)^{1/2} \exp \left\{ -\frac{m\omega}{2\hbar \sinh \frac{\hbar\omega}{k_B T}} \left[ (x^2 + x'^2) \cosh \frac{\hbar\omega}{k_B T} - 2xx' \right] \right\} . \quad (12.57)$$

Limitní případy jsou

$$\rho(x, x', T) = \begin{cases} \left( \frac{m\omega}{\pi\hbar} \right)^{1/2} \exp\left[ -\frac{m\omega}{2\hbar} (x^2 + x'^2) \right] = \psi_0(x) \psi_0^*(x') & T \rightarrow 0 \\ \left( \frac{1}{\pi} \frac{m\omega^2}{2k_B T} \right)^{1/2} \exp\left[ -\frac{m\omega^2}{2k_B T} x^2 - \frac{(x-x')^2}{\lambda_T^2} \right] & T \rightarrow \infty \end{cases} . \quad (12.58)$$

Pro diagonální elementy máme

$$\rho(x, x, T) = \left( \frac{m\omega}{\pi\hbar} \tanh \frac{\hbar\omega}{2k_B T} \right)^{1/2} \exp\left\{ -\frac{m\omega}{\hbar} \tanh \frac{\hbar\omega}{2k_B T} x^2 \right\} \quad (12.59)$$

a

$$\rho(x, x, T) = \begin{cases} \left( \frac{m\omega}{\pi\hbar} \right)^{1/2} \exp\left[ -\frac{m\omega}{\hbar} x^2 \right] = |\psi_0(x)|^2 & T \rightarrow 0 \\ \left( \frac{1}{\pi} \frac{m\omega^2}{2k_B T} \right)^{1/2} \exp\left[ -\frac{m\omega^2}{2k_B T} x^2 \right] & T \rightarrow \infty \end{cases} . \quad (12.60)$$

## 12.6 Wignerova rozdlovací funkce

Klasicky máme pro rozdlovací funkci

$$\iint f(p, x) \frac{dx dp}{2\pi\hbar} = 1, \quad (12.61)$$

$$P(x) = \int f(p, x) \frac{dp}{2\pi\hbar}, \quad P(p) = \int f(p, x) \frac{dx}{2\pi\hbar}.$$

Wigner navrhl rozdlovací funkci ve tvaru

$$f_w(p, x) = \int \rho\left(x + \frac{y}{2}, x - \frac{y}{2}\right) \exp\left\{-\frac{i}{\hbar} p y\right\} dy. \quad (12.62)$$

Hustoty pravděpodobnosti nalezení souřadnice nebo impulsu v daném intervalu, vytvořené z Wignerovy funkce mají všechny požadované vlastnosti.

$$P_w(x) = \int f_w(p, x) \frac{dp}{2\pi\hbar} = \int \rho\left(x + \frac{y}{2}, x - \frac{y}{2}\right) \underbrace{\frac{1}{2\pi} \int \exp\left[-\frac{i}{\hbar} p y\right] \frac{dp}{\hbar}}_{\delta(y)} dy = \rho(x, x) \quad (12.63)$$

a pro hustotu pravděpodobnosti nalezení hybnosti v intervalu  $(p, p + dp)$

$$P_w(p) = \int f_w(p, x) \frac{dx}{2\pi\hbar} = \frac{1}{2\pi\hbar} \int \rho\left(x + \frac{y}{2}, x - \frac{y}{2}\right) \exp\left[-\frac{i}{\hbar} p y\right] dy dx = \frac{1}{2\pi\hbar} \int \rho(\xi, \xi') \exp\left[-\frac{i}{\hbar} (p\xi - p\xi')\right] d\xi d\xi' = \rho(p, p). \quad (12.64)$$

Samotná Wignerova rozdlovací funkce však může v některých oblastech fázového prostoru nabývat záporných hodnot. To není případ lineárního harmonického oscilátoru, kdy máme pro  $f_w(x, p)$  vždy nezáporný výraz

$$f_w(p, x) = \frac{1}{\pi\hbar} \tanh\frac{\beta\hbar\omega}{2} \exp\left[-\frac{m\omega}{\hbar} \tanh\frac{\beta\hbar\omega}{2} x^2\right] \exp\left[-\frac{1}{m\omega\hbar} \tanh\frac{\beta\hbar\omega}{2} p^2\right], \quad (12.65)$$

který pro malé hodnoty argumentu hyperbolické tangenty (vysoké teploty, nízké energie) přechází na klasické rozdlení

$$f_w(p, x) = \frac{\beta\omega}{2\pi} \exp\left\{-\frac{\beta m \omega^2 x^2}{2}\right\} \exp\left\{-\frac{\beta p^2}{2m}\right\}. \quad (12.66)$$

## 12.7 Polariza ní matice

Velmi jednoduchý p íklad matice hustoty tvo í polariza ní matice. Prove me p í azení rovinné elektromagnetické vlny a normovaného dvourozm rného vektoru

$$\vec{E} = (E_x \vec{e}_x + E_y \vec{e}_y) \exp\left\{i \frac{\omega}{c}(z - ct)\right\} \Rightarrow$$

$$|E\rangle = \begin{pmatrix} a \\ b \end{pmatrix} = a \begin{pmatrix} 1 \\ 0 \end{pmatrix} + b \begin{pmatrix} 0 \\ 1 \end{pmatrix}, \quad aa^* + bb^* = 1. \quad (12.67)$$

Matici hustoty pro tento ( ístý) stav vytvo íme standardním zp ísobem

$$\check{\rho} = |E\rangle\langle E| = \begin{pmatrix} aa^* & ab^* \\ ba^* & bb^* \end{pmatrix}. \quad (12.68)$$

Pro lineárn polarizovanou vlnu máme nap í.

$$\check{\rho}_x = \begin{pmatrix} 1 & 0 \\ 0 & 0 \end{pmatrix}, \quad \check{\rho}_y = \begin{pmatrix} 0 & 0 \\ 0 & 1 \end{pmatrix},$$

$$\check{\rho}_{\pi/4} = \begin{pmatrix} 1/2 & 1/2 \\ 1/2 & 1/2 \end{pmatrix}, \quad \check{\rho}_{3\pi/4} = \begin{pmatrix} 1/2 & -1/2 \\ -1/2 & 1/2 \end{pmatrix}. \quad (12.69)$$

Pro kruhov polarizované sv tlo máme

$$\check{\rho}_L = \begin{pmatrix} 1/2 & i/2 \\ -i/2 & 1/2 \end{pmatrix}, \quad \check{\rho}_R = \begin{pmatrix} 1/2 & -i/2 \\ i/2 & 1/2 \end{pmatrix}. \quad (12.70)$$

Pro nepolarizované sv tlo pak

$$\check{\rho}_n = \frac{1}{2}(\check{\rho}_x + \check{\rho}_y) = \frac{1}{2}(\check{\rho}_{\pi/4} + \check{\rho}_{3\pi/4}) = \frac{1}{2}(\check{\rho}_R + \check{\rho}_L) = \begin{pmatrix} 1/2 & 0 \\ 0 & 1/2 \end{pmatrix}. \quad (12.71)$$

Pro spinové stavové vektory ástic se spinem  $\frac{1}{2}$  máme

$$|+z\rangle \equiv |+\rangle = \begin{pmatrix} 1 \\ 0 \end{pmatrix}, \quad |-z\rangle \equiv |-\rangle = \begin{pmatrix} 0 \\ 1 \end{pmatrix},$$

$$|+x\rangle = \frac{1}{\sqrt{2}}[|+\rangle + |-\rangle] = \frac{1}{\sqrt{2}} \begin{pmatrix} 1 \\ 1 \end{pmatrix}, \quad |-x\rangle = \frac{1}{\sqrt{2}}[|+\rangle - |-\rangle] = \frac{1}{\sqrt{2}} \begin{pmatrix} 1 \\ -1 \end{pmatrix}, \quad (12.72)$$

$$|+y\rangle = \frac{1}{\sqrt{2}}[|+\rangle - i|-\rangle] = \frac{1}{\sqrt{2}} \begin{pmatrix} 1 \\ -i \end{pmatrix}, \quad |-y\rangle = \frac{1}{\sqrt{2}}[|+\rangle + i|-\rangle] = \frac{1}{\sqrt{2}} \begin{pmatrix} 1 \\ i \end{pmatrix}.$$

Pro polariza ní matice dostáváme

$$\check{\rho}_{+z} = \begin{pmatrix} 1 & 0 \\ 0 & 0 \end{pmatrix}, \quad \check{\rho}_{-z} = \begin{pmatrix} 0 & 0 \\ 0 & 1 \end{pmatrix}, \quad \check{\rho}_{+x} = \begin{pmatrix} 1/2 & 1/2 \\ 1/2 & 1/2 \end{pmatrix},$$

$$\check{\rho}_{-x} = \begin{pmatrix} 1/2 & -1/2 \\ -1/2 & 1/2 \end{pmatrix}, \quad \check{\rho}_{+y} = \begin{pmatrix} 1/2 & -i/2 \\ i/2 & 1/2 \end{pmatrix}, \quad \check{\rho}_{-y} = \begin{pmatrix} 1/2 & i/2 \\ -i/2 & 1/2 \end{pmatrix}. \quad (12.73)$$

Porovnáním (12.73) a (12.69) resp. (12.70) dostáváme analogie mezi polarizačními stavy fotonu a elektronu.

### 13. Viriálový teorém

#### 13.1 Eulerova věta o homogenních funkcích

Máme-li homogenní funkci  $N$  proměnných stupně  $k$ , tzn. platí

$$f(tx_1, tx_2, \dots, tx_N) = t^k f(x_1, x_2, \dots, x_N) \quad (13.1)$$

Eulerova věta říká, že součet součinů parciálních derivací homogenní funkce s odpovídajícími proměnnými je roven dané funkci násobené stupněm homogenity

$$\sum_{n=1}^N x_n \frac{\partial f(x_1, x_2, \dots, x_N)}{\partial x_n} = k f(x_1, x_2, \dots, x_N) \quad (13.2)$$

Důkaz provedeme pro  $N=2$ . Máme

$$\begin{aligned} f(u=tx, v=ty) = t^k f(x, y) &\stackrel{\frac{d}{dt}}{\Rightarrow} x f_u(u, v) + y f_v(u, v) = k t^{k-1} f(x, y) \\ &\stackrel{t=1}{\Rightarrow} x f_x(x, y) + y f_y(x, y) = k f(x, y) \end{aligned} \quad (13.3)$$

#### 13.2 Viriálová věta

Máme-li ohraničenou funkci  $f(t)$ , je střední hodnota její derivace rovna nule, nebo

$$\left\langle \frac{df}{dt} \right\rangle = \lim_{T \rightarrow \infty} \frac{1}{T} \int_0^T \frac{df(t)}{dt} dt = \lim_{T \rightarrow \infty} \frac{f(T) - f(0)}{T} = 0 \quad (13.4)$$

Počítáme tedy pro soustavu částic

$$0 = \left\langle \frac{d}{dt} \sum_a \vec{p}_a \cdot \vec{r}_a \right\rangle = \left\langle \sum_a \frac{d\vec{p}_a}{dt} \cdot \vec{r}_a \right\rangle + \left\langle \sum_a \vec{p}_a \cdot \frac{d\vec{r}_a}{dt} \right\rangle = \left\langle \sum_a \vec{F}_a \cdot \vec{r}_a \right\rangle + \left\langle \sum_a \vec{p}_a \cdot \frac{\partial K}{\partial \vec{p}_a} \right\rangle \quad (13.5)$$

Síla působící na částici je dána jednak vzájemnou interakcí částic, jednak vnějšími silami a tlakem

$$\begin{aligned} \left\langle \sum_a \vec{F}_a \cdot \vec{r}_a \right\rangle &= - \left\langle \sum_a \vec{r}_a \cdot \frac{\partial \Pi}{\partial \vec{r}_a} \right\rangle - P \oint_S \vec{r} \cdot d\vec{S} = - \left\langle \sum_a \vec{r}_a \cdot \frac{\partial \Pi}{\partial \vec{r}_a} \right\rangle - P \int_V \text{div} \vec{r} dV = \\ &= - \left\langle \sum_a \vec{r}_a \cdot \frac{\partial \Pi}{\partial \vec{r}_a} \right\rangle - 3PV \end{aligned} \quad (13.6)$$

Dosažením (13.6) do (13.5) dostáváme

$$\left\langle \sum_a \vec{p}_a \cdot \frac{\partial K}{\partial \vec{p}_a} \right\rangle - \left\langle \sum_a \vec{r}_a \cdot \frac{\partial \Pi}{\partial \vec{r}_a} \right\rangle - 3PV = 0 \quad (13.7)$$



Kinetická energie  $K$  je homogenní funkcí hybností stupně 2, potenciální energie  $\Pi$  a je homogenní funkcí souřadnic stupně  $n$ . Máme tak z (13.7)

$$2\langle K \rangle - n\langle \Pi \rangle - 3PV = 0 \quad . \quad (13.8)$$

Ke vztahu (13.8) přidáme zákon zachování energie

$$\langle K \rangle + \langle \Pi \rangle = U \quad . \quad (13.9)$$

Máme-li vzájemnou interakci částic zanedbat (tj.  $\langle \Pi \rangle \rightarrow 0$ ), dostáváme obecný vztah pro ideální nerelativistický plyn  $PV = (2/3)U$ .

## 14. Poruchová teorie

V tomto odstavci budeme pro jednoduchost zápisu vynechávat značení operátorů a také spodní index  $U$  u nenormované matice hustoty.

### 14.1 Poruchová teorie pro matici hustoty

Budeme-li v rovnici (12.31)

$$\frac{\partial \rho}{\partial \beta} = -H \rho \quad , \quad \rho(\beta=0) = 1 \quad (14.1)$$

za předpokladu, že můžeme hamiltonián rozdělit na část základní (šneporu-energie)  $H_0$  a malou poruchu  $H_1$ . Matice hustoty neporušené úlohy je řešením rovnice

$$\frac{\partial \rho_0}{\partial \beta} = -H_0 \rho_0 \quad . \quad (14.2)$$

Vliv poruchy by neměl být velký a tak vidíme, že změna  $\exp[\beta H_0] \rho$  s teplotou je opravdu malá oproti poruchovému členu hamiltoniánu

$$\begin{aligned} \frac{\partial}{\partial \beta} (\exp[\beta H_0] \rho) &= \exp[\beta H_0] H_0 \rho + \exp[\beta H_0] \frac{\partial \rho}{\partial \beta} = \\ \exp[\beta H_0] H_0 \rho + \exp[\beta H_0] H \rho &= -\exp[\beta H_0] H_1 \rho \quad . \end{aligned} \quad (14.3)$$

Integrací (14.3) v intervalu  $(0, \beta)$  dostáváme

$$\exp[\beta H_0] \rho(\beta) - 1 = - \int_0^\beta \exp[\beta' H_0] H_1 \rho(\beta') d\beta' \quad (14.4)$$

a po vynásobení obou stran rovnice zleva  $\exp[-\beta H_0]$

$$\rho(\beta) = \rho_0(\beta) - \int_0^\beta \rho_0(\beta - \beta') H_1 \rho(\beta') d\beta' \quad . \quad (14.5)$$

Rovnici (14.5) pak máme e-iterativní metodou

$$\rho_n(\beta) = \rho_0(\beta) - \int_0^\beta \rho_0(\beta - \beta') H_1 \rho_{n-1}(\beta') d\beta' \quad , \quad n=1,2,\dots \quad (14.6)$$

Máme tak

$$\begin{aligned} \rho(\beta) = & \rho_0(\beta) - \int_0^\beta \rho_0(\beta - \beta') H_1 \rho_0(\beta') d\beta' + \\ & \int_0^\beta \rho_0(\beta - \beta') H_1 \int_0^{\beta'} \rho_0(\beta' - \beta'') H_1 \rho_0(\beta'') d\beta'' d\beta' - \dots \end{aligned} \quad (14.7)$$

V souadnicové reprezentaci máme (napíšeme jen první aproximaci)

$$\begin{aligned} \rho(x, x', \beta) = & \langle x | \rho(\beta) | x' \rangle = \rho_0(x, x', \beta) - \\ & \int_0^\beta \langle x | \rho_0(\beta - \beta') \int |y\rangle dy \langle y | H_1 \int |y'\rangle dy' \langle y' | \rho_0(\beta') | x' \rangle d\beta' + \dots \end{aligned} \quad (14.8)$$

Ve (14.8) jsme vložili jednotkové operátory

$$\int |y\rangle dy \langle y| = \int |y'\rangle dy' \langle y'| = 1 \quad . \quad (14.9)$$

Dále předpokládáme, že porucha  $H_1$  představuje lokální interakci, tj.

$$\langle y | H_1 | y' \rangle = V(y) \delta(y - y') \quad . \quad (14.10)$$

Dosazení (14.10) do (14.8) dává

$$\rho(x, x', \beta) = \rho_0(x, x', \beta) - \int_0^\beta \int_{-\infty}^\beta \rho_0(x, y, \beta - \beta') V(y) \rho_0(y, x', \beta') d\beta' dy + \dots \quad (14.11)$$

## 14.2 Feynman v operátorovém pojetí

Máme-li spojitý poruchový potenciál volnou energii

$$\exp[-\beta F] = \text{Tr}\{\exp[-\beta H]\} \quad , \quad (14.12)$$

musíme nejprve najít jakým způsobem se rozplést operátory  $H_0$  a  $H_1$  ve výrazu pro matici hustoty  $\rho$ . Pro tento případ objevil Feynman zvláštní vhodný formalismus šoperátorového rozplétání. V poněkud matematicky upravené formě vypadá Feynman v formalismu následovně :

### 14.2.1 Základní pojmy

Máme prostor  $\mathfrak{C}$  spojitých komplexních funkcí na intervalu  $[0,1]$  a jeho zobrazení  $\mathfrak{M}$  do  $\mathbb{C}$  (přesněji zobrazení kartézských souřadnic z  $\mathfrak{C}$  zobrazení do  $\mathbb{C}$ )

$$\mathfrak{M}(f_1, f_2, \dots, f_k) = \int_0^1 f_1(t) d\mu_1(t) \int_0^1 f_2(t) d\mu_2(t) \dots \int_0^1 f_k(t) d\mu_k(t) \quad . \quad (14.13)$$

Zobecnění na operátory není triviální. Mějme tedy zobrazení  $\mathfrak{C}(\mathfrak{A})$  spojitých funkcí z  $[0,1]$  do algebry operátorů  $\mathfrak{A}$ . Pokud  $A_t \in \mathfrak{A}, B_t \in \mathfrak{A}$  pro každé  $t \in [0,1]$ , takhle  $A_t \in \mathfrak{C}(\mathfrak{A}), B_t \in \mathfrak{C}(\mathfrak{A})$ , má výraz

$$\int_0^1 A_t d\mu_1(t) \int_0^1 B_s d\mu_2(s) \quad (14.14)$$

smysl (pokud integrál existuje), avšak může být

$$\int_0^1 A_t d\mu_1(t) \int_0^1 B_s d\mu_2(s) \neq \int_0^1 B_s d\mu_2(s) \int_0^1 A_t d\mu_1(t) \quad . \quad (14.15)$$

Jsou-li míry  $\mu_1(t)$  a  $\mu_2(s)$  soustředěny do bodů  $t_0$  a  $s_0$ , máme ze (14.15)

$$A_{t_0} B_{s_0} \neq B_{s_0} A_{t_0} \quad , \quad AB - BA \neq 0 \quad . \quad (14.16)$$

Tady vidíme, že operátory mohou odpovídat konstantním funkcím, přesto je možno formalismus používat. Feynman zavádí operaci rozpletení operátorů, kterou budeme značit složenými závorkami (není to tedy v této kapitole znak antikomutátoru)

$$\{A_t B_s\} = \begin{cases} A_t B_s & \text{pro } t > s \\ B_s A_t & \text{pro } t < s \\ \frac{1}{2}(A_t B_s + B_s A_t) & \text{pro } t = s \end{cases} \quad . \quad (14.17)$$

Platí vždy

$$\{\mathfrak{e} + \mathfrak{e}'\} = \{\mathfrak{e}\} + \{\mathfrak{e}'\} \quad . \quad (14.18)$$

Pokud všechny operátory v  $\mathfrak{C}'$  působí libovolným z operátorů v  $\mathfrak{C}$ . Platí pak

$$\{\mathfrak{e} \mathfrak{e}'\} = \{\mathfrak{e}\} \{\mathfrak{e}'\} \quad . \quad (14.19)$$

Příklad:

$$\begin{aligned} \{\exp[A_0 + B_1]\} &= \left\{ I + (A_0 + B_1) + \frac{1}{2}(A_0 + B_1)^2 + \dots \right\} = \\ &= I + A_0 + B_1 + \frac{1}{2}A_0^2 + B_1 A_0 + \frac{1}{2}B_1^2 + \dots \quad , \end{aligned} \quad (14.20)$$

ale

$$\begin{aligned} \exp[A_0 + B_1] &= I + (A_0 + B_1) + \frac{1}{2}(A_0 + B_1)(A_0 + B_1) + \dots = \\ &= I + A_0 + B_1 + \frac{1}{2}(A_0^2 + B_1 A_0 + A_0 B_1 + B_1^2) + \dots \end{aligned} \quad (14.21)$$

### 14.2.2 Typické příklady pro $g(a,b)=a.b$

Operátoru  $A$  přidáme parametr odpovídající Lebesgueoví míře, operátoru  $B$  Diracovu míru soustředěnou v pravém krajním bodě, tedy

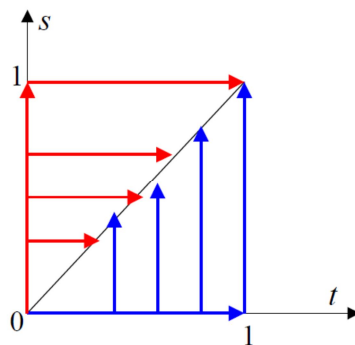
$$A = \int_0^1 A(t) dt, \quad B = \int_0^1 B(s) \delta(s-1) ds \Rightarrow \{AB\} = BA, \quad (14.22)$$

je-li naopak

$$A = \int_0^1 A(t) dt, \quad B = \int_0^1 B(s) \delta(s-0) ds \Rightarrow \{AB\} = AB. \quad (14.23)$$

Při standardním přizpůsobení si integrační oblast podle obrázku vhodně rozdělíme na dva trojúhelníky, takže máme

$$\begin{aligned} \{AB\} &= \left\{ \int_0^1 \int_0^1 dt ds A(t) B(s) \right\} = \int_0^1 dt A(t) \int_0^t ds B(s) + \int_0^1 ds B(s) \int_0^s dt A(t) = \\ &= AB \int_0^1 dt \int_0^t ds + BA \int_0^1 ds \int_0^s dt = \frac{1}{2}(AB + BA). \end{aligned} \quad (14.24)$$



Máme tak z jedné funkce příklady komutativních proměnných a také funkce nekomutativních proměnných a jistě se dají konstruovat další.

### 14.2.3 Vlastnosti operátorů

V tomto odstavci přebíráme postup z článku Miranker W.L., Weiss B.: The Feynman operator calculus, SIAM Review 8 (1966), 224–232. Podstatný výsledek pro exponenciální funkci operátorů je identický s výsledkem, získaným Feynmanem, ale v článku uváděná teorie je obecnější.

V ta: Pro  $A(t) \equiv A, B(t) \equiv B$  na intervalu  $0 \leq t \leq 1$  platí

$$\left\{ \left[ \int_0^1 A(t) dt \right]^k \left[ \int_0^1 B(t) dt \right]^l \right\} = \frac{k!l!}{(k+l)!} \sum_{\alpha_n, \beta_n=0,1} A^{\alpha_1} B^{\beta_1} A^{\alpha_2} B^{\beta_2} \dots, \quad (14.25)$$

kde  $A^{\alpha_1} B^{\beta_1} A^{\alpha_2} B^{\beta_2} \dots$  jsou všechny různé součiny s  $k$  operátory  $A$  a  $l$  operátory  $B$ , tedy

$$\sum_n \alpha_n = k, \quad \sum_n \beta_n = l. \quad (14.26)$$

Důkaz vychází z předchozího od integrálu

$$\left\{ \int_0^1 \dots \int_0^1 A(t_1) \dots A(t_k) B(s_1) \dots B(s_l) dt_1 \dots dt_k ds_1 \dots ds_l \right\} \quad (14.27)$$

který jsou tu integrály přes všechny permutace proměnných  $t_1, \dots, t_k, s_1, \dots, s_l$

$$\left\{ \sum_{\Pi} \int_{0 \leq \Pi(t_1) \leq \dots \leq \Pi(s_l) \leq 1} \dots \int C(\Pi(s_l)) \dots C(\Pi(t_1)) dt_1 \dots dt_k ds_1 \dots ds_l \right\}, \quad (14.28)$$

kde

$$C(\Pi(\cdot) = t_n) = A(t_n) \equiv A, \quad C(\Pi(\cdot) = s_n) = B(s_n) \equiv B. \quad (14.29)$$

Faktor  $(k+l)!$  je dán plochou (převodná tvercové oblasti o straně jednotkové délky) vytvořenou podmínkou  $0 \leq \Pi(t_1) \leq \dots \leq \Pi(s_l) \leq 1$ , která se liší jenom záměnou  $A$  je  $k!$ , obdobně která se liší jenom záměnou  $B$  je  $l!$  Máme tak například

$$\{A\} = A, \quad \{AB\} = \frac{1}{2}(AB + BA), \quad \{A^2 B\} = \frac{1}{3}(A^2 B + ABA + BA^2). \quad (14.30)$$

V ta: Jsou-li  $f, g,$  a analytické funkce splývající rovnicí

$$f(x+y) = g(\xi(x), \eta(y)) \quad (14.31)$$

a platí  $A(t) \equiv A, B(t) \equiv B$  na intervalu  $0 \leq t \leq 1$ , pak

$$\left\{ g \left( \xi \left( \int_0^1 A(t) dt \right), \eta \left( \int_0^1 B(t) dt \right) \right) \right\} = f(A+B). \quad (14.32)$$

Pro důkaz nejprve zapíšeme mocninné rozvoje

$$f(x+y) = \sum_{k=0}^{\infty} f_k(x+y)^k = \sum_{m=0}^{\infty} \sum_{n=0}^{\infty} f_{m+n} \binom{m+n}{n} x^m y^n, \quad (14.33)$$

$$g(\xi, \eta) = \sum_{\alpha, \beta} g_{\alpha\beta} \xi^\alpha \eta^\beta = \sum_{m=0}^{\infty} \sum_{n=0}^{\infty} \left( \sum_{\alpha, \beta} g_{\alpha\beta} \xi_m(\alpha) \eta_n(\beta) \right) x^m y^n.$$

Porovnáním koeficientů u stejných mocnin  $x^m y^n$  dostáváme  $f_{m+n}$  a tak můžeme psát

$$\begin{aligned}
& \left\{ g \left( \xi \left( \int_0^1 A(t) dt \right), \eta \left( \int_0^1 B(t) dt \right) \right) \right\} = \\
& \sum_{\alpha, \beta} g_{\alpha\beta} \left\{ \left[ \int_0^1 A(t) dt \right]^m \left[ \int_0^1 B(t) dt \right]^n \right\} \xi_m(\alpha) \eta_n(\beta) = \\
& \sum_{m=0}^{\infty} \sum_{n=0}^{\infty} \binom{m+n}{n} f_{m+n} \left\{ \left[ \int_0^1 A(t) dt \right]^m \left[ \int_0^1 B(t) dt \right]^n \right\} .
\end{aligned} \tag{14.34}$$

Podle již dokázaného můžeme výraz  $\{\cdot\}$  rozplést tak, že (14.34) je právě řada pro  $f(A+B)$ .

#### 14.2.4 Rozpletení exponenciální funkce součtu dvou operátorů

Ve statistické fyzice se jedná o aproximativní výraz pro

$$f = \exp[-\beta(H_0 + H_1)] . \tag{14.35}$$

Nejdříve sledkem v (14.32) je tedy pro nás (pro  $A(t) \equiv A, B(t) \equiv B$  na intervalu  $0 \leq t \leq 1$ )

$$\exp[A+B] = \left\{ \exp \left[ \int_0^1 A(t) dt \right] \exp \left[ \int_0^1 B(t) dt \right] \right\} . \tag{14.36}$$

Rozvoj druhé z exponenciálních funkcí vede na

$$\begin{aligned}
\exp[A+B] &= \exp[A] + \\
& \left\{ \exp \left[ \int_0^1 A(t) dt \right] \int_0^1 B(t) dt \right\} + \frac{1}{2!} \left\{ \exp \left[ \int_0^1 A(t) dt \right] \left( \int_0^1 B(t) dt \right)^2 \right\} + \dots .
\end{aligned} \tag{14.37}$$

Upravíme

$$\begin{aligned}
\left\{ \exp \left[ \int_0^1 A(t) dt \right] \int_0^1 B(t) dt \right\} &= \int_0^1 \exp \left[ \int_t^1 A(s) ds \right] B(t) \exp \left[ \int_0^t A(s) ds \right] dt = \\
& \int_0^1 \exp[(1-t)A] B \exp[tA] dt .
\end{aligned} \tag{14.38}$$

Označíme

$$S_0(t) = \exp[tA] , \quad S_1(t) = \int_0^t \exp[(1-s)A] B S_0(s) ds \tag{14.39}$$

a obecně

$$S_n(t) = \frac{1}{n!} \int_0^t \exp[(1-s)A] B S_{n-1}(s) ds . \tag{14.40}$$

Potom se (indukcí) můžeme říci, že můžeme zapsat (14.36) jako

$$\exp[A+B] = \sum_{n=0}^{\infty} S_n(t=1) \quad . \quad (14.41)$$

### 14.3 Nerovnost pro volnou energii (1)

Pro užití vztahu (14.41) pro výpočet volné energie je užitečné zvolit interval z  $[0,1]$  na  $[0, \beta]$  a zvolit operátory jako  $A = -H_0$ ,  $B = -H_1$ , takže budeme mít

$$\begin{aligned} \exp[-\beta(H_0 + H_1)] &= \exp[-\beta H_0] - \int_0^{\beta} du \exp[-(\beta-u)H_0] H_1 \exp[-u H_0] + \\ &\int_0^{\beta} du_1 \int_0^{u_1} du_2 \exp[-(\beta-u_1)H_0] H_1 \exp[-(u_1-u_2)H_0] H_1 \exp[-u_2 H_0] - \dots \quad . \end{aligned} \quad (14.42)$$

Při výpočtu budeme využívat vztahu  $\text{Tr}(O_1 O_2) = \text{Tr}(O_2 O_1)$ , který obecně v prostoru nekonečné dimenze neplatí. Spektrum operátoru  $\exp[-\beta H_0]$  však zaručuje platnost uvedené záměny. V prvním integrandu volíme  $O_2 = \exp[-u H_0]$ , ve druhém  $O_2 = \exp[-u_2 H_0]$ . Máme tedy

$$\begin{aligned} \exp[-\beta F] &= \\ \text{Tr}(\exp[-\beta(H_0 + H_1)]) &= \text{Tr}(\exp[-\beta H_0]) - \int_0^{\beta} du \text{Tr}(\exp[-\beta H_0] H_1) + \\ &\int_0^{\beta} du_1 \int_0^{u_1} du_2 \text{Tr}(\exp[-\beta H_0] \exp[(u_1-u_2)H_0] H_1 \exp[-(u_1-u_2)H_0] H_1) - \dots \quad . \end{aligned} \quad (14.43)$$

Substituce  $u_1 = v$ ,  $u_2 = v - w$  převede druhý integrál ve (14.43) na

$$\int_0^{\beta} dv \int_0^v dw \text{Tr}(\exp[-\beta H_0] \exp[w H_0] H_1 \exp[-w H_0] H_1) \quad , \quad (14.44)$$

substituce  $u_1 = \beta - v$ ,  $u_2 = w - v$  na

$$\begin{aligned} &\int_0^{\beta} dv \int_v^{\beta} dw \text{Tr}(\exp[-w H_0] H_1 \exp[-\beta H_0] \exp[w H_0] H_1) = \\ &\int_0^{\beta} dv \int_v^{\beta} dw \text{Tr}(\exp[-\beta H_0] \exp[w H_0] H_1 \exp[-w H_0] H_1) \quad . \end{aligned} \quad (14.45)$$

V poslední rovnosti jsme zaměnili pořadí operátorů ve stopě součinu s volbou  $O_1 = \exp[-w H_0] H_1$ . Vezmeme-li tedy průměrnou hodnotu (14.44) a (14.45), zbavíme se závislosti na proměnné  $v$  a dostáváme výraz

$$\begin{aligned} \exp[-\beta F] &= \exp[-\beta F_0] - \int_0^\beta du \operatorname{Tr}(\exp[-\beta H_0] H_1) + \\ &\frac{\beta}{2} \int_0^\beta du \operatorname{Tr}(\exp[-\beta H_0] \exp[u H_0] H_1 \exp[-u H_0] H_1) - \dots \end{aligned} \quad (14.46)$$

V dalším budeme psát  $H_1 = \xi V$ , tedy pro  $H(\xi) = H_0 + \xi V$  je  $H(0) = H_0$  a  $H(1) = H$ . Vlastní vektory a vlastní hodnoty operátoru  $H_0$  budeme značit  $|n\rangle$  a  $E_n$ . Pro stopy operátor ve (14.46) máme tak

$$\operatorname{Tr}(\exp[-\beta H_0] V) = \sum_n \langle n | \exp[-\beta H_0] V | n \rangle = \sum_n \exp[-\beta E_n] V_{nn} \quad (14.47)$$

a

$$\begin{aligned} \operatorname{Tr}(\exp[-\beta H_0] \exp[u H_0] V \exp[-u H_0] V) &= \\ \sum_n \sum_m \langle n | \exp[-\beta H_0] \exp[u H_0] V | m \rangle \langle m | \exp[-u H_0] V | n \rangle &= \\ \sum_{m,n} \exp[-\beta E_n] \exp[u(E_n - E_m)] V_{nm} V_{mn} \end{aligned} \quad (14.48)$$

Vztah (14.46) je te

$$\begin{aligned} \exp[-\beta F] &= \exp[-\beta F_0] - \xi \sum_n \beta V_{nn} \exp[-\beta E_n] + \\ \frac{\xi^2}{2} \sum_{m,n} \beta |V_{mn}|^2 \frac{\exp[-\beta E_m] - \exp[-\beta E_n]}{E_n - E_m} - \dots \end{aligned} \quad (14.49)$$

Volnou energii napíšeme také jako mocninný rozvoj

$$F = F_0 + \xi F_1 + \xi^2 F_2 + \dots, \quad (14.50)$$

takže

$$\exp[-\beta F] = \exp[-\beta F_0] \left( 1 - \xi \beta F_1 + \xi^2 \left( \frac{1}{2} \beta^2 F_1^2 - \beta F_2 \right) + \dots \right) \quad (14.51)$$

Porovnání (14.49) a (14.51) dává

$$F_1 = \exp[\beta F_0] \sum_n V_{nn} \exp[-\beta E_n] = \frac{\operatorname{Tr}(H_1 \exp[-\beta H_0])}{\operatorname{Tr}(\exp[-\beta H_0])} \quad (14.52)$$

a



$$F_2 = \frac{\beta}{2} \exp[2\beta F_0] \cdot \left( \left( \sum_n V_{nn} \exp[-\beta E_n] \right)^2 - \left( \sum_n |V_{nn}|^2 \exp[-\beta E_n] \right) \left( \sum_n \exp[-\beta E_n] \right) \right) - \frac{\beta}{2} \sum_{\substack{m,n \\ m \neq n}} |V_{mn}|^2 \frac{\exp[-\beta E_m] - \exp[-\beta E_n]}{E_n - E_m} . \quad (14.53)$$

Druhý len na pravej strane (14.53) je zjevný záporný, le nie je kladný i prvý len je vidieť z Cauchyho a Schwarzovy nerovnosti (pre skalárne součiny)

$$\left| \sum_n a_n b_n \right|^2 \leq \left( \sum_n |a_n|^2 \right) \left( \sum_n |b_n|^2 \right) , \quad (14.54)$$

zvolíme-li

$$a_n = V_{nn} \exp\left[-\frac{\beta}{2} E_n\right] , \quad b_n = \exp\left[-\frac{\beta}{2} E_n\right] . \quad (14.55)$$

Máme tedy pro koeficient  $F_2$  dokázáno, že  $F_2 < 0$ . Pokud chceme s jistotou ukázat, že platí

$$\frac{d^2 F(\xi)}{d\xi^2} < 0 \quad (14.56)$$

pro všechna  $\xi$  (tedy také pro  $\xi=1$ ), musíme postupně odkud zobecnit. Pro další výpočty popíšeme náš výsledek do tvaru

$$F \leq F_a , \quad (14.57)$$

kde

$$F_a = F_0 + \sum_n w_n V_{nn} - \frac{\beta}{2} \left( \left( \sum_n w_n |V_{nn}|^2 \right) - \left( \sum_n w_n V_{nn} \right)^2 \right) - \frac{1}{2} \sum_{\substack{m,n \\ m \neq n}} |V_{mn}|^2 \frac{w_m - w_n}{E_n - E_m} , \quad (14.58)$$

proč  $E_n$  jsou vlastní hodnoty operátoru  $H_0$  a

$$w_n = \frac{\exp[-\beta E_n]}{\sum_n \exp[-\beta E_n]} . \quad (14.59)$$

V první aproximaci je možno zápis nerovnosti zkrátit na

$$F \leq F_a , \quad F_a = F_0 + \langle H - H_0 \rangle_0 . \quad (14.60)$$

#### 14.4 Nerovnost pro volnou energii (2)

V tomto odstavci postupujeme podle kapitoly Minimální princip pro volnou energii v knize S.V. Tjablikov: Metody kvantové teorie magnetizma (Nauka, Moskva 1975).

V této Hamiltonián soustavy a je  $H = H_0 + H_1$ . Potom platí nerovnost

$$F \leq F_0 + \frac{\text{Tr}(H_1 \exp[-\beta H_0])}{\text{Tr}(\exp[-\beta H_0])} , \quad (14.61)$$

kde volné energie jsou

$$F = -\frac{1}{\beta} \ln(\text{Tr}(\exp[-\beta H])) , \quad F_0 = -\frac{1}{\beta} \ln(\text{Tr}(\exp[-\beta H_0])) . \quad (14.62)$$

Dokaz: Ať  $H$  je funkcí nějakého parametru  $\xi$ , tedy  $H = H(\xi)$ . Dále uvažujme veličinu  $\exp[H(\xi)t]$ , kde  $t$  je nějaký další parametr. Zřejmě platí

$$\frac{d}{dt} \exp[H(\xi)t] = H(\xi) \exp[H(\xi)t] . \quad (14.63)$$

Z (14.63) dostaneme

$$\begin{aligned} \frac{d}{dt} \left( \frac{d}{d\xi} \exp[H(\xi)t] \right) &= \frac{d}{d\xi} \left( \frac{d}{dt} \exp[H(\xi)t] \right) = \\ &= H(\xi) \frac{d}{d\xi} \exp[H(\xi)t] + \frac{dH(\xi)}{d\xi} \exp[H(\xi)t] , \quad (14.64) \\ \frac{d}{d\xi} \exp[H(\xi)t] \Big|_{t=0} &= 0 . \end{aligned}$$

Definujme dále

$$\frac{d}{d\xi} \exp[H(\xi)t] = \exp[H(\xi)t] U(t) , \quad (14.65)$$

takže máme

$$\frac{dU(t)}{dt} = \exp[-H(\xi)t] \frac{dH(\xi)}{d\xi} \exp[H(\xi)t] , \quad U(t) \Big|_{t=0} = 0 . \quad (14.66)$$

Z předchozích dvou vztahů dostáváme

$$\begin{aligned} \frac{d}{d\xi} \exp[H(\xi)] &= \exp[H(\xi)] U(1) = \\ &= \exp[H(\xi)] \int_0^1 \exp[-H(\xi)t] \frac{dH(\xi)}{d\xi} \exp[H(\xi)t] dt . \quad (14.67) \end{aligned}$$

Vezmeťme speciální případ  $H(\xi) = A + \xi B$  a položme stopu obou stran rovnice (14.67)

$$\begin{aligned} \text{Tr}\left(\frac{d}{d\xi}\exp[A+\xi B]\right) &= \frac{d}{d\xi}\text{Tr}(\exp[A+\xi B]) = \\ \text{Tr}\left(\exp[A+\xi B]\int_0^1 \exp[-(A+\xi B)t]B\exp[(A+\xi B)t]dt\right) &= \\ \text{Tr}(\exp[A+\xi B]B) \quad , \end{aligned} \quad (14.68)$$

takže

$$\begin{aligned} \frac{d}{d\xi}\text{Tr}(\exp[A+\xi B]) &= \text{Tr}(\exp[A+\xi B]B) \Rightarrow \\ \frac{d^2}{d\xi^2}\text{Tr}(\exp[A+\xi B]) &= \frac{d}{d\xi}\text{Tr}(\exp[A+\xi B]B) = \\ \text{Tr}\left(\exp[A+\xi B]\int_0^1 \exp[-(A+\xi B)t]B\exp[(A+\xi B)t]dt\right)B \quad . \end{aligned} \quad (14.69)$$

Stopu spoítáme pomocí vlastních vektorů operátoru  $H(\xi)=A+\xi B$

$$(A+\xi B)|n\rangle = \varepsilon_n|n\rangle \quad . \quad (14.70)$$

Máme

$$\begin{aligned} \frac{d^2}{d\xi^2}\text{Tr}(\exp[A+\xi B]) &= \\ \sum_n \sum_m \exp[\varepsilon_n] \int_0^1 \exp[-\varepsilon_n t]B_{nm} \exp[\varepsilon_m t]dt B_{mn} &= \\ \sum_{n,m} |B_{mn}|^2 \frac{\exp[\varepsilon_m] - \exp[\varepsilon_n]}{\varepsilon_m - \varepsilon_n} \geq 0 \quad . \end{aligned} \quad (14.71)$$

Platí

$$\begin{aligned} \frac{d^2 f}{d\xi^2} \geq 0 &\Rightarrow \int_0^\xi f''(t)dt = f'(\xi) - f'(0) \geq 0 \Rightarrow \\ \int_0^\xi (f'(t) - f'(0))dt &= f(\xi) - f(0) - f'(0)\xi \geq 0 \quad . \end{aligned} \quad (14.72)$$

Pro stopu operátorů plyne z (14.71)

$$\text{Tr}(\exp[A+\xi B]) \geq \text{Tr}(\exp[A]) + \text{Tr}(\exp[A]B) \quad . \quad (14.73)$$

Zvolíme nyní  $\xi=1$  a dále

$$A = -\beta H_0 \quad , \quad B = -\beta(H_1 - \bar{H}_1) \quad , \quad \bar{H}_1 = \frac{\text{Tr}(H_1 \exp[-\beta H_0])}{\text{Tr}(\exp[-\beta H_0])} \quad . \quad (14.74)$$

Po malé úpravě dostaneme

$$\text{Tr}(\exp[-\beta(H_0 + H_1)]) \geq \exp[-\beta \bar{H}_1] \text{Tr}(\exp[-\beta H_0]) \quad (14.75)$$

Po zlogaritmování a dosazení výraz pro volnou energii dostáváme vztah (14.61), který jsme m li dokázat.

## 15. P íklady použití poruchové teorie

### 15.1 Klasická aproximace

Vyjdeme ze vztah (14.58) a (14.59)

$$F_a = F_0 + \sum_n w_n V_{nn} - \frac{\beta}{2} \left( \left( \sum_n w_n |V_{nn}|^2 \right) - \left( \sum_n w_n V_{nn} \right)^2 \right) - \frac{1}{2} \sum_{\substack{m,n \\ m \neq n}} |V_{mn}|^2 \frac{w_m - w_n}{E_n - E_m}, \quad (15.1)$$

$$w_n = \frac{\exp[-\beta E_n]}{\sum_n \exp[-\beta E_n]}.$$

Pro vysoké teploty (malé hodnoty  $\beta$ ), kdy jsou rozdíly mezi energiovými hladinami malé ve srovnání s  $k_B T$ , m fme aproximovat

$$\frac{w_m - w_n}{E_n - E_m} = w_n \frac{\exp[\beta(E_n - E_m)] - 1}{E_n - E_m} \approx \beta w_n, \quad (15.2)$$

takf e dostáváme

$$F = F_0 + \sum_n w_n V_{nn} - \frac{\beta}{2} \left( \sum_n w_n \underbrace{\sum_m V_{nm} V_{mn}}_{(V^2)_{nn}} - \left( \sum_n w_n V_{nn} \right)^2 \right). \quad (15.3)$$

Zavedeme-li pro st ední hodnotu ozna ení

$$\langle f \rangle = \sum_n w_n f_n, \quad (15.4)$$

m fme (15.3) zapsat jako

$$F = F_0 + \langle V \rangle - \frac{1}{2k_B T} \langle (V - \langle V \rangle)^2 \rangle. \quad (15.5)$$

K tomuto výrazu dosp jeme klasickým výpo tem ( ářka u integrálu znamená, f e ekvivalentní oblasti fázového prostoru se berou jen jednou)

$$\exp\left[-\frac{F}{k_B T}\right] = \int' \exp\left[-\frac{E_0(p, q) + \xi V(p, q)}{k_B T}\right] d\Gamma \approx \int' \exp\left[-\frac{E_0(p, q)}{k_B T}\right] \left(1 - \xi \frac{V(p, q)}{k_B T} + \frac{1}{2} \xi^2 \left(\frac{V(p, q)}{k_B T}\right)^2\right) d\Gamma. \quad (15.6)$$

Volnou energii také napíšeme jako  $F \approx F_0 + \xi F_1 + \xi^2 F_2$ , výraz na levé straně je pak

$$\exp\left[-\frac{F}{k_B T}\right] \approx \exp\left[-\frac{F_0}{k_B T}\right] \left[1 - \xi \frac{F_1}{k_B T} + \xi^2 \left(\frac{1}{2} \left(\frac{F_1}{k_B T}\right)^2\right) - \frac{F_2}{k_B T}\right]. \quad (15.7)$$

Porovnáme koeficienty u mocnin  $\xi$  a dostáváme (položíme pak jako obvykle  $\xi=1$ )

$$F = F_0 + \int' \exp\left[\frac{F_0 - E_0(p, q)}{k_B T}\right] \left[ V(p, q) - \frac{(V(p, q))^2}{2k_B T} \right] d\Gamma + \frac{1}{2k_B T} \left( \int' \exp\left[\frac{F_0 - E_0(p, q)}{k_B T}\right] V(p, q) d\Gamma \right)^2, \quad (15.8)$$

kde

$$F_0 = -k_B T \ln \int' \exp\left[-\frac{E_0(p, q)}{k_B T}\right] d\Gamma. \quad (15.9)$$

Zavedením označení pro střední hodnotu

$$\langle f \rangle = \int' f(p, q) \exp\left[\frac{F_0 - E_0(p, q)}{k_B T}\right] d\Gamma \quad (15.10)$$

přejde (15.8) na (15.5).

## 15.2 Anharmonický oscilátor

Jestliže přibereme ve výrazu pro lineární oscilátor kubický člen v rozvoji potenciální energie, je vhodné uhloupodu předpokládat, že střední poloha není  $x=0$ , ale nějaký obecný bod  $x=a$ . Máme pak

$$H = H_0 + H_1, \quad (15.11)$$

kde

$$H_0 = \frac{p^2}{2m} + \frac{m\omega^2}{2}(x-a)^2, \quad H_1 = f x^3 + \frac{m\omega^2}{2} [x^2 - (x-a)^2]. \quad (15.12)$$

Přejdeme k nové souřadnici  $y = x - a$ , takže

$$H_0 = \frac{p^2}{2m} + \frac{m\omega^2}{2} y^2, \quad (15.13)$$

$$H_1(y) = f y^3 + 3f a y^2 + (3f a + m\omega^2) a y + \left( f a + \frac{m\omega^2}{2} \right) a^2.$$

Ze vztahu (12.52)

$$\rho_U(y, y, T) = \left( \frac{m\omega}{2\pi\hbar \sinh \frac{\hbar\omega}{k_B T}} \right)^{1/2} \exp \left[ -\frac{m\omega}{\hbar} y^2 \tanh \frac{\hbar\omega}{2k_B T} \right] \quad (15.14)$$

spočteme volnou energii

$$\exp \left[ \frac{F_0}{k_B T} \right] = \frac{1}{\int_{-\infty}^{\infty} \rho_U(x, x, T) dx} = 2 \sinh \frac{\hbar\omega}{2k_B T}, \quad (15.15)$$

takže pro normovanou matici hustoty máme

$$\rho(y, y, T) = \left( \frac{m\omega}{\pi\hbar} \tanh \frac{\hbar\omega}{k_B T} \right)^{1/2} \exp \left[ -\frac{m\omega}{\hbar} y^2 \tanh \frac{\hbar\omega}{2k_B T} \right]. \quad (15.16)$$

Liché mocniny  $y$  ve výrazu pro  $H_1(y)$  dají při výpočtu střední hodnoty nulový příspěvek, takže zůstává jen

$$\begin{aligned} \langle H_1 \rangle &= \left( f a + \frac{m\omega^2}{2} \right) a^2 \int_{-\infty}^{\infty} \rho(y, y, T) dy + 3 f a \int_{-\infty}^{\infty} y^2 \rho(y, y, T) dy = \\ &= \left( f a + \frac{m\omega^2}{2} \right) a^2 + \frac{3}{2} f a \frac{\hbar}{m\omega} \coth \frac{\hbar\omega}{2k_B T}. \end{aligned} \quad (15.17)$$

Zanedbáme člen  $f a^3$ , takže při minimalizaci  $\langle H_1 \rangle$  vzhledem k zatím volnému parametru  $a$  dostaneme

$$a = -\frac{3f}{2} \frac{\hbar}{m^2 \omega^3} \coth \frac{\hbar\omega}{2k_B T}. \quad (15.18)$$

Dosazení (15.18) do (15.17) dává (opět při zanedbání členu  $f a^3$ )

$$\langle H_1 \rangle = -\frac{1}{2} m \omega^2 a^2 = -\frac{9}{8} f^2 \frac{\hbar^2}{m^3 \omega^4} \left( \coth \frac{\hbar\omega}{2k_B T} \right)^2 \quad (15.19)$$

a tedy

$$F \approx k_B T \ln \left( 2 \sinh \frac{\hbar\omega}{2k_B T} \right) - \frac{9}{8} f^2 \frac{\hbar^2}{m^3 \omega^4} \left( \coth \frac{\hbar\omega}{2k_B T} \right)^2. \quad (15.20)$$

### 15.3 Pohyb v ohraničené oblasti (jednorozměrný problém)

V tomto případě je

$$H = H_0 + H_1 = \frac{p^2}{2m} + V(x), \quad (15.21)$$

kde

$$H_0 = \frac{p^2}{2m} + \frac{m\omega^2}{2}(x-a)^2, \quad H_1 = V(x) - \frac{m\omega^2}{2}(x-a)^2. \quad (15.22)$$

Máme v principu minimalizovat  $\langle H_1 \rangle$

$$\langle H_1 \rangle = \left( \frac{m\omega}{\pi\hbar} \tanh \frac{\hbar\omega}{k_B T} \right)^{1/2} \int_{-\infty}^{\infty} \exp \left[ -\frac{m\omega}{\hbar} y^2 \tanh \frac{\hbar\omega}{2k_B T} \right] \left\{ V(y+a) - \frac{m\omega^2}{2} y^2 \right\} dy \quad (15.23)$$

vzhledem k parametr  $m$  a  $a$ , tj. získat rovnice

$$\frac{\partial \langle H_1 \rangle}{\partial a} = 0, \quad \frac{\partial \langle H_1 \rangle}{\partial \omega} = 0 \quad (15.24)$$

a řešení je vzhledem k této parametr  $m$ . Pro jiný velmi speciální tvar potenciálu je to úloha určená k numerickému řešení.

#### 15.4 Viriálový teorém po druhé

Budeme uvažovat o změnách souvisejících s infinitesimální změnou lineárních rozměrů

$$L \rightarrow L + \varepsilon L. \quad (15.25)$$

Předtím připomeneme, že platí

$$P = - \left. \frac{\partial F}{\partial V} \right|_T = - \left. \frac{\partial F}{\partial L} \frac{dL}{dV} \right|_T = - \frac{1}{3V^{2/3}} \left. \frac{\partial F}{\partial L} \right|_T \Rightarrow 3PV = -L \left. \frac{\partial F}{\partial L} \right|_T. \quad (15.26)$$

Máme

$$F_{L(1+\varepsilon)} \approx F_L + \left\langle H_{L(1+\varepsilon)} - H_L \right\rangle_{H_L}. \quad (15.27)$$

Hamiltonián nerelativistických částic, jejichž interakce je binární a závisí pouze na vzdálenosti dané dvojice je

$$H_L = \sum_a \frac{p_a^2}{2m_a} + \sum_{\substack{a,b \\ a < b}} V(r_{ab}). \quad (15.28)$$

Potom

$$H_{L(1+\varepsilon)} = \sum_a \frac{p_a^2}{2m_a(1+\varepsilon)^2} + \sum_{\substack{a,b \\ a < b}} V((1+\varepsilon)r_{ab}) \approx$$

$$H_L + \varepsilon \left\{ -2 \sum_a \frac{p_a^2}{2m_a} + \sum_{\substack{a,b \\ a < b}} r_{ab} V'(r_{ab}) \right\}, \quad (15.29)$$

a tedy

$$\frac{1}{\varepsilon} \langle H_{L(1+\varepsilon)} - H_L \rangle_{H_L} = -2 \left\langle \sum_a \frac{p_a^2}{2m_a} \right\rangle + \left\langle \sum_{\substack{a,b \\ a < b}} r_{ab} V'(r_{ab}) \right\rangle . \quad (15.30)$$

Upravujeme

$$L \frac{\partial F}{\partial L} \approx L \frac{F_{L(1+\varepsilon)} - F_L}{L\varepsilon} = \frac{\langle H_{L(1+\varepsilon)} - H_L \rangle_{H_L}}{\varepsilon} . \quad (15.31)$$

Vztahy (15.26) a (15.30) dosazeny do (15.31) dávají viriálový teorém

$$3PV = 2 \left\langle \sum_a \frac{p_a^2}{2m_a} \right\rangle - \left\langle \sum_{\substack{a,b \\ a < b}} r_{ab} V'(r_{ab}) \right\rangle . \quad (15.32)$$

## 15.5 Invariance volné energie

Pokud je hamiltonián pozm n n n jakou infinitezimální transformací charakterizovanou parametrem  $\varepsilon$

$$H \rightarrow H(\varepsilon) \quad (15.33)$$

a volná energie se p itom nezmn í

$$F = F(\varepsilon) , \quad (15.34)$$

dostáváme vztah

$$\langle H(\varepsilon) - H \rangle_H = 0 \Rightarrow \left\langle \left. \frac{\partial H(\varepsilon)}{\partial \varepsilon} \right|_{\varepsilon=0} \right\rangle = 0 . \quad (15.35)$$

V p ípad se zm nou kály sou adnic a hamiltoniánem (15.28) je podmínkou konstantní volné energie nezávislost  $F$  na objemu (tedy  $P=0$ ). Dostáváme tak

$$-2 \left\langle \sum_a \frac{p_a^2}{2m_a} \right\rangle + \left\langle \sum_{\substack{a,b \\ a < b}} r_{ab} V'(r_{ab}) \right\rangle = 0 . \quad (15.36)$$

## 16. Nerovnováhný ideální plyn

### 16.1 Základní pojmy

Každý makroskopický stav ideálního plynu budeme charakterizovat následujícím zp sobem. Rozd líme v-echny možné kvantové stavy do t íd blízkých stav ó každá t ída obsahuje p edev-ím stavy s velmi blízkou energií. T ídy o íslujeme pomocí index  $j=1,2,\dots$

Po et stav v každé t íd ozna íme jako  $G_j$ , po et ástic v této t íd jako  $N_j$ . Stav soustavy



je tedy plyn charakterizován souborem čísel  $\{N_j\}$ . Předpokládáme pirozen, že  $G_j$ , ale také  $N_j$  jsou velká čísla.

Entropie soustavy je úměrná statistické váze daného makrostavu, tedy počet způsobů, kterými lze tento stav realizovat. Jednotlivé typy považujeme za nezávislé podsoustavy, máme tedy pro statistickou váhu celé soustavy

$$\Delta\Gamma = \prod_j \Delta\Gamma_j \quad (16.1)$$

## 16.2 Klasický plyn

Základním předpokladem pro klasickou soustavu je, že obsazení kvantových hladin je velmi řídké, tj.  $\bar{n}_j = N_j/G_j \ll 1$  (přitom ale předpokládáme, že  $N_j$  je dostatečně velké). Můžeme tak předpokládat, že se částice umísťují na hladiny nezávisle jedna na druhé (malá pravděpodobnost, že se špotkají na určité hladině). Potom jde o pravděpodobnost obsazení každou z  $N_j$  částic jednoho z  $G_j$  stavů variací s opakováním, ale podlenou počtem permutací  $N_j$  částic (částice jsou stejné)

$$\Delta\Gamma_j = \frac{G_j^{N_j}}{N_j!} \quad (16.2)$$

Pro entropii tak máme

$$S = k_B \ln\Delta\Gamma = k_B \sum_j \ln\Delta\Gamma_j = k_B \sum_j (N_j \ln G_j - \ln(N_j!)) \quad (16.3)$$

Po aproximaci

$$\ln(N!) \approx N \ln \frac{N}{e} \quad (16.4)$$

dostáváme pro entropii výraz

$$S = k_B \sum_j N_j \ln \frac{e G_j}{N_j} \quad (16.5)$$

Vztah (16.5) přepíšeme pomocí obsazovacích čísel na

$$S = k_B \sum_j G_j \bar{n}_j \ln \frac{e}{\bar{n}_j} \quad (16.6)$$

Ve stavu statistické rovnováhy nabývá entropie maximální hodnoty. Zapišme-li doplňující podmínky

$$\sum_j N_j = \sum_j G_j \bar{n}_j = N \quad , \quad \sum_j \varepsilon_j N_j = \sum_j \varepsilon_j G_j \bar{n}_j = U \quad , \quad (16.7)$$

hledáme extrém metodou Lagrangeových multiplikátorů

$$\frac{\partial}{\partial \bar{n}_k} (S + \alpha N + \beta U) = 0 \quad . \quad (16.8)$$

Derivování dává

$$G_k (-k_B \ln \bar{n}_k + \alpha + \beta \varepsilon_k) = 0 \quad , \quad (16.9)$$

odkud pro obsazovací čísla

$$\bar{n}_k = \exp \left[ \frac{1}{k_B} (\alpha + \beta \varepsilon_k) \right] \quad . \quad (16.10)$$

Konstanty určíme z termodynamického vztahu, kdy p i konstantním objemu je

$$dU = T dS + \mu dN \quad , \quad (16.11)$$

takže

$$\alpha = \frac{\mu}{T} \quad , \quad \beta = -\frac{1}{T} \quad (16.12)$$

a dostáváme skutečnou Boltzmannovu rozdělení

$$\bar{n}_k = \exp \left[ \frac{\mu - \varepsilon_k}{k_B T} \right] \quad . \quad (16.13)$$

Poznámka: P i kvasiklasické situaci je

$$G_j = \frac{\Delta p_{(j)} \Delta q_{(j)}}{(2\pi\hbar)^s} = \Delta \tau_{(j)} \quad , \quad N_j = n(p_{(j)}, q_{(j)}) \Delta \tau_{(j)} \quad , \quad (16.14)$$

kde s je počet stupňů volnosti. P ejdeme pak od sumace k integraci a pro entropii dostáváme vztah

$$S = k_B \int n \ln \frac{e}{n} d\tau \quad . \quad (16.15)$$

### 16.3 Fermiho plyn

V každém kvantovém stavu může být jen jedna částice, ale celkov je mnoho  $N_j$  stále velmi velké číslo, stejného řádu jako  $G_j$ . Vzhledem k vlastnostem fermion je statistická váha pro tyto kombinace bez opakování, takže máme

$$\Delta \Gamma_j = \frac{G_j!}{(G_j - N_j)! N_j!} \quad . \quad (16.16)$$

Entropie je (včetně faktoriálů aproximujeme vztahem (16.4))

$$S = k_B \sum_j \left\{ G_j \ln G_j - N_j \ln N_j - (G_j - N_j) \ln (G_j - N_j) \right\} \quad (16.17)$$

nebo popsáno pomocí obsazovacích čísel

$$S = -k_B \sum_j G_j \left\{ \bar{n}_j \ln \bar{n}_j + (1 - \bar{n}_j) \ln(1 - \bar{n}_j) \right\} . \quad (16.18)$$

Přidáním doplnujících podmínek (16.7) a nalezením maximální hodnoty entropie dostaneme pro rovnovážný stav Fermi-Diracovo rozdělení

$$\bar{n}_k = \frac{\exp\left[\frac{\alpha + \beta \varepsilon_k}{k_B}\right]}{\exp\left[\frac{\alpha + \beta \varepsilon_k}{k_B}\right] + 1} \quad (16.19)$$

neboli po dosazení ze (16.12)

$$\bar{n}_k = \frac{1}{\exp\left[\frac{\varepsilon_k - \mu}{k_B T}\right] + 1} . \quad (16.20)$$

V jaké limit přejdeme od statistické váhy (16.16) ke klasické, dané vztahem (7.15)? Potřebné úpravy jsou

$$\begin{aligned} (G_j - N_j)! &\approx (G_j - N_j) \ln \frac{G_j - N_j}{e} = \\ G_j \ln \frac{G_j}{e} - N_j \ln G_j + N_j + (G_j - N_j) \ln \left(1 - \frac{N_j}{G_j}\right) &\approx G_j! G_j^{-N_j} , \end{aligned} \quad (16.21)$$

kde zanedbáváme zbytek

$$N_j \ln G_j + N_j + (G_j - N_j) \ln \left(1 - \frac{N_j}{G_j}\right) \approx \frac{N_j^2}{2G_j} . \quad (16.22)$$

#### 16.4 Boseho plyn

Na rozdíl od fermionů může být každý kvantový stav obsazen libovolným počtem bosonů. Statistická váha je daná počtem kombinací s opakováním. Standardní představa o výpočtu uvažuje rozmístění  $N_j$  kuliček do  $G_j$  přihrádek. Jde tedy o počet možných uspořádání souboru  $G_j - 1 + N_j$  hranic mezi přihrádkami a kuličkami a to je  $(G_j - 1 + N_j)!$ . Pak je třeba nezapomenout identická uspořádání (hranice jsou stejné, kuličky jsou stejné). Statistická váha je tedy

$$\Delta \Gamma_j = \frac{(G_j + N_j - 1)!}{(G_j - 1)! N_j!} . \quad (16.23)$$

Při výpočtu entropie kromě přibližného vyjádření logaritmu faktoriálu velkých čísel podle (16.4) zanedbáme také jedničku oproti  $G_j$  a dostáváme

$$S = k_B \sum_j \left\{ (G_j + N_j) \ln(G_j + N_j) - N_j \ln N_j - G_j \ln G_j \right\} \quad (16.24)$$

nebo p epsáno pomocí obsazovacích ísel

$$S = k_B \sum_j G_j \left\{ (1 + \bar{n}_j) \ln(1 + \bar{n}_j) - \bar{n}_j \ln \bar{n}_j \right\} \quad (16.25)$$

P idáním dopl ujících podmínek (16.7) a nalezením maximální hodnoty entropie dostaneme pro rovnovážný stav Bose ó Einsteinovo rozd lení

$$\bar{n}_k = \frac{\exp\left[\frac{\alpha + \beta \varepsilon_k}{k_B}\right]}{1 - \exp\left[\frac{\alpha + \beta \varepsilon_k}{k_B}\right]} \quad (16.26)$$

neboli po dosazení ze (16.12)

$$\bar{n}_k = \frac{1}{\exp\left[\frac{\varepsilon_k - \mu}{k_B T}\right] - 1} \quad (16.27)$$

Pro p echod od statistické váhy (16.23) ke klasické hodnot (7.15) upravujeme

$$\begin{aligned} (G_j + N_j - 1)! &\approx (G_j - 1 + N_j) \ln \frac{G_j - 1 + N_j}{e} = \\ (G_j - 1) \ln \frac{G_j - 1}{e} + N_j \ln(G_j - 1) - N_j + (G_j - 1 + N_j) \ln \left(1 + \frac{N_j}{G_j - 1}\right) &\approx G_j! G_j^{N_j} \end{aligned} \quad (16.28)$$

kde zanedbáváme (je vhodné zaznamenávat každý krok aproximací, i když vypadá zcela triviálně)

$$(G_j - 1 + N_j) \ln \left(1 + \frac{N_j}{G_j - 1}\right) - N_j \approx -\frac{N_j^2}{2G_j} \quad (16.29)$$

U boson mohou nastávat situace, kdy počet částic je mnohem větší než počet hladin  $\bar{n}_k \gg 1$ , tedy situace odpovídá ke klasické statistice. V takovém případě upravujeme

$$\begin{aligned} (G_j + N_j - 1)! &\approx (G_j - 1 + N_j) \ln \frac{G_j - 1 + N_j}{e} = \\ N_j \ln \frac{N_j}{e} + (G_j - 1) \ln N_j - (G_j - 1) + (G_j - 1 + N_j) \ln \left(1 + \frac{G_j - 1}{N_j}\right) &\approx N_j! N_j^{G_j - 1} \end{aligned} \quad (16.30)$$

a statistická váha je pak

$$\Delta \Gamma_j = \frac{N_j^{G_j - 1}}{(G_j - 1)!} \quad (16.31)$$

Entropie takového stavu je (opět zanedbáváme jedničku oproti  $G_j$ )

$$S = k_B \sum_j G_j \ln \frac{e N_j}{G_j} . \quad (16.32)$$

## 17. Fluktuační

### 17.1 Gaussovo rozdělení

Entropie jako funkce energií podsoustav určuje hustotu pravděpodobnosti výskytu těchto energií ve výrazu  $\exp[S/k_B]$ . Jestliže energie závisí na nějakém parametru  $x$ , můžeme proto pravděpodobnost, že parametr  $x$  leží v intervalu  $(x, x + dx)$  zapsat jako

$$w(x)dx \quad , \quad w(x) = \text{konst.} \exp \left[ \frac{S(x)}{k_B} \right] . \quad (17.1)$$

Tento vztah poprvé uvedl Einstein (Theorie der Opaleszenz von homogenen Flüssigkeiten und Flüssigkeitgemischen in der Nähe des kritischen Zustandes, Annalen der Physik 33 (1910), 1275–1298). Úvahy, které vedly ke vztahu (17.1) jsou zcela v rámci klasické fyziky. Uveďme tedy nejprve podmínky toho, aby kvantové fluktuační byly zanedbatelné s fluktuačními termodynamickými. Kvantová neurčitost  $\Delta E$  stanovení energie při změně veličiny  $x$  s přesností  $\Delta x$  musí být alespoň

$$\Delta E \Delta x \sim \hbar \dot{x} \sim \hbar \frac{x}{\tau} \quad , \quad (17.2)$$

kde  $\tau$  je doba charakterizující rychlost, s jakou se mění veličina  $x$  s hodnotami mimo statistickou rovnováhu. Tato doba může být blízká relaxační době, ale také perioda jakýchsivybuzených vln. Příkladně pořadujeme  $\Delta x \ll x$ , odkud

$$\Delta E \gg \frac{\hbar}{\tau} . \quad (17.3)$$

S touto neurčitostí energie je spojena neurčitost entropie

$$\frac{\Delta S}{k_B} \gg \frac{\hbar}{\tau k_B T} . \quad (17.4)$$

Pro platnost klasického vztahu (17.1) je nutné, aby kvantová neurčitost entropie byla malá ve srovnání s Boltzmannovou konstantou, tedy musí platit

$$\tau \gg \frac{\hbar}{k_B T} . \quad (17.5)$$

Vztah (17.5) je hledanou podmínkou pro to, aby termodynamické fluktuace p evafovaly nad kvantovými. Je vid t, fle p i p íli–nízkyh teplotáh nebo p íli–rychlých zm nách sledované veli iny tato podmínka nebude spln na.

P edpokládejme vhodnou volbu po átku ode ítání veli iny  $x$ , tj. p edpokládejme  $\langle x \rangle = 0$ .

Entropie  $S(x)$  má maximum v  $x = \langle x \rangle = 0$  (rovnováfný stav), proto máme

$$\left. \frac{\partial S}{\partial x} \right|_{x=0} = 0, \quad \left. \frac{\partial^2 S}{\partial x^2} \right|_{x=0} < 0, \quad (17.6)$$

odkud

$$\frac{S(x)}{k_B} \approx \frac{S(0)}{k_B} - \frac{\beta}{2} x^2, \quad \beta > 0 \quad (17.7)$$

a

$$w(x) dx = \left( \frac{\beta}{2\pi} \right)^{1/2} \exp \left[ -\frac{\beta}{2} x^2 \right] dx. \quad (17.8)$$

Normovací konstanta je zvolena z p edpokladu  $-\infty < x < \infty$ . Vztah (17.7) jsme sice odvodili pro malé hodnoty  $|x|$ , ale vzhledem k rychlému poklesu Gaussovy k ivky se roz-í ením intervalu nedopou-tíme znatelné chyby. St ední hodnota druhé mocniny fluktuace je

$$\langle x^2 \rangle = \int_{-\infty}^{\infty} x^2 w(x) dx = \frac{1}{\beta}, \quad (17.9)$$

takfle m fleme vztah (17.8) psát také jako

$$w(x) dx = \frac{1}{(2\pi \langle x^2 \rangle)^{1/2}} \exp \left[ -\frac{x^2}{2 \langle x^2 \rangle} \right] dx. \quad (17.10)$$

Pro hladkou funkci  $f(x)$  s od nuly r znou první derivací v  $x=0$  dostáváme

$$\langle (\Delta f)^2 \rangle = \langle (f - \langle f \rangle)^2 \rangle = \left( \left. \frac{\partial f}{\partial x} \right|_{x=0} \right)^2 \langle x^2 \rangle. \quad (17.11)$$

## 17.2 Gaussovo rozd lení pro n kolik prom nných

Pokud je entropie funkcí  $n$  parametr  $S(x_1, \dots, x_n)$ , je rozvoj v okolí rovnováfného stavu

$$\frac{S}{k_B} = \frac{S_0}{k_B} - \frac{1}{2} \beta_{ik} x_i x_k, \quad \beta_{ik} = \beta_{ki}. \quad (17.12)$$

Přizpůsobíme sítací konvence ó p es opakující se indexy se sítá od 1 do  $n$ . Hustota pravd podobnosti  $w$  je nyní dána vztahem

$$w = A \exp\left[-\frac{1}{2} \beta_{ik} x_i x_k\right] , \quad \int \dots \int w dx_1 \dots dx_n = 1 \quad . \quad (17.13)$$

Transformace  $x_i = a_{ik} x'_k$  bude diagonalizovat kvadratickou formu, pokud

$$\beta_{ik} a_{ir} a_{ks} = \delta_{rs} \quad \Rightarrow \quad \beta_{ik} x_i x_k = \delta_{rs} x'_r x'_s \quad . \quad (17.14)$$

Z maticového vyjádění dostaneme pro determinanty

$$\beta a^2 = 1 \quad \Rightarrow \quad (\det a)^2 = \det \beta \quad . \quad (17.15)$$

Víme, že  $|\det a|$  je Jakobián transformace, takže máme

$$A |\det a| \left( \int_{-\infty}^{\infty} \exp\left[-\frac{1}{2} x^2\right] dx \right)^n = \frac{A (2\pi)^{n/2}}{(\det \beta)^{1/2}} = 1 \quad . \quad (17.16)$$

Pro hustotu pravd podobnosti  $w$  tak máme

$$w = \frac{(\det \beta)^{1/2}}{(2\pi)^{n/2}} \exp\left[-\frac{1}{2} \beta_{ik} x_i x_k\right] \quad . \quad (17.17)$$

Zavedeme veli iny  $X_i$  termodynamicky sdrufené k  $x_i$  vztahem

$$X_i = -\frac{1}{k_B} \frac{\partial S}{\partial x_i} = \beta_{ik} x_k \quad . \quad (17.18)$$

Vzhledem k lineární závislosti v (17.18) platí i inverzní vztah ó je-li  $S$  vyjád ena pomocí  $X_i$ , máme

$$x_i = -\frac{1}{k_B} \frac{\partial S}{\partial X_i} , \quad \frac{S}{k_B} = \frac{S_0}{k_B} - \frac{1}{2} (\beta^{-1})_{ik} X_i X_k \quad . \quad (17.19)$$

St ední hodnotu sou inu  $x_i X_k$  spo teme pomocí integrace per partes

$$\langle x_i X_k \rangle = \frac{(\det \beta)^{1/2}}{(2\pi)^{1/2}} \int \dots \int x_i \left( -\frac{\partial}{\partial x_k} \exp\left[-\frac{1}{2} \beta_{ik} x_i x_k\right] \right) dx_1 \dots dx_n = \delta_{ik} \quad . \quad (17.20)$$

Vynásobením matice st edních hodnot  $\langle x_i X_k \rangle$  maticí  $\beta^{-1}$  nebo maticí  $\beta$  dostáváme další vztahy, takže celkov m fíeme psát

$$\langle x_i X_k \rangle = \delta_{ik} , \quad \langle X_i X_k \rangle = \beta_{ik} , \quad \langle x_i x_k \rangle = (\beta^{-1})_{ik} \quad . \quad (17.21)$$

Platí-li pro  $n$  které dva parametry (označíme je  $x_1$  a  $x_2$ )  $\langle x_1 x_2 \rangle = 0$ , pak jsou fluktuace těchto parametrů statisticky nezávislé. Integrujeme-li hustotu pravděpodobnosti přes všechny zbývající proměnné, zůstane pouze

$$w_{12} = \text{konst.} \exp \left[ -\frac{1}{2} \beta'_{11} x_1^2 - \beta'_{12} x_1 x_2 - \frac{1}{2} \beta'_{22} x_2^2 \right] . \quad (17.22)$$

Z (17.21) máme

$$\langle x_1 x_2 \rangle = 0 \Rightarrow (\beta'^{-1})_{12} = 0 \Rightarrow \beta'_{12} = 0 . \quad (17.23)$$

Poslední implikace plyne z  $(\beta'^{-1})_{12} = -\beta'_{12} / \det \beta'$ . Rozpadá se tedy (17.22) na součin dvou nezávislých Gaussových rozdělení. Tvzení v opačném směru je triviální: jsou-li parametry nezávislé, je  $\langle x_1 x_2 \rangle = \langle x_1 \rangle \langle x_2 \rangle$  a protože máme všechny stejné hodnoty parametrů volbou počátku rovny nule, je  $\langle x_1 x_2 \rangle = 0$ .

### 17.3 Fluktuace termodynamických veličin

Odvodíme nejprve potencionální výraz pro minimální práci  $R_{\min}^{(e)}$ , kterou vykoná vnější objekt nad tělesem. Uvažujme soustavu (těleso) uzavřenou v rozsáhlém vnějším prostředí, jehož teplota  $T_0$  a tlak  $P_0$  se liší od teploty  $T$  a tlaku  $P$  tělesa. Těleso může vykonávat práci nad nějakým objektem, který je tepelně izolován jak od studovaného tělesa, tak od vnějšího prostředí. Všechny tyto podsystemy (těleso, objekt, vnější prostředí) tvoří dohromady uzavřenou soustavu. Vnější prostředí má tak velký objem a energii, že změna těchto veličin způsobená změnami tělesa nevede k pozorovatelným změnám tlaku a teploty prostředí, takže je můžeme považovat za konstantní.

Pokud by vnější prostředí neexistovalo, byla by práce konaná tělesem nad objektem jednoznačně dána změnou energie tělesa mezi počátečním a koncovým stavem. Existence prostředí dává jiný výsledek: nejednoznačným a vzniká opět otázka o maximální hodnotě práce, kterou může těleso vykonat při dané změně stavu. Pokud při přechodu z jednoho stavu do druhého koná těleso práci nad vnějším objektem, potom při opačném přechodu musí konat práci vnější objekt nad tělesem. Najdeme-li tedy při přechodu mezi dvěma stavy tělesa maximální hodnotu práce  $R_{\max}$ , je to zároveň hodnota minimální práce  $R_{\min}^{(e)}$ , kterou při opačném přechodu vykoná vnější objekt nad tělesem.

V průběhu přechodu si těleso může vyměňovat teplo i práci s vnějším prostředím. Při změně stavu se tedy celková změna energie tělesa skládá ze tří částí: z práce konané nad tělesem vnějším objektem  $R^{(e)}$ , z práce konané prostředím a tepla získaného z prostředí. Jak



jsme již uvedli, velké rozměry prostředí umožní považovat jeho tlak a teplotu za konstantní, je tedy práce konaná vnějším prostředím nad tělesem rovna  $P_0 \Delta V_0$  a předané množství tepla  $-T_0 \Delta S_0$ . Indexy nula patří veličinám charakterizujícím vnějším prostředím. Máme tedy

$$\Delta U = R^{(e)} + P_0 \Delta V_0 - T_0 \Delta S_0 \quad .$$

(Na levé straně je změna vnitřní energie tělesa, ale na pravé straně jsou práce a teplo vnějším zdrojem, proto opačná znaménka oproti konvenci první větě). Ze zachování celkového objemu a zákona rostoucí entropie máme

$$\Delta V + \Delta V_0 = 0 \quad , \quad \Delta S + \Delta S_0 \geq 0 \quad .$$

Dosažením dostáváme nerovnost

$$R^{(e)} \geq \Delta U - T_0 \Delta S + P_0 \Delta V \quad . \quad (17.24)$$

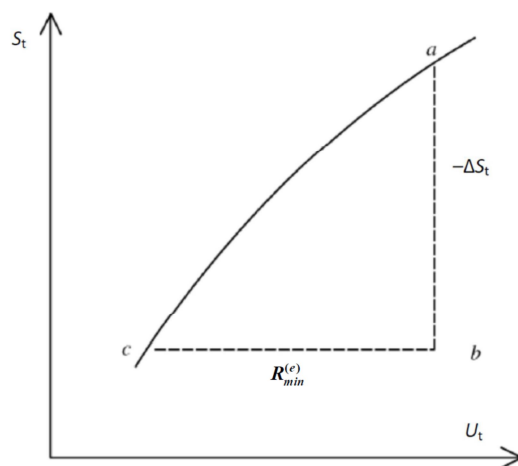
Rovnost je dosažena při vratném ději, oproti docházíme k závěru, že plynem je realizován s minimální vynaloženou prací (a opačný plynem s maximální vykonanou prací), je-li děj vratný. Máme

$$R_{\min}^{(e)} = \Delta(U - T_0 S + P_0 V) \quad . \quad (17.25)$$

Minimální práci lze také interpretovat následujícím způsobem. Označme  $S_t$  celkovou entropii soustavy těleso plus prostředí a  $U_t$  celkovou energii. Pokud jsou těleso a prostředí v rovnováze, platí

$$S_t = S_t(U_t) \quad .$$

Nejsou-li v rovnováze, je celková entropie soustavy (při dané hodnotě celkové energie) menší o  $-\Delta S_t$  (přirozeně  $\Delta S_t < 0$ ). Na obrázku tomu odpovídá úsečka  $ab$ . Horizontální úsečka



$cb$  odpovídá změně energie při vratném ději o plynem od stavu těleso v rovnováze s prostředím do stavu, odpovídajícího bodu  $b$ . Ukázali jsme, že při vratném ději je práce

potřebná k tomuto účelu minimální. Pokud uvažujeme jen o malých odchylkách od rovnováhy, můžeme podle obrázku psát

$$-\Delta S_t = \frac{dS_t(U_t)}{dU_t} R_{\min}^{(e)}$$

a protože  $dS_t/dU_t = 1/T_0$ , máme nakonec

$$\Delta S_t = -\frac{R_{\min}}{T_0} = -\frac{1}{T_0}(\Delta U - T_0 \Delta S + P_0 \Delta V) \quad (17.26)$$

Vrátíme se teď k fluktuacím. Hustotu pravděpodobnosti napíšeme pomocí změny entropie celé uzavřené soustavy

$$w \sim \exp\left[\frac{\Delta S_t}{k_B}\right] = \exp\left[-\frac{R_{\min}^{(e)}}{k_B T}\right], \quad (17.27)$$

a  $R_{\min}$  je práce vykonaná nad malou zkoumanou částí celku, podrobenou fluktuaci

$$R_{\min}^{(e)} = \Delta U - T \Delta S + P \Delta V, \quad (17.28)$$

kde  $\Delta U$ ,  $\Delta S$  a  $\Delta V$  jsou změny energie, entropie a objemu zkoumané malé části,  $T$  a  $P$  jsou teplota a tlak celé soustavy. Popíšeme je teď (17.27) na

$$w \sim \exp\left[-\frac{\Delta U - T \Delta S + P \Delta V}{k_B T}\right]. \quad (17.29)$$

Rozvineme-li v  $R_{\min}$  výraz  $\Delta U$  do Taylorova rozvoje, máme

$$\begin{aligned} \Delta U = & \frac{\partial U}{\partial S} \Delta S + \frac{\partial U}{\partial V} \Delta V + \frac{1}{2} \left[ \frac{\partial^2 U}{\partial S^2} (\Delta S)^2 + 2 \frac{\partial^2 U}{\partial S \partial V} \Delta S \Delta V + \frac{\partial^2 U}{\partial V^2} (\Delta V)^2 \right] = \\ & T \Delta S - P \Delta V + \frac{1}{2} \left[ \frac{\partial^2 U}{\partial S^2} (\Delta S)^2 + 2 \frac{\partial^2 U}{\partial S \partial V} \Delta S \Delta V + \frac{\partial^2 U}{\partial V^2} (\Delta V)^2 \right]. \end{aligned} \quad (17.30)$$

Ve výrazu pro  $R_{\min}$  se tak lineární členy vyruší a zůstávají jen kvadratické, které můžeme na

$$R_{\min}^{(e)} = \frac{1}{2} \left[ \Delta S \Delta \left( \frac{\partial U}{\partial S} \Big|_V \right) + \Delta V \Delta \left( \frac{\partial U}{\partial V} \Big|_S \right) \right] = \frac{1}{2} (\Delta S \Delta T - \Delta V \Delta P). \quad (17.31)$$

Výsledný výraz pro hustotu pravděpodobnosti je

$$w \sim \exp\left[\frac{\Delta P \Delta V - \Delta T \Delta S}{2 k_B T}\right]. \quad (17.32)$$

Příklad 1: Entropie a tlak jako funkce teploty a objemu. Je

$$\begin{aligned}\Delta S &= \left. \frac{\partial S}{\partial T} \right|_V \Delta T + \left. \frac{\partial S}{\partial V} \right|_T \Delta V = \frac{C_V}{T} \Delta T + \left. \frac{\partial P}{\partial T} \right|_V \Delta V \quad , \\ \Delta P &= \left. \frac{\partial P}{\partial T} \right|_V \Delta T + \left. \frac{\partial P}{\partial V} \right|_T \Delta V \quad .\end{aligned}\tag{17.33}$$

P i úprav jsme vyuffili

$$dF = -S dT - P dV \Rightarrow \frac{\partial S}{\partial V} = -\frac{\partial^2 F}{\partial V \partial T} \quad , \quad \frac{\partial P}{\partial T} = -\frac{\partial^2 F}{\partial T \partial V} \quad .\tag{17.34}$$

Dosazení (17.33) do (17.32) dává

$$w \sim \exp \left[ -\frac{C_V}{2k_B T^2} (\Delta T)^2 + \frac{1}{2k_B T} \left. \frac{\partial P}{\partial V} \right|_T (\Delta V)^2 \right] \quad .\tag{17.35}$$

Z obecného výrazu (17.21) pak plyne

$$\langle \Delta T \Delta V \rangle = 0 \quad , \quad \langle (\Delta T)^2 \rangle = \frac{k_B T^2}{C_V} \quad , \quad \langle (\Delta V)^2 \rangle = -k_B T \left. \frac{\partial V}{\partial P} \right|_T \quad .\tag{17.36}$$

Z termodynamických nerovností máme p irozen  $C_V > 0$  a  $\partial V / \partial P|_T < 0$ .

P íklad 2: Objem a teplota jako funkce entropie a tlaku. Je

$$\begin{aligned}\Delta V &= \left. \frac{\partial V}{\partial S} \right|_P \Delta S + \left. \frac{\partial V}{\partial P} \right|_S \Delta P = \left. \frac{\partial T}{\partial P} \right|_S \Delta S + \left. \frac{\partial V}{\partial P} \right|_S \Delta P \quad , \\ \Delta T &= \left. \frac{\partial T}{\partial S} \right|_P \Delta S + \left. \frac{\partial T}{\partial P} \right|_S \Delta P = \frac{T}{C_P} \Delta S + \left. \frac{\partial T}{\partial P} \right|_S \Delta P \quad .\end{aligned}\tag{17.37}$$

P i úprav jsme vyuffili

$$dW = T dS + V dP \Rightarrow \frac{\partial V}{\partial S} = -\frac{\partial^2 W}{\partial S \partial P} \quad , \quad \frac{\partial T}{\partial P} = \frac{\partial^2 W}{\partial P \partial S} \quad .\tag{17.38}$$

Dosazení (17.33) do (17.32) dává

$$w \sim \exp \left[ -\frac{1}{2k_B C_P} (\Delta S)^2 + \frac{1}{2k_B T} \left. \frac{\partial V}{\partial P} \right|_S (\Delta P)^2 \right] \quad .\tag{17.39}$$

Z obecného výrazu (17.21) pak plyne

$$\langle \Delta S \Delta P \rangle = 0 \quad , \quad \langle (\Delta S)^2 \rangle = k_B C_P \quad , \quad \langle (\Delta P)^2 \rangle = -k_B T \left. \frac{\partial P}{\partial V} \right|_S \quad .\tag{17.40}$$

Z termodynamických nerovností máme  $C_P > 0$  a  $\partial P / \partial V|_S < 0$ .

P íklad 3. Energie jako funkce teploty a objemu. Je

$$\Delta U = \left. \frac{\partial U}{\partial T} \right|_V \Delta T + \left. \frac{\partial U}{\partial V} \right|_T \Delta V = C_V \Delta T + \left[ T \left. \frac{\partial P}{\partial T} \right|_V - P \right] \Delta V \quad .\tag{17.41}$$

Př úpravě v (17.41) jsme použili termodynamických vztah

$$dU = T dS - P dV = \underbrace{T \frac{\partial S}{\partial T}}_{C_V} dT + \left( T \frac{\partial S}{\partial V} - P \right) dV \quad (17.42)$$

a

$$\frac{\partial S}{\partial V} = \frac{\partial}{\partial V} \left( - \frac{\partial F}{\partial T} \right) = \frac{\partial}{\partial T} \left( - \frac{\partial F}{\partial V} \right) = \frac{\partial P}{\partial T} . \quad (17.43)$$

Z (17.41) vypočteme  $\langle (\Delta U)^2 \rangle$  a po dosazení za  $\langle \Delta T \Delta V \rangle$ ,  $\langle (\Delta T)^2 \rangle$  a  $\langle (\Delta V)^2 \rangle$  z (17.36) dostáváme

$$\langle (\Delta U)^2 \rangle = -k_B T \left( T \frac{\partial P}{\partial T} - P \right)^2 \frac{\partial V}{\partial P} + C_V k_B T^2 . \quad (17.44)$$

Příklad 4. Fluktuace odklonu od vertikální polohy matematického kyvadla. Je to jeden z mnoha případů, kdy nesledujeme fluktuaci termodynamických veličin, ale nějakých parametrů soustavy, jejichž pomocí je vyjádřena minimální práce. Pro matematické kyvadlo (se standardním značením veličin) máme

$$R_{\min}^{(e)} = \frac{1}{2} m g l \varphi^2 . \quad (17.45)$$

Použijeme-li (17.27) pro tento případ na

$$w \sim \exp \left[ - \frac{R_{\min}^{(e)}}{k_B T} \right] = \exp \left[ - \frac{\varphi^2}{2 \langle \varphi^2 \rangle} \right] , \quad (17.46)$$

dostáváme

$$\langle \varphi^2 \rangle = \frac{k_B T}{m g l} . \quad (17.47)$$

## 17.4 Fluktuace počtu částic

Ze vztahu (17.36) dostaneme podílením druhou mocninou počtu částic

$$\left\langle \left( \Delta \frac{V}{N} \right)^2 \right\rangle = - \frac{k_B T}{N^2} \frac{\partial V}{\partial P} . \quad (17.48)$$

Na levé straně tak máme fluktuaci objemu připadajícího na jednu částici. Je potom možné tuto fluktuaci připsat nikoliv malé změně objemu při pevně daném počtu částic, ale malé změně počtu částic při pevně daném objemu, tedy

$$\Delta \frac{V}{N} = V \Delta \frac{1}{N} = - \frac{V}{N^2} \Delta N . \quad (17.49)$$

Dosazení (17.49) do (17.48) dává

$$\langle (\Delta N)^2 \rangle = - \frac{k_B T N^2}{V^2} \frac{\partial V}{\partial P} \Big|_T . \quad (17.50)$$

Například se stavovou rovnicí ideálního plynu máme

$$\frac{\partial V}{\partial P} \Big|_T = - \frac{N k_B T}{P^2} = - \frac{V^2}{N k_B T} \quad (17.51)$$

a tedy

$$\langle (\Delta N)^2 \rangle = N . \quad (17.52)$$

Ve vztahu (17.50) upravíme pravou stranu

$$- \frac{N^2}{V^2} \frac{\partial V}{\partial P} \Big|_T = N \frac{\partial}{\partial P} \left( \frac{N}{V} \right) \Big|_{T,N} . \quad (17.53)$$

Protože  $N/V = f(P, T)$ , je jedno, derivujeme-li tuto funkci p i konstantním  $N$  nebo  $V$ , můžeme dále upravovat

$$N \frac{\partial}{\partial P} \left( \frac{N}{V} \right) \Big|_{T,N} = \frac{N}{V} \frac{\partial N}{\partial P} \Big|_{T,V} = \frac{\partial N}{\partial P} \Big|_{T,V} \frac{\partial P}{\partial \mu} \Big|_{T,V} = \frac{\partial N}{\partial \mu} \Big|_{T,V} . \quad (17.54)$$

Při úpravě jsme využili vztah pro termodynamický potenciál

$$-d\Omega = P dV + V dP = S dT + N d\mu \Rightarrow \frac{N}{V} = \frac{\partial P}{\partial \mu} \Big|_{T,V} . \quad (17.55)$$

Máme tak místo (17.50) vztah

$$\langle (\Delta N)^2 \rangle = k_B T \frac{\partial N}{\partial \mu} \Big|_{T,V} . \quad (17.56)$$

Považujeme-li za zkoumanou podsoustavu částice na  $k$  té kvantové hladině, máme z předchozího vztahu

$$\langle (\Delta n_k)^2 \rangle = k_B T \frac{\partial \bar{n}_k}{\partial \mu} \Big|_{T,V} . \quad (17.57)$$

Pro Boltzmannův, Fermiho a Boseho plyn máme postupně

$$\bar{n}_k = \exp \left[ \frac{\mu - \varepsilon_k}{k_B T} \right] \Rightarrow k_B T \frac{\partial \bar{n}_k}{\partial \mu} = \bar{n}_k \Rightarrow \langle (\Delta n_k)^2 \rangle = \bar{n}_k , \quad (17.58)$$

$$\bar{n}_k = \frac{1}{\exp \left[ \frac{\varepsilon_k - \mu}{k_B T} \right] + 1} \Rightarrow k_B T \frac{\partial \bar{n}_k}{\partial \mu} = \bar{n}_k (1 - \bar{n}_k) \Rightarrow \langle (\Delta n_k)^2 \rangle = \bar{n}_k (1 - \bar{n}_k) , \quad (17.59)$$

a

$$\bar{n}_k = \frac{1}{\exp\left[\frac{\varepsilon_k - \mu}{k_B T}\right] - 1} \Rightarrow k_B T \frac{\partial \bar{n}_k}{\partial \mu} = \bar{n}_k (1 + \bar{n}_k) \Rightarrow \langle (\Delta n_k)^2 \rangle = \bar{n}_k (1 + \bar{n}_k) \quad . \quad (17.60)$$

Vytvoříme skupiny částic tak, že do nich začleníme částice, které obsazují kvantové hladiny s blízkými hodnotami energie  $\varepsilon_k \approx \varepsilon^{(j)}$ . Počet takových hladin označme  $G^{(j)}$ , takže střední počet částic ve skupině bude  $\bar{N}^{(j)} = G^{(j)} \bar{n}^{(j)} = G^{(j)} \sum \bar{n}_k$ . Vzhledem ke statistické nezávislosti fluktuací obsazení jednotlivých hladin máme

$$\langle \Delta n_{k_1} \Delta n_{k_2} \rangle = 0 \Rightarrow \langle (\Delta N^{(j)})^2 \rangle = \langle (\Delta \sum n_k)^2 \rangle = \langle \sum (\Delta n_k)^2 \rangle \quad . \quad (17.61)$$

Pro Boltzmannovo, Fermi-Diracovo a Bose-Einsteinovo rozdělení tedy platí

$$\langle (\Delta N^{(j)})^2 \rangle = \begin{cases} \bar{N}^{(j)} \\ \bar{N}^{(j)} \left(1 - \frac{\bar{N}^{(j)}}{G^{(j)}}\right) \\ \bar{N}^{(j)} \left(1 + \frac{\bar{N}^{(j)}}{G^{(j)}}\right) \end{cases} \quad . \quad (17.62)$$

Při aplikaci na záření černého tělesa považujeme za jednotlivé skupiny souhrn kvantových stavů fotonu v objemu  $V$  s frekvencemi v intervalu  $(\omega, \omega + \Delta\omega)$  a horní index  $(j)$  píšeme skupině budeme vynechávat a tj. počet stavů bude

$$G = V \frac{\omega^2}{\pi^2 c^3} \Delta\omega \quad . \quad (17.63)$$

Místo početů fotonů budeme popisovat odpovídající energii  $U_{\Delta\omega} = N \hbar \omega$ , takže z tohoto výrazu v (17.62) dostáváme

$$\langle (\Delta U_{\Delta\omega})^2 \rangle = \hbar \omega U_{\Delta\omega} + \frac{\pi^2 c^3 (U_{\Delta\omega})^2}{V \omega^2 \Delta\omega} \quad . \quad (17.64)$$

Tento vztah poprvé spočítal Einstein (Zum gegenwärtigen Stand des Strahlungsproblems, Physikalische Zeitschrift 10 (1909), 185 a 193) z výrazu (v našem značení)

$$w \sim \exp\left[-\frac{1}{2k_B} \frac{d^2 S}{dU_{\Delta\omega}^2} \Big|_{U_{\Delta\omega}=0} (\Delta U_{\Delta\omega})^2\right] \quad , \quad (17.65)$$

přičemž entropii vzal z Planckova vzorce pro záření černého tělesa.

### 17.5 Poisson v vzorec

Pro malé fluktuace a plyn blízký klasickému je fluktuace počtu částic v daném objemu plynu dána vztahem (17.52), takže pro pravděpodobnost nalezení počtu částic v intervalu  $(N, N + \Delta N)$  můžeme psát

$$w(N)dN = \frac{1}{(2\pi\bar{N})^{1/2}} \exp\left[-\frac{(N-\bar{N})^2}{2\bar{N}}\right] dN \quad (17.66)$$

Bude-li však objem  $V$  velmi malý, může být i počet částic v něm malý a pak je potřeba počítat pravděpodobnost jinak. Celkový objem a počet částic označme  $V_0$  a  $N_0$ . Předpokládáme homogenní rozložení částic v celém objemu  $V_0$ . Pravděpodobnost, že se  $N$  částic nachází a  $N_0 - N$  částic nenachází v objemu  $V$  je  $(V/V_0)^N (1 - V/V_0)^{N_0 - N}$ . Počet takových stavů je dán počtem kombinací bez opakování, takže celkem dostáváme

$$w_N = \binom{N_0}{N} \left(\frac{V}{V_0}\right)^N \left(1 - \frac{V}{V_0}\right)^{N_0 - N} \quad (17.67)$$

O správném normování se snadno přesvědčíme

$$\sum_{N=0}^{N_0} w_N = \left(1 - \frac{V}{V_0} + \frac{V}{V_0}\right)^{N_0} = 1 \quad (17.68)$$

Nyní pro  $V \ll V_0 \Rightarrow N \ll N_0$  vezmeme v (17.67) přibližně

$$\ln(N_0!) \doteq N_0 \ln \frac{N_0}{e} \doteq (N_0 - N) \ln \frac{N_0 - N}{e} + N \ln N_0 \doteq (N_0 - N)! N_0^N \quad (17.69)$$

a v exponentu položíme  $N_0 - N \doteq N$ . S označením středního počtu částic v objemu  $V$   $\bar{N} = (V/V_0)N_0$  dostává vztah (17.67) s těmito aproximacemi tvar

$$w_N \doteq \frac{\bar{N}^N}{N!} \left(1 - \frac{\bar{N}}{N_0}\right)^{N_0} \quad (17.70)$$

Provedené aproximace porušily normování, ale provedeme-li ještě poslední aproximaci

$$\lim_{n \rightarrow \infty} \left(1 - \frac{x}{n}\right)^n = \exp[-x] \Rightarrow \left(1 - \frac{\bar{N}}{N_0}\right)^{N_0} \doteq \exp[-\bar{N}] \quad (17.71)$$

dostáváme Poissonův vzorec se správným normováním na jedničku

$$w_N = \frac{\bar{N}^N}{N!} \exp[-\bar{N}] \quad (17.72)$$

Z Poissonova vzorce můžeme odvodit Gaussovo rozdělení (17.66) za předpoklad

$$\bar{N} \gg 1, \quad |\delta| = \frac{|N - \bar{N}|}{\bar{N}} \ll 1. \quad (17.73)$$

Pro  $N!$  použijeme přesně j-í Stirlingovu aproximaci

$$N! \doteq (2\pi N)^{1/2} N^N \exp[-N] \quad (17.74)$$

a máme tak

$$w_N \doteq \frac{\exp[-\bar{N}(1+\delta)\ln(1+\delta) + \bar{N}\delta]}{(2\pi\bar{N}(1+\delta))^{1/2}}. \quad (17.75)$$

Ve jmenovateli položíme  $\delta=0$ , v exponentu ponecháme v rozvoji členy do druhého řádu v  $\delta$  a dostáváme požadované Gaussovo rozdělení (17.66).

## 18. Soustava s konečným počtem energetických hladin

### 18.1 Stavová suma a odvozené veličiny pro dvě hladiny

Máme soustavu  $N$  vzájemně neinteragujících částic, každá z nich musí obsazovat jednu ze dvou energetických hladin  $\varepsilon_1$  nebo  $\varepsilon_2$ . Označíme-li počet částic na hladině  $\varepsilon_2$  jako  $n$ , je na hladině  $\varepsilon_1$   $N-n$  částic. Počet kombinací pro takový stav s energií  $E_n = (N-n)\varepsilon_1 + n\varepsilon_2$  je

$$\frac{N!}{(N-n)!n!}, \quad (18.1)$$

takže stavová suma je ( $E_n = N\varepsilon_1 + n\Delta\varepsilon$ , kde  $\Delta\varepsilon = \varepsilon_2 - \varepsilon_1$ )

$$Z = \exp\left[-N\frac{\varepsilon_1}{k_B T}\right] \sum_{n=0}^N \frac{N!}{(N-n)!n!} \exp\left[-\frac{n\Delta\varepsilon}{k_B T}\right] = \exp\left[-N\frac{\varepsilon_1}{k_B T}\right] \left(1 + \exp\left[-\frac{\Delta\varepsilon}{k_B T}\right]\right)^N \quad (18.2)$$

a pravděpodobnost nalezení stavu s energií  $E_n$  je

$$w_n = \left(1 + \exp\left[-\frac{\Delta\varepsilon}{k_B T}\right]\right)^{-N} \frac{N!}{(N-n)!n!} \exp\left[-\frac{n\Delta\varepsilon}{k_B T}\right]. \quad (18.3)$$

Volnou energii spočteme podle vztahu

$$F = -k_B T \ln Z = N\varepsilon_1 - Nk_B T \ln\left(1 + \exp\left[-\frac{\Delta\varepsilon}{k_B T}\right]\right). \quad (18.4)$$

Entropie je



$$S = -\frac{\partial F}{\partial T} = k_B \left( \ln Z + T \frac{\partial \ln Z}{\partial T} \right) =$$

$$N k_B \left\{ \ln \left( 1 + \exp \left[ -\frac{\Delta \varepsilon}{k_B T} \right] \right) + \frac{\Delta \varepsilon}{k_B T} \frac{\exp \left[ -\frac{\Delta \varepsilon}{k_B T} \right]}{1 + \exp \left[ -\frac{\Delta \varepsilon}{k_B T} \right]} \right\} \quad (18.5)$$

a vnitřní energie

$$U = F + T S = k_B T^2 \frac{\partial \ln Z}{\partial T} = N \left( \varepsilon_1 + \Delta \varepsilon \frac{\exp \left[ -\frac{\Delta \varepsilon}{k_B T} \right]}{1 + \exp \left[ -\frac{\Delta \varepsilon}{k_B T} \right]} \right). \quad (18.6)$$

Poslední dva výrazy můžeme přepsat do symetrického tvaru

$$S =$$

$$N k_B \left\{ \ln \left( \exp \left[ -\frac{\varepsilon_1}{k_B T} \right] + \exp \left[ -\frac{\varepsilon_2}{k_B T} \right] \right) + \frac{1}{k_B T} \frac{\varepsilon_1 \exp \left[ -\frac{\varepsilon_1}{k_B T} \right] + \varepsilon_2 \exp \left[ -\frac{\varepsilon_2}{k_B T} \right]}{\exp \left[ -\frac{\varepsilon_1}{k_B T} \right] + \exp \left[ -\frac{\varepsilon_2}{k_B T} \right]} \right\} \quad (18.7)$$

a

$$U = N \frac{\varepsilon_1 \exp \left[ -\frac{\varepsilon_1}{k_B T} \right] + \varepsilon_2 \exp \left[ -\frac{\varepsilon_2}{k_B T} \right]}{\exp \left[ -\frac{\varepsilon_1}{k_B T} \right] + \exp \left[ -\frac{\varepsilon_2}{k_B T} \right]}. \quad (18.8)$$

## 18.2 Obecný případ konečného počtu hladin

Entropii vyjádříme ze statistické váhy

$$S = k_B \ln(\Delta \Gamma) = k_B \ln \left( \frac{N!}{\prod_i (N_i!)} \right) \approx k_B \left\{ N \ln \frac{N}{e} - \sum_i N_i \ln \frac{N_i}{e} \right\}. \quad (18.9)$$

Rovnováhný stav budeme hledat pomocí Lagrangeových multiplikátorů

$$\frac{\partial}{\partial N_k} \{ S + \alpha N + \beta U \} = 0, \quad N = \sum_i N_i, \quad U = \sum_i \varepsilon_i N_i. \quad (18.10)$$

Dostáváme tak rovnice

$$-k_B \ln N_k + \alpha + \beta \varepsilon_k = 0 \Rightarrow N_k = \exp \left[ \frac{\alpha + \beta \varepsilon_k}{k_B} \right]. \quad (18.11)$$

Odsud pak

$$\sum_k N_k = N \Rightarrow \exp\left[\frac{\alpha}{k_B}\right] = \frac{N}{\sum_j \exp\left[\frac{\beta \varepsilon_j}{k_B}\right]}, \quad (18.12)$$

takže s označením

$$w_i = \frac{\exp\left[\frac{\beta \varepsilon_i}{k_B}\right]}{\sum_j \exp\left[\frac{\beta \varepsilon_j}{k_B}\right]} \quad (18.13)$$

máme

$$N_i = w_i N, \quad \sum_i w_i = 1 \quad (18.14)$$

a dosazením (18.14) do (18.9) máme pro entropii standardní výraz

$$S = -k_B N \sum_i w_i \ln w_i. \quad (18.15)$$

Rozepsání (18.15) dává

$$\begin{aligned} S &= k_B N \ln \left( \sum_j \exp\left[\frac{\beta \varepsilon_j}{k_B}\right] \right) - \underbrace{\beta N \sum_i w_i \varepsilon_i}_{\beta \sum_i N_i \varepsilon_i} = \\ &= k_B N \ln \left( \sum_j \exp\left[\frac{\beta \varepsilon_j}{k_B}\right] \right) - \beta U. \end{aligned} \quad (18.16)$$

Z druhé vety termodynamické

$$dU = T dS - P dV \quad (18.17)$$

máme

$$\left. \frac{\partial S}{\partial U} \right|_V = \frac{1}{T}. \quad (18.18)$$

Derivováním (18.16) dostáváme

$$\left. \frac{\partial S}{\partial U} \right|_V = \frac{\partial S}{\partial \beta} \frac{\partial \beta}{\partial U} + \frac{\partial S}{\partial U} = -\beta. \quad (18.19)$$

Porovnání (18.19) a (18.18) dává očekávaný výsledek  $\beta = -1/T$ . Pro volnou energii máme

$$F = U - TS = -N k_B T \ln \left( \sum_j \exp\left[-\frac{\varepsilon_j}{k_B T}\right] \right), \quad (18.20)$$

pro entropii

$$S = N k_B \left\{ \ln \left( \sum_j \exp \left[ -\frac{\varepsilon_j}{k_B T} \right] \right) + \frac{1}{k_B T} \frac{\sum_j \varepsilon_j \exp \left[ -\frac{\varepsilon_j}{k_B T} \right]}{\sum_j \exp \left[ -\frac{\varepsilon_j}{k_B T} \right]} \right\} \quad (18.21)$$

a pro vnit ní energii

$$U = N \frac{\sum_j \varepsilon_j \exp \left[ -\frac{\varepsilon_j}{k_B T} \right]}{\sum_j \exp \left[ -\frac{\varepsilon_j}{k_B T} \right]} . \quad (18.22)$$

Statistickou sumu spo teme snadno i pro p ípad, kdy jsou energetické hladiny degenerované.

V takovém p ípad máme

$$Z = \sum_{\substack{n_1, \dots, n_k \\ \sum_j n_j = N}} \frac{N!}{n_1! \dots n_k!} g_1^{n_1} \dots g_k^{n_k} \exp \left[ -\frac{1}{k_B T} \sum_j n_j \varepsilon_j \right] = \left( g_1 \exp \left[ -\frac{\varepsilon_1}{k_B T} \right] + \dots + g_k \exp \left[ -\frac{\varepsilon_k}{k_B T} \right] \right)^N . \quad (18.23)$$

### 18.3 Záporné absolutní teploty

Uvažujme op t soustavu se dv ma energetickými hladinami. Pro jednoduchost zvolme  $\varepsilon_1 = 0$  a ozna me  $\varepsilon_2 = \varepsilon$ . Dále entropii p ípadající na jednu ástici (v bezrozm rných jednotkách)  $\sigma = S / (N k_B)$  a energii p ípadající na jednu ástici m enou pomocí vzdálenosti energetických hladin  $u = U / (N \varepsilon)$  a nakonec bezrozm rnou veli ínu úm rnou teplot  $\tau = k_B T / \varepsilon$ . Z definice  $0 \leq u \leq 1$ . Máme pak místo (18.7) a (18.8)

$$\sigma = \ln \left( 1 + \exp \left[ -\frac{1}{\tau} \right] \right) + \frac{1}{\tau} \frac{\exp \left[ -\frac{1}{\tau} \right]}{1 + \exp \left[ -\frac{1}{\tau} \right]} \quad (18.24)$$

a

$$u = \frac{\exp \left[ -\frac{1}{\tau} \right]}{1 + \exp \left[ -\frac{1}{\tau} \right]} . \quad (18.25)$$

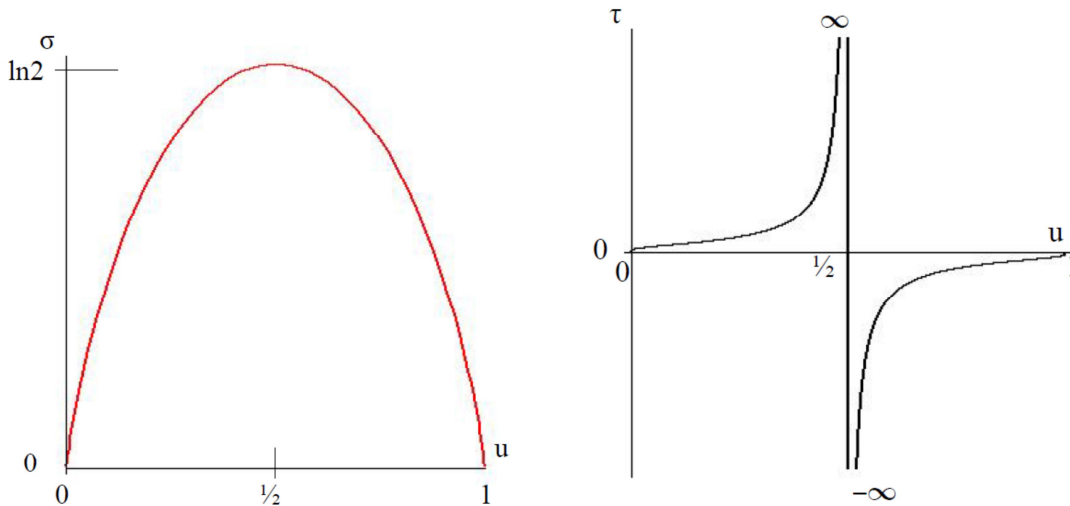
Entropie vyjád ená pomocí vnit ní energie je z t chto vztah

$$\sigma = (u - 1) \ln(1 - u) - u \ln u \quad (18.26)$$

a teplota vyjád ená pomocí vnit ní energie je

$$\tau = \frac{1}{\ln(1-u) - \ln u} \quad (18.27)$$

Grafické zobrazení závislosti entropie a teploty na vnitřní energii je na obrázcích. Nejteplejší je soustava při teplotě  $\tau \rightarrow -0$ , pak sestupně  $\tau \rightarrow -\infty$  a  $\tau \rightarrow \infty$ , nejchladnější je



soustava pro teplotu  $\tau \rightarrow +0$ . Tento popis si potvrdíme standardní úvahou. Uveďme to v případě tepelného kontaktu dvou soustav, soustava A má absolutní teplotu zápornou  $T_A < 0$  soustava B má absolutní teplotu kladnou  $T_B > 0$ . Musí platit

$$\Delta S = \frac{\Delta Q_A}{T_A} + \frac{\Delta Q_B}{T_B} \geq 0 \Rightarrow T_A < 0 \wedge T_B > 0 \Rightarrow \Delta Q_A < 0 \wedge \Delta Q_B > 0 \quad (18.28)$$

Soustava A se zápornou absolutní teplotou předává teplo a soustava B s kladnou absolutní teplotou teplo přijímá, tedy soustava B se ochlazuje a soustava A se zápornou absolutní teplotou.

## 19. Kinetická teorie plynů

### 19.1 Liouvillova věta

Máme soustavu obyčejných diferenciálních rovnic

$$\frac{d\vec{x}}{dt} = \vec{f}(\vec{x}) \quad (19.1)$$

která má pro celou časovou osu řešení. V tomto odstavci výjimečně značí  $\vec{x}$  vektor v  $n$ -rozměrném prostoru. Označme  $g^t$  grupovou transformaci

$$g^t(\vec{x}) = \vec{x} + \vec{f}(\vec{x})t + O(t^2) \quad , \quad t \rightarrow 0 \quad (19.2)$$

Ozna me  $D(0)$  oblast v prostoru  $\{\bar{x}\}$  a  $V(0)$  její objem a dále  $V(t)$  objem oblasti  $D(t)$ , kde  $D(t) = g^t D(0)$ . Platí v ta: Je-li  $\operatorname{div} \vec{f} = 0$ , potom  $g^t$  zachovává objem

$$\operatorname{div} \vec{f} = 0 \Rightarrow g^t V(0) \equiv V(t) = V(0) . \quad (19.3)$$

Pro d kaz jsou pot eba dv lemmata. Lemma 1: Platí

$$\left. \frac{dV(t)}{dt} \right|_{t=0} = \int_{D(0)} \operatorname{div} \vec{f} d\bar{x} . \quad (19.4)$$

Obecn je

$$V(t) = \int_{D(0)} \det \frac{\partial g^t \bar{x}}{\partial \bar{x}} d\bar{x} , \quad \frac{\partial g^t \bar{x}}{\partial \bar{x}} = E + \frac{\partial \vec{f}}{\partial \bar{x}} t + O(t^2) . \quad (19.5)$$

Lemma 2: Pro libovolnou matici  $\check{A}$  platí

$$\det \left| \check{E} + \check{A} t \right| = 1 + \operatorname{Tr} \check{A} t + O(t^2) . \quad (19.6)$$

D kaz je snadno vid t ó pouze v sou inu prvk na diagonále jsou leny nultého a prvního ádu v  $t$ , jak je vid t na p íkladu

$$\begin{vmatrix} 1+a_{11}t & a_{12}t \\ a_{21}t & 1+a_{22}t \end{vmatrix} = 1 + (a_{11} + a_{22})t + (a_{11}a_{22} - a_{12}a_{21})t^2 . \quad (19.7)$$

Máme tak

$$\det \frac{\partial g^t \bar{x}}{\partial \bar{x}} = 1 + \operatorname{Tr} \frac{\partial \vec{f}}{\partial \bar{x}} t + O(t^2) = 1 + \operatorname{div} \vec{f} + O(t^2) . \quad (19.8)$$

Dosazením do (19.5)

$$V(t) = \int_{D(0)} \left[ 1 + \operatorname{div} \vec{f} + O(t^2) \right] d\bar{x} \quad (19.9)$$

a derivováním a polofením  $t=0$ . Protože se  $t=t_0$  p i po ítání ni ím neli-í od  $t=0$ , m fleme psát také

$$\left. \frac{dV(t)}{dt} \right|_{t=t_0} = \int_{D(t_0)} \operatorname{div} \vec{f} d\bar{x} . \quad (19.10)$$

Tím je d kaz dokon en, nebo

$$\operatorname{div} \vec{f} = 0 \Rightarrow \frac{dV(t)}{dt} = 0 . \quad (19.11)$$

Speciáln pro soustavu Hamiltonových rovnic

$$\frac{dq^\alpha}{dt} = \frac{\partial H}{\partial p_\alpha} \quad , \quad \frac{dp_\alpha}{dt} = -\frac{\partial H}{\partial q^\alpha} \quad (19.12)$$

je (se ítáme p es opakující se indexy)

$$\operatorname{div} \vec{f} = \frac{\partial}{\partial q^\alpha} \frac{\partial H}{\partial p_\alpha} + \frac{\partial}{\partial p_\alpha} \left( -\frac{\partial H}{\partial q^\alpha} \right) = 0 \quad . \quad (19.13)$$

## 19.2 Boltzmannova kinetická rovnice

### 19.2.1 Jedno ásticový problém

Máme –estirozmn rný fázový prostor  $\{\vec{q}, \vec{p}\}$ . Rozd lovací funkci  $f(\vec{q}, \vec{p}, t)$  zavádíme jako

$$dN|_t = f(\vec{q}, \vec{p}, t) \frac{(d^3 q d^3 p)|_t}{(2\pi\hbar)^3} \quad , \quad (19.14)$$

kde  $dN|_t$  je počet ástic v elementu fázového prostoru  $(d^3 q d^3 p)|_t$  v ase  $t$ . Podle Liouvillový v ty

$$(d^3 q d^3 p)|_t = (d^3 q d^3 p)|_{t_0} \quad . \quad (19.15)$$

Také počet ástic se nem ní

$$dN|_t = dN|_{t_0} \quad , \quad (19.16)$$

takže pro rozd lovací funkci musí být

$$f(\vec{q}, \vec{p}, t) = f(\vec{q}_0, \vec{p}_0, t_0) \quad . \quad (19.17)$$

Derivováním (19.17) podle asu dostáváme

$$\frac{df}{dt} = \frac{\partial f}{\partial t} + \vec{\nabla}_q f \cdot \frac{d\vec{q}}{dt} + \vec{\nabla}_p f \cdot \frac{d\vec{p}}{dt} = 0 \quad . \quad (19.18)$$

Z Hamiltonových rovnic

$$\underbrace{\frac{d\vec{q}}{dt}}_{=\vec{v}} = \vec{\nabla}_p H \quad , \quad \underbrace{\frac{d\vec{p}}{dt}}_{=\vec{F}} = -\vec{\nabla}_q H \quad (19.19)$$

dosadíme do (19.18) a dostáváme

$$\frac{\partial f}{\partial t} = \vec{\nabla}_q H \vec{\nabla}_p f - \vec{\nabla}_p H \vec{\nabla}_q f \equiv \{H, f\} \quad . \quad (19.20)$$

V rovnovážném stavu jsou Poissonovy závorky  $H$  s  $f$  rovny nule

$$\frac{\partial f}{\partial t} = 0 \quad \Rightarrow \quad \{H, f\} = 0 \quad \Rightarrow \quad f = f(H) \quad . \quad (19.21)$$

Rozdíl lovací funkce je v rovnovážném stavu pouze funkcí konstanty pohybu ó energie  $H = \varepsilon$ .

### 19.2.2 Boltzmann v srážkový len

Zapomenutí srážek mezi částicemi vede k tomu, že počet částic v elementu fázového prostoru jedné částice ufl nemusí být konstantní. Je potom

$$\frac{df}{dt} = \left( \frac{\partial f}{\partial t} \right)_{\text{coll}} \Rightarrow \frac{\partial f}{\partial t} + \vec{\nabla}_q f \cdot \frac{d\vec{q}}{dt} + \vec{\nabla}_p f \cdot \frac{d\vec{p}}{dt} = \left( \frac{\partial f}{\partial t} \right)_{\text{coll}}. \quad (19.22)$$

Předpokládáme, že p i srážce se zachovávají jak hybnosti, tak energie částic

$$\vec{p} + \vec{p}_1 = \vec{p}' + \vec{p}'_1, \quad \varepsilon + \varepsilon_1 = \varepsilon' + \varepsilon'_1 \quad (19.23)$$

a interakce se odehraje v jediném bodě prostoru  $\vec{q}$ . Pro stručnost zápisu budeme zkracovat

$$\begin{aligned} \vec{p} = \Gamma, \quad \vec{p}_1 = \Gamma_1, \quad \vec{p}' = \Gamma', \quad \vec{p}'_1 = \Gamma'_1, \\ d^3\vec{p} = d\Gamma, \quad d^3\vec{p}_1 = d\Gamma_1, \quad d^3\vec{p}' = d\Gamma', \quad d^3\vec{p}'_1 = d\Gamma'_1 \end{aligned} \quad (19.24)$$

a

$$\begin{aligned} f(\vec{q}, \vec{p}, t) = f(\vec{q}, \Gamma, t) = f, \quad f(\vec{q}, \vec{p}_1, t) = f(\vec{q}, \Gamma_1, t) = f_1, \\ f(\vec{q}, \vec{p}', t) = f(\vec{q}, \Gamma', t) = f', \quad f(\vec{q}, \vec{p}'_1, t) = f(\vec{q}, \Gamma'_1, t) = f'_1. \end{aligned} \quad (19.25)$$

Zápis pomocí symbolů  $\Gamma$  je vhodný i pro popis fázového prostoru obecnějších struktur ó například pro dvouatomovou molekulu jde o tři složky hybnosti a dvě nezávislé složky momentu hybnosti. Počet srážek s pechodem  $\Gamma, \Gamma_1 \rightarrow \Gamma', \Gamma'_1$  za jednotku času v elementu objemu  $dV = d^3\vec{q}$  je dán vztahem

$$\frac{dV}{(2\pi\hbar)^6} w(\Gamma', \Gamma'_1 | \Gamma, \Gamma_1) f f_1 d\Gamma d\Gamma_1 d\Gamma' d\Gamma'_1, \quad (19.26)$$

kde vztah mezi pravděpodobností p echodu a diferenciálním úinným pr ezem srážky je

$$\frac{w(\Gamma', \Gamma'_1 | \Gamma, \Gamma_1) d\Gamma' d\Gamma'_1}{|\vec{v} - \vec{v}_1|} = d\sigma(\Gamma', \Gamma'_1 | \Gamma, \Gamma_1). \quad (19.27)$$

Opět zápis s  $dV$  jako elementem objemu konfiguračního prostoru je obecnější ó pro dvouatomovou molekulu jde o p t nezávislých sou adnic (t i sou adnice t fli-t a dva úhly definující sm r osy molekuly). P írozen by se také faktor  $2\pi\hbar$  vyskytoval ne ve t etí mocnin , ale v mocnin dané po tem stup volnosti. Ve zkráceném zápisu budeme psát

$$w(\Gamma', \Gamma'_1 | \Gamma, \Gamma_1) = w, \quad w(\Gamma, \Gamma_1 | \Gamma', \Gamma'_1) = w'. \quad (19.28)$$

Bude nás tedy zajímat zm na v obsazení elementu fázového prostoru za jednotku času p i pevn dané hodnot  $\Gamma$ , tedy

$$\left(\frac{\partial f}{\partial t}\right)_{\text{coll}} \frac{dV d\Gamma}{(2\pi\hbar)^3} . \quad (19.29)$$

Úbytek je dán jako

$$\frac{dV d\Gamma}{(2\pi\hbar)^6} \int w f f_1 d\Gamma_1 d\Gamma' d\Gamma'_1 , \quad (19.30)$$

přírůstek jako

$$\frac{dV d\Gamma}{(2\pi\hbar)^6} \int w' f' f'_1 d\Gamma_1 d\Gamma' d\Gamma'_1 , \quad (19.31)$$

takže celková změna je

$$\frac{dV d\Gamma}{(2\pi\hbar)^6} \int (w' f' f'_1 - w f f_1) d\Gamma_1 d\Gamma' d\Gamma'_1 . \quad (19.32)$$

Porovnáním (19.32) a (19.29) dostáváme

$$\left(\frac{\partial f}{\partial t}\right)_{\text{coll}} = \frac{1}{(2\pi\hbar)^3} \int (w' f' f'_1 - w f f_1) d\Gamma_1 d\Gamma' d\Gamma'_1 . \quad (19.33)$$

V dalším odstavci uvidíme, že platí

$$\int w(\Gamma', \Gamma'_1 | \Gamma, \Gamma_1) d\Gamma' d\Gamma'_1 = \int w(\Gamma, \Gamma_1 | \Gamma', \Gamma'_1) d\Gamma' d\Gamma'_1 . \quad (19.34)$$

Protože  $f$  ani  $f_1$  nezávisí na  $\Gamma'$  ani  $\Gamma'_1$ , můžeme vztahu (19.34) využít k úpravě (19.33) na

$$\left(\frac{\partial f}{\partial t}\right)_{\text{coll}} = \frac{1}{(2\pi\hbar)^3} \int w' (f' f'_1 - f f_1) d\Gamma_1 d\Gamma' d\Gamma'_1 . \quad (19.35)$$

Funkce  $w$  resp. diferenciální úhinný prvek  $d\sigma$  obsahují jako součinitele také Diracovu delta funkci, vyjadřující zákony zachování. Pro případ jednoatomového plynu platí

$$w' = w(\vec{p}, \vec{p}_1 | \vec{p}', \vec{p}'_1) = w(\vec{p}', \vec{p}'_1 | \vec{p}, \vec{p}_1) = w , \quad (19.36)$$

takže můžeme v (19.35) psát  $w$  místo  $w'$ . Podle (19.27) máme pak

$$w d^3 \vec{p}' d^3 \vec{p}'_1 = |\vec{v} - \vec{v}_1| d\sigma \quad (19.37)$$

a pro srážkový člen pak

$$\left(\frac{\partial f}{\partial t}\right)_{\text{coll}} = \frac{1}{(2\pi\hbar)^3} \int |\vec{v} - \vec{v}_1| (f' f'_1 - f f_1) d\sigma d^3 \vec{p}_1 . \quad (19.38)$$

Přitom ufl předpokládáme, že za  $\vec{p}'$  a  $\vec{p}'_1$  jsme dosadili ze zákonů zachování, takže se integruje jen přes hybnosti  $\vec{p}_1$  a úhel rozptylu ( $d\sigma = g(\vartheta, \varphi) d\Omega$ ).



Hrubý odhad srážkového integrálu pro kinetické jevy v plynech je možno uinit pomocí pojmu střední volné dráhy  $l$  o střední vzdálenosti, kterou urazí molekula mezi dvěma po sobě jdoucími srážkami. Tuto vzdálenost můžeme vyjádřit pomocí úhelného průřezu  $\sigma$  a hustoty početních částic  $N$  z výrazu

$$\sigma l \sim \frac{1}{N} . \quad (19.39)$$

Je-li lineární rozměr molekul  $d$  a střední vzdálenost mezi molekulami  $\bar{r}$ , máme

$$\sigma \sim d^2 , \quad N \sim \frac{1}{\bar{r}^3} \Rightarrow l \sim \bar{r} \left( \frac{\bar{r}}{d} \right)^2 = d \left( \frac{\bar{r}}{d} \right)^3 . \quad (19.40)$$

Zavedení střední doby mezi srážkami

$$\tau = \frac{l}{v} \quad (19.41)$$

pak vede k hledanému odhadu Boltzmannova srážkového členu

$$\left( \frac{\partial f}{\partial t} \right)_{\text{coll}} = - \frac{f - f_0}{\tau} , \quad (19.42)$$

kde  $f_0$  je rovnovážná rozdělovací funkce. Příkladem ufvávajícím tento odhad se bude v novat další kapitola.

### 19.2.3 Princip detailní rovnováhy

Pravd podobnost rozptylu má důležitou vlastnost, vyplývající ze symetrie zákon mechaniky vzhledem k inverzi času. Označíme  $\Gamma^T$  hodnoty veličin, které vzniknou z  $\Gamma$  pomocí časové inverze. Máme například pro hybnost a moment hybnosti

$$\Gamma = (\vec{p}, \vec{M}) \rightarrow \Gamma^T = (-\vec{p}, -\vec{M}) . \quad (19.43)$$

Ponvadli časová inverze zamění stavy předtím a špotomů, platí

$$w(\Gamma', \Gamma_1' | \Gamma, \Gamma_1) = w(\Gamma^T, \Gamma_1^T | \Gamma'^T, \Gamma_1'^T) . \quad (19.44)$$

Provedeme-li jak časovou, tak prostorovou inverzi, dostáváme z  $\Gamma$  hodnoty  $\Gamma^{TP}$  o například pro hybnost a moment hybnosti máme

$$\Gamma = (\vec{p}, \vec{M}) \rightarrow \Gamma^{TP} = (\vec{p}, -\vec{M}) , \quad (19.45)$$

nebo  $\vec{p}$  je polární a  $\vec{M}$  axiální vektor. Pokud jsou také jednotlivé molekuly symetrické vzhledem k prostorové inverzi, platí pro danou soustavu

$$w(\Gamma', \Gamma_1' | \Gamma, \Gamma_1) = w(\Gamma^{TP}, \Gamma_1^{TP} | \Gamma'^{TP}, \Gamma_1'^{TP}) . \quad (19.46)$$

Pokud mají jednotlivé molekuly stereoizomery, popisuje vztah (19.46) r zné soustavy. Také o (19.44) nem fme obecn tvrdit, fle popisuje p ímý a obrácený rozptyl. O rovnosti pravd podobností p ímého a obráceného procesu m fme v-ak mluvit u jednoatomového plynu, kde  $\Gamma = \bar{p} = \Gamma^{TP}$ , takže podle (19.46)

$$w(\bar{p}', \bar{p}' | \bar{p}, \bar{p}_1) = w(\bar{p}, \bar{p}_1 | \bar{p}', \bar{p}'_1) \quad . \quad (19.47)$$

Funkce  $w$  má je-t jednu d leffitou vlastnost, která je nejlépe vid t z pohledu kvantové teorie rozptylu. Tam je rozptyl popsán pomocí unitární matice ( $S$  ó matice)  $\hat{S}^+ \hat{S} = \hat{1}$ , nebo rozepsáno

$$\sum_f S_{if}^+ S_{fk} = \sum_f S_{fi}^* S_{fk} = \delta_{ik} \quad \Rightarrow \quad \sum_f |S_{fi}|^2 = 1 \quad . \quad (19.48)$$

Kvadrát modulu  $|S_{fi}|^2$  udává pravd podobnost rozptylu  $i \rightarrow f$  a druhý vztah v (19.48) je normovací podmínka ó sou et pravd podobností v-ech možných p echod z daného stavu je roven jedné. Zapí-eme-li podmínku pro unitární  $S$  ó matici jako  $\hat{S}^+ \hat{S} = \hat{1}$ , máme

$$\sum_f S_{if} S_{fk}^+ = \sum_f S_{if} S_{kf}^* = \delta_{ik} \quad \Rightarrow \quad \sum_f |S_{if}|^2 = 1 \quad , \quad (19.49)$$

tedy také sou et pravd podobností  $|S_{if}|^2$  v-ech možných p echod do daného stavu je roven jedné. Porovnáním (19.48) a (19.49) (vynecháme v sou tu pravd podobnost, fle k rozptylu nedojde, tj. len  $|S_{ii}|^2$ ) dostáváme

$$\sum_{f, f \neq i} |S_{fi}|^2 = \sum_{f, f \neq i} |S_{if}|^2 \quad . \quad (19.50)$$

P i p echodu ke spojitým hodnotám spektra veli in  $\Gamma$  popisujících rozptyl dostáváme z (19.50) vztah pro funkci  $w$ , který jsme jifl uvedli jako (19.34)

$$\int w(\Gamma', \Gamma'_1 | \Gamma, \Gamma_1) d\Gamma' d\Gamma'_1 = \int w(\Gamma, \Gamma_1 | \Gamma', \Gamma'_1) d\Gamma' d\Gamma'_1 \quad .$$

#### 19.2.4 Rovnováfná rozd lovací funkce

Sráfkový len musí být roven nule a tedy z (19.38)

$$f'_0 f'_{01} - f_0 f_{01} = 0 \quad , \quad (19.51)$$

rovnováfnou rozd lovací funkci ozna ujeme dolním indexem 0. Podle (19.21) závisí tato funkce pouze na energii  $\varepsilon = \varepsilon(\Gamma)$ . Zapo teme-li je-t zákon zachování energie  $\varepsilon' + \varepsilon'_1 = \varepsilon + \varepsilon_1$ , dostáváme rovnici

$$f_0(\varepsilon) f_0(\varepsilon_1) = f_0(\varepsilon') f_0(\varepsilon + \varepsilon_1 - \varepsilon') \quad . \quad (19.52)$$

Derivujeme tuto rovnici nejprve podle  $\varepsilon$  a potom podle  $\varepsilon_1$  ó pravé strany takto vzniklých výraz budou stejné. Pod lením výraz pak dostáváme

$$\frac{1}{f_0(\varepsilon)} \frac{df_0(\varepsilon)}{d\varepsilon} = \frac{1}{f_0(\varepsilon_1)} \frac{df_0(\varepsilon_1)}{d\varepsilon_1} = \text{konst.} \quad , \quad (19.53)$$

takže po integraci

$$f_0 = \exp\left[\frac{\mu - \varepsilon(\Gamma)}{k_B T}\right] \quad . \quad (19.54)$$

Integra ní konstanty jsme volili tak, aby výsledek byl v souhlasu s rozd lením pro rovnovážný Boltzmann v plyn.

### 19.3 H ó teorém

Plyn, stejn jako každá izolovaná soustava se bude snažit dojít k rovnovážnému stavu. M lo by jít o d j, p i kterém roste entropie. V tomto odstavci to dokážeme. Entropie je dána vztahem

$$S = \frac{k_B}{(2\pi\hbar)^3} \int f \ln \frac{e}{f} dV d\Gamma \quad , \quad dV d\Gamma = d^3\vec{r} d^3\vec{p} \quad . \quad (19.55)$$

Derivováním podle času dostáváme

$$\frac{dS}{dt} = \frac{k_B}{(2\pi\hbar)^3} \int \frac{\partial}{\partial t} \left( f \ln \frac{e}{f} \right) dV d\Gamma = - \frac{k_B}{(2\pi\hbar)^3} \int \ln f \frac{\partial f}{\partial t} dV d\Gamma \quad . \quad (19.56)$$

V tomto odstavci budeme srážkový len  $(\partial f / \partial t)_{\text{coll}}$  zna it  $C(f)$  ó asto se také používá  $St f$  (od Streuung). Dosadíme z Boltzmannovy rovnice

$$\frac{\partial f}{\partial t} = -\vec{v} \cdot \vec{\nabla}_{\vec{r}} f - \vec{F} \cdot \vec{\nabla}_{\vec{p}} f + C(f) \quad . \quad (19.57)$$

O ekáváme, že ke zm n entropie bude p íspívat pouze srážkový len. P íspěvek prvních dvou len pravé strany (19.57) je

$$- \int \ln f \left( -\vec{v} \cdot \frac{\partial f}{\partial \vec{r}} - \vec{F} \cdot \frac{\partial f}{\partial \vec{p}} \right) dV d\Gamma = \int \left( \vec{v} \cdot \frac{\partial}{\partial \vec{r}} + \vec{F} \cdot \frac{\partial}{\partial \vec{p}} \right) \left( f \ln \frac{f}{e} \right) dV d\Gamma \quad . \quad (19.58)$$

Jednoduché úpravy vedou na

$$\begin{aligned} \vec{v} \cdot \int_V \frac{\partial}{\partial \vec{r}} \left( f \ln \frac{f}{e} \right) dV &= \vec{v} \cdot \int_{\partial V} \vec{n}_{\vec{r}} f \ln \frac{f}{e} dS_{\vec{r}} = 0 \quad , \\ \vec{F} \cdot \int_{\Gamma} \frac{\partial}{\partial \vec{p}} \left( f \ln \frac{f}{e} \right) d\Gamma &= \vec{F} \cdot \int_{\partial \Gamma} \vec{n}_{\vec{p}} f \ln \frac{f}{e} dS_{\vec{p}} = 0 \quad , \end{aligned} \quad (19.59)$$

protože vn objemu fázového prostoru je  $f=0$ . Máme tak

$$\frac{dS}{dt} = -\frac{k_B}{(2\pi\hbar)^3} \int \ln f C(f) dV d\Gamma \quad . \quad (19.60)$$

Výpočet integrálu vzhledem ke  $\Gamma$  provedeme pro obecnou funkci  $\Phi(\Gamma)$ . Napíšeme srážkový integrál podle (19.33)

$$\begin{aligned} \int \Phi(\Gamma) C(f) d\Gamma &= \frac{1}{(2\pi\hbar)^3} \int \Phi(\Gamma) w(\Gamma, \Gamma_1 | \Gamma', \Gamma'_1) f' f'_1 d^4\Gamma - \\ &\frac{1}{(2\pi\hbar)^3} \int \Phi(\Gamma) w(\Gamma', \Gamma'_1 | \Gamma, \Gamma_1) f f_1 d^4\Gamma \quad , \end{aligned} \quad (19.61)$$

kde  $d^4\Gamma = d\Gamma d\Gamma_1 d\Gamma' d\Gamma'_1$ . Prostou záměnou značení  $\Gamma \leftrightarrow \Gamma', \Gamma_1 \leftrightarrow \Gamma'_1$  ve druhém integrálu pravé strany v (19.61) dostaneme

$$\int \Phi(\Gamma) C(f) d\Gamma = \frac{1}{(2\pi\hbar)^3} \int [\Phi - \Phi'] w(\Gamma, \Gamma_1 | \Gamma', \Gamma'_1) f' f'_1 d^4\Gamma \quad . \quad (19.62)$$

Další záměnou značení  $\Gamma \leftrightarrow \Gamma_1, \Gamma' \leftrightarrow \Gamma'_1$  dostaneme

$$\int \Phi(\Gamma) C(f) d\Gamma = \frac{1}{(2\pi\hbar)^3} \int [\Phi_1 - \Phi'_1] w(\Gamma, \Gamma_1 | \Gamma', \Gamma'_1) f' f'_1 d^4\Gamma \quad (19.63)$$

a konečně vezmeme průměr z výraz (19.62) a (19.63)

$$\int \Phi(\Gamma) C(f) d\Gamma = \frac{1}{2(2\pi\hbar)^3} \int [\Phi + \Phi_1 - \Phi' - \Phi'_1] w' f' f'_1 d^4\Gamma \quad . \quad (19.64)$$

V triviálním případě, kdy zvolíme  $\Phi(\Gamma) = 1$ , dostaneme

$$\int C(f) d^4\Gamma = 0 \quad (19.65)$$

a dosadíme-li za  $C(f)$  z (19.35)

$$\int w' (f' f'_1 - f f_1) d^4\Gamma = 0 \quad . \quad (19.66)$$

Volbou  $\Phi(\Gamma) \sim \ln f$  dostáváme pro (19.60)

$$\frac{dS}{dt} = \frac{k_B}{2(2\pi\hbar)^6} \int w' f' f'_1 \ln \frac{f' f'_1}{f f_1} d^4\Gamma dV \quad (19.67)$$

nebo

$$\frac{dS}{dt} = \frac{k_B}{2(2\pi\hbar)^6} \int w' f f_1 x \ln x d^4\Gamma dV \quad , \quad (19.68)$$

kde

$$x = \frac{f' f'_1}{f f_1} \quad . \quad (19.69)$$

Integrace vzhledem ke configuračnímu prostoru a vynásobení konstantou rovnice (19.66) nám dává

$$\frac{k_B}{2(2\pi\hbar)^6} \int w' f f_1 (1-x) d^4\Gamma dV = 0 \quad . \quad (19.70)$$

Přítome (19.70) k (19.68) a máme

$$\frac{dS}{dt} = \frac{k_B}{2(2\pi\hbar)^6} \int w' f f_1 (x \ln x - x + 1) d^4\Gamma dV \quad . \quad (19.71)$$

Funkce v závorkách je rovna jedné pro  $x=0$ , dosahuje minima nulovou hodnotou v  $x=1$  a pak stále roste. Dokázali jsme tak, že

$$\frac{dS}{dt} \geq 0 \quad . \quad (19.72)$$

Povšimneme si, že  $x=1$  znamená rovnovážný stav a pouze v tom případě se entropie nemění. Dále je vidět, že integrace vzhledem k proměnným configuračního prostoru není pro d'kážd' podstatná a srážky způsobují růst entropie v každém elementu configuračního prostoru. To ovšem je třeba neznepokojovat, že entropie v každém elementu roste a může být mezi jednotlivými elementy přerušovaná.

H'óteorem poprvé odvodil Boltzmann v rozsáhlém článku *Weitere Studien über das Wärmegleichgewicht unter Gasmolekülen* (Sitzungsberichte der kaiserlichen Akademie der Wissenschaften 66 (1872), 275 a 370) pro entropii, kterou definoval Clausius  $E = -S/k_B$

$$E = \int_0^\infty f(x,t) \left\{ \log \left[ \frac{f(x,t)}{\sqrt{x}} - 1 \right] \right\} dx \quad . \quad (19.73)$$

V anglicky psané literatuře pak byla tato veličina označována jako  $H$  (heat function), což se v láncích pro Nature došel i Boltzmann. Odtud název teoremu.

## 19.4 Přechod k makroskopickým rovnicím

### 19.4.1 Základní rovnice

Jestliže ve vztahu (19.64) volíme funkci  $\Phi(\Gamma)$  takovou, že se při srážce odpovídající veličina v elementu configuračního prostoru zachovává, je integrál roven nule (zdráždíme, že se v daném elementu takové veličiny mohou měnit přenosem), protože podle (19.64)

$$\int \Phi(\Gamma) C(f) d\Gamma = \frac{1}{2(2\pi\hbar)^3} \int \underbrace{[\Phi + \Phi_1 - \Phi' - \Phi'_1]}_{=0} w' f' f'_1 d^4\Gamma = 0 \quad . \quad (19.74)$$

Vynásobíme Boltzmannovu rovnici zachovávající se veli inou  $\Phi(\Gamma)=\chi(\vec{r}, \vec{p})$  a integrujeme podle  $d\Gamma=d^3\vec{p}$

$$\int \chi(\vec{r}, \vec{p}) \left[ \frac{\partial}{\partial t} + \frac{p_\alpha}{m} \frac{\partial}{\partial x_\alpha} + F_\alpha \frac{\partial}{\partial p_\alpha} \right] f(\vec{r}, \vec{p}, t) d^3\vec{p} = 0 \quad . \quad (19.75)$$

Jednotlivé leny budeme vhodn upravovat

$$\begin{aligned} \int \chi \frac{\partial f}{\partial t} d^3\vec{p} &= \frac{\partial}{\partial t} \int \chi f d^3\vec{p} \quad , \\ \int \chi \frac{p_\alpha}{m} \frac{\partial f}{\partial x_\alpha} d^3\vec{p} &= \frac{\partial}{\partial x_\alpha} \int \chi \frac{p_\alpha}{m} f d^3\vec{p} - \int \frac{\partial \chi}{\partial x_\alpha} \frac{p_\alpha}{m} f d^3\vec{p} \quad , \\ \int \chi F_\alpha \frac{\partial f}{\partial p_\alpha} d^3\vec{p} &= \int \frac{\partial}{\partial p_\alpha} (\chi F_\alpha f) d^3\vec{p} - \int \frac{\partial \chi}{\partial p_\alpha} F_\alpha f d^3\vec{p} - \int \chi \frac{\partial F_\alpha}{\partial p_\alpha} f d^3\vec{p} \quad . \end{aligned} \quad (19.76)$$

První len pravé strany t etí rovnice lze p evést na integrál po plo-e ohrani ující objem fázového prostoru, kde je rozd lovací funkce  $f$  rovna nule. Protože p edpokládáme, že síly jsou konservativní, je i t etí len tamtéfl roven nule. Zavedeme nejprve numerickou hustotu ástic  $n$  a hustotu ástic (odpovídá to volb  $\chi=1$  resp.  $\chi=m$ )

$$n = n(\vec{r}, t) = \int f(\vec{r}, \vec{p}, t) \frac{d^3\vec{p}}{(2\pi\hbar)^3} \quad , \quad \rho = \rho(\vec{r}, t) = mn(\vec{r}, t) \quad . \quad (19.77)$$

St ední hodnotu  $n$  jaké veli iny  $A=A(\vec{r}, \vec{p}, t)$  zavedeme standardním zp sobem (argumenty  $(\vec{r}, \vec{p}, t)$  resp.  $(\vec{r}, t)$  ufl nebudeme vypisovat)

$$\langle A \rangle = \frac{\int A f d^3\vec{p}}{\int f d^3\vec{p}} = \frac{1}{n} \int A f \frac{d^3\vec{p}}{(2\pi\hbar)^3} \quad . \quad (19.78)$$

V-imn me si, že  $\langle nA \rangle = n\langle A \rangle$ , nebo  $n$  je pouze funkcí sou adnic a asu, nikoliv hybnosti.

Se zna ením (19.78) m fleme vztah (19.75) s uváfením (19.76) zapsat jako

$$\frac{\partial}{\partial t} \langle n\chi \rangle + \frac{\partial}{\partial x_\alpha} \langle n v_\alpha \chi \rangle = \left\langle n v_\alpha \frac{\partial \chi}{\partial x_\alpha} \right\rangle + \left\langle \frac{n}{m} F_\alpha \frac{\partial \chi}{\partial v_\alpha} \right\rangle \quad . \quad (19.79)$$

Makroskopickou rychlost ozna íme  $\vec{u} = \vec{u}(\vec{r}, t)$

$$\vec{u} = \langle \vec{v} \rangle = \frac{\int \vec{v} f d^3\vec{p}}{\int f d^3\vec{p}} = \frac{1}{n} \int \vec{v} f \frac{d^3\vec{p}}{(2\pi\hbar)^3} \quad . \quad (19.80)$$

Za funkci volíme postupn hmotnost  $m$ , hybnost tepelného pohybu  $m\vec{v}$  a energii  $\varepsilon = (m/2)\vec{v}^2$ . Dostáváme tak

$$\frac{\partial \rho}{\partial t} + \frac{\partial}{\partial x_\alpha} (\rho u_\alpha) = 0 \quad , \quad (19.81)$$

$$\frac{\partial}{\partial t} (\rho u_\alpha) + \frac{\partial \Pi_{\alpha\beta}}{\partial x_\beta} = \frac{\rho}{m} F_\alpha \quad (19.82)$$

a

$$\frac{\partial \theta}{\partial t} + \frac{\partial q_\alpha}{\partial x_\alpha} = \frac{\rho}{m} \vec{F} \cdot \vec{u} \quad . \quad (19.83)$$

V těchto rovnicích

$$\Pi_{\alpha\beta} = \rho \langle v_\alpha v_\beta \rangle \quad , \quad \theta = \frac{1}{2} \rho \langle \vec{v}^2 \rangle \quad , \quad q_\alpha = \frac{1}{2} \rho \langle \vec{v}^2 v_\alpha \rangle \quad . \quad (19.84)$$

Rovnice (19.81) je rovnice kontinuity o zachování hmotnosti. Rovnice (19.82) vyjadřuje zachování hybnosti, tensor  $\Pi_{\alpha\beta}$  je tensorem hustoty toku hybnosti. Je to složka vektoru hybnosti přenášená molekulami za jednotku času jednotkovou plošnou kolmou na osu  $x_\alpha$ . Konečně rovnice (19.84) představuje zákon zachování energie, vektor  $\vec{q}$  je hustota toku energie. Rovnice (19.82) a (19.83) však nejsou vyjádřeny pomocí makroskopických charakteristik.

#### 19.4.2 Aproximace lokální termodynamické rovnováhy

V této části označované jako nultá aproximace zanedbáme disipativní jevy jako je viskozita a tepelná vodivost. Můžeme pak považovat rozdělení v jednotlivých objemových elementech za lokálně rovnovážné. Potom ufl je možné přejít lokální Galileovou transformací z laboratorní soustavy  $K$  do soustavy  $K'$ , pohybující se s daným elementem o v této soustavě je rozdělovací funkce rovnovážným Boltzmannovým rozdělením. Máme tedy

$$\vec{v} = \vec{v}' + \vec{u} \quad (19.85)$$

a pro  $\Pi_{\alpha\beta}$  dostáváme

$$\Pi_{\alpha\beta} = \rho \langle v_\alpha v_\beta \rangle = \rho u_\alpha u_\beta + \rho u_\alpha \underbrace{\langle v'_\beta \rangle}_{=0} + \rho u_\beta \underbrace{\langle v'_\alpha \rangle}_{=0} + \rho \underbrace{\langle v'_\alpha v'_\beta \rangle}_{=\frac{1}{3} \langle v'^2 \rangle \delta_{\alpha\beta}} \quad . \quad (19.86)$$

Dále upravujeme

$$\frac{m}{2} \langle v'^2 \rangle = \frac{3}{2} k_B T \quad \Rightarrow \quad \frac{1}{3} \rho \langle v'^2 \rangle = n k_B T = P \quad , \quad (19.87)$$

takže výsledný výraz pro  $\Pi_{\alpha\beta}$  je

$$\Pi_{\alpha\beta} = \rho u_\alpha u_\beta + P \delta_{\alpha\beta} \quad . \quad (19.88)$$

Při úpravě výrazu pro  $\vec{q}$  použijeme také transformační vztah pro energii

$$\varepsilon = \varepsilon' + m\vec{u} \cdot \vec{v}' + \frac{m}{2}u^2 \quad . \quad (19.89)$$

Po úpravách podobných p edchozím dostáváme

$$\vec{q} = \vec{u} \left( \frac{\rho}{2}u^2 + P + n \langle \varepsilon' \rangle \right) = \vec{u} \left( \frac{\rho}{2}u^2 + P + \frac{\rho}{m}U \right) \quad . \quad (19.90)$$

Ve výrazu (19.90) je  $U$  vnit ní energie. Hustota energie  $\theta$  je po transformaci

$$\theta = \frac{\rho}{m}U + \frac{\rho}{2}u^2 \quad . \quad (19.91)$$

Dosazením (19.88) do (19.82) a (19.90) a (19.91) do (19.83) dostaneme po rozepsání a vhodné lineární kombinaci takto vzniklých rovnic a rovnice (19.81) dostáváme výsledný tvar

$$\frac{\partial \rho}{\partial t} + \vec{\nabla} \cdot (\rho \vec{u}) = 0 \quad , \quad (19.92)$$

$$\frac{\partial \vec{u}}{\partial t} + (\vec{u} \cdot \vec{\nabla})\vec{u} + \frac{1}{\rho} \vec{\nabla} P = \frac{1}{m} \vec{F} \quad (19.93)$$

a

$$\frac{1}{m} \left( \frac{\partial U}{\partial t} + \vec{u} \cdot \vec{\nabla} U \right) + \frac{P}{\rho} \vec{\nabla} \cdot \vec{u} = 0 \quad . \quad (19.94)$$

Rovnice (19.92) a (19.93) jsou standardní tvary rovnice kontinuity a Eulerovy rovnice. Standardní tvar rovnice toku energie, kterou máme zapsánu jako (19.94) je

$$\frac{\partial}{\partial t} \left\{ \rho \left( \frac{u^2}{2} + U_m \right) \right\} + \vec{\nabla} \cdot \left\{ \rho \vec{u} \left( \frac{u^2}{2} + W_m \right) \right\} = 0 \quad , \quad (19.95)$$

kde  $U_m$  je vnit ní energie a  $W_m = U_m + P/\rho$  entalpie jednotkové hmotnosti. Rovnici (19.94) je také mofno p epsat pomocí teploty

$$\tau = k_B T \quad , \quad U = \frac{3}{2} \tau \quad , \quad P = \frac{\rho}{m} \tau \quad (19.96)$$

na

$$\frac{\partial \tau}{\partial t} + \vec{u} \cdot \vec{\nabla} \tau + \frac{2}{3} \tau \vec{\nabla} \cdot \vec{u} = 0 \quad . \quad (19.97)$$

Z rovnic (19.92) a (19.94) plyne, fe v této aproximaci se vřdly jedná o adiabatické d je ó to ostatn napovídá ufl p edpoklad lokální termodynamické rovnováhy. Napí–eme si pro entropii druhou v tu ve tvaru

$$\frac{dS}{dt} = \frac{1}{T} \frac{dU}{dt} - \frac{mP}{T\rho^2} \frac{d\rho}{dt} = \frac{1}{T} \left( \frac{\partial U}{\partial t} + \vec{u} \cdot \vec{\nabla} U \right) - \frac{mP}{T\rho^2} \left( \frac{\partial \rho}{\partial t} + \vec{u} \cdot \vec{\nabla} \rho \right) \quad . \quad (19.98)$$



O významu štotální derivaceø podle času je poznámka k p íkladu v dalším odstavci. Dosadíme-li pak do (19.98) ze shora uvedených rovnic, dostáváme

$$\frac{dS}{dt} = 0 \quad . \quad (19.99)$$

### 19.4.3 P íklady e-ení rovnic nulté aproximace

P íklad 1. Za p edpokladu  $\vec{F} = 0$  p epíše-me rovnice kontinuity a toku energie na

$$\begin{aligned} \frac{\partial \rho}{\partial t} + (\vec{u} \cdot \vec{\nabla}) \rho &= -\rho \vec{\nabla} \cdot \vec{u} \quad , \\ -\frac{3}{2} \frac{\rho}{\tau} \left( \frac{\partial \tau}{\partial t} + (\vec{u} \cdot \vec{\nabla}) \tau \right) &= \rho \vec{\nabla} \cdot \vec{u} \end{aligned} \quad (19.100)$$

a po pod lení rovnic obou faktorem  $\tau^{-3/2}$  se teme, takf e dostaneme

$$\frac{\partial (\rho \tau^{-3/2})}{\partial t} + (\vec{u} \cdot \vec{\nabla}) (\rho \tau^{-3/2}) = 0 \quad . \quad (19.101)$$

Odsud dostáváme, f e podél proudnice platí

$$\frac{\rho}{\tau^{3/2}} = \text{konst.} \quad \Rightarrow \quad \frac{P}{\rho^{5/3}} = \text{konst.} \quad . \quad (19.102)$$

Poznámka: Proudnice  $a$  je parametrizována pomocí parametru  $l$ . Potom pro  $f(t(l), \vec{r}(t(l)))$

$$\frac{df}{dl} = \frac{\partial f}{\partial t} \frac{dt}{dl} + \frac{\partial f}{\partial \vec{r}} \cdot \frac{d\vec{r}}{dt} \frac{dt}{dl} = \left( \frac{\partial f}{\partial t} + \vec{u} \cdot \vec{\nabla} f \right) \frac{dt}{dl} \quad . \quad (19.103)$$

P íklad 2: P i odvození vlnové rovnice pro zvuk p edpokládáme krom  $\vec{F} = 0$  také, f e odchylky hustoty, tlaku a teploty od st edních hodnot a také rychlost  $\vec{u}$  jsou malé veli iny prvního řádu. Ponecháme pak v rovnicích práv jen leny prvního řádu, takf e dostáváme

$$\frac{\partial \delta \rho}{\partial t} + \bar{\rho} \vec{\nabla} \cdot \vec{u} = 0 \quad , \quad (19.104)$$

$$\bar{\rho} \frac{\partial \vec{u}}{\partial t} + \vec{\nabla} \delta P = 0 \quad (19.105)$$

a

$$\delta \tau = \frac{2}{3} \frac{\delta \rho}{\bar{\rho}} \bar{\tau} \quad . \quad (19.106)$$

Rovnice (19.106) svazuje zm ny teploty se zm nou hustoty, takf e m f e uvařlovat o zm n tlaku jako funkci jediné prom nné ó hustoty

$$\delta P = \left. \frac{\partial \bar{P}}{\partial \bar{\rho}} \right|_s \delta \rho \quad . \quad (19.107)$$

Poznámka: Rovnici (19.106) můžeme samozřejmě získat i z termodynamických vztahů

$$\delta T = \left. \frac{\partial T}{\partial V} \right|_s \delta V = - \left. \frac{T}{C_v} \frac{\partial P}{\partial T} \right|_v \delta V = \left. \frac{T}{C_v} \frac{\partial(PV)}{\partial T} \right|_v \frac{\delta \rho}{\rho} \quad , \quad (19.108)$$

což po dosazení  $PV = Nk_B T$  a  $C_v = (3/2)Nk_B$  vede k výsledku. Při úpravě jsme museli uhlíčit identitu

$$\left. \frac{\partial T}{\partial V} \right|_s = \frac{\partial(T, S)}{\partial(V, S)} = \frac{\frac{\partial(T, S)}{\partial(V, T)}}{\frac{\partial(V, S)}{\partial(V, T)}} = - \frac{\left. \frac{\partial S}{\partial V} \right|_T}{\left. \frac{\partial S}{\partial T} \right|_v} = - \frac{T}{C_v} \left. \frac{\partial S}{\partial V} \right|_T \quad (19.109)$$

a

$$\left. \frac{\partial S}{\partial V} \right|_T = - \frac{\partial}{\partial V} \left( \left. \frac{\partial F}{\partial T} \right|_v \right) \Big|_T = - \frac{\partial}{\partial T} \left( \left. \frac{\partial F}{\partial V} \right|_T \right) \Big|_v = \left. \frac{\partial P}{\partial T} \right|_v \quad . \quad (19.110)$$

Dosadíme (19.107) do (19.104), takže máme spolu s (19.105) dvě rovnice pro  $\delta P$  a  $\vec{u}$

$$\begin{aligned} \frac{\partial \delta P}{\partial t} + \bar{\rho} \left. \frac{\partial \bar{P}}{\partial \bar{\rho}} \right|_s \vec{\nabla} \cdot \vec{u} &= 0 \quad , \\ \bar{\rho} \frac{\partial \vec{u}}{\partial t} + \vec{\nabla} \delta P &= 0 \quad . \end{aligned} \quad (19.111)$$

Zavedeme-li potenciál rychlosti  $\vec{u} = \vec{\nabla} \phi$ , dostáváme pro odchylku tlaku  $\delta P = -\bar{\rho} \partial \phi / \partial t$  a pro potenciál vlnovou rovnici

$$\frac{\partial^2 \phi}{\partial t^2} - c^2 \Delta \phi = 0 \quad , \quad c = \left( \left. \frac{\partial \bar{P}}{\partial \bar{\rho}} \right|_s \right)^{1/2} \quad . \quad (19.112)$$

Poslední úpravou je převedení adiabatické derivace na isothermickou derivaci

$$\left. \frac{\partial P}{\partial V} \right|_s = \frac{\partial(P, S)}{\partial(V, S)} = \frac{\frac{\partial(P, S)}{\partial(P, T)}}{\frac{\partial(V, S)}{\partial(V, T)}} = \frac{\left. \frac{\partial S}{\partial T} \right|_P}{\left. \frac{\partial S}{\partial T} \right|_v} \left. \frac{\partial P}{\partial V} \right|_T = \frac{C_p}{C_v} \left. \frac{\partial P}{\partial V} \right|_T \quad , \quad (19.113)$$

takže pro rychlost zvuku dostáváme (platí  $V \partial / \partial V = \rho \partial / \partial \rho$ )

$$c = \left( \frac{C_p}{C_v} \left. \frac{\partial \bar{P}}{\partial \bar{\rho}} \right|_T \right)^{1/2} \quad . \quad (19.114)$$

Příklad 3. Za předpokladu stacionárního proudění a konservativní síly  $\vec{F} = -\vec{\nabla}\phi$  můžeme s využitím identity

$$(\vec{u} \cdot \vec{\nabla})\vec{u} = \frac{1}{2}\vec{\nabla}u^2 - \vec{u} \times (\vec{\nabla} \times \vec{u}) \quad (19.115)$$

podělat rovnici (19.93) na

$$\vec{\nabla} \left( \frac{1}{2}u^2 + \frac{1}{\rho}P + \frac{1}{m}\phi \right) = \vec{u} \times (\vec{\nabla} \times \vec{u}) - \frac{P}{\rho^2}\vec{\nabla}\rho \quad (19.116)$$

Pro nevířivé proudění ( $\vec{\nabla} \times \vec{u} = 0$ ) s homogenní hustotou ( $\vec{\nabla}\rho = 0$ ) dostáváme Bernoulliovu rovnici

$$\vec{\nabla} \left( \frac{1}{2}u^2 + \frac{1}{\rho}P + \frac{1}{m}\phi \right) = 0 \quad (19.117)$$

### 19.5 Srážkový len pro kvantovou statistiku

Pro klasickou statistiku máme pro srážkový len výraz

$$C(f) = \frac{1}{(2\pi\hbar)^3} \int |\vec{v} - \vec{v}_1| (f' f'_1 - f f_1) d\sigma d^3\vec{p}_1 \quad (19.118)$$

pro výměnu v integrandu jsme uhl dosadili za  $\vec{p}'$  a  $\vec{p}'_1$  ze zákon zachování hybnosti a energie (tyto vztahy), takže se integruje jen přes zbývající volné proměnné (z devíti zbylo pět), tj. přes hybnosti  $\vec{p}_1$  a úhel rozptylu ( $d\sigma = g(\vartheta, \varphi) d\Omega$ ).

Pro kvantovou statistiku musíme započítat dostupnost finálních stavů. To vede jen k málo pozměněnému tvaru srážkového lenu

$$C(f) = \frac{1}{(2\pi\hbar)^3} \int |\vec{v} - \vec{v}_1| \left\{ f' f'_1 (1 \pm f)(1 \pm f_1) - f f_1 (1 \pm f')(1 \pm f'_1) \right\} d\sigma d^3\vec{p}_1 \quad (19.119)$$

horní znaménko platí pro Boseho-Einsteinovu, dolní pro Fermiho-Diracovu statistiku. Stejným postupem jako v klasickém případě dojdeme k podmínce rovnováhy

$$\frac{d}{d\varepsilon} \ln \frac{f_0(\varepsilon)}{1 \pm f_0(\varepsilon)} = \text{konst.} \Rightarrow \frac{f_0(\varepsilon)}{1 \pm f_0(\varepsilon)} = \exp \left[ \frac{\mu - \varepsilon(\Gamma)}{k_B T} \right] \quad (19.120)$$

kde integrační konstanty jsme volili podle klasického rozdělení (19.54). Dostáváme tak (opět horní znaménko pro Boseho-Einsteinovu, dolní pro Fermiho-Diracovu statistiku)

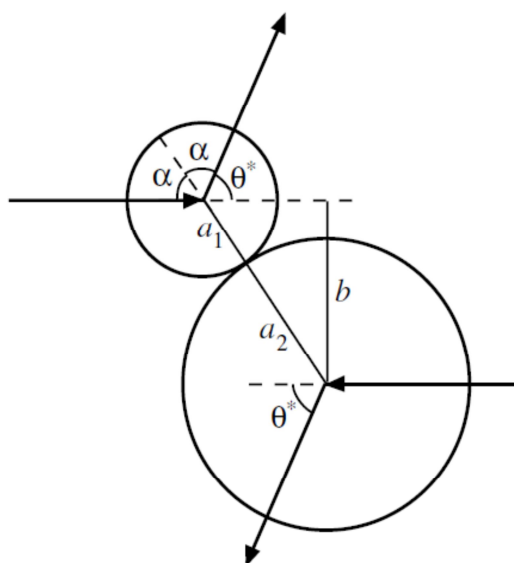
$$f_0(\varepsilon) = \frac{1}{\exp \left[ \frac{\varepsilon(\Gamma) - \mu}{k_B T} \right] \mp 1} \quad (19.121)$$

## 20. Elementární popis transportních jevů

### 20.1 Základní pojmy

#### 20.1.1 Úhinný průřez

Uvažujme o srážce dvou tuhých koulí s poloměry  $a_1, a_2$  a hmotnostmi  $m_1, m_2$ . Na obrázku je zachycena situace v těžiškové soustavě. Diferenciální úhinný průřez  $d\sigma$  je dán



vztahem

$$d\sigma = b |db| d\varphi, \quad (20.1)$$

kde  $b$  je srážkový parametr a  $\varphi$  je azimutální úhel (natočením kolem osy rotační symetrie). Z obrázku je vidět, že

$$b = a \sin \alpha = a \cos \frac{\theta^*}{2}, \quad a = a_1 + a_2. \quad (20.2)$$

Máme tak

$$d\sigma = \frac{1}{4} a^2 d\Omega^*, \quad d\Omega^* = \sin \theta^* d\theta^* d\varphi. \quad (20.3)$$

Po integraci po celém prostorovém úhlu ( $0 \leq \varphi \leq 2\pi$ ,  $0 \leq \theta^* \leq \pi$ ) dostáváme pro celkový úhinný průřez očekávaný výsledek

$$\sigma = \pi a^2. \quad (20.4)$$

Pro přechod do laboratorní soustavy ( $\theta$  je úhel rozptylu první částice, předpokládáme-li, že před srážkou byla druhá částice v klidu) máme známý vztah

$$\operatorname{tg} \theta = \frac{m_2 \sin \theta^*}{m_1 + m_2 \cos \theta^*} . \quad (20.5)$$

Obecně není vyjádření  $\theta^*$  jako funkce  $\theta$  jednoduchý výraz, ale pro  $m_1 = m_2$  je z (9.2) okamžitě  $\theta = \theta^*/2$  a tedy

$$\frac{d\Omega^*}{d\Omega} = 4 \cos \theta \Rightarrow d\sigma = a^2 \cos \theta d\Omega , \quad (20.6)$$

pro  $0 \leq \theta \leq \pi/2$ . V těžiškové soustavě se jeví rozptyl jako izotropní, v laboratorní soustavě ufl tomu tak není a maximální úhel rozptylu je  $\pi/2$ . Celkový úhlný práz je pirozen invariantní veličina, v obou soustavách je to průměrná dvoutýčkající se koulí do roviny obsahující spojnicí středů .

### 20.1.2 Střední hodnoty v Maxwellově rozdělení

Uvažujme o klasické soustavě  $N$  částic uzavřených v objemu  $V$ . Maxwellova rozdělovací funkce pro rychlosti těchto částic je

$$f(\vec{v}) = \left( \frac{m}{2\pi k_B T} \right)^{3/2} \exp \left[ -\frac{mv^2}{2k_B T} \right] . \quad (20.7)$$

Střední hodnotu kinetické energie (vnitřní energie soustavy  $U$ ) spočítáme jako

$$U = N \int \frac{m}{2} v^2 f(\vec{v}) d^3 \vec{v} = \frac{3}{2} N k_B T . \quad (20.8)$$

Výpočet tlaku provedeme jako střední hodnotu hybnosti předané stěnou  $p$  molekulami, které na její jednotkovou plochu dopadnou za jednotku času (pro určitost a je stěna kolmá na osu  $x$ )

$$P = \int_{v_x > 0} \underbrace{2m v_x}_{\Delta p_x} \underbrace{\frac{N}{V} v_x}_{p} f(\vec{v}) d^3 \vec{v} = \frac{N k_B T}{V} . \quad (20.9)$$

Pro transportní jevy mají důležitou střední hodnotu velikosti rychlosti  $v$ , střední hodnota pro tu molekul, které projdou jedním směrem jednotkovou plochou za jednotku času a počet srážek dvou molekul v jednotkovém objemu za jednotku času. Pro střední hodnotu velikosti rychlosti máme podle ke sférickým souřadnicím

$$\langle v \rangle = 4\pi \left( \frac{m}{2\pi k_B T} \right)^{3/2} \int_0^\infty v^3 \exp \left[ -\frac{mv^2}{2k_B T} \right] dv = \left( \frac{8k_B T}{\pi m} \right)^{1/2} . \quad (20.10)$$

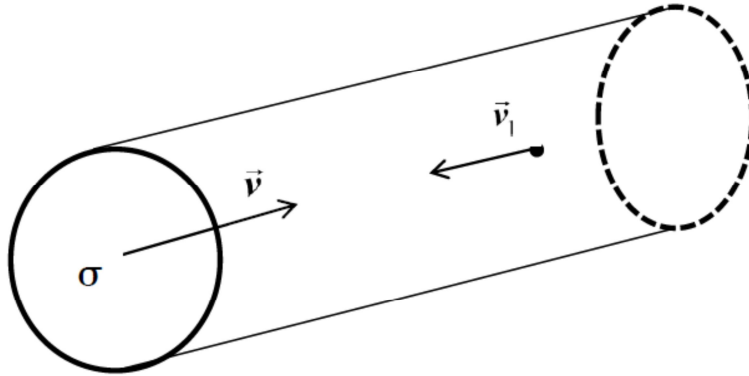
Porovnáním (20.10) a (20.8) dostáváme

$$\langle v \rangle = \left( \frac{8}{3\pi} \right)^{1/2} \langle v^2 \rangle^{1/2} . \quad (20.11)$$

Pro hustotu toku (osa  $z$  bude kolmá na rovinu jednotkové plochy) máme

$$j = \int n v_z f(\vec{v}) d^3 \vec{v} = 2\pi n \left( \frac{m}{2\pi k_B T} \right)^{3/2} \int_0^{\pi/2} \cos \vartheta \sin \vartheta d\vartheta \int_0^{\infty} v^3 \exp \left[ -\frac{m v^2}{2k_B T} \right] dv = \frac{1}{4} n \langle v \rangle . \quad (20.12)$$

Po et sráflek dvou molekul spo teme tak, fle budeme sledovat po et sráflek ur ité referen ní molekuly s pr m tem plochy daným ú inným pr ezem s ostatními molekulami bodových



rozm  $r$  (situace pro sráfleku s jednou dal-í je znázorn na na obrázku). Pohyb obou molekul popí-eme v t fli-ové soustav . Zp sob výpo tu p edpokládá, fle soustava je sloflena z jediného druhu molekul. Zavedeme tedy relativní rychlost a rychlost t fli-t

$$\vec{w} = \vec{v} - \vec{v}_1 , \quad \vec{V} = \frac{1}{2}(\vec{v} + \vec{v}_1) . \quad (20.13)$$

Po et sráflek za jednotku asu je pak

$$Z = \sigma \langle w \rangle n . \quad (20.14)$$

Pravd podobnost sráfleky dvou molekul s rychlostmi  $\vec{v}$  a  $\vec{v}_1$  je

$$\left( \frac{m}{2\pi k_B T} \right)^3 \exp \left[ -\frac{m(v^2 + v_1^2)}{2k_B T} \right] d^3 \vec{v} d^3 \vec{v}_1 . \quad (20.15)$$

Ve slofkách napí-eme transformaci k t fli-ové soustav jako

$$v_k = V_k + \frac{1}{2} w_k , \quad v_{1k} = V_k - \frac{1}{2} w_k . \quad (20.16)$$

Jakobián transformace k novým rychlostem je pro kafdou slofku roven jedné a sou et tverc velikostí rychlostí závisí op t jen na tvercích velikostí

$$J_k = \left| \frac{\partial(v_k, v_{1k})}{\partial(V_k, w_k)} \right| = 1 , \quad v^2 + v_1^2 = 2V^2 + \frac{1}{2} w^2 . \quad (20.17)$$

Můžeme proto pravděpodobnost srážky zapsat jako

$$\left(\frac{m}{2\pi k_B T}\right)^3 \exp\left[-\frac{mV^2}{k_B T}\right] d^3\vec{V} \exp\left[-\frac{mw^2}{4k_B T}\right] d^3\vec{w} \quad . \quad (20.18)$$

Pro střední hodnotu relativní rychlosti dostáváme pak

$$\langle w \rangle = \left(\frac{m}{4\pi k_B T}\right)^{3/2} \int w \exp\left[-\frac{mw^2}{4k_B T}\right] d^3\vec{w} = 4 \left(\frac{k_B T}{\pi m}\right)^{1/2} \quad . \quad (20.19)$$

Porovnání (20.19) a (20.10) vede k výslednému vztahu

$$\langle w \rangle = \sqrt{2} \langle v \rangle \quad , \quad (20.20)$$

takže pro počet srážek za jednotku času máme po dosazení do (20.14)

$$Z = \sqrt{2} \sigma \langle v \rangle n \quad . \quad (20.21)$$

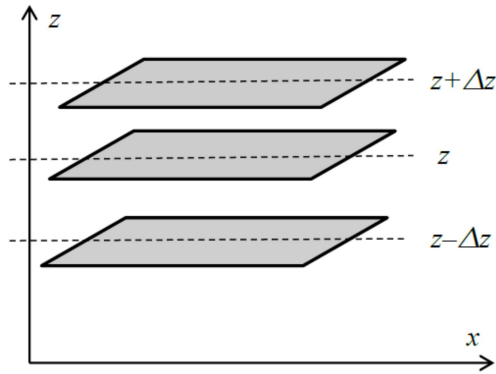
Střední volnou dráhu pak definujeme jako dráhu, kterou molekula urazí za střední dobu mezi srážkami  $\langle v \rangle / Z$ , tedy

$$\ell = \frac{1}{\sqrt{2} \sigma n} \quad . \quad (20.22)$$

Jedná-li se o srážky stejných molekul, započítává vlastně vztah (20.21) každou srážku dvakrát – jako srážku molekuly  $x$  s molekulou  $y$  a srážku molekuly  $y$  s molekulou  $x$  a měli bychom psát pro počet srážek  $Z' = Z/2$ . Potom však také  $\langle v \rangle / Z'$  značí dráhu, kterou urazily molekuly  $x$  a  $y$  za střední dobu mezi srážkami, tedy  $\ell' = 2\ell$  a vztah (20.22) zůstává v platnosti.

## 20.2 Transportní jevy

Pokud je homogenita soustavy narušena, tj. existuje gradient nějaké makroskopické charakteristiky, vzniká makroskopický tok. Na mikroskopické úrovni tento tok vytvářejí molekuly, jejich hybnost a energii. Jednoduchá geometrie, kdy předpokládáme gradient veličiny  $G$  podél osy  $z$  je znázorněna na obrázku. V nejjednodušší aproximaci považujeme rozdělení molekul za Maxwellovo a tok jednotkovou plochou v rovině  $z$  je dán hodnotami  $G$  v pásu  $z \pm \Delta z$ , kde  $\Delta z = (|v_z|/v) \ell$ .



Se teme toky z obou stran

$$\Gamma_-(z) = n \int_{v_z > 0} v_z G\left(z - \frac{|v_z|}{v} \ell\right) f(\vec{v}) d^3 \vec{v} \quad , \quad (20.23)$$

$$\Gamma_+(z) = n \int_{v_z < 0} v_z G\left(z + \frac{|v_z|}{v} \ell\right) f(\vec{v}) d^3 \vec{v}$$

a ponecháme v rozvoji  $G$  jen nejnižší členy, takže pro  $\Gamma = \Gamma_+ + \Gamma_-$  dostáváme

$$\Gamma(z) = G(z) n \underbrace{\int v_z f(\vec{v}) d^3 \vec{v}}_{=0} - \frac{\partial G(z)}{\partial z} n \ell \underbrace{\int \frac{v_z^2}{v} f(\vec{v}) d^3 \vec{v}}_{=\frac{1}{3} \langle v \rangle} \quad . \quad (20.24)$$

Jako výsledek tedy máme vztah mezi tokem veličiny a jejím gradientem

$$\Gamma = -\frac{1}{3} n \langle v \rangle \ell \frac{\partial G}{\partial z} \quad . \quad (20.25)$$

Pro izotropní rozdělení platí  $[\Gamma] = [G] \text{m}^{-2} \text{s}^{-1}$ .

### 20.2.1 Přenos hybnosti a viskozita

V tomto případě máme  $G = mu$ . Pro tok hybnosti je pak

$$\Pi = -\eta \frac{\partial u}{\partial z} \quad , \quad \eta = \frac{1}{3} n m \langle v \rangle \ell \quad . \quad (20.26)$$

Dosadíme-li do vztahu pro viskozitu hodnoty střední velikosti rychlosti a střední volné dráhy, dostáváme

$$\eta = \frac{2}{3\sqrt{\pi}} \frac{(m k_B T)^{1/2}}{\sigma} \quad . \quad (20.27)$$

Kinematická viskozita je  $\nu = \eta / (nm)$ , takže



$$v = \frac{2}{3\sqrt{\pi}} \frac{1}{n\sigma} \left( \frac{k_B T}{m} \right)^{1/2} . \quad (20.28)$$

### 20.2.2 Přenos energie a tepelná vodivost

V tomto případě máme  $G = \langle \varepsilon \rangle = U/N$ . Gradient střední energie je dán gradientem teploty, takže

$$\frac{\partial G}{\partial z} = \frac{1}{N} \frac{\partial U}{\partial z} = \frac{1}{N} \left. \frac{\partial U}{\partial T} \right|_S \frac{\partial T}{\partial z} . \quad (20.29)$$

V obecnosti platí

$$\left. \frac{1}{N} \frac{\partial U}{\partial T} \right|_S = mP \left( \frac{\beta c_p}{\alpha T} - \frac{\alpha}{\rho} \right) , \quad (20.30)$$

kde  $c_p$  je molární tepelná kapacita ( $[c_p] = \text{J kg}^{-1} \text{K}^{-1}$ ),  $\rho$  je hustota ( $[\rho] = \text{kg m}^{-3}$ ) a  $\alpha$  a  $\beta$  jsou koeficienty objemové roztažnosti a stlačitelnosti

$$\alpha = \frac{1}{V} \left. \frac{\partial V}{\partial T} \right|_P , \quad \beta = - \frac{1}{V} \left. \frac{\partial V}{\partial P} \right|_T . \quad (20.31)$$

Pro molární tepelné kapacity platí

$$c_p - c_v = \frac{\alpha^2 T}{\beta \rho} , \quad (20.32)$$

takže lze (20.30) zapsat jako

$$\left. \frac{1}{N} \frac{\partial U}{\partial T} \right|_S = m \frac{P \beta}{T \alpha} c_v . \quad (20.33)$$

V naší aproximaci ovšem platí stavová rovnice ideálního plynu (20.9), takže  $\beta/\alpha = T/P$  a pro tok energie tedy dostáváme

$$Q = -\kappa \frac{\partial T}{\partial z} , \quad \kappa = \frac{1}{3} n m \langle v \rangle \ell c_v . \quad (20.34)$$

Dosadíme-li do vztahu pro tepelnou vodivost hodnoty střední velikosti rychlosti a střední volné dráhy, dostáváme

$$\kappa = \frac{2}{3\sqrt{\pi}} \frac{(m k_B T)^{1/2}}{\sigma} c_v . \quad (20.35)$$

Pro ideální plyn

$$c_p - c_v = \frac{R}{\mu} , \quad (20.36)$$

kde  $R$  je universální plynová konstanta a  $\mu$  je molární hmotnost.

### 20.2.3 P enos ástic ó difuze

Pro výpo et toku ástic musíme výpo et pozmn nit, protože p edpokládáme gradient hustoty ástic. Místo (20.23) pí-eme

$$J_-(z) = \int_{v_z > 0} v_z n \left( z - \frac{|v_z|}{v} \ell \right) f(\vec{v}) d^3 \vec{v} ,$$

$$J_+(z) = \int_{v_z < 0} v_z n \left( z + \frac{|v_z|}{v} \ell \right) f(\vec{v}) d^3 \vec{v} ,$$
(20.37)

takže pro  $J = J_+ + J_-$  dostáváme

$$J = -D \frac{\partial n}{\partial z} , \quad D = \frac{1}{3} \langle v \rangle \ell .$$
(20.38)

Po dosazení st ední velikosti rychlosti a st ední volné dráhy dostáváme

$$D = \frac{2}{3\sqrt{\pi}} \frac{1}{n\sigma} \left( \frac{k_B T}{m} \right)^{1/2} .$$
(20.39)

Zji-ovat experimentáln vlastní difuzi je obtížné (lze to například pomocí isotopového odli-ení), typický je ov-ém p ípad soustavy se dv ma druhy molekul.

### 20.2.4 Porovnání s experimentálními hodnotami

V dané aproximaci by m lo platit

$$\frac{\kappa}{c_V \eta} = 1 , \quad \frac{\nu}{D} = 1 .$$
(20.40)

Uve me jako p íklad suchý vzduch p í tlaku 1 atm a teplot 0 °C, kdy pot ebné hodnoty jsou

$$\kappa = 2,43 \cdot 10^{-2} \text{ J m}^{-1} \text{ s}^{-1} \text{ K}^{-1}$$

$$c_V = c_P - \frac{k_B}{m} = (1005 - 287) \text{ J kg}^{-1} \text{ K}^{-1} = 7,18 \cdot 10^2 \text{ J kg}^{-1} \text{ K}^{-1}$$

$$\eta = 1,72 \cdot 10^{-5} \text{ kg m}^{-1} \text{ s}^{-1} ,$$
(20.41)

takže

$$\frac{\kappa}{c_V \eta} \doteq 1,97 .$$
(20.42)

## 21. Kinetická rovnice pro mírn nehomogenní plyn

### 21.1 Základní pojmy

Uvažujme Boltzmannovu rovnici bez vn j-ích sil

$$\frac{\partial f}{\partial t} + \vec{v} \cdot \vec{\nabla} f = C(f) ,$$
(21.1)

kde srážkový len je

$$C(f) = \int w' (f' f_1' - f f_1) d\Gamma_1 d\Gamma' d\Gamma_1' . \quad (21.2)$$

Používáme zkráceného zna ení

$$\begin{aligned} w(\Gamma', \Gamma_1' | \Gamma, \Gamma_1) &= w , \quad w(\Gamma, \Gamma_1 | \Gamma', \Gamma_1') = w' , \quad f(\vec{q}, \Gamma, t) = f , \\ f(\vec{q}, \Gamma_1, t) &= f_1 , \quad f(\vec{q}, \Gamma', t) = f' , \quad f(\vec{q}, \Gamma_1', t) = f_1' . \end{aligned} \quad (21.3)$$

Vztah mezi pravd podobností p echodu a ú inným pr ezem je

$$w d\Gamma' d\Gamma_1' = |\vec{v} - \vec{v}_1| d\sigma . \quad (21.4)$$

V-ímn me si rozm r jednotlivých veli in. Rozd lovací funkce je bezrozm rná veli ina, proto z (21.1)  $[C(f)] = s^{-1}$ . Ze vztahu (21.4)  $[w(d\Gamma)^2] = m^3 s^{-1}$  a z (21.2) kone n  $[d\Gamma] = m^{-3}$ . Máme tak nap . pro jednoatomové (t i stupn volnosti) a dvouatomové (p t stup volnosti) molekuly

$$d\Gamma = \frac{d^3 \vec{p}}{(2\pi\hbar)^3} , \quad d\Gamma = \frac{d^3 \vec{p} M dM 2\pi d\Omega_{\vec{M}}}{(2\pi\hbar)^5} \quad (21.5)$$

a pro molekuly tvaru trojboké pyramidy se –esti stupni volnosti (nap . pavek  $\text{NH}_3$ )

$$d\Gamma = \frac{d^3 \vec{p} M^2 dM 4\pi^2 d\Omega_{\vec{M}} d\cos\theta}{(2\pi\hbar)^6} . \quad (21.6)$$

V t chto vztazích je  $\vec{M}$  moment hybnosti a  $\theta$  úhel mezi osou symetrie molekuly a sm rem vektoru  $\vec{M}$ .

## 21.2 Charakter p íblifného e-ení

e-ení Boltzmannovy kinetické rovnice budeme hledat ve tvaru

$$f = f_0 + \delta f , \quad \delta f = \frac{f_0}{k_B T} \chi , \quad (21.7)$$

kde  $f_0$  je lokáln rovnovážná rozd lovací funkce a  $\delta f \ll f_0$  malá oprava. Zavedení funkce  $\chi$  není nutné, ale vede k jednodu–ímu tvaru výsledných rovnic. Lokáln rovnovážná rozd lovací funkce je definována tak, fle v daném objemovém elementu konfigura ního prostoru dává správné hodnoty hustoty po tu ástic, energie a hybnosti, tj. platí

$$\int f d\Gamma = \int f_0 d\Gamma , \quad \int \varepsilon f d\Gamma = \int \varepsilon f_0 d\Gamma , \quad \int \vec{p} f d\Gamma = \int \vec{p} f_0 d\Gamma . \quad (21.8)$$

Odsud pak

$$\int f_0 \chi d\Gamma = 0 , \quad \int \varepsilon f_0 \chi d\Gamma = 0 , \quad \int \vec{p} f_0 \chi d\Gamma = 0 . \quad (21.9)$$

Uvážíme-li  $f_0 f_{01} = f_0' f_{01}'$  a to, že  $f_0 = f_0(\Gamma)$ , můžeme se přesunout do prvního řádku opravy zapsat srážkový člen jako

$$C(f) = \frac{f_0}{k_B T} I(\chi) \quad , \quad (21.10)$$

kde srážkový integrál  $I(\chi)$  je

$$I(\chi) = \int w' f_{01} (\chi' + \chi_1' - \chi - \chi_1) d\Gamma_1 d\Gamma_1' \quad . \quad (21.11)$$

Vidíme, že srážkový integrál je roven nule pro  $\chi$  úměrné zachovávajícím se veličinám, tj. pro

$$\chi = \text{konst.} \quad , \quad \chi = \text{konst.} \cdot \varepsilon \quad , \quad \chi = \delta \vec{u} \cdot \vec{p} \quad , \quad (21.12)$$

kde  $\delta \vec{u}$  je konstantní vektor. První dvě změny odpovídají tomu, že malá změna na rovnovážné funkci s konstantní hustotou částic a teplotou také vyhovuje kinetické rovnici, kterou máme totiž

$$\delta f = \frac{\partial f_0}{\partial n} \delta n = f_0 \frac{\delta n}{n} \quad (21.13)$$

a

$$\delta f = \frac{\partial f_0}{\partial T} \delta T = \left( \text{konst.} - \frac{\varepsilon}{k_B T} \right) f_0 \frac{\delta T}{T} \quad . \quad (21.14)$$

První člen na pravé straně (21.14) vznikl derivací normovací konstanty rozdělovací funkce, druhý člen derivací Boltzmannova exponenciálního faktoru. Taktéž u této změny, které je vyjádřením Galileiho principu relativity (je-li rozdělovací funkce s rychlostmi  $\vec{v}$  změnou kinetické rovnice, je také funkce s rychlostmi  $\vec{v} + \delta \vec{u}$  změnou) vzniká derivací Boltzmannova faktoru

$$\delta f = \frac{\partial f_0}{\partial \vec{v}} \cdot \delta \vec{u} = - f_0 \frac{\delta \vec{u} \cdot \vec{p}}{k_B T} \quad . \quad (21.15)$$

Energie je složena z části kinetické a vnitřní (rotace a kmitavý pohyb)

$$\varepsilon(\Gamma) = \frac{m v^2}{2} + \varepsilon_{\text{int}} \quad . \quad (21.16)$$

Boltzmannovo rozdělení (se změnou  $\vec{v} \rightarrow \vec{v} - \vec{u}$ ) má tedy tvar

$$f_0 = \exp \left[ \frac{\mu - \varepsilon(\Gamma)}{k_B T} \right] = \exp \left[ \frac{\mu - \varepsilon_{\text{int}}}{k_B T} \right] \exp \left[ - \frac{m(\vec{v} - \vec{u})^2}{2 k_B T} \right] \quad . \quad (21.17)$$

Ve slabě nehomogenním prostředí funkce  $f_0$  závisí na souřadnicích a pouze prostřednictvím makroskopických charakteristik, jako teploty  $T$ , rychlosti  $\vec{u}$ , tlaku  $P$  (a tedy také chemického potenciálu). Protože gradienty těchto veličin jsou malé, můžeme na levé straně kinetické

rovnice po ítat s rozd lovací funkcí  $f_0$ . Dal-í zjednodu-ení p iná-í nezávislost hledaných kinetických koeficient na rychlosti  $\vec{u}$  (op t Galileiho princip relativity), takže po provedených operacích m fleme vřdy polofit rychlost  $\vec{u}=0$  (nikoliv ov-em její derivace). Pro asovou derivaci máme

$$\left. \frac{\partial f_0}{\partial t} \right|_{\vec{u}=0} = \left\{ \frac{\partial f_0}{\partial T} \frac{\partial T}{\partial t} + \frac{\partial f_0}{\partial P} \frac{\partial P}{\partial t} + \frac{\partial f_0}{\partial \vec{u}} \cdot \frac{\partial \vec{u}}{\partial t} \right\} \Bigg|_{\vec{u}=0}, \quad (21.18)$$

cofi dává

$$\frac{k_B T}{f_0} \left. \frac{\partial f_0}{\partial t} \right|_{\vec{u}=0} = \left\{ \left. \frac{\partial \mu}{\partial T} \right|_P - \frac{\mu - \varepsilon(\Gamma)}{T} \right\} \frac{\partial T}{\partial t} + \left. \frac{\partial \mu}{\partial P} \right|_T \frac{\partial P}{\partial t} + m \vec{v} \cdot \frac{\partial \vec{u}}{\partial t}. \quad (21.19)$$

K úprav vyuffijeme termodynamických vztah

$$\left. \frac{\partial \mu}{\partial T} \right|_P = -s, \quad \left. \frac{\partial \mu}{\partial P} \right|_T = \frac{1}{n}, \quad \mu = w - T s, \quad (21.20)$$

kde  $w$ ,  $s$  a  $1/n$  jsou entalpie, entropie a objem p ípadající na jednu molekulu. Potom p ejde (21.19) na

$$\frac{k_B T}{f_0} \frac{\partial f_0}{\partial t} = \frac{\varepsilon(\Gamma) - w}{T} \frac{\partial T}{\partial t} + \frac{1}{n} \frac{\partial P}{\partial t} + m \vec{v} \cdot \frac{\partial \vec{u}}{\partial t}. \quad (21.21)$$

Úpln stejným postupem dojdeme k

$$\frac{k_B T}{f_0} \vec{v} \cdot \vec{\nabla} f_0 = \frac{\varepsilon(\Gamma) - w}{T} \vec{v} \cdot \vec{\nabla} T + \frac{1}{n} \vec{v} \cdot \vec{\nabla} P + m v_\alpha v_\beta u_{\alpha\beta}, \quad (21.22)$$

kde se p es opakující indexy  $\alpha$  a  $\beta$  se ítá (od 1 do 3) a

$$u_{\alpha\beta} = \frac{1}{2} \left( \frac{\partial u_\alpha}{\partial x_\beta} + \frac{\partial u_\beta}{\partial x_\alpha} \right). \quad (21.23)$$

Poslední len vznikl symetrizací výrazu  $v_\alpha v_\beta \partial u_\beta / \partial x_\alpha = v_\alpha v_\beta u_{\alpha\beta}$ . Máme tedy pro levou stranu Boltzmannovy kinetické rovnice

$$\begin{aligned} \frac{\partial f_0}{\partial t} + \vec{v} \cdot \vec{\nabla} f_0 = \\ \frac{f_0}{k_B T} \left\{ \frac{\varepsilon(\Gamma) - w}{T} \left( \frac{\partial T}{\partial t} + \vec{v} \cdot \vec{\nabla} T \right) + \frac{1}{n} \left( \frac{\partial P}{\partial t} + \vec{v} \cdot \vec{\nabla} P \right) + m v_\alpha \left( \frac{\partial u_\alpha}{\partial t} + v_\beta u_{\alpha\beta} \right) \right\}. \end{aligned} \quad (21.24)$$

### 21.3 Nahrazení asových derivací

Eulerova rovnice

$$\frac{\partial \vec{u}}{\partial t} + (\vec{v} \cdot \vec{\nabla}) \vec{v} = -\frac{1}{\rho} \vec{\nabla} P \xrightarrow{\vec{u}=0} \frac{\partial \vec{u}}{\partial t} = -\frac{1}{nm} \vec{\nabla} P, \quad (21.25)$$

rovnice kontinuity

$$\frac{\partial \rho}{\partial t} + \vec{u} \cdot \vec{\nabla} \rho = -\rho \vec{\nabla} \cdot \vec{u} \xrightarrow{\vec{u}=0} \frac{\partial n}{\partial t} = -n \vec{\nabla} \cdot \vec{u} \quad (21.26)$$

a rovnice časové proměny entropie

$$\frac{ds}{dt} = \frac{\partial s}{\partial t} + \vec{u} \cdot \vec{\nabla} s = 0 \xrightarrow{\vec{u}=0} \frac{\partial s}{\partial t} = 0 \quad (21.27)$$

umožní vyloučit z Boltzmannovy rovnice časové derivace. Do vztahu (21.26) dosadíme za  $n$  ze stavové rovnice ideálního plynu  $n = P/(k_B T)$ , takže dostaneme

$$\frac{1}{P} \frac{\partial P}{\partial t} - \frac{1}{T} \frac{\partial T}{\partial t} = -\vec{\nabla} \cdot \vec{u} \quad (21.28)$$

a rozepsáním rovnice (21.27) pak

$$\frac{\partial s}{\partial t} = \frac{\partial s}{\partial T} \bigg|_P \frac{\partial T}{\partial t} + \frac{\partial s}{\partial P} \bigg|_T \frac{\partial P}{\partial t} = \frac{c_p}{T} \frac{\partial T}{\partial t} - \frac{1}{P} \frac{\partial P}{\partial t} = 0 \quad (21.29)$$

Jestliže je třeba uvážíme, že pro ideální plyn  $c_p - c_v = 1$  (zde se jedná o tepelné kapacity vztažené na jednu molekulu), máme konečně

$$\frac{1}{T} \frac{\partial T}{\partial t} = -\frac{1}{c_v} \vec{\nabla} \cdot \vec{u} \quad , \quad \frac{1}{P} \frac{\partial P}{\partial t} = -\frac{c_p}{c_v} \vec{\nabla} \cdot \vec{u} \quad (21.30)$$

Dosažením z (21.25) a (21.30) do (21.24) dostáváme

$$\frac{\partial f_0}{\partial t} + \vec{v} \cdot \vec{\nabla} f_0 = \frac{f_0}{k_B T} \left\{ \frac{\varepsilon(\Gamma) - w}{T} \vec{v} \cdot \vec{\nabla} T + m v_\alpha v_\beta u_{\alpha\beta} + \frac{w - T c_p - \varepsilon(\Gamma)}{c_v} \text{div} \vec{u} \right\} \quad (21.31)$$

Výraz se výrazně zjednoduší, mžeme-li uvažovat jen případy, kdy  $w = c_p T$  (obecně je  $w = w_0 + \int_0^T c_p dT$ , aditivní konstantu je možno položit rovnu nule, položíme-li nulu energie na nejnižší hladinu  $\varepsilon(\Gamma)$ ). Boltzmannova rovnice tak získává kanonický tvar

$$\frac{\varepsilon(\Gamma) - c_p T}{T} \vec{v} \cdot \vec{\nabla} T + \left[ m v_\alpha v_\beta - \frac{\varepsilon(\Gamma)}{c_v} \delta_{\alpha\beta} \right] u_{\alpha\beta} = I(\chi) \quad (21.32)$$

## 21.4 Kinetické koeficienty

### 21.4.1 Tepelná vodivost

Z rovnice (21.32) ponecháme jen

$$\frac{\varepsilon(\Gamma) - c_p T}{T} \vec{v} \cdot \vec{\nabla} T = I(\chi) \quad (21.33)$$

e-ení budeme hledat ve tvaru

$$\chi = \bar{g}(\Gamma) \cdot \vec{\nabla} T \quad . \quad (21.34)$$

Po dosazení do (21.33) dostaneme rovnici pro  $\bar{g}$ , dal-í rovnice mohou plynout z podmíněk (21.9). Máme tak

$$\frac{\varepsilon(\Gamma) - c_p T}{T} \bar{v} = I(\bar{g}) \quad . \quad (21.35)$$

Pokud se poda í kinetickou rovnicí (21.35) vy e-ít, m fleme z výrazu pro tok energie

$$\vec{q} = \frac{1}{k_B T} \int f_0 \varepsilon \bar{v} (\bar{g} \cdot \vec{\nabla} T) d\Gamma \quad (21.36)$$

ur ít tensor tepelné vodivosti. Rovnice (21.36) ve slofkách je pak

$$q_\alpha = -\kappa_{\alpha\beta} \frac{\partial T}{\partial x_\beta} \quad , \quad \kappa_{\alpha\beta} = -\frac{1}{k_B T} \int f_0 \varepsilon v_\alpha g_\beta d\Gamma \quad . \quad (21.37)$$

Zapo tení isotropie rovnovážného plynu vede k  $\kappa_{\alpha\beta} = \kappa \delta_{\alpha\beta}$ , takže pro tok energie máme

$$\vec{q} = -\kappa \vec{\nabla} T \quad , \quad \kappa = -\int f_0 \varepsilon \bar{v} \cdot \bar{g} d\Gamma \quad . \quad (21.38)$$

Pozd ji uvidíme, jak se dokáfle obecná platnost  $\kappa > 0$ . Pokud by existoval makroskopický pohyb, vztahovaly by se p edchozí výrazy na neuspo ádanou ó disipativní ó ást pohybu, psali bychom tedy pro odli-ení místo  $\vec{q}$  t eba  $\vec{q}'$ . Protofle je  $\bar{g} = \bar{g}(\Gamma)$ , m fle být v obecnosti  $\bar{v} \cdot \bar{g}$  funkcí t í skalárních prom nných

$$\begin{aligned} \bar{v} \cdot \bar{g} &= (\bar{v} \cdot \bar{g}) (\bar{v}^2, \bar{v} \cdot \vec{M}, \vec{M}^2) \equiv (\bar{v} \cdot \bar{g})(\gamma) \Rightarrow \\ \bar{g} &= \bar{v} g_1(\gamma) + \vec{M} (\bar{v} \cdot \vec{M}) g_2(\gamma) \bar{v} + (\bar{v} \times \vec{M}) g_3(\gamma) \quad , \end{aligned} \quad (21.39)$$

tak aby p í prostorové inverzi vektor  $\bar{g}$  m nil znaménko (to je nutné, pokud není plyn tvo en molekulami se stereoizomerií. Pro jednoatomový plyn bude p írozen  $\bar{g} = \bar{v} g(v)$ ).

#### 21.4.2 Viskozita

Z rovnice (21.32) ponecháme jen

$$\left[ m v_\alpha v_\beta - \frac{\varepsilon(\Gamma)}{c_v} \delta_{\alpha\beta} \right] u_{\alpha\beta} = I(\chi) \quad (21.40)$$

a levou stranu upravíme do tvaru

$$m v_\alpha v_\beta \left[ u_{\alpha\beta} - \frac{1}{3} \delta_{\alpha\beta} \vec{\nabla} \cdot \vec{u} \right] + \left[ \frac{1}{3} m v^2 - \frac{\varepsilon(\Gamma)}{c_v} \right] \vec{\nabla} \cdot \vec{u} = I(\chi) \quad . \quad (21.41)$$

Připome me si, že  $\vec{\nabla} \cdot \vec{u} \equiv u_{\alpha\alpha}$ . Symetrizace výraz ve (21.41) odpovídá vyjádření toku hybnosti pomocí tensoru makroskopického a tepelného toku

$$\Pi_{\alpha\beta} = P \delta_{\alpha\beta} + \rho u_{\alpha} u_{\beta} - \Pi'_{\alpha\beta} \quad , \quad (21.42)$$

kde tensor  $\Pi'_{\alpha\beta}$  obsahuje dva koeficienty viskozity

$$\Pi'_{\alpha\beta} = 2\eta \left[ u_{\alpha\beta} - \frac{1}{3} \delta_{\alpha\beta} \vec{\nabla} \cdot \vec{u} \right] + \zeta \delta_{\alpha\beta} \vec{\nabla} \cdot \vec{u} \quad . \quad (21.43)$$

V nestlačitelné tekutině se projevuje pouze první koeficient viskozity, druhý koeficient viskozity se projeví jen při pohybu tekutiny s nenulovou divergencí makroskopické rychlosti  $\vec{\nabla} \cdot \vec{u} \neq 0$ .

Pro výpočet prvního koeficientu položíme tedy ve druhém sčítanci na levé straně (21.41)

$\vec{\nabla} \cdot \vec{u} = 0$ , zatímco v prvním členu provedeme malou záměnu značení, takže dostáváme

$$m \left[ v_{\alpha} v_{\beta} - \frac{1}{3} \delta_{\alpha\beta} v^2 \right] u_{\alpha\beta} = I(\chi) \quad . \quad (21.44)$$

člen hledáme ve tvaru

$$\chi = g_{\alpha\beta}(\Gamma) u_{\alpha\beta} \quad , \quad g_{\alpha\beta} = g_{\beta\alpha} \quad , \quad g_{\alpha\alpha} = 0 \quad . \quad (21.45)$$

Vlastnosti tensoru  $g$  plynou z vlastností tensoru  $u$ , nebo vyjdeme-li z obecného tensoru druhého řádu, máme

$$t_{\alpha\beta} u_{\alpha\beta} = t_{\alpha\beta}^s u_{\alpha\beta} + \underbrace{t_{\alpha\beta}^A}_{=0} u_{\alpha\beta} = \underbrace{\left( t_{\alpha\beta}^s - \frac{1}{3} \delta_{\alpha\beta} t_{\gamma\gamma} \right)}_{g_{\alpha\beta} u_{\alpha\beta}} u_{\alpha\beta} + \underbrace{\frac{1}{3} t_{\gamma\gamma} u_{\alpha\alpha}}_{=0} = g_{\alpha\beta} u_{\alpha\beta} \quad . \quad (21.46)$$

Po dosazení (21.45) do (21.44) máme rovnici

$$m \left[ v_{\alpha} v_{\beta} - \frac{1}{3} \delta_{\alpha\beta} v^2 \right] = I(g_{\alpha\beta}) \quad (21.47)$$

a případně další rovnice, plynoucí z podmínek (21.9). Pro tok hybnosti máme

$$\Pi'_{\alpha\beta} = -\frac{m}{k_B T} \int v_{\alpha} v_{\beta} f_0 \chi d\Gamma = \eta_{\alpha\beta\gamma\delta} u_{\alpha\beta} \quad , \quad (21.48)$$

kde

$$\eta_{\alpha\beta\gamma\delta} = -\frac{m}{k_B T} \int f_0 v_{\alpha} v_{\beta} g_{\gamma\delta} d\Gamma \quad . \quad (21.49)$$

Tensor je symetrický v dvojici indexů  $\alpha\beta$ , a dvojici  $\gamma\delta$ , a je roven nule při zúžení v  $\alpha = \beta$  nebo  $\gamma = \delta$ . Pofladujeme-li navíc isotropii, máme pro  $\eta_{\alpha\beta\gamma\delta}$  jednoznačné vyjádření pomocí Kroneckerova symbolu



$$\eta_{\alpha\beta\gamma\delta} = \eta \left[ \delta_{\alpha\gamma} \delta_{\beta\delta} + \delta_{\alpha\delta} \delta_{\beta\gamma} - \frac{2}{3} \delta_{\alpha\beta} \delta_{\gamma\delta} \right] . \quad (21.50)$$

Potom je  $\Pi'_{\alpha\beta} = 2\eta u_{\alpha\beta}$ , takže je hledaný první koeficient viskozity

$$\eta = -\frac{m}{10k_B T} \int f_0 v_\alpha v_\beta g_{\alpha\beta} d\Gamma . \quad (21.51)$$

Faktor 10 vznikl zúfiením  $\eta_{\alpha\beta\alpha\beta} = \delta_{\alpha\alpha} \delta_{\beta\beta} + (\delta_{\alpha\beta} \delta_{\beta\alpha})/3$ . Na první pohled p ekvapivé je, fle tensor (21.50) je roven nule i p i zúfiení v první dvojici index , to ov-em plyne z požadavku isotropie, nebo  $\Pi'_{\alpha\alpha} = 2\eta u_{\alpha\alpha} = 0$ . V jednoatomovém plynu je výraz pro  $g_{\alpha\beta}$  velmi jednoduchý (na rozdíl od obecného p ípadu)

$$g_{\alpha\beta} = \left( v_\alpha v_\beta - \frac{1}{3} \delta_{\alpha\beta} v^2 \right) g(v) . \quad (21.52)$$

P i výpo tu druhého koeficientu viskozity máme

$$\left[ \frac{1}{3} m v^2 - \frac{\varepsilon(\Gamma)}{c_v} \right] \vec{\nabla} \cdot \vec{u} = I(\chi) \Rightarrow \chi = g(\Gamma) \vec{\nabla} \cdot \vec{u} \quad (21.53)$$

a tedy

$$\frac{1}{3} m v^2 - \frac{\varepsilon(\Gamma)}{c_v} = I(g) . \quad (21.54)$$

Pro tok hybnosti máme

$$\Pi'_{\alpha\beta} = -\frac{m}{k_B T} \int v_\alpha v_\beta f_0 \chi d\Gamma = \zeta_{\alpha\beta} \vec{\nabla} \cdot \vec{u} , \quad (21.55)$$

kde

$$\zeta_{\alpha\beta} = -\frac{m}{k_B T} \int v_\alpha v_\beta f_0 g d\Gamma . \quad (21.56)$$

P i vyjád ení druhého koeficientu viskozity ve vztahu  $\Pi'_{\alpha\beta} = \zeta_{\alpha\beta} \vec{\nabla} \cdot \vec{u}$  dostaneme porovnáním (p i zúfiení v indexech) s (21.56)

$$\zeta = -\frac{m}{3k_B T} \int v^2 f_0 g d\Gamma . \quad (21.57)$$

Pro jednoatomový plyn je  $\zeta = 0$  ó v rovnici (21.54) je  $\varepsilon(\Gamma) = (m v^2)/2$  a  $c_v = 3/2$ , odtud  $g = 0$ .

## 22. Symetrie kinetických koeficient

### 22.1 Teorie fluktuací

Zopakujeme zde základní pojmy, uvedené již v kapitole 17. Odchylku soustavy od rovnovážného stavu charakterizujeme pomocí parametr  $x_1, \dots, x_n$ , o nichž zpravidla předpokládáme, že jejich statistická střední hodnota je rovna nule. Entropie soustavy v nerovnovážném stavu se od maximální hodnoty ve stavu rovnovážném liší o

$$\frac{\Delta S}{k_B} = -\frac{1}{2} \beta_{ik} x_i x_k, \quad (22.1)$$

kde  $\beta_{ik}$  je symetrická pozitivně definitní kvadratická forma. Pravděpodobnost nalezení hodnot parametrů v intervalech  $(x_1, x_1 + dx_1), \dots, (x_n, x_n + dx_n)$  je

$$w dx_1 \dots dx_n = \frac{\exp\left[\frac{\Delta S}{k_B}\right] dx_1 \dots dx_n}{\int \dots \int \exp\left[\frac{\Delta S}{k_B}\right] dx_1 \dots dx_n}. \quad (22.2)$$

Zavedeme dalších  $n$  funkcí parametrů

$$X_i = -\frac{1}{k_B} \frac{\partial S}{\partial x_i} = \beta_{ik} x_k. \quad (22.3)$$

Můžeme pak vyjádřit odchylku entropie pomocí parametrů  $X$ , nebo

$$x_i = (\beta^{-1})_{ik} X_k \Rightarrow \frac{\Delta S}{k_B} = -\frac{1}{2} (\beta^{-1})_{ik} X_i X_k. \quad (22.4)$$

Víme si, že z (22.2) a (22.3) plyne

$$X_k = -\frac{\partial \ln w}{\partial x_k}. \quad (22.5)$$

Tohoto vztahu využijeme při výpočtu střední hodnoty

$$\begin{aligned} \langle x_i X_k \rangle &= \int \dots \int x_i X_k w dx_1 \dots dx_n = - \int \dots \int x_i \frac{\partial \ln w}{\partial x_k} w dx_1 \dots dx_n = \\ &= - \int \dots \int \underbrace{x_i \frac{\partial w}{\partial x_k} dx_k}_{-\int \delta_{ik} w dx_k} \underbrace{dx_1 \dots dx_n}_{\cancel{dx_k}} = \delta_{ik}. \end{aligned} \quad (22.6)$$

Dosažením do tohoto vztahu z (22.3) nebo (22.4) dostaneme další potřebné výrazy. Souhrnem tedy máme (vztah 17.53)

$$\langle x_i X_k \rangle = \delta_{ik}, \quad \langle X_i X_k \rangle = \beta_{ik}, \quad \langle x_i x_k \rangle = (\beta^{-1})_{ik}. \quad (22.7)$$

## 22.2 časová korelace fluktuací

Mezi hodnotami parametru soustavy  $x(t)$  v různých časech existuje jistá korelace, kterou stejně jako u prostorových korelací můžeme charakterizovat stejnými hodnotami součinu  $\langle x(t)x(t') \rangle$ . Stejnou hodnotu chápeme jako statistickou střední hodnotu, tj. počítáme s pravděpodobnostmi všech hodnot, kterých může parametr  $x$  nabývat v čase  $t$  a v čase  $t'$ . To je ekvivalentní počítání časové střední hodnoty (např. pro  $t$  s pevně daným rozdílem  $t-t'$ ). Budeme tedy psát

$$\varphi(t-t') = \langle x(t')x(t) \rangle = \langle x(t)x(t') \rangle = \varphi(t'-t) \quad (22.8)$$

Zvolíme-li  $t'=0$  a označíme-li  $x(0)=x$ , dostaneme

$$\varphi(t) = \langle x x(t) \rangle, \quad \varphi(t) = \varphi(-t) \quad (22.9)$$

Je-li parametr  $x(t)$  velký ve srovnání se střední hodnotou fluktuace, bude se soustava vracet k rovnováze v prvním přiblížení podle lineárního vztahu

$$\frac{dx}{dt} = -\lambda x \quad (22.10)$$

Zavedeme tedy veličinu  $\xi_x(t)$  jako střední hodnotu parametru  $x(t)$  v čase  $t>0$  podmínkou tím, že v čase  $t=0$  nabývá parametr hodnot  $x$ . Potom můžeme korelační funkci zapsat jako

$$\varphi(t) = \langle x \xi_x(t) \rangle, \quad (22.11)$$

kde střední hodnotu počítáme ufl jen podle pravděpodobnostního rozložení  $x$  v  $t=0$ . Stejnou hodnotu rovnosti (22.10) zapíšeme jako

$$\frac{d\xi_x}{dt} = -\lambda \xi_x \Rightarrow \xi_x(t) = x \exp[-\lambda t], \quad t > 0 \quad (22.12)$$

Pro  $t < 0$  počítáme  $\xi_x(t)$  podmínkou tím, že parametr nabude v  $t=0$  hodnot  $x$ . Je tedy

$$\xi_x(t) = x \exp[-\lambda |t|] \quad (22.13)$$

a

$$\varphi(t) = \langle x^2 \rangle \exp[-\lambda |t|] = \frac{1}{\beta} \exp[-\lambda |t|] \quad (22.14)$$

(Druhá rovnost vychází z vyjádření  $\Delta S/k_B = -\beta x^2/2$ .)

Zobecnění pro více parametrů je přímé. Tak místo (22.8) máme

$$\varphi_{ik}(t-t') = \langle x_i(t')x_k(t) \rangle = \langle x_k(t)x_i(t') \rangle = \varphi_{ki}(t'-t) \quad (22.15)$$

neboli pro  $t' = 0$

$$\varphi_{ik}(t) = \varphi_{ki}(-t) \quad . \quad (22.16)$$

Pokud se soustava nenachází v magnetickém poli nebo nerotuje jako celek (vektory indukce magnetického pole  $\vec{B}$  a úhlové rychlosti  $\vec{\Omega}$  jsou axiální vektory), existuje symetrie pohybových rovnic vzhledem k záměně času, která nám dá další relace. Nezávisí totiž na tom, který z parametrů bereme při výpočtu stacionární hodnoty dříve a který později. Pokud ani oba parametry nemění při transformaci  $t \rightarrow -t$  znaménko nebo naopak oba znaménka mění, máme

$$\langle x_i(t') x_k(t) \rangle = \langle x_i(t) x_k(t') \rangle \Rightarrow \varphi_{ik}(t) = \varphi_{ik}(-t) \quad . \quad (22.17)$$

Spolu s (22.16) tak máme

$$\varphi_{ik}(t) = \varphi_{ki}(t) \quad . \quad (22.18)$$

Pokud mění při transformaci  $t \rightarrow -t$  znaménko jen jeden z parametrů, máme

$$\langle x_i(t') x_k(t) \rangle = -\langle x_i(t) x_k(t') \rangle \Rightarrow \varphi_{ik}(t) = -\varphi_{ik}(-t) \quad . \quad (22.19)$$

Opět s uvážením (22.16) máme v tomto případě

$$\varphi_{ik}(t) = -\varphi_{ki}(t) \quad . \quad (22.20)$$

Podobně jako v jednorozměrném případě máme

$$\frac{dx_i}{dt} = -\lambda_{ik} x_k \quad (22.21)$$

a také

$$\frac{d\xi_i}{dt} = -\lambda_{ik} \xi_k \quad , \quad (22.22)$$

kde  $\xi_i(t)$  je stacionární hodnota parametru  $x_i(t)$  vase  $t > 0$  podmíněná tím, že vase  $t = 0$  nabývají parametry hodnot  $x_1, \dots, x_n$ . Pak pro korelační funkci  $\varphi_{ik}(t) = \langle \xi_i(t) x_k \rangle$  dostáváme rovnici

$$\frac{d\varphi_{ik}}{dt} = -\lambda_{ik} \varphi_{ik} \quad , \quad t > 0 \quad . \quad (22.23)$$

ením je (v maticovém zápisu)

$$\check{\phi} = \check{\phi}(0) \exp[-\check{\lambda}|t|] \quad , \quad \check{\phi}(0) = (\langle x_i x_k \rangle) = \check{\beta}^{-1} \quad . \quad (22.24)$$

### 22.3 Onsager v princip

Dosadíme do pravé strany rovnice (22.21) z (22.3) a dostáváme

$$\frac{dx_i}{dt} = -\gamma_{ik} X_k \quad , \quad \gamma_{ik} = \lambda_{il} (\beta^{-1})_{lk} \quad . \quad (22.25)$$

Podle Onsagerova principu platí

$$\gamma_{ik} = \gamma_{ki} \quad . \quad (22.26)$$

P i dokazování uvidíme, že je potřeba Onsager v principu ve tvaru (22.26) zpřesnit. Označme  $\xi_i(t)$  a  $\Xi_k(t)$  stacionární hodnoty veličin  $x_i$  a  $X_k$  v asymptotě  $t > 0$  podmíněné tím, že v asymptotě  $t = 0$  nabývají parametry  $x$  hodnot  $x_1, \dots, x_n$ , potom máme z (22.25)

$$\frac{d\xi_i}{dt} = -\gamma_{ik} \Xi_k \quad , \quad t > 0 \quad . \quad (22.27)$$

Z (22.27) (zároveň na  $t' \rightarrow t, t \rightarrow 0$ ) máme

$$\langle x_i(t) x_k \rangle = \langle x_i x_k(t) \rangle \quad (22.28)$$

a také

$$\langle \xi_i(t) x_k \rangle = \langle x_i \xi_k(t) \rangle \quad , \quad (22.29)$$

kdy stacionární hodnota se po  $t \rightarrow 0$  určuje jen podle pravděpodobnostního rozdělení parametrů  $x$  v asymptotě  $t = 0$ . Derivací (22.29) podle času a dosazením z (22.27) dostáváme

$$\gamma_{il} \underbrace{\langle X_l x_k \rangle}_{\delta_{lk}} = \gamma_{kl} \underbrace{\langle X_l x_i \rangle}_{\delta_{li}} \quad , \quad (22.30)$$

což je Onsager v vztah (22.26). Jíždíme vidět, že je třeba zpřesnit tento vztah, pokud se soustava nachází v magnetickém poli nebo rotuje jako celek, potom

$$\gamma_{ik}(\vec{B}, \vec{\Omega}) = \gamma_{ki}(-\vec{B}, -\vec{\Omega}) \quad . \quad (22.31)$$

Jestliže p i inverzi času jeden z parametrů  $x$  má záporné znaménko a druhý nikoliv, můžeme vztah (22.28) na  $\langle x_i(t) x_k \rangle = -\langle x_i x_k(t) \rangle$ , což vede k výslednému vztahu

$$\gamma_{ik}(\vec{B}, \vec{\Omega}) = -\gamma_{ki}(-\vec{B}, -\vec{\Omega}) \quad . \quad (22.32)$$

## 22.4 Symetrie kinetických koeficientů

Stejně úvahy, které vedou k Onsagerovu principu, vedou také k důkladnému případu symetrie koeficientů  $\zeta$  v relaxačních rovnicích

$$\frac{dX_a}{dt} = -\zeta_{ab} x_b \quad , \quad \zeta_{ab} = \beta_{ac} \lambda_{cb} \quad . \quad (22.33)$$

Derivace entropie podle času je

$$\frac{1}{k_B} \frac{dS}{dt} = -\frac{dx_a}{dt} X_a = \gamma_{ab} X_a X_b \quad . \quad (22.34)$$

Z hydrodynamických rovnic máme

$$\frac{1}{k_B} \frac{dS}{dt} = \int \left\{ \Pi'_{\alpha\beta} \frac{1}{k_B T} u_{\alpha\beta} - q'_\alpha \frac{1}{k_B T^2} \frac{\partial T}{\partial x_\alpha} \right\} dV \quad . \quad (22.35)$$

Pro tepelnou vodivost bude

$$\dot{x}_a = q'_\alpha \quad , \quad X_a = \frac{1}{k_B T^2} \frac{\partial T}{\partial x_\alpha} \quad , \quad (22.36)$$

takže

$$q'_\alpha = -\kappa_{\alpha\beta} \frac{\partial T}{\partial x_\beta} \quad \Rightarrow \quad \gamma_{ab} = k_B T^2 \kappa_{\alpha\beta} \quad (22.37)$$

a z Onsagerova principu

$$\kappa_{\alpha\beta} = \kappa_{\beta\alpha} \quad . \quad (22.38)$$

Pro viskozitu bude

$$\dot{x}_a = \Pi'_{\alpha\beta} \quad , \quad X_a = -\frac{1}{k_B T} u_{\alpha\beta} \quad , \quad (22.39)$$

takže

$$\Pi'_{\alpha\beta} = \eta_{\alpha\beta\gamma\delta} u_{\gamma\delta} \quad \Rightarrow \quad \gamma_{ab} = k_B T \eta_{\alpha\beta\gamma\delta} \quad (22.40)$$

a z Onsagerova principu

$$\eta_{\alpha\beta\gamma\delta} = \eta_{\gamma\delta\alpha\beta} \quad . \quad (22.41)$$

Symetrii kinetických koeficient (22.38) a (22.41) jsme v předchozí kapitole získali z předpokladu isotropie plynu. Ukážeme teď, že tato symetrie plyne pouze z vlastností řešení Boltzmannovy kinetické rovnice. Opravu k rovnováženému rozdělovací funkci hledáme ve tvaru

$$\chi = g_a(\Gamma) X_a \quad , \quad (22.42)$$

kde funkce  $g_a(\Gamma)$  splňuje rovnici

$$L_a = I(g_a) \quad . \quad (22.43)$$

Velikiny  $L_a$  mohou být například komponentami vektoru jako v případě tepelné vodivosti

$$L_a = k_B T [\varepsilon(\Gamma) - c_P T] v_\alpha \quad (22.44)$$

nebo složkami tensoru jako v případě viskozity

$$L_a = -k_B T \left[ m v_\alpha v_\beta - \frac{\varepsilon(\Gamma)}{c_V} \delta_{\alpha\beta} \right] \quad . \quad (22.45)$$

P irozeným pofladavkem na  $g_a(\Gamma)$  jsou podmínky plynoucí ze zákon zachování

$$\int f_0 g_a d\Gamma = 0 \quad , \quad \int \varepsilon f_0 g_a d\Gamma = 0 \quad , \quad \int \vec{p} f_0 g_a d\Gamma = 0 \quad . \quad (22.46)$$

Kinetické koeficienty m fleme zapsat jako

$$(k_B T)^2 \gamma_{ab} = - \int f_0 L_a g_b d\Gamma \quad . \quad (22.47)$$

Symetrie kinetických koeficient tedy znamená, fle platí

$$\int f_0 L_a g_b d\Gamma = \int f_0 L_b g_a d\Gamma \quad (22.48)$$

neboli podle (22.43)

$$\int f_0 I(g_a) g_b d\Gamma = \int f_0 I(g_b) g_a d\Gamma \quad . \quad (22.49)$$

Musíme tedy dokázat, fle operátor  $I$  je symetrický. Uvaflujme tedy integrál

$$\int f_0 \varphi I(\psi) d\Gamma = \int f_0 f_{01} w' \varphi (\psi' + \psi'_1 - \psi - \psi_1) d^4\Gamma \quad (22.50)$$

S libovolnými funkcemi  $\varphi = \varphi(\Gamma)$  a  $\psi = \psi(\Gamma)$ . Integrace podle v-ech prom nných

$d^4\Gamma = d\Gamma'_1 d\Gamma' d\Gamma_1 d\Gamma$  umofl uje vhodnými zám nami zapsat pravou stranu (22.50)

v symetrickém tvaru ó nejprve  $\Gamma, \Gamma' \leftrightarrow \Gamma_1, \Gamma'_1$  a potom v obou výrazech  $\Gamma, \Gamma_1 \leftrightarrow \Gamma', \Gamma'_1$ .

Dostáváme tak

$$\begin{aligned} \int f_0 \varphi I(\psi) d^4\Gamma = \\ \frac{1}{4} \int f_0 f_{01} \left[ w'(\varphi + \varphi_1) - w(\varphi' + \varphi'_1) \right] (\psi' + \psi'_1 - \psi - \psi_1) d^4\Gamma \quad . \end{aligned} \quad (22.51)$$

P ípome me, fle

$$w = w(\Gamma', \Gamma'_1 | \Gamma, \Gamma_1) = w(\Gamma^T, \Gamma_1^T | \Gamma'^T, \Gamma_1'^T) \quad , \quad w' = w(\Gamma, \Gamma_1 | \Gamma', \Gamma'_1) = w(\Gamma'^T, \Gamma_1'^T | \Gamma^T, \Gamma_1^T) \quad ,$$

$$w = |\vec{v} - \vec{v}'| d\sigma \quad , \quad \int w d\Gamma' d\Gamma'_1 = \int w' d\Gamma d\Gamma_1 \quad ,$$

$$f_0(\Gamma) = f_0(\Gamma^T) \quad , \quad f_0(\Gamma_1) = f_0(\Gamma_1^T) \quad , \quad f_0(\Gamma) f_0(\Gamma_1) = f_0(\Gamma') f_0(\Gamma'_1) \quad .$$

Tyto vztahy popisují princip detailní rovnováhy, vztah mezi pravd podobností sráflky a ú inným pr ezem, podmínku unitárnosti a invarianci rovnovážné rozd lovací funkce. Kdyby prom nnými typu byly pouze hybnosti, je d kaz proveden, nebo platí

$$w(\vec{p}', \vec{p}'_1 | \vec{p}, \vec{p}_1) = w(\vec{p}, \vec{p}_1 | \vec{p}', \vec{p}'_1) \quad .$$

V obecném p ípad musíme integrál (22.51) spo ítat také tak, fle funkce  $\varphi = \varphi(\Gamma)$  a  $\psi = \psi(\Gamma)$  nahradíme funkcemi  $\psi^T = \psi(\Gamma^T)$  a  $\varphi^T = \varphi(\Gamma^T)$ . Ostatní

leny v integrálu se nezm ní, jenom pravd podobností zapí-eme v prom nných s asovou inverzí s pomocí vý-e uvedených vztah , takfle máme

$$\begin{aligned} \int f_0 \psi^T I(\varphi^T) d^4\Gamma &= \\ \frac{1}{4} \int f_0 f_{01} \left[ w(\psi^T + \psi_1^T) - w'(\psi'^T + \psi_1'^T) \right] (\varphi'^T + \varphi_1'^T - \varphi^T - \varphi_1^T) d^4\Gamma^T &. \end{aligned} \quad (22.52)$$

Te ov-em m fleme v dal-ím index  $T$  u prom nných typu  $\Gamma^T$  v integrálu na pravé stran (22.52) vynechat, protože zna í jen prom nné, p es které se integruje

$$\begin{aligned} \int f_0 \psi^T I(\varphi^T) d^4\Gamma &= \\ \frac{1}{4} \int f_0 f_{01} \left[ w(\psi + \psi_1) - w'(\psi' + \psi_1') \right] (\varphi' + \varphi_1' - \varphi - \varphi_1) d^4\Gamma &. \end{aligned} \quad (22.53)$$

P i porovnání pravých stran vztah (22.51) a (22.53) vyuffijeme je-t vlastnost unitárnosti

$$\int \underbrace{f_0 f_{01} (\psi + \psi_1) (\varphi - \varphi_1)}_{f(\Gamma, \Gamma_1)} w d^4\Gamma = \int \underbrace{f_0 f_{01} (\psi + \psi_1) (\varphi - \varphi_1)}_{f(\Gamma, \Gamma_1)} w' d^4\Gamma \quad (22.54)$$

a

$$\int \underbrace{f_0' f_{01}' (\psi' + \psi_1') (\varphi' + \varphi_1')}_f w' d^4\Gamma = \int \underbrace{f_0' f_{01}' (\psi' + \psi_1') (\varphi' + \varphi_1')}_f w d^4\Gamma \quad (22.55)$$

Dostáváme tak výsledek

$$\int f_0 \varphi I(\psi) d^4\Gamma = \int f_0 \psi^T I(\varphi^T) d^4\Gamma \quad (22.56)$$

Nyní se vrátíme od obecného výsledku k výraz m pro kinetické koeficienty. Pro operátory  $L_a$  dostáváme p i asové inverzi

$$L_a(\Gamma^T) = \pm L_a(\Gamma) \quad , \quad (22.57)$$

horní znaménko platí například pro viskozitu, dolní pro tepelnou vodivost. N kolika postupnými kroky, zahrnujícími jak uffití (22.43), (22.57) a (22.56), vlastnosti rovnovážné rozdlovací funkce  $f_0 = f_0^T$  a kone n prostého p ezna ení integra ní prom nné  $\Gamma \leftrightarrow \Gamma^T$  dostáváme

$$\begin{aligned} \int f_0 g_b L_a(\Gamma) d\Gamma &= \pm \int f_0 g_b^T I(g_a) d\Gamma^T = \pm \int f_0 g_a^T I(g_b) d\Gamma^T = \\ \pm \int f_0 g_a^T L_b(\Gamma) d\Gamma^T &= \pm \int f_0 g_a L_b(\Gamma^T) d\Gamma = \int f_0 g_a L_b(\Gamma) d\Gamma \quad . \end{aligned} \quad (22.58)$$

Je tedy kone n symetrie kinetických koeficient (22.48) resp. (22.49) dokázána.

Je-t ukáffeeme, fle diagonální hodnoty matice kinetických koeficient jsou kladné. Protofle entropie vzr stá, je  $-\int \ln f C(f) d\Gamma > 0$ . Dosazením  $f = f_0 (1 + \chi / (k_B T))$  pro rozdlovací funkci a  $C(f) = (f_0 / k_B T) I(\chi)$  pro sráflkový len dostáváme



$$-\underbrace{\int \ln f_0 C(f) d\Gamma}_{=0} - \frac{1}{k_B T} \int f_0 \ln \left( 1 + \frac{\chi}{k_B T} \right) I(\chi) d\Gamma > 0 \quad (22.59)$$

a ponecháním jen lineárního členu v rozvoji logaritmu pak

$$\int f_0 \chi I(\chi) d\Gamma > 0 \quad (22.60)$$

Pro  $\chi = g_a X_a$  (podtržením indexu znázorujeme, že je to daná hodnota (nesítá se přes n j) dostáváme

$$\int f_0 g_a I(g_a) d\Gamma > 0 \Rightarrow \gamma_{aa} > 0 \quad (22.61)$$

Poslední výsledek potvrzuje šelským rozumemě pochopitelný jev, kdy tok vybuzený n jakým gradientem sm ůje vřdy tak, aby zmín ěný gradient snifloval.

## 23. Vodivost elektronového plynu

### 23.1 Onsager v princip

Homogenním vodi em protěká elektrický proud  $I$  a je vedeno teplo  $Q$ , pokud vodi spojuje dva termostaty, první s elektrostatickým potenciálem  $\phi=0$  a teplotou  $T$ , druhý s potenciálem  $\phi=\Delta\phi$  a teplotou  $T+\Delta T$ . M ěleme zapsat vztah

$$\begin{aligned} I &= l_{11} \Delta\phi + l_{12} \Delta T \quad , \\ Q &= l_{21} \Delta\phi + l_{22} \Delta T \quad , \end{aligned} \quad (23.1)$$

ale v takovém p ípad ě nebude platit  $l_{12}=l_{21}$ , protože Onsagerovy koeficienty spojují sdružené prom nné, nikoliv prom nné libovoln ě (i kdyfl t eba n ězorn ě) zvolené. Pro nalezení správných prom nných musíme sledovat zm ěnu entropie celé soustavy. Po et elektron s nábojem  $e$ , p ěná-ených od termostatu 1 k termostatu 2 ozna ěme  $n=-n_1=n_2$ , mnofství p ěnesené energie  $\Delta U=-\Delta U_1=\Delta U_2$ . Zm ěna entropie termostatu 1 je

$$\Delta S_1 = -\frac{\Delta U}{T} + \frac{\mu(T)}{T} n \quad , \quad (23.2)$$

kde  $\mu(T)$  je chemický potenciál (Fermiho energie) p ě  $\phi=0$ . Zm ěna entropie termostatu 2 je

$$\Delta S_2 = \frac{\Delta U}{T+\Delta T} + \frac{\mu(T+\Delta T)+e\Delta\phi}{T+\Delta T} n \quad . \quad (23.3)$$

Zm ěna entropie celé soustavy je pak

$$\Delta S = \Delta U \left[ \frac{1}{T + \Delta T} - \frac{1}{T} \right] - n \left[ \frac{\mu(T + \Delta T)}{T + \Delta T} - \frac{\mu(T)}{T} + \frac{e \Delta \phi}{T + \Delta T} \right] \approx \quad (23.4)$$

$$\Delta U \left[ -\frac{\Delta T}{T^2} \right] + en \left[ -\frac{\Delta T}{e} \frac{\partial}{\partial T} \left( \frac{\mu}{T} \right) - \frac{\Delta \phi}{T} \right] .$$

Nakonec pro časovou změnu entropie dostáváme

$$\frac{dS}{dt} = \frac{d(\Delta U)}{dt} \left[ -\frac{\Delta T}{T^2} \right] + \frac{d(en)}{dt} \left[ -\frac{\Delta T}{e} \frac{\partial}{\partial T} \left( \frac{\mu}{T} \right) - \frac{\Delta \phi}{T} \right] = x_1 X_1 + x_2 X_2 . \quad (23.5)$$

V těchto vztazích

$$x_1 = \frac{d(en)}{dt} = I , \quad X_1 = -\frac{\Delta T}{e} \frac{\partial}{\partial T} \left( \frac{\mu}{T} \right) - \frac{\Delta \phi}{T} \quad (23.6)$$

vyjadřují elektrický proud a potenciální sílu a

$$x_2 = \frac{d(\Delta U)}{dt} = Q , \quad X_2 = -\frac{\Delta T}{T^2} \quad (23.7)$$

jsou tok tepelné energie a potenciální síla. Místo (23.1) budeme tedy mít

$$I = \lambda'_{11} \left[ -\frac{\Delta T}{e} \frac{\partial}{\partial T} \left( \frac{\mu}{T} \right) - \frac{\Delta \phi}{T} \right] + \lambda'_{12} \left[ -\frac{\Delta T}{T^2} \right] , \quad (23.8)$$

$$Q = \lambda'_{21} \left[ -\frac{\Delta T}{e} \frac{\partial}{\partial T} \left( \frac{\mu}{T} \right) - \frac{\Delta \phi}{T} \right] + \lambda'_{22} \left[ -\frac{\Delta T}{T^2} \right] ,$$

kde uhlíky koeficienty  $\lambda'_{ik}$  mají vlastnosti Onsagerových koeficientů. Abychom v (23.8) měli obsaženy standardní tvary Ohmova a Fourierova zákona, zapíšeme pro homogenní vodič infinitezimálního průřezu  $\Delta S$  a délky  $\Delta x$

$$I = j \Delta S , \quad Q = q \Delta S , \quad \lambda'_{ik} = \frac{\lambda_{ik}}{\Delta x} , \quad (23.9)$$

kde  $j$  je hustota elektrického proudu a  $q$  hustota toku (tepelné) energie,  $\lambda_{ik}$  jsou Onsagerovy koeficienty. V limitním přechodu pak

$$-\frac{\Delta \phi}{\Delta x} \rightarrow -\vec{\nabla} \phi = \vec{\mathcal{E}} , \quad \frac{\Delta T}{\Delta x} \rightarrow \vec{\nabla} T \quad (23.10)$$

a (23.8) přejde na

$$\vec{j} = \frac{\lambda_{11}}{T} \left[ -\frac{T}{e} \frac{\partial}{\partial T} \left( \frac{\mu}{T} \right) \vec{\nabla} T + \vec{\mathcal{E}} \right] - \lambda_{12} \frac{1}{T^2} \vec{\nabla} T , \quad (23.11)$$

$$\vec{q} = \frac{\lambda_{21}}{T} \left[ -\frac{T}{e} \frac{\partial}{\partial T} \left( \frac{\mu}{T} \right) \vec{\nabla} T + \vec{\mathcal{E}} \right] - \lambda_{22} \frac{1}{T^2} \vec{\nabla} T$$

nebo s nesymetrickými koeficienty

$$\vec{j} = \mathcal{L}_{11} \vec{\mathcal{E}} - \mathcal{L}_{12} \vec{\nabla} T \quad , \quad \vec{q} = \mathcal{L}_{21} \vec{\mathcal{E}} - \mathcal{L}_{22} \vec{\nabla} T \quad , \quad (23.12)$$

kde

$$\begin{aligned} \mathcal{L}_{11} &= \frac{\lambda_{11}}{T} \quad , \quad \mathcal{L}_{12} = \frac{\lambda_{12}}{T^2} + \frac{\lambda_{11}}{e} \frac{\partial}{\partial T} \left( \frac{\mu}{T} \right) \quad , \\ \mathcal{L}_{21} &= \frac{\lambda_{12}}{T} \quad , \quad \mathcal{L}_{22} = \frac{\lambda_{22}}{T^2} + \frac{\lambda_{12}}{e} \frac{\partial}{\partial T} \left( \frac{\mu}{T} \right) \quad . \end{aligned} \quad (23.13)$$

P i konstantní teplot máme (Ohm v zákon)

$$\vec{j} = \frac{\lambda_{11}}{T} \vec{\mathcal{E}} = \sigma \vec{\mathcal{E}} \quad \Rightarrow \quad \lambda_{11} = T \sigma \quad . \quad (23.14)$$

P i nulovém elektrickém proudu máme (Fourier v zákon)

$$\vec{q} = - \left( \lambda_{22} - \frac{\lambda_{12}^2}{\lambda_{11}} \right) \frac{1}{T^2} \vec{\nabla} T = -\kappa \vec{\nabla} T \quad \Rightarrow \quad \lambda_{22} = T^2 \kappa + \frac{\lambda_{12}^2}{T \sigma} \quad . \quad (23.15)$$

Vidíme, že diagonální koeficienty jsou skutečně kladné. Pro úplnost je třeba znát ještě jeden experimentální zákon a také závislost chemického potenciálu na teplotě. V dalším odstavci spočteme koeficienty s aproximovanou rozdělovací funkcí.

## 23.2 Boltzmannova rovnice

### 23.2.1 Aproximace srážkového lenu a přibližné řešení

Zapišme Boltzmannovu kinetickou rovnici v aproximaci rozdělovací funkce blízké rovnovážnému rozdělení

$$\frac{\partial f}{\partial t} + \frac{\partial f}{\partial \vec{r}} \cdot \vec{v} + \frac{1}{m} \frac{\partial f}{\partial \vec{v}} \cdot \vec{F} = - \frac{f - f_0}{\tau} \quad , \quad (23.16)$$

pro stacionární případ pak

$$f = f_0 - \tau \left( \frac{\partial f}{\partial \vec{r}} \cdot \vec{v} + \frac{1}{m} \frac{\partial f}{\partial \vec{v}} \cdot \vec{F} \right) \quad . \quad (23.17)$$

Bude-li síla  $\vec{F} = (e\mathcal{E}, 0, 0)$  i gradient teploty  $\vec{\nabla} T = (\partial T / \partial x, 0, 0)$  dostaneme malé, můžeme na pravé straně položit  $f \approx f_0$ , takže máme s označením  $\vec{v} = (u, v_y, v_z)$

$$f = f_0 - \tau \left( \frac{\partial f_0}{\partial x} \cdot u + \frac{e}{m} \frac{\partial f_0}{\partial u} \cdot \mathcal{E} \right) \quad . \quad (23.18)$$

V tomto vztahu

$$\frac{\partial f_0}{\partial x} = \left( \frac{\partial f_0}{\partial \mu} \frac{d\mu}{dT} + \frac{\partial f_0}{\partial T} \right) \frac{dT}{dx} \quad , \quad \frac{\partial f_0}{\partial u} = \frac{\partial f_0}{\partial \varepsilon} \frac{d\varepsilon}{du} = m u \frac{\partial f_0}{\partial \varepsilon} \quad , \quad (23.19)$$

p edpokládáme-li nerelativistický plyn, kde  $\varepsilon = mv^2/2$ ,  $v^2 = u^2 + v_y^2 + v_z^2$ . Pro rovnovážnou funkci  $f_0$  je jak pro Boltzmannovu, tak pro Fermiho ó Diracovu statistiku

$$f_0 = f_0 \left( \frac{\varepsilon - \mu}{k_B T} \right), \quad (23.20)$$

takže m ťeme psát

$$\frac{\partial f_0}{\partial x} = -T \left[ \frac{\varepsilon}{T^2} + \frac{\partial}{\partial T} \left( \frac{\mu}{T} \right) \right] \frac{\partial f_0}{\partial \varepsilon} \frac{dT}{dx}, \quad \frac{\partial f_0}{\partial u} = mu \frac{\partial f_0}{\partial \varepsilon}. \quad (23.21)$$

Dosazením do (23.18) dostáváme

$$f = f_0 - \tau u \frac{\partial f_0}{\partial \varepsilon} \left\{ e \mathcal{E} - T \left[ \frac{\varepsilon}{T^2} + \frac{\partial}{\partial T} \left( \frac{\mu}{T} \right) \right] \frac{dT}{dx} \right\}. \quad (23.22)$$

P i výpo tu koeficient  $\mathcal{L}_{ik}$  budeme integrovat rozd lovací funkci násobenou  $eu$  pro elektrický proud nebo  $u\varepsilon$  pro tok energie ó p irozen se vzhledem k symetrii uplatní pouze druhý len ve (23.22).

### 23.2.2 Boltzmannova statistika

Pro Boltzmannovu statistiku dokáťeme z obecného tvaru rozd lovací funkce ( $g=2$  je spinová degenerace)

$$f_0 = g \left( \frac{m}{2\pi\hbar} \right)^3 \exp \left[ \frac{\mu - \varepsilon}{k_B T} \right], \quad n = \int f_0 d^3\vec{v} \quad (23.23)$$

vyjád it explicitn chemický potenciál

$$\mu = k_B T \ln \left[ \frac{n}{g} \left( \frac{2\pi\hbar^2}{mk_B T} \right)^{3/2} \right], \quad (23.24)$$

takže  $f_0$  nabývá standardní formu Maxwelllova rozd lení

$$f_0 = n \left( \frac{m}{2\pi k_B T} \right)^{3/2} \exp \left[ -\frac{\varepsilon}{k_B T} \right]. \quad (23.25)$$

Je tedy

$$\frac{\partial f_0}{\partial \varepsilon} = -\frac{f_0}{k_B T}, \quad \frac{\partial}{\partial T} \left( \frac{\mu}{T} \right) = -\frac{3}{2} \frac{k_B}{T}, \quad (23.26)$$

takže dostáváme

$$f = f_0 + \frac{\tau}{k_B T} \left\{ e \mathcal{E} - \left[ \frac{\varepsilon}{T} - \frac{3}{2} k_B \right] \frac{dT}{dx} \right\} u f_0. \quad (23.27)$$

Pro výpo et jednotlivých koeficient budeme pot ebovat integrály

$$I_s = \int u^2 \varepsilon^s f_0 d^3 \vec{v} = n \left( \frac{m}{2\pi k_B T} \right)^{3/2} \left( \frac{m}{2} \right)^s \int_0^{2\pi} \cos^2 \varphi d\varphi \int_0^\pi \sin^3 \theta d\theta \int_0^\infty v^{2(2+s)} \exp\left[-\frac{m v^2}{2 k_B T}\right] dv \quad (23.28)$$

Po elementární integraci dostáváme

$$I_s = n \frac{k_B T}{m} (k_B T)^s \frac{(2s+3)!!}{3 \cdot 2^s} \quad (23.29)$$

Pro jednotlivé koeficienty  $\mathcal{L}_{ik}$  pak máme

$$\mathcal{L}_{11} = \frac{n e^2 \tau}{m}, \quad \mathcal{L}_{12} = \frac{n e \tau}{m} k_B, \quad \mathcal{L}_{21} = \frac{5 n e \tau}{2 m} k_B T, \quad \mathcal{L}_{22} = 5 \frac{n k_B \tau}{m} k_B T \quad (23.30)$$

a pro Onsagerovy koeficienty

$$\lambda_{11} = \frac{n e^2 \tau}{m} T, \quad \lambda_{12} = \frac{5 n e \tau}{2 m} k_B T^2, \quad \lambda_{22} = \frac{35 n k_B \tau}{4 m} k_B T^3 \quad (23.31)$$

Koeficienty elektrické a tepelné vodivosti jsou v tomto přiblížení

$$\sigma = \frac{n e^2 \tau}{m}, \quad \kappa = \frac{5 n k_B \tau}{2 m} k_B T \quad (23.32)$$

Lorenzovo číslo (Wiedemannův zákon) je

$$L = \frac{\kappa}{T \sigma} = \frac{5}{2} \left( \frac{k_B}{e} \right)^2 \quad (23.33)$$

Porovnání vztahu (23.32) a (20.34) pro koeficient tepelné vodivosti nám dá představu o významu doby  $\tau$ . Pro Maxwellovo rozdělení položíme ve (23.32)  $(k_B T)/m = (\pi \langle v \rangle^2)/8$  a  $c_v = (3k_B)/(2m)$  ve (20.34), takže máme

$$\frac{5\pi}{16} n k_B \langle v \rangle^2 \tau = \frac{1}{2} n k_B \langle v \rangle \ell \Rightarrow \tau \sim \frac{\ell}{\langle v \rangle} \quad (23.34)$$

### 23.2.3 Fermiho a Diracova statistika

Normování rozdělovací funkce Fermiho a Diracova rozdělení

$$f_0 = g \left( \frac{m}{2\pi \hbar} \right)^3 \frac{1}{\exp[(\varepsilon - \mu)/(k_B T)] + 1} \quad (23.35)$$

dává rovnici, která implicitně určuje chemický potenciál

$$\int f_0 d^3 \vec{v} = g \left( \frac{m}{2\pi \hbar} \right)^3 \int \frac{d^3 \vec{v}}{\exp[(\varepsilon - \mu)/(k_B T)] + 1} = n \quad (23.36)$$

Po integraci podle úhlových proměnných máme

$$\frac{g}{2^{1/2} \pi^2} \left( \frac{m}{\hbar^2} \right)^{3/2} \int_0^{\infty} \frac{\varepsilon^{1/2} d\varepsilon}{\exp[(\varepsilon - \mu)/(k_B T)] + 1} = n \quad (23.37)$$

Označíme  $\alpha = \mu/(k_B T)$  a zavedeme novou proměnnou  $x = \varepsilon/(k_B T)$ , takže předchozí vztah získá tvar

$$\frac{g}{2^{1/2} \pi^2} \left( \frac{m k_B T}{\hbar^2} \right)^{3/2} \int_0^{\infty} \frac{x^{1/2} dx}{\exp[x - \alpha] + 1} = n \quad (23.38)$$

Hodnoty jsou velmi velké, například pro  $\mu \approx \varepsilon_F \sim 5 \text{ eV}$  a  $T \sim 300 \text{ K}$  je  $\alpha \sim 200$ . Ukážeme aproximační metodu výpočtu obecnějšího integrálu

$$I = \int_0^{\infty} \frac{y(x) dx}{\exp[x - \alpha] + 1} = \int_{-\alpha}^{\infty} \frac{y(x + \alpha) dx}{\exp[x] + 1} \quad (23.39)$$

pro velké hodnoty  $\alpha$  a funkce  $y(x)$  takové, aby integrál existuje. Provádíme nejprve následující úpravy

$$I = \int_0^{\alpha} \frac{y(\alpha - x) dx}{\exp[-x] + 1} + \int_0^{\infty} \frac{y(x + \alpha) dx}{\exp[x] + 1},$$

$$I = \int_0^{\alpha} y(x) dx - \int_0^{\alpha} \frac{y(\alpha - x) dx}{\exp[x] + 1} + \int_0^{\infty} \frac{y(x + \alpha) dx}{\exp[x] + 1}$$

a konečně

$$I = \int_0^{\alpha} y(x) dx + \int_0^{\infty} \frac{y(\alpha + x) - y(\alpha - x)}{\exp[x] + 1} dx + \int_{\alpha}^{\infty} \frac{y(\alpha - x) dx}{\exp[x] + 1} \quad (23.40)$$

Třetí integrál lze zanedbat, neboť je exponenciálně ( $\exp[-\alpha]$ ) malý. V jmenovateli integrandu druhého integrálu ponecháme v Taylorov rozvoji jen nejnižší (liché) mocniny  $x$  a v číslu  $\alpha$  naopak budeme počítat jen první a integrál je pak

$$\int_0^{\infty} \frac{y(\alpha + x) - y(\alpha - x)}{\exp[x] + 1} dx = \sum_{n=1}^{\infty} \frac{2^{2n-1} \pi^{2n} B_n}{n \cdot (2n-1)!} y^{(2n-1)}(\alpha) \quad (23.41)$$

a tedy

$$I \approx \int_0^{\alpha} y(x) dx + \frac{\pi^2}{6} y'(\alpha) \quad . \quad (23.42)$$

Integrál ve (23.38) aproximuje výrazem

$$\int_0^{\infty} \frac{x^{1/2} dx}{\exp[x-\alpha]+1} \approx \frac{2}{3} \alpha^{3/2} + \frac{\pi^2}{12} \frac{1}{\alpha^{1/2}} = \frac{2}{3} \left( \frac{\mu}{k_B T} \right)^{3/2} \left( 1 + \frac{\pi^2}{8} \left( \frac{k_B T}{\mu} \right)^2 \right) \quad . \quad (23.43)$$

Pokud bychom se spokojili ve (23.42) jen s prvním členem, odpovídalo by to příliš hrubé aproximaci, pomocí Diracovy delta funkce můžeme potěbné dva členy v derivaci rozdělovací funkce zapsat jako

$$\frac{\partial}{\partial \varepsilon} \left( \frac{1}{\exp[(\varepsilon - \mu)/(k_B T)] + 1} \right) \approx -\delta(\varepsilon - \mu) - \frac{\pi^2}{6} (k_B T)^2 \delta''(\varepsilon - \mu) \quad . \quad (23.44)$$

Fermiho energie je

$$\varepsilon_F = \frac{\hbar^2}{2m} \left( \frac{6\pi^2 n}{g} \right)^{2/3} \quad (23.45)$$

a s její pomocí můžeme pro chemický potenciál napsat po dosazení (23.43) do (23.38) přibližný vztah

$$\mu \approx \varepsilon_F - \frac{\pi^2}{12} \frac{(k_B T)^2}{\varepsilon_F} \quad . \quad (23.46)$$

Při výpočtu koeficientů s rozdělovací funkcí (23.22) budeme potřebovat integrál přes prostorový úhel

$$\langle u^2 \rangle_{\Omega} = \int_{\Omega} u^2 d\Omega = \frac{8\pi}{3} \frac{\varepsilon}{m} \quad (23.47)$$

a integrály

$$\begin{aligned} I_s &= - \int_0^{\infty} \langle u^2 \rangle_{\Omega} \varepsilon^s \frac{\partial f_0}{\partial \varepsilon} v^2 dv = - \frac{n}{m \varepsilon_F^{3/2}} \int_0^{\infty} \varepsilon^{s+3/2} \frac{\partial}{\partial \varepsilon} \left( \frac{1}{\exp[(\varepsilon - \mu)/(k_B T)] + 1} \right) d\varepsilon \\ &= \frac{n}{m \varepsilon_F^{3/2}} \left( s + \frac{3}{2} \right) \int_0^{\infty} \frac{\varepsilon^{s+1/2} d\varepsilon}{\exp[(\varepsilon - \mu)/(k_B T)] + 1} \quad . \end{aligned} \quad (23.48)$$

S využitím (23.42) potom

$$I_s = \frac{n}{m \varepsilon_F^{3/2}} \left\{ \mu^{s+3/2} + \frac{\pi^2}{6} \left( s + \frac{3}{2} \right) \left( s + \frac{1}{2} \right) \mu^{s-1/2} (k_B T)^2 \right\} \quad . \quad (23.49)$$

Nakonec dosazením za chemický potenciál z (23.46) a zanedbáním člen vyššího řádu v  $(k_B T)/\varepsilon_F$  máme

$$I_s \approx \frac{n}{m \varepsilon_F^{3/2}} \left\{ \varepsilon_F^{s+3/2} + \frac{\pi^2}{6} \left( s + \frac{3}{2} \right) s \varepsilon_F^{s-1/2} (k_B T)^2 \right\}. \quad (23.50)$$

Potom pro koeficienty  $\mathcal{L}_{ik}$  máme

$$\begin{aligned} \mathcal{L}_{11} &= \frac{n e^2 \tau}{m}, \quad \mathcal{L}_{12} = \frac{\pi^2 n e \tau k_B^2 T}{3 m \varepsilon_F}, \\ \mathcal{L}_{21} &= \frac{n e \tau}{m} \left[ \varepsilon_F + \frac{5 \pi^2 (k_B T)^2}{12 \varepsilon_F} \right], \quad \mathcal{L}_{22} = \frac{2 \pi^2 n \tau}{3 m} k_B^2 T \end{aligned} \quad (23.51)$$

a Onsagerovy koeficienty jsou

$$\begin{aligned} \lambda_{11} &= \frac{n e^2 \tau}{m} T, \quad \lambda_{12} = \frac{n e \tau \varepsilon_F}{m} T \left[ 1 + \frac{5 \pi^2}{12} \left( \frac{k_B T}{\varepsilon_F} \right)^2 \right], \\ \lambda_{22} &= \frac{n \tau \varepsilon_F^2}{m} T \left[ 1 + \frac{7 \pi^2}{6} \left( \frac{k_B T}{\varepsilon_F} \right)^2 \right]. \end{aligned} \quad (23.52)$$

Koeficienty elektrické a tepelné vodivosti jsou tedy

$$\sigma = \frac{n e^2 \tau}{m}, \quad \kappa = \frac{\pi^2 n k_B^2 \tau}{3 m} T \quad (23.53)$$

a Lorenzovo číslo je

$$L = \frac{\kappa}{T \sigma} = \frac{\pi^2}{3} \left( \frac{k_B}{e} \right)^2. \quad (23.54)$$

Vidíme jen malý rozdíl ve výsledcích výpočtu Lorenzova čísla podle Boltzmannovy nebo Fermiho a Diracovy statistiky. Experiment dává docela dobrou shodu s teorií a hodnota  $L$  podle (23.54) je  $L \doteq 2,45 \cdot 10^{-8} \text{ W } \Omega \text{ K}^{-2}$ , hodnoty pro  $n$  které kovy jsou uvedeny v tabulce (podle C. Kittel, Introduction to Solid State Physics).

$L \cdot 10^8 \text{ W } \Omega \text{ K}^{-2}$			$L \cdot 10^8 \text{ W } \Omega \text{ K}^{-2}$		
kov	0°C	100°C	kov	0°C	100°C
Ag	2,31	2,37	Pb	2,47	2,56
Au	2,35	2,40	Pt	2,51	2,60
Cd	2,42	2,43	Sn	2,52	2,49
Cu	2,23	2,33	W	3,04	3,20
Mo	2,61	2,79	Zn	2,31	2,33



## 24. Bílý trpaslík

### 24.1 Elementární odhad Chandrasekharovy meze

Jiří v roce 1932 provedl Landau (On the theory of stars, Phys. Zs. Sowjet. 1 (1932), 285) následující úvahu: máme  $N$  fermionů (pro složení hvězdy z  $^{12}\text{C}$  a  $^{16}\text{O}$  je to  $N$  nukleonů a  $N/2$  elektronů) ve hvězdné poloměru  $R$ , takže číselná hustota elektronů je  $n \sim N/R^3$ . Objem odpovídající na jeden elektron je podle Pauliho principu  $(\Delta\ell)^3 \sim 1/n$ . Podle Heisenbergova principu neurčitosti je nejmenší možná velikost hybnosti  $p \sim \hbar/\Delta\ell \sim \hbar n^{1/3}$ . Energie relativistického elektronu je tedy (energií nukleonů zanedbáváme vzhledem k jejich velké hmotnosti)

$$E_F \sim \hbar n^{1/3} c \sim \frac{\hbar c N^{1/3}}{R}, \quad (24.1)$$

predpokládáme pro itom

$$E_F > mc^2. \quad (24.2)$$

Gravitací energie na jeden nukleon, o tady naopak zanedbáváme pro íspávek elektronů, o je

$$E_G \sim -G \frac{Nu^2}{R}, \quad (24.3)$$

kde  $u$  je atomová jednotka hmotnosti. Celková energie je

$$E = E_F + E_G \sim \frac{\hbar c N^{1/3}}{R} - G \frac{Nu^2}{R}. \quad (24.4)$$

Pro malý počet částic je celková energie kladná, zvětšování  $R$  snižuje energii, ať je porušena podmínka (24.2) a přecházíme do nerelativistické oblasti

$$E_F \sim \frac{\hbar^2 N^{2/3}}{2mR^2}. \quad (24.5)$$

Potom může být celková energie záporná a se zvětšujícím se  $R$  jde k nule. Existuje tedy rovnovážný stav s minimem celkové energie. Naopak pro velký počet částic je celková energie (24.4) záporná a se zvětšujícím se  $R$  stále klesá, o rovnovážný stav neexistuje. Mezní hodnota počtu částic, kdy ještě může existovat rovnovážný stav je tedy určena z (24.4) pro  $E = 0$ . Máme tedy

$$N_{\max} \sim \left( \frac{\hbar c}{Gu^2} \right)^{3/2} \Rightarrow M_{\max} = N_{\max} u \sim \left( \frac{\hbar c}{G} \right)^{3/2} \frac{1}{u^2}. \quad (24.6)$$

Po dosazení ( $\hbar=1,05\cdot 10^{-34}$  Js,  $c=3,00\cdot 10^8$  ms<sup>-1</sup>,  $G=6,67\cdot 10^{-11}$  J m kg<sup>-2</sup>,  $u=1,66\cdot 10^{-27}$  kg a  $M_{\odot}=1,99\cdot 10^{30}$  kg) dostáváme

$$M_{\max} \sim 3,72\cdot 10^{30} \text{ kg} \approx 1,87 M_{\odot} \quad , \quad (24.7)$$

tedy hodnotu jen poněkud větší, než je v současnosti přijatá hodnota Chandrasekharovy meze. Dosazením  $N_{\max}$  do (24.1) získáme z nerovnosti (24.2) výraz pro maximální možný polom  $r$

$$R_{\max} \sim \frac{\hbar}{mc} \left( \frac{\hbar c}{Gu^2} \right)^{1/2} \quad , \quad (24.8)$$

což po dosazení ( $m=9,11\cdot 10^{-31}$  kg) dává

$$R_{\max} \sim 5,03\cdot 10^6 \text{ m} \quad . \quad (24.9)$$

Výsledek se dá elementárně popsat tak, že u bílých trpaslíků je třeba hmotnost Slunce stlačit nejméně do objemu Země.

## 24.2 Stavová rovnice

Pro zjednodušení popisu je velmi důležitě, že elektronový plyn můžeme považovat za úplně degenerovaný, tedy plyn za nulové teploty. Je to pro ekvipivé, uvážíme-li teplotu vnitřní části bílého trpaslíka, která je řádově  $10^7$  K. Fermiho energie extrémně relativistického plynu je

$$\varepsilon_F = (3\pi^2 n)^{1/3} \hbar c \quad . \quad (24.10)$$

Podobně jako v předchozí kapitole můžeme chemický potenciál aproximovat výrazem

$$\mu \doteq \varepsilon_F - 2 \frac{(k_B T)^2}{\varepsilon_F} \quad . \quad (24.11)$$

Jako příklad vezměme parametry hvězdy Sirius B (Barston et al.: HST Spectroscopy of the Balmer lines in Sirius B, MNRAS 362 (2005), 1134) s hmotností  $M=1,02 M_{\odot}$ , poloměrem  $R=0,0081 R_{\odot}$ . S hodnotou  $R_{\odot}=6,96\cdot 10^8$  m dostáváme pro numerickou hustotu elektronů

$$n = \frac{1}{2} \frac{M}{u} \frac{1}{(4/3)\pi R^3} \doteq 8,15\cdot 10^{38} \text{ m}^{-3} \quad (24.12)$$

a pro Fermiho energii

$$\varepsilon_F \doteq 9,10\cdot 10^{-13} \text{ J} \sim 5,7 \text{ MeV} \quad . \quad (24.13)$$

Hodnota tepelné energie odpovídající  $T \sim 10^7$  K je ale

$$k_B T \sim 1,38\cdot 10^{-16} \text{ J} \sim 0,9 \text{ keV} \quad , \quad (24.14)$$

je tak rozmazání skokové funkce rozd lení podle energie kolem chemického potenciálu (ten je p i daných podmínkách pouze o 0,3eV menší neř Fermiho energie) zanedbatelné.

Pro p esn j-í výpo ty zavedeme nejprve bezrozm rnou veli inu

$$\mathcal{P} = \frac{p}{mc} = \frac{pc}{mc^2} .$$

Potom máme pro numerickou hustotu elektron

$$n = 2(mc)^3 \int \Theta(\mathcal{P}_F - \mathcal{P}) \frac{4\pi \mathcal{P}^2 d\mathcal{P}}{(2\pi\hbar)^3} = \frac{1}{3\pi^2} \frac{1}{\lambda_C^3} \mathcal{P}_F^3 , \quad (24.15)$$

kde  $\lambda_C = \hbar/(mc)$  je Comptonova vlnová délka elektron . Máme tedy pro chemický potenciál (v p íblížení š nulové teplotyř Fermiho energii)

$$\mu = mc^2 (\mathcal{P}_F^2 + 1)^{1/2} , \quad \mathcal{P}_F = (3\pi^2 n \lambda_C^3)^{1/3} . \quad (24.16)$$

Pro hustotu energie pak

$$\begin{aligned} \mathcal{E} &= 2(mc)^3 mc^2 \int \Theta(\mathcal{P}_F - \mathcal{P}) \frac{4\pi \mathcal{P}^2 (1+\mathcal{P}^2)^{1/2} d\mathcal{P}}{(2\pi\hbar)^3} = \frac{mc^2}{\pi^2 \lambda_C^3} \int_0^{\mathcal{P}_F} \mathcal{P}^2 (1+\mathcal{P}^2)^{1/2} d\mathcal{P} \\ &= \frac{mc^2}{8\pi^2 \lambda_C^3} \left\{ \mathcal{P}_F (1+2\mathcal{P}_F^2) (1+\mathcal{P}_F^2)^{1/2} - \ln \left[ \mathcal{P}_F + (1+\mathcal{P}_F^2)^{1/2} \right] \right\} . \end{aligned} \quad (24.17)$$

Tlak po ítáme jako

$$P = - \left. \frac{\partial U}{\partial V} \right|_{N,T} = -N \left. \frac{\partial}{\partial V} \left( \frac{\mathcal{E}}{n} \right) \right|_{N,T} = n^2 \left. \frac{\partial}{\partial n} \left( \frac{\mathcal{E}}{n} \right) \right|_T = \frac{1}{3} \mathcal{P}_F \frac{\partial \mathcal{E}}{\partial \mathcal{P}_F} - \mathcal{E} \quad (24.18)$$

a dostáváme

$$P = \frac{mc^2}{8\pi^2 \lambda_C^3} \Pi(\mathcal{P}_F) , \quad (24.19)$$

kde

$$\Pi(\mathcal{P}_F) = \mathcal{P}_F \left( \frac{2}{3} \mathcal{P}_F^2 - 1 \right) (1+\mathcal{P}_F^2)^{1/2} + \ln \left[ \mathcal{P}_F + (1+\mathcal{P}_F^2)^{1/2} \right] . \quad (24.20)$$

Derivace tlaku P podle  $\mathcal{P}_F$  má prosté vyjád ení

$$\frac{\partial P}{\partial \mathcal{P}_F} = \frac{mc^2}{3\pi^2 \lambda_C^3} \frac{\mathcal{P}_F^4}{(1+\mathcal{P}_F^2)^{1/2}} . \quad (24.21)$$

V extrémn relativistickém p ípad máme

$$\mu = (3\pi^2)^{1/3} \hbar cn^{1/3} , \quad \mathcal{E} = \frac{3}{4} (3\pi^2)^{1/3} \hbar cn^{4/3} , \quad P = \frac{1}{4} (3\pi^2)^{1/3} \hbar cn^{4/3} \quad (24.22)$$

a v nerelativistickém případě ( $\mu' = \mu - mc^2$  a  $\mathcal{E}' = \mathcal{E} - nmc^2$ )

$$\mu' = \frac{(3\pi^2)^{2/3} \hbar^2}{2m} n^{2/3}, \quad \mathcal{E}' = \frac{3(3\pi^2)^{2/3} \hbar^2}{10m} n^{5/3}, \quad P = \frac{(3\pi^2)^{2/3} \hbar^2}{5m} n^{5/3}. \quad (24.23)$$

### 24.3 Newtonova gravitace

Gravitační potenciál je řešením Poissonovy rovnice

$$\Delta\phi = 4\pi G\rho. \quad (24.24)$$

Protože budeme uvažovat pouze sféricky symetrický problém, zjednoduší se rovnice na

$$\frac{1}{r^2} \frac{d}{dr} \left( r^2 \frac{d\phi}{dr} \right) = 4\pi G\rho. \quad (24.25)$$

Chemický potenciál nukleonů zanedbáváme, stejně jako příspěvek elektronů k celkové hmotnosti. Předpokládáme-li na jeden elektron  $k$  nukleonů, můžeme podmínku rovnováhy zapsat jako

$$\mu + ku\phi = \mu' + mc^2 + ku\phi = \text{konst.} \quad (24.26)$$

a hustotu jako  $\rho = kun$ . Rovnici (24.25) tak přepíšeme do tvaru

$$\frac{1}{r^2} \frac{d}{dr} \left( r^2 \frac{d\mu}{dr} \right) = -4\pi G(ku)^2 n \quad (24.27)$$

nebo

$$\frac{1}{r^2} \frac{d}{dr} \left( r^2 \frac{d\mu'}{dr} \right) = -4\pi G(ku)^2 n. \quad (24.28)$$

Dosazení za  $n$  z (24.22) do (24.27) a z (24.23) do (24.28) dává

$$\frac{1}{r^2} \frac{d}{dr} \left( r^2 \frac{d\mu}{dr} \right) = -\lambda_{\text{nr}} \mu^3, \quad \lambda_{\text{nr}} = \frac{4k^2}{3\pi} \frac{Gu^2}{(\hbar c)^3}, \quad (24.29)$$

kde  $[\lambda_{\text{nr}}] = \text{J}^{-2} \text{m}^{-2}$  a

$$\frac{1}{r^2} \frac{d}{dr} \left( r^2 \frac{d\mu'}{dr} \right) = -\lambda_{\text{nr}} \mu'^{3/2}, \quad \lambda_{\text{nr}} = \frac{4k^2}{3\pi} Gu^2 \left( \frac{2m}{\hbar^2} \right)^{3/2}, \quad (24.30)$$

kde  $[\lambda_{\text{nr}}] = \text{J}^{-1/2} \text{m}^{-2}$ .

Uvažujme nejprve nerelativistický případ. Při poloměru hvězdy  $R$  dostáváme integrací rovnice (24.28)

$$\left( r^2 \frac{d\mu'}{dr} \right) \Big|_{r=R} = -kuGM, \quad (24.31)$$

kde  $M$  je hmotnost hvězdy. Zavedeme bezrozměrnou proměnnou a novou funkci  $f$  vztahy

$$\xi = r/R \quad , \quad \mu'(r) = \frac{1}{\lambda_{\text{nr}}^2 R^4} f(\xi) \quad . \quad (24.32)$$

Máme tak z (24.30) (s dodáním p irožených okrajových podmínek)

$$\frac{1}{\xi^2} \frac{d}{d\xi} \left( \xi^2 \frac{df}{d\xi} \right) = -f^{3/2} \quad , \quad \left. \frac{df}{d\xi} \right|_{\xi=0} = 0 \quad , \quad f|_{\xi=1} = 0 \quad (24.33)$$

a z (24.31)

$$\left. \frac{df}{d\xi} \right|_{\xi=1} = -k u \lambda_{\text{nr}}^2 G M R^3 \quad . \quad (24.34)$$

Numerické řešení rovnice (24.33) je nejsnadnější, pokud máme úlohu s počátečními podmínkami  $f|_{\xi=0} = \text{konst.}$ ,  $(df/d\xi)|_{\xi=0} = 0$  a iteracemi najdeme hodnotu konstanty tak, aby

byla splněna druhá okrajová podmínka, tj.  $f|_{\xi=1} = 0$ . Výsledkem je

$$f|_{\xi=0} = 178,2202 \quad , \quad \left. \frac{df}{d\xi} \right|_{\xi=1} = -132,3841 \quad . \quad (24.35)$$

Zvolíme-li  $k=2$  a použijeme-li již dříve uvedené hodnoty fyzikálních konstant, dostáváme

$$M R^3 = 6,84 \cdot 10^{20} M_{\odot} \text{m}^3 \quad . \quad (24.36)$$

Tento vztah platí pro dostatečně velká  $R$ , tak aby bylo možno použít nerelativistickou aproximaci pro elektronový plyn.

Nyní uvažujme extrémně relativistický případ. Postup je obdobný jako u neme integrací rovnice (24.27)

$$\left( r^2 \frac{d\mu}{dr} \right) \Big|_{r=R} = -k u G M \quad (24.37)$$

a zavedeme bezrozměrnou proměnnou a novou funkci  $f$  vztahy

$$\xi = r/R \quad , \quad \mu(r) = \frac{1}{\lambda_{\text{nr}}^{1/2} R} f(\xi) \quad . \quad (24.38)$$

Z rovnice (24.29) máme

$$\frac{1}{\xi^2} \frac{d}{d\xi} \left( \xi^2 \frac{df}{d\xi} \right) = -f^3 \quad , \quad \left. \frac{df}{d\xi} \right|_{\xi=0} = 0 \quad , \quad f|_{\xi=1} = 0 \quad (24.39)$$

a z rovnice (24.37)

$$\left. \frac{df}{d\xi} \right|_{\xi=1} = -k u \lambda_{\text{nr}}^{1/2} G M \quad . \quad (24.40)$$

řešením (24.39) je

$$f|_{\xi=0} = 6,8968 \quad , \quad \left. \frac{df}{d\xi} \right|_{\xi=1} = -2,0182 \quad . \quad (24.41)$$

Se stejnými hodnotami konstant jako v nerelativistickém případě dostáváme pro extrémně relativistický elektronový plyn

$$M = 1,45 M_{\odot} \quad , \quad (24.42)$$

což je právě Chandrasekharova mezní hodnota hmotnosti bílého trpaslíka. Pro elektronový plyn v obecném stavu by bylo třeba v (24.27) dosadit za hustotu  $n$  vyjádření pomocí chemického potenciálu z (24.16).

Poznámka: V astrofyzikální literatuře se setkáváme s podobnou formulací, ke které snadno přejdeme derivací podmínky rovnováhy (24.26) podle radiální souřadnice

$$\left. \frac{d}{dr} (\mu + ku\phi) \right|_r = \left. \frac{\partial \mu}{\partial P} \right|_r \frac{dP}{dr} + ku \frac{d\phi}{dr} = v \frac{dP}{dr} + ku \frac{d\phi}{dr} = 0 \quad , \quad (24.43)$$

kde  $v(r)$  je objem připadající na jednu částici, takže  $(ku)/v(r) = \rho(r)$ . Dále

$$-\frac{d\phi}{dr} = \frac{GM(r)}{r^2} \quad (24.44)$$

je gravitační síla, působící na jednotkovou hmotnost ve vzdálenosti  $r$  od středu. Můžeme tak psát dvě rovnice prvního řádu

$$\begin{aligned} \frac{dP}{dr} &= -\frac{GM(r)\rho(r)}{r^2} \quad , \quad P|_{r=0} = P_0 \quad , \\ \frac{dM}{dr} &= 4\pi r^2 \rho(r) \quad , \quad M|_{r=0} = 0 \quad . \end{aligned} \quad (24.45)$$

Pro řešení problému potřebujeme ještě znát stavovou rovnici. Budeme-li zanedbávat příspěvek elektronické hustoty, máme  $\rho(r) = kun(r)$  a obecný tvar stavové rovnice (24.19). Ve dříve zmínovaných mezních případech je stavová rovnice rovnicí polytropy  $P(r) = \text{konst.} [n(r)]^\gamma$ , kde  $\gamma = 5/3$  pro nerelativistický a  $\gamma = 4/3$  pro extrémně relativistický elektronový plyn.

#### 24.4 Statické sféricky symetrické řešení Einsteinových rovnic

Nejprve uveďme obecnější výsledek, který se týká podmínky rovnováhy, pokud se soustava nachází ve statickém gravitačním poli. Při pohybu částice v takovém poli se zachovává energie, která je  $c^2$  násobkem asymptotické složky čtyřvektoru hybnosti

$$p_k = mc u_k$$

$$U_0 = m c^2 g_{00} \frac{d x^0}{d s} \quad . \quad (24.46)$$

Interval je dán vztahem  $d s^2 = c^2 (d \tau)^2 - (d l)^2$ , kde  $c d \tau = (g_{00} d x^0)^{1/2}$ . Jestliže zapíšeme vztah (24.46) pomocí rychlosti  $v = d l / d \tau$ , dostáváme

$$U_0 = \frac{m c^2}{(1 - v^2 / c^2)^{1/2}} (g_{00})^{1/2} = U (g_{00})^{1/2} \quad . \quad (24.47)$$

Entropie soustavy ani počet částic soustavy na přítomnosti gravitačního pole nezávisí, takže derivace zachovávající se veličiny  $U_0$  podle  $S$  nebo  $N$  je konstantní, takže pro  $T = \partial U / \partial S$  a  $\mu = \partial U / \partial N$  máme

$$T (g_{00})^{1/2} = \text{konst.} \quad , \quad \mu (g_{00})^{1/2} = \text{konst.} \quad . \quad (24.48)$$

Odsud  $\mu / T = \text{konst.} \Rightarrow d \mu / \mu = d T / T$ . Dosazením do termodynamické rovnosti

$$V d P = S d T + N d \mu = (T S + N \mu) \frac{d \mu}{\mu} = V (\varepsilon + P) \frac{d \mu}{\mu} \quad (24.49)$$

dostáváme užití výraz

$$\frac{d \mu}{\mu} = \frac{d P}{\varepsilon + P} \quad . \quad (24.50)$$

Ve slabém poli popsaném Newtonovým potenciálem je  $g_{00} \approx 1 + (2 \phi) / c^2$ , takže

$$T = \frac{\text{konst.}}{(g_{00})^{1/2}} \approx \text{konst.} \left( 1 - \frac{\phi}{c^2} \right) \quad , \quad \mu (g_{00})^{1/2} \approx \mu' + m c^2 + m \phi = \text{konst.} \quad . \quad (24.51)$$

Vezmeme se tedy podrobněji případu statického sféricky symetrického pole (ve vakuu jde o Schwarzschildovo řešení). Zvolíme standardní souřadnice  $x^0 = c t$ ,  $x^1 = r$ ,  $x^2 = \theta$ ,  $x^3 = \varphi$  a definujeme metrický tensor pomocí intervalu

$$d s^2 = c^2 \exp[\nu(r)] d t^2 - \exp[\lambda(r)] d r^2 - r^2 (d \theta^2 + \sin^2 \theta d \varphi^2) \quad . \quad (24.52)$$

Tenzor energie hybnosti volíme jako

$$T_i^k = \text{diag}\{c^2 \rho(r), -P(r), -P(r), -P(r)\} \quad . \quad (24.53)$$

Pro symetrický tensor  $T_{ik}$  je kovariantní divergenci možno zapsat jednoduše jako

$$T_{i;k}^k = \frac{1}{(-g)^{1/2}} \frac{\partial \left( (-g)^{1/2} T_i^k \right)}{\partial x^k} - \frac{1}{2} \frac{\partial g_{kl}}{\partial x^i} g^{kj} T_j^l \quad . \quad (24.54)$$

Ze zákona zachování je kovariantní divergence rovna nule, v našem případě dostáváme jedinou rovnici (čárkou značíme derivaci podle  $r$ )

$$\frac{1}{2}v' (c^2 \rho + P) + P' = 0 \quad . \quad (24.55)$$

Z deseti Einsteinových rovnic

$$R_i^k - \frac{1}{2} \delta_i^k R = \frac{8\pi G}{c^4} T_i^k \quad (24.56)$$

zstanou pak v našem případě ke řešení pouze tři

$$\begin{aligned} \frac{8\pi G}{c^2} \rho &= -\exp[-\lambda] \left( \frac{1}{r^2} - \frac{\lambda'}{r} \right) + \frac{1}{r^2} \quad , \\ \frac{8\pi G}{c^4} P &= \exp[-\lambda] \left( \frac{v'}{r} + \frac{1}{r^2} \right) - \frac{1}{r^2} \quad , \\ \frac{8\pi G}{c^4} P &= \frac{1}{2} \exp[-\lambda] \left( v'' + \frac{v'^2}{2} + \frac{v' - \lambda'}{r} - \frac{v' \lambda'}{2} \right) \quad . \end{aligned} \quad (24.57)$$

Řešení první rovnice je snadné

$$\lambda(r) = -\ln \left\{ 1 - \frac{2GM(r)}{c^2 r} \right\} \quad , \quad (24.58)$$

kde jsme označili

$$M(r) = 4\pi \int_0^r \rho(x) x^2 dx \quad (24.59)$$

hmotnost pod poloměrem  $r$ . Pro  $r > R$  dostáváme tak návaznost na vakuové (Schwarzschildovo) řešení s  $\lambda(r) = -\ln(1 - r_g/r)$ .

Rovnici (24.55) lze samozřejmě odvodit z rovnic (24.57). Pro náš výpočet je vhodné dosadit do souřetných prvních dvou rovnic (24.57)

$$\frac{\exp[-\lambda]}{r} (\lambda' + v') = \frac{8\pi G}{c^4} (\rho c^2 + P) \quad (24.60)$$

za  $v'$  z rovnice (24.55) a za  $\lambda$  z (24.58). Dostáváme tak rovnici

$$\frac{dP(r)}{dr} = -\frac{GM(r)\rho(r)}{r^2} \left[ 1 - \frac{2GM(r)}{c^2 r} \right]^{-1} \left[ 1 + \frac{4\pi r^3 P(r)}{c^2 M(r)} \right] \left[ 1 + \frac{P(r)}{c^2 \rho(r)} \right] \quad . \quad (24.61)$$

K této rovnici přídáme

$$\frac{dM(r)}{dr} = 4\pi r^2 \rho(r) \quad (24.62)$$



a p íslu-né po áte ní podmínky, tj.  $P(0)=P_0$  a  $M(0)=0$ . Porovnání rovnice (24.61) a první rovnice z (24.45) ukazuje opravy, které p iná-í obecná teorie relativity.

P ejdeme v rovnicích (24.61) a (24.62) k bezrozm rné sou adnici  $r=\Lambda \xi$  a hmotnosti  $M(r)=M_\odot M(\xi)$ , máme po dosazení z (24.15) a (24.19)

$$\frac{dP(r)}{dr} = \frac{mc^2}{3\pi^2 \lambda_c^3 \Lambda} \frac{\mathcal{P}_F^4}{(1+\mathcal{P}_F^2)^{1/2}} \frac{d\mathcal{P}_F}{d\xi} , \quad \rho(r) = k u n(r) = \frac{k u}{3\pi^2 \lambda_c^3} \mathcal{P}_F^3 , \quad (24.63)$$

takfle dostáváme

$$\begin{aligned} \frac{d\mathcal{P}_F(\xi)}{d\xi} &= -\frac{GM_\odot}{c^2 \Lambda} \frac{k u}{m} \frac{(1+\mathcal{P}_F^2)^{1/2}}{\mathcal{P}_F} \frac{M(\xi)}{\xi^2} \cdot \\ &\cdot \left[ 1 - 2 \frac{GM_\odot}{c^2 \Lambda} \frac{M(\xi)}{\xi} \right]^{-1} \left[ 1 + \frac{m}{2\pi k u M_\odot} \frac{\Lambda^3}{\lambda_c^3} \frac{\xi^3 \Pi(\mathcal{P}_F)}{M(\xi)} \right] \left[ 1 + \frac{3m}{8k u} \frac{\Pi(\mathcal{P}_F)}{\mathcal{P}_F^3} \right] , \quad (24.64) \\ \frac{dM(\xi)}{d\xi} &= \frac{4}{3\pi} \frac{k u}{M_\odot} \frac{\Lambda^3}{\lambda_c^3} \xi^2 \mathcal{P}_F^3 . \end{aligned}$$

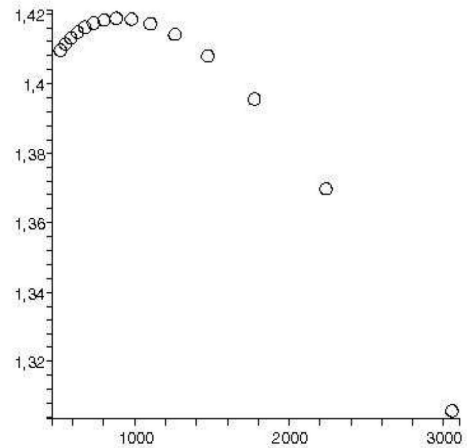
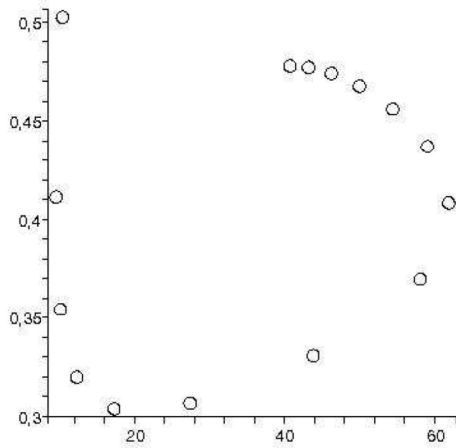
Zavedeme pro zjednodu-ení konstanty

$$\Lambda = \left( \frac{M_\odot}{k u} \right)^{1/3} \lambda_c , \quad \kappa = \frac{GM_\odot^{2/3} (k u)^{4/3}}{\hbar c} , \quad (24.65)$$

jejichfl p iblifné hodnoty jsou  $\Lambda \doteq 3239$  km a  $\kappa \doteq 1,659$ . Rovnice pak mají tvar

$$\begin{aligned} \frac{d\mathcal{P}_F(\xi)}{d\xi} &= -\kappa \frac{(1+\mathcal{P}_F^2)^{1/2}}{\mathcal{P}_F} \frac{M(\xi)}{\xi^2} \cdot \\ &\cdot \left[ 1 - 2\kappa \frac{m}{k u} \frac{M(\xi)}{\xi} \right]^{-1} \left[ 1 + \frac{m}{2\pi k u} \frac{\xi^3 \Pi(\mathcal{P}_F)}{M(\xi)} \right] \left[ 1 + \frac{3m}{8k u} \frac{\Pi(\mathcal{P}_F)}{\mathcal{P}_F^3} \right] , \quad (24.66) \\ \frac{dM(\xi)}{d\xi} &= \frac{4}{3\pi} \xi^2 \mathcal{P}_F^3 , \\ \Pi(\mathcal{P}_F) &= \mathcal{P}_F \left( \frac{2}{3} \mathcal{P}_F^2 - 1 \right) (1+\mathcal{P}_F^2)^{1/2} + \ln \left[ \mathcal{P}_F + (1+\mathcal{P}_F^2)^{1/2} \right] . \end{aligned}$$

Vidíme, fle v-echny opravné leny jsou násobeny malým pom rem hmotnosti elektronu a hmotnosti nukleon , p ipadajících na jeden elektron. Proto se tyto opravy projeví afl p i velkých hodnotách centrálního tlaku. Na levém obrázku je znázorn na závislost hmotnosti  $M$  (ve hmotnostech Slunce) na polom ru  $R$  (v km) v rozsahu tlaku  $P_0 \sim (10^{35} - 10^{39}) \text{ Nm}^{-2}$ . Na



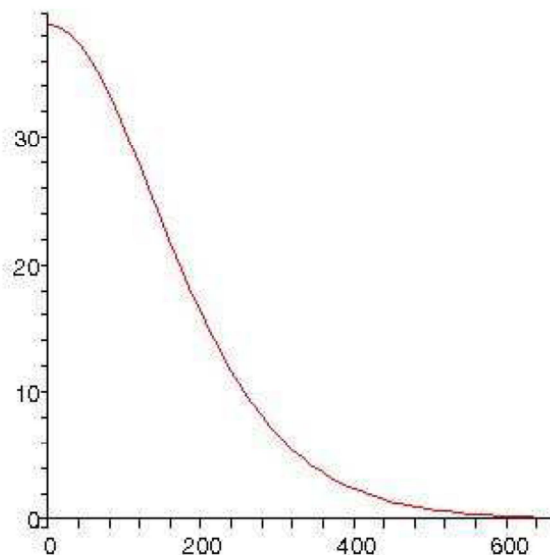
pravém obrázku je potom znázorn na oblasť kolem Chandrasekharovy meze, tj. s tlakem  $P_0 \sim (10^{25} - 5 \cdot 10^{28}) \text{ N m}^{-2}$ . Z výpo tu dostávame pro maximální hmotnost bílého trpaslíka a polom  $r$  takové hv zdy

$$M_{\max} = 1,419 M_{\odot} \quad , \quad R(M_{\max}) \doteq 8790 \text{ km} \quad . \quad (24.67)$$

Pro minimální polom  $r$  bílého trpaslíka p i extrémn vysokých centrálních tlacích a hmotnost takové hv zdy pak

$$R_{\min} = 9,47 \text{ km} \quad , \quad M(R_{\min}) \doteq 0,45 M_{\odot} \quad . \quad (24.68)$$

Závislost hustoty ( $10^{-12} \rho(r) [\text{kg m}^{-3}]$ ) na vzdálenosti od st edu ( $r [\text{km}]$ ) pro parametry z (24.67) je na posledním obrázku.



## 25. Literatura

### *Základní literatura:*

Landau L.D., Lifshitz E.M.: Statistical Physics, Third Edition, Part 1: Volume 5 (Course of Theoretical Physics) (Butterworth-Heinemann, 2000)

### *Vybrané části:*

Landau L.D., Lifshitz E.M.: Fluid Mechanics, Second Edition: Volume 6 (Course of Theoretical Physics) (Butterworth-Heinemann, 2000)

Pitaevskii L. P., Lifshitz E.M.: Physical Kinetics: Volume 10 (Course of Theoretical Physics) (Butterworth-Heinemann, 1999)

### *Klasická literatura:*

Pauli W.: Pauli Lectures on Physics: Vol. 3. Thermodynamics and the Kinetic Theory of Gases (The MIT Press, 1973)

Pauli W.: Pauli Lectures on Physics: Vol. 4. Statistical Mechanics (The MIT Press, 1973)

Sommerfeld A.: Lectures on Theoretical Physics: Vol. 5. Thermodynamics and Statistical Mechanics (Academic Press, 1956)

Feynman R.P.: Statistical Mechanics. A Set of Lectures (W.A.Benjamin, 1982)

### *Rozsáhlá kompendia:*

Greiner W., Neise L., Stöcker H.: Thermodynamics and Statistical Mechanics (Springer, 1997)

Reichl L. E.: A Modern Course in Statistical Physics (John Wiley & Sons, 1998)

Reif F.: Statistical Thermal Physics (McGraw-Hill, 1965)

### *Úvodní a (možná) snadnější:*

Kittel Ch., Kroemer H.: Thermal Physics (W.H.Freeman, 2000)

Blundell S. J., Blundell K. M.: Concepts in Thermal Physics (Oxford University Press, 2006)

Walecka J. D.: Introduction to Statistical Mechanics ((World Scientific, 2011)

Amit D. J, Verbin J.: Statistical Physics. An Introductory Course (World Scientific, 2006)

Chandler D.: Introduction To Modern Statistical Mechanics (Oxford University Press, 1987)